

สำนักหอสมุดกลาง พระจอมเกล้าลาดกระบัง

อุณหพลศาสตร์และจลนศาสตร์ของการดูดซับสีย้อมบนสารประกอบที่มี  
โครงสร้างคล้ายไฮโดรทัลไซต์

THERMODYNAMICS AND KINETICS OF DYE ADSORPTION ON  
HYDROTALCITE-LIKE COMPOUND



ซานิต ไชยยะ  
SANIT CHAIYA

ฉพ.  
ค 344๑  
2547

เลขหมู่.....  
เลขทะเบียน..... 49420  
วัน, เดือน, ปี..... 20 ก.พ. 2547

.b.....  
.i.....

วิทยานิพนธ์นี้เป็นส่วนหนึ่งของการศึกษาตามหลักสูตรปริญญาวิทยาศาสตรมหาบัณฑิต

สาขาวิชาเคมีประยุกต์

บัณฑิตวิทยาลัย

สถาบันเทคโนโลยีพระจอมเกล้าเจ้าคุณทหารลาดกระบัง

พ.ศ.2547

ISBN 974-324-959-1

เอกสารนี้เป็นเอกสารที่สงวนไว้สำหรับการใช้งานเพื่อการศึกษาเท่านั้น ไม่อนุญาตให้นำไปใช้ประโยชน์ด้านการค้า  
ไม่ว่ากรณีใดๆทั้งสิ้น อีกทั้งห้ามมิให้ตัดแปลงเนื้อหา และต้องอ้างอิงถึงเจ้าของเอกสารทุกครั้งที่มีการนำไปใช้

**THERMODYNAMICS AND KINETICS OF DYE ADSORPTION ON  
HYDROTALCITE-LIKE COMPOUND**



**A THESIS SUBMITTED IN PARTIAL FULFILLMENT  
OF THE REQUIREMENT FOR THE DEGREE OF  
MASTER OF SCIENCE IN APPLIED CHEMISTRY  
SCHOOL OF GRADUATE STUDIES  
KING MONGKUT'S INSTITUTE OF TECHNOLOGY LADKRABANG**

**2004**

**ISBN 974-324-959-1**

เอกสารนี้เป็นเอกสารที่สงวนไว้สำหรับการใช้งานเพื่อการศึกษาเท่านั้น ไม่อนุญาตให้นำไปใช้ประโยชน์ด้านการค้า  
ไม่ว่ากรณีใดๆทั้งสิ้น อีกทั้งห้ามมิให้ตัดแปลงเนื้อหา และต้องอ้างอิงถึงเจ้าของเอกสารทุกครั้งที่มีการนำไปใช้



**COPYRIGHT 2004**

**SCHOOL OF GRADUATE STUDIES**

**KING MONGKUT'S INSTITUTE OF TECHNOLOGY LADKRABANG**

เอกสารนี้เป็นเอกสารที่สงวนไว้สำหรับการใช้งานเพื่อการศึกษาเท่านั้น ไม่อนุญาตให้นำไปใช้ประโยชน์ด้านการค้า  
ไม่ว่ากรณีใดๆทั้งสิ้น อีกทั้งห้ามมิให้ตัดแปลงเนื้อหา และต้องอ้างอิงถึงเจ้าของเอกสารทุกครั้งที่มีการนำไปใช้

หัวข้อวิทยานิพนธ์

อุณหพลศาสตร์และจลนศาสตร์ของการดูดซับสี่อ้อมบน  
สารประกอบที่มีโครงสร้างคล้ายไฮโดรทัลไซท์

นักศึกษา

นายศานิต ไชยยะ

รหัสประจำตัว

43065102

ปริญญา

วิทยาศาสตรมหาบัณฑิต

สาขาวิชา

เคมีประยุกต์ (เคมีสิ่งแวดล้อม)

พ.ศ.

2547

อาจารย์ผู้ควบคุมวิทยานิพนธ์

ดร. ชมพูนุท ไชยรักษ์

### บทคัดย่อ

การวิจัยนี้เป็นการศึกษาการศึกษาการดูดซับสี่อ้อมรีแอคทีฟลู 5 จากสารละลายบน  
สารประกอบที่มีโครงสร้างคล้ายไฮโดรทัลไซท์ด้วยวิธีการทดลองแบบแบทช์ ทำการตรวจสอบ  
อิทธิพลของความเข้มข้นเริ่มต้นของสี่อ้อมและปริมาณตัวดูดซับที่มีต่อการดูดซับสี่อ้อม ผลการทดลอง  
พบว่าเมื่อความเข้มข้นเริ่มต้นของสี่อ้อมเพิ่มขึ้นความสามารถในการดูดซับจะเพิ่มขึ้นและเมื่อเพิ่ม  
ปริมาณตัวดูดซับความสามารถในการดูดซับจะลดลง ไอโซเทอมที่ใช้ในการพิจารณาสมดุลของ  
การดูดซับคือ ไอโซเทอมของแลงเมียร์และไอโซเทอมของฟลอยลิช จากข้อมูลของไอโซเทอมพบว่า  
เป็นไปตามแบบจำลองของแลงเมียร์ ในการศึกษาทางจลนศาสตร์สมการการดูดซับอันดับหนึ่งและ  
สมการการดูดซับอันดับสองถูกนำมาพิจารณา พบว่าการดูดซับสี่อ้อมเป็นไปตามแบบจำลองการดูดซับ  
อันดับสอง จากสมการแบบจำลองการดูดซับอันดับสองสามารถนำไปใช้หาค่าคงที่อัตราเร็วในการ  
ดูดซับโดยปัจจัยที่มีผลคือ ความเข้มข้น เริ่มต้นและปริมาณตัวดูดซับ พบว่าเมื่อความเข้มข้นเริ่มต้นของ  
สี่อ้อมสูงขึ้น ค่าคงที่อัตราเร็วในการดูดซับมีค่าลดลงและเมื่อปริมาณตัวดูดซับเพิ่มขึ้นมีผลทำให้ค่าคงที่  
อัตราเร็วในการดูดซับมีค่าเพิ่มขึ้น ค่าพลังงานกระตุ้นในการดูดซับสี่อ้อมบนสารประกอบที่มี  
โครงสร้างคล้ายไฮโดรทัลไซท์มีค่าเท่ากับ 15.85 กิโลจูล/โมลแสดงว่ากลไกการดูดซับเป็นแบบการ  
แลกเปลี่ยนไอออน ทำการคำนวณค่า  $\Delta H^\circ$ ,  $\Delta G^\circ$  และ  $\Delta S^\circ$  เพื่อศึกษาทางอุณหพลศาสตร์ พบว่า  
ค่าเอนทัลปีมาตรฐาน ( $\Delta H^\circ$ ) มีค่าเท่ากับ -16.34 กิโลจูล/โมล ค่าพลังงานอิสระมาตรฐาน ( $\Delta G^\circ$ )  
มีค่าเท่ากับ -2.54 กิโลจูล/โมลและค่าเอนโทรปีมาตรฐาน ( $\Delta S^\circ$ ) มีค่าเท่ากับ  $-4.64 \times 10^{-2}$  กิโลจูล/โมล.  
เคลวิน

<b>Thesis Title</b>	Thermodynamics and Kinetics of Dye Adsorption on Hydrotalcite-Like Compound
<b>Student</b>	Mr. Sanit Chaiya
<b>Student ID.</b>	43065102
<b>Degree</b>	Master of Science
<b>Programme</b>	Applied Chemistry (Environmental Chemistry)
<b>Year</b>	2004
<b>Thesis Advisor</b>	Dr. Chompoonut Chaiyasaksa

## ABSTRACT

The adsorption of Reactive Blue 5 from aqueous solutions on hydrotalcite-like compound was studied in a batch system. The effect of dye adsorption which were initial dye concentration and adsorbent doses was determined. An increase in initial dye concentration results in the increase of equilibrium sorption capacity, which also decrease with increase adsorbent doses. Langmuir and Freundlich adsorption models were used to investigate the equilibrium isotherms. Equilibrium data fitted very well to the Langmuir model. Two simplified kinetic models, pseudo first- and second-order equation, were tested. It was shown that the adsorption of dyes could be well described by the pseudo second-order equation. The pseudo second-order equation was used to predict the rate constant of sorption. The initial dye concentration and the adsorbent doses both significantly affect the rate constant of sorption. An increase in initial dye concentration results in the decrease of rate constant of sorption, which also increase with increase adsorbent doses. The activation energy was 15.85 kJ/mol for the adsorption of the dye on hydrotalcite-like compound. The value exhibit the anion exchange mechanism. Various thermodynamic parameters such as  $\Delta H^0$ ,  $\Delta G^0$  and  $\Delta S^0$ , have been calculated. The enthalpy change ( $\Delta H^0$ ) is calculated to be -16.34 kJ/mol. The Gibbs free energy change ( $\Delta G^0$ ) is calculated to be -2.51 kJ/mol. The entropy change ( $\Delta S^0$ ) is calculated to be  $-4.64 \times 10^{-2}$  kJ/mol.K.

## กิตติกรรมประกาศ

ในการทำวิทยานิพนธ์นี้สามารถสำเร็จลุล่วงไปด้วยดี เนื่องจากผู้จัดทำได้รับความช่วยเหลือจากบุคคลผู้มีพระคุณหลายๆ ท่าน ดังนี้

ดร. ชมพูนุท ไชยรักษ์ อาจารย์ภาควิชาเคมี คณะวิทยาศาสตร์ สถาบันเทคโนโลยีพระจอมเกล้าเจ้าคุณทหารลาดกระบัง อาจารย์ที่ปรึกษาวิทยานิพนธ์ที่ได้ให้คำแนะนำ เสนอแนะแนวทางในการแก้ปัญหา รวมทั้งตรวจแก้รายงานทำให้วิทยานิพนธ์นี้มีความสมบูรณ์ยิ่งขึ้น

ดร. ชลธ จารุสุทธิรักษ์และดร. อูสารัตน์ ภักดีสุข อาจารย์ภาควิชาเคมี คณะวิทยาศาสตร์ สถาบันเทคโนโลยีพระจอมเกล้าเจ้าคุณทหารลาดกระบัง ที่ได้ให้คำแนะนำในเรื่องความถูกต้องและความเป็นระเบียบเรียบร้อยของรายงาน รวมทั้งข้อเสนอแนะในการทำวิทยานิพนธ์

ดร. เสวภาค สุขตระกูลเวช อาจารย์ภาควิชาเคมี คณะวิทยาศาสตร์ สถาบันเทคโนโลยีราชมงคล ที่ได้ให้คำแนะนำในเรื่องความถูกต้องและความเป็นระเบียบเรียบร้อยของรายงาน รวมทั้งข้อเสนอแนะในการทำวิทยานิพนธ์

ผศ.ดร. ตะวัน สุขน้อย อาจารย์ภาควิชาเคมี คณะวิทยาศาสตร์ สถาบันเทคโนโลยีพระจอมเกล้าเจ้าคุณทหารลาดกระบัง ที่ให้ความช่วยเหลือในการวิเคราะห์คุณสมบัติของตัวดูดซับ  
นายสุวัฒน์ ศิวาคม เจ้าหน้าที่ห้องปฏิบัติการ ภาควิชาเคมี คณะวิทยาศาสตร์ สถาบันเทคโนโลยีพระจอมเกล้าเจ้าคุณทหารลาดกระบัง ที่ได้อำนวยความสะดวกในการใช้อุปกรณ์ในการทดลอง

นางฉัตรพร คล้ายแก้วและนายดำรงศักดิ์ เกษภูภักทรกุล นักศึกษาปริญญาโท คณะวิทยาศาสตร์ ที่ให้ความช่วยเหลือในการทำวิทยานิพนธ์

นอกจากผู้มีรายนามข้างต้น ผู้จัดทำขอขอบพระคุณทุกท่านที่มีส่วนช่วยเหลือให้วิทยานิพนธ์ครั้งนี้สำเร็จลุล่วงไปด้วยดี

นายสานิต ไชยยะ

# สารบัญ

	หน้า
บทคัดย่อภาษาไทย.....	I
บทคัดย่อภาษาอังกฤษ.....	II
กิตติกรรมประกาศ.....	III
สารบัญ.....	IV
สารบัญรูป.....	X
สารบัญตาราง.....	XVI
สัญลักษณ์และคำย่อ.....	XXIV
<b>บทที่ 1. บทนำ.....</b>	<b>1</b>
1.1 ความสำคัญและที่มาของวิทยานิพนธ์.....	1
1.2 วัตถุประสงค์.....	2
1.3 ขอบเขตการศึกษา.....	2
1.4 ประโยชน์ที่คาดว่าจะได้รับ.....	3
<b>บทที่ 2. ทฤษฎีและงานวิจัยที่เกี่ยวข้อง.....</b>	<b>4</b>
2.1 ประเภทของการดูดซับ.....	4
2.1.1 การดูดซับทางกายภาพ.....	4
2.1.2 การดูดซับทางเคมี.....	4
2.2 กลไกการดูดซับ.....	5
2.3 แรงที่เกี่ยวข้องกับการดูดซับ.....	6
2.3.1 แรงแวนเดอร์วาลส์.....	6
2.3.2 แรงทางไฟฟ้าสถิตย์.....	6
2.3.3 แรงทางเคมี.....	8
2.4 ปัจจัยที่มีผลต่อการดูดซับ.....	8
2.4.1 ธรรมชาติของตัวดูดซับ.....	8
2.4.2 ธรรมชาติของตัวถูกดูดซับ.....	9
2.4.3 ผลของอุณหภูมิ.....	9

## สารบัญ ( ต่อ)

	หน้า
2.4.4 อัตราเร็วของการกววน.....	10
2.5 สมดุลและไอโซเทอมของการดูดซับ.....	10
2.5.1 ไอโซเทอมของการดูดซับ.....	11
2.5.2 สมการที่ใช้อธิบายไอโซเทอม.....	13
2.6 แบบจำลองในการศึกษาอัตราในการดูดซับ.....	17
2.6.1 แบบจำลองการดูดซับอันดับหนึ่ง.....	17
2.6.2 แบบจำลองการดูดซับอันดับสอง.....	17
2.7 ผลของอุณหภูมิต่ออัตราการดูดซับ.....	18
2.8 อุณหพลศาสตร์และสมดุลเคมี.....	19
2.8.1 ความหมายของเอนทัลปีและเอนโทรปี.....	19
2.8.2 การหาค่าเอนทัลปีโดยใช้สมการของแวนฮอฟต์.....	21
2.8.3 พลังงานอิสระและสมดุลเคมี.....	22
2.9 สีย้อม.....	24
2.9.1 องค์ประกอบของสีย้อม.....	24
2.9.2 แหล่งกำเนิดของสีย้อม.....	25
2.9.3 การจำแนกประเภทของสีย้อม.....	25
2.10 ดินเหนียวประจุลบไฮโดรทัลไซท์.....	30
2.11 ประเภทของสิ่งสกปรกเจือปน.....	31
2.12 สมบัติของน้ำเสียโรงงานฟอกย้อม.....	32
2.13 ปัญหาเฉพาะตัวสำหรับน้ำทิ้งอุตสาหกรรมฟอกย้อม.....	33
2.14 แนวทางการลดของเสียในอุตสาหกรรมฟอกย้อม.....	34
2.15 การกำจัดสีย้อมในน้ำเสียจากการย้อมผ้า.....	35
2.15.1 โคแอกกูเลชันด้วยสารเคมี.....	35
2.15.2 การดูดติดผิว.....	36
2.15.3 คลอรีเนชัน.....	36
2.15.4 โอโซนเนชัน.....	37

## สารบัญ (ต่อ)

	หน้า
2.15.5 เทคโนโลยีในการใช้แผ่นเมมเบรน.....	37
2.15.6 ไฟฟ้าเคมี.....	38
2.16 งานวิจัยที่เกี่ยวข้อง.....	39
<b>บทที่ 3. วิธีดำเนินงานวิจัย.....</b>	<b>44</b>
3.1 อุปกรณ์เครื่องมือและสารเคมี.....	44
3.2 การเตรียมดินเหนียวไฮโดรทัลไลท์สังเคราะห์.....	45
3.3 คุณสมบัติดินเหนียวไฮโดรทัลไลท์สังเคราะห์.....	46
3.4 การศึกษาความสามารถในการดูดซับสีด้วย ดินเหนียวไฮโดรทัลไลท์สังเคราะห์.....	46
3.5 การศึกษาหาค่าความสัมพันธ์ในการดูดซับที่สภาวะสมดุล โดยใช้ไอโซเทอมของแลงเมียร์.....	47
3.6 การทดลองหาค่าพลังงานกระตุ้นจากสมการของอาร์เรเนียส.....	48
3.7 การศึกษาหาค่าเอนทัลปีจากสมการของแวนฮอฟต์ ค่าพลังงานอิสระของกิบส์ และค่าเอนโทรปี.....	48
<b>บทที่ 4. ผลการทดลอง.....</b>	<b>50</b>
4.1 ลักษณะทางกายภาพและทางเคมีของดินเหนียวไฮโดรทัลไลท์สังเคราะห์...	50
4.2 ความสามารถในการดูดซับสีด้วยดินเหนียวไฮโดรทัลไลท์สังเคราะห์...	51
4.2.1 $C_0 = 100$ ppm และ $w/v = 0.4, 0.8, 1.2, 1.6$ และ $2.0$ $kg/m^3$ .....	52
4.2.2 $C_0 = 200$ ppm และ $w/v = 1.2, 2.0, 2.8, 3.6$ และ $4.4$ $kg/m^3$ .....	53
4.2.3 $C_0 = 300$ ppm และ $w/v = 2.0, 2.8, 3.6, 4.4$ และ $5.2$ $kg/m^3$ .....	54
4.2.4 $C_0 = 400$ ppm และ $w/v = 2.8, 3.6, 4.4, 5.2$ และ $6.0$ $kg/m^3$ .....	55
4.2.5 $C_0 = 500$ ppm และ $w/v = 3.6, 4.4, 5.2, 6.0$ และ $6.8$ $kg/m^3$ .....	56
4.2.6 $C_0 = 600$ ppm และ $w/v = 4.4, 5.2, 6.0, 6.8$ และ $7.6$ $kg/m^3$ .....	57
4.2.7 $C_0 = 700$ ppm และ $w/v = 5.2, 6.0, 6.8, 7.6$ และ $8.4$ $kg/m^3$ .....	58

## สารบัญ (ต่อ)

	หน้า
4.2.8 $C_0 = 800$ ppm และ $w/v = 6.0, 6.8, 7.6, 8.4$ และ $9.2 \text{ kg/m}^3$ .....	59
4.2.9 $C_0 = 900$ ppm และ $w/v = 6.8, 7.6, 8.4, 9.2$ และ $10.0 \text{ kg/m}^3$ .....	60
4.2.10 $C_0 = 200, 300, 400, 500, 600$ ppm และ $w/v = 4.4 \text{ kg/m}^3$ .....	61
4.2.11 $C_0 = 300, 400, 500, 600, 700$ ppm และ $w/v = 5.2 \text{ kg/m}^3$ .....	62
4.2.12 $C_0 = 400, 500, 600, 700, 800$ ppm และ $w/v = 6.0 \text{ kg/m}^3$ .....	63
4.2.13 $C_0 = 500, 600, 700, 800, 900$ ppm และ $w/v = 6.8 \text{ kg/m}^3$ .....	64
4.3 ไอโซเทอมของการดูดซับสีย้อมด้วยดินเหนียวไฮโดรทัลไลท์สังเคราะห์.....	65
4.4 แบบจำลองในการดูดซับสีย้อมด้วยดินเหนียวไฮโดรทัลไลท์สังเคราะห์.....	68
4.4.1 $C_0 = 100$ ppm และ $w/v = 0.4, 0.8, 1.2, 1.6$ และ $2.0 \text{ kg/m}^3$ .....	68
4.4.2 $C_0 = 200$ ppm และ $w/v = 1.2, 2.0, 2.8, 3.6$ และ $4.4 \text{ kg/m}^3$ .....	70
4.4.3 $C_0 = 300$ ppm และ $w/v = 2.0, 2.8, 3.6, 4.4$ และ $5.2 \text{ kg/m}^3$ .....	71
4.4.4 $C_0 = 400$ ppm และ $w/v = 2.8, 3.6, 4.4, 5.2$ และ $6.0 \text{ kg/m}^3$ .....	72
4.4.5 $C_0 = 500$ ppm และ $w/v = 3.6, 4.4, 5.2, 6.0$ และ $6.8 \text{ kg/m}^3$ .....	73
4.4.6 $C_0 = 600$ ppm และ $w/v = 4.4, 5.2, 6.0, 6.8$ และ $7.6 \text{ kg/m}^3$ .....	74
4.4.7 $C_0 = 700$ ppm และ $w/v = 5.2, 6.0, 6.8, 7.6$ และ $8.4 \text{ kg/m}^3$ .....	75
4.4.8 $C_0 = 800$ ppm และ $w/v = 6.0, 6.8, 7.6, 8.4$ และ $9.2 \text{ kg/m}^3$ .....	76
4.4.9 $C_0 = 900$ ppm และ $w/v = 6.8, 7.6, 8.4, 9.2$ และ $10.0 \text{ kg/m}^3$ .....	77
4.2.10 $C_0 = 200, 300, 400, 500, 600$ ppm และ $w/v = 4.4 \text{ kg/m}^3$ .....	81
4.2.11 $C_0 = 300, 400, 500, 600, 700$ ppm และ $w/v = 5.2 \text{ kg/m}^3$ .....	82
4.2.12 $C_0 = 400, 500, 600, 700, 800$ ppm และ $w/v = 6.0 \text{ kg/m}^3$ .....	83
4.2.13 $C_0 = 500, 600, 700, 800, 900$ ppm และ $w/v = 6.8 \text{ kg/m}^3$ .....	84
4.5 พลังงานกระตุ้นของการดูดซับสีย้อมด้วยดินเหนียวไฮโดรทัลไลท์ สังเคราะห์.....	86
4.6 อุณหพลศาสตร์ของการดูดซับสีย้อมด้วยดินเหนียวไฮโดรทัลไลท์ สังเคราะห์.....	89

# สารบัญ (ต่อ)

	หน้า
4.6.1 ค่าเอนทัลปีมาตรฐาน ( $\Delta H^\circ$ ) ของการดูดซับสี้อมด้วยดินเหนียวไฮโดรทัลไซท์.....	89
4.6.2 ค่าพลังงานอิสระมาตรฐาน ( $\Delta G^\circ$ ) ของการดูดซับสี้อมด้วยดินเหนียวไฮโดรทัลไซท์.....	91
4.6.3 ค่าเอนโทรปีมาตรฐาน ( $\Delta S^\circ$ ) ของการดูดซับสี้อมด้วยดินเหนียวไฮโดรทัลไซท์.....	91
<b>บทที่ 5 สรุปและวิจารณ์ผลการทดลอง.....</b>	<b>92</b>
5.1 สรุปผลการทดลอง.....	92
5.2 ข้อเสนอแนะ.....	93
<b>เอกสารอ้างอิง.....</b>	<b>94</b>
<b>ภาคผนวก</b>	
ภาคผนวก ก. การหาความเข้มข้นของสารละลายสี้อม Reactive Blue 5.....	97
ภาคผนวก ข. ค่าพารามิเตอร์ต่างๆ ที่ใช้ในการศึกษาความสามารถในการดูดซับและแบบจำลองในการดูดซับ.....	99
ภาคผนวก ค. ค่าพารามิเตอร์ต่างๆ ที่ใช้ในการศึกษาไอโซเทอมที่ใช้ในการดูดซับ.....	144
ภาคผนวก ง. ค่าพารามิเตอร์ต่างๆ ที่ใช้ในการหาค่าพลังงานกระตุ้น ( $E_a$ ).....	146
ภาคผนวก จ. ค่าพารามิเตอร์ต่างๆ ที่ใช้ในการหาค่าเอนทัลปีมาตรฐาน ( $\Delta H^\circ$ ).....	150
ภาคผนวก ฉ. การหาความสามารถในการแลกเปลี่ยนประจุลบ (Anionic Exchange Capacity).....	151
ภาคผนวก ช. ข้อมูลและสภาวะในการหาค่าประกอบทางเคมีโดยใช้เครื่องเอกซเรย์ ฟลูออเรสเซนส์.....	153
ภาคผนวก ซ. ข้อมูลและสภาวะในการหาพื้นที่ผิวโดยใช้เครื่องออโตซอร์บ.....	154

## สารบัญ (ต่อ)

	หน้า
ภาคผนวก ฉ. ข้อมูลและสภาวะในการหาขนาดของรูพรุนโดยใช้เครื่องออโตซอร์บ.....	155
ภาคผนวก ฉ. รูปและสภาวะในการหาขนาดของอนุภาคโดยใช้เครื่องสแกนนิ่ง อิเล็กตรอนไมโครสโคป.....	156
ประวัติผู้เขียน.....	157



# สารบัญรูป

รูปที่	หน้า	
2.1	ขั้นตอนการเคลื่อนตัวของตัวถูกดูดซับ (adsorption) ในขบวนการดูดซับ.....	6
2.2	การดูดซับของสารดูดซับด้วยแรงทางไฟฟ้าสถิตย์.....	7
2.3	กราฟการกระจายตัวของพลังงานของระบบที่มีความเข้มข้นของสารเท่ากัน.....	10
2.4	ลักษณะเส้นไอโซเทอมของการดูดซับแบบต่างๆ.....	11
2.5	ลักษณะของไอโซเทอมของการดูดซับแบบแลงเมียร์.....	15
2.6	ลักษณะของไอโซเทอมการดูดซับแบบฟลอยลิช.....	16
2.7	ความสัมพันธ์ระหว่างค่าคงที่กับอุณหภูมิ.....	19
2.8	ความสัมพันธ์ระหว่างการเปลี่ยนสถานะกับพลังงาน.....	20
2.9	ความสัมพันธ์ระหว่าง $\ln K$ และ $1/T$ .....	21
2.10	รูปของดินเหนียวไฮโดรทัลไซท์.....	31
2.11	องค์ประกอบของระบบไฟฟ้าเคมี.....	38
3.1	อุปกรณ์ที่ใช้ในการทดลอง.....	49
4.1	ลักษณะของดินเหนียวไฮโดรทัลไซท์ที่สังเคราะห์ได้.....	51
4.2	ความสามารถในการดูดซับที่เวลาต่างๆ เมื่อใช้อัตราส่วนของน้ำหนักตัว ดูดซับต่อปริมาตรสีย้อมสังเคราะห์ (w/v) เท่ากับ 0.4, 0.8, 1.2, 1.6 และ 2.0 กิโลกรัม/ลูกบาศก์เมตรและใช้ความเข้มข้นของสีย้อม 100 กรัม/ลูกบาศก์เมตร...	52
4.3	ความสามารถในการดูดซับที่เวลาต่างๆ เมื่อใช้อัตราส่วนของน้ำหนักตัว ดูดซับต่อปริมาตรสีย้อมสังเคราะห์ (w/v) เท่ากับ 1.2, 2.0, 2.8, 3.6 และ 4.4 กิโลกรัม/ลูกบาศก์เมตรและใช้ความเข้มข้นของสีย้อม 200 กรัม/ลูกบาศก์เมตร...	53
4.4	ความสามารถในการดูดซับที่เวลาต่างๆ เมื่อใช้อัตราส่วนของน้ำหนักตัว ดูดซับต่อปริมาตรสีย้อมสังเคราะห์ (w/v) เท่ากับ 2.0, 2.8, 3.6, 4.4 และ 5.2 กิโลกรัม/ลูกบาศก์เมตรและใช้ความเข้มข้นของสีย้อม 300 กรัม/ลูกบาศก์เมตร...	54
4.5	ความสามารถในการดูดซับที่เวลาต่างๆ เมื่อใช้อัตราส่วนของน้ำหนักตัว ดูดซับต่อปริมาตรสีย้อมสังเคราะห์ (w/v) เท่ากับ 2.8, 3.6, 4.4, 5.2 และ 6.0 กิโลกรัม/ลูกบาศก์เมตรและใช้ความเข้มข้นของสีย้อม 400 กรัม/ลูกบาศก์เมตร....	55

## สารบัญรูป (ต่อ)

รูปที่	หน้า
<p>4.6 ความสามารถในการดูดซับที่เวลาต่างๆ เมื่อใช้อัตราส่วนของน้ำหนักตัว ดูดซับต่อปริมาตรสีย้อมสังเคราะห์ (w/v) เท่ากับ 3.6, 4.4, 5.2, 6.0 และ 6.8 กิโลกรัม/ลูกบาศก์เมตรและใช้ความเข้มข้นของสีย้อม 500 กรัม/ลูกบาศก์เมตร.....</p>	56
<p>4.7 ความสามารถในการดูดซับที่เวลาต่างๆ เมื่อใช้อัตราส่วนของน้ำหนักตัว ดูดซับต่อปริมาตรสีย้อมสังเคราะห์ (w/v) เท่ากับ 4.4, 5.2, 6.0, 6.8 และ 7.6 กิโลกรัม/ลูกบาศก์เมตรและใช้ความเข้มข้นของสีย้อม 600 กรัม/ลูกบาศก์เมตร.....</p>	57
<p>4.8 ความสามารถในการดูดซับที่เวลาต่างๆ เมื่อใช้อัตราส่วนของน้ำหนักตัว ดูดซับต่อปริมาตรสีย้อมสังเคราะห์ (w/v) เท่ากับ 5.2, 6.0, 6.8, 7.6 และ 8.4 กิโลกรัม/ลูกบาศก์เมตรและใช้ความเข้มข้นของสีย้อม 700 กรัม/ลูกบาศก์เมตร.....</p>	58
<p>4.9 ความสามารถในการดูดซับที่เวลาต่างๆ เมื่อใช้อัตราส่วนของน้ำหนักตัว ดูดซับต่อปริมาตรสีย้อมสังเคราะห์ (w/v) เท่ากับ 6.0, 6.8, 7.6, 8.4 และ 9.2 กิโลกรัม/ลูกบาศก์เมตรและใช้ความเข้มข้นของสีย้อม 800 กรัม/ลูกบาศก์เมตร.....</p>	59
<p>4.10 ความสามารถในการดูดซับที่เวลาต่างๆ เมื่อใช้อัตราส่วนของน้ำหนักตัว ดูดซับต่อปริมาตรสีย้อมสังเคราะห์ (w/v) เท่ากับ 6.8, 7.6, 8.4, 9.2 และ 10.0 กิโลกรัม/ลูกบาศก์เมตรและใช้ความเข้มข้นของสีย้อม 900 กรัม/ลูกบาศก์เมตร.....</p>	60
<p>4.11 ความสามารถในการดูดซับที่เวลาต่างๆ เมื่อใช้ความเข้มข้นเริ่มต้นของสี ย้อมเป็น 200, 300, 400, 500 และ 600 กรัม/ลูกบาศก์เมตรและใช้อัตราส่วน ของน้ำหนักตัวดูดซับต่อปริมาตรสีย้อมสังเคราะห์ (w/v) เท่ากับ 4.4 กิโลกรัม/ ลูกบาศก์เมตร.....</p>	61
<p>4.12 ความสามารถในการดูดซับที่เวลาต่างๆ เมื่อใช้ความเข้มข้นเริ่มต้นของสี ย้อมเป็น 300, 400 , 500 , 600 และ 700 กรัม/ลูกบาศก์เมตรและใช้อัตราส่วน ของน้ำหนักตัวดูดซับต่อปริมาตรสีย้อมสังเคราะห์ (w/v) เท่ากับ 5.2 กิโลกรัม/ ลูกบาศก์เมตร.....</p>	62

## สารบัญรูป (ต่อ)

รูปที่		หน้า
4.13	ความสามารถในการดูดซับที่เวลาต่างๆ เมื่อใช้ความเข้มข้นเริ่มต้นของสีย้อมเป็น 400, 500, 600, 700 และ 800 กรัม/ลูกบาศก์เมตรและใช้อัตราส่วนของน้ำหนักตัวดูดซับต่อปริมาตรสีย้อมสังเคราะห์ (w/v) เท่ากับ 6.0 กิโลกรัม/ลูกบาศก์เมตร.....	63
4.14	ความสามารถในการดูดซับที่เวลาต่างๆ เมื่อใช้ความเข้มข้นเริ่มต้นของสีย้อมเป็น 500, 600, 700, 800 และ 900 กรัม/ลูกบาศก์เมตรและใช้อัตราส่วนของน้ำหนักตัวดูดซับต่อปริมาตรสีย้อมสังเคราะห์ (w/v) เท่ากับ 6.8 กิโลกรัม/ลูกบาศก์เมตร.....	64
4.15	สมการการดูดซับของแลงเมียร์เมื่อใช้ความเข้มข้นสีย้อมเริ่มต้น 100-900 กรัม/ลูกบาศก์เมตร.....	65
4.16	สมการการดูดซับของฟลอยลิชเมื่อใช้ความเข้มข้นสีย้อมเริ่มต้น 100-900 กรัม/ลูกบาศก์เมตร.....	66
4.17	แบบจำลองการดูดซับอันดับหนึ่ง เมื่อใช้ความเข้มข้นของสีย้อมเป็น 100 กรัม/ลูกบาศก์เมตรและใช้อัตราส่วนของน้ำหนักตัวดูดซับต่อปริมาตรสีย้อมสังเคราะห์ (w/v) เท่ากับ 0.4-2.0 กิโลกรัม/ลูกบาศก์เมตร.....	68
4.18	แบบจำลองการดูดซับอันดับสอง เมื่อใช้ความเข้มข้นของสีย้อมเป็น 100 กรัม/ลูกบาศก์เมตรและใช้อัตราส่วนของน้ำหนักตัวดูดซับต่อปริมาตรสีย้อมสังเคราะห์ (w/v) เท่ากับ 0.4-2.0 กิโลกรัม/ลูกบาศก์เมตร.....	69
4.19	แบบจำลองการดูดซับอันดับหนึ่ง เมื่อใช้ความเข้มข้นของสีย้อมเป็น 200 กรัม/ลูกบาศก์เมตรและใช้อัตราส่วนของน้ำหนักตัวดูดซับต่อปริมาตรสีย้อมสังเคราะห์ (w/v) เท่ากับ 1.2-4.4 กิโลกรัม/ลูกบาศก์เมตร.....	70
4.20	แบบจำลองการดูดซับอันดับสอง เมื่อใช้ความเข้มข้นของสีย้อมเป็น 200 กรัม/ลูกบาศก์เมตรและใช้อัตราส่วนของน้ำหนักตัวดูดซับต่อปริมาตรสีย้อมสังเคราะห์ (w/v) เท่ากับ 1.2-4.4 กิโลกรัม/ลูกบาศก์เมตร.....	70

## สารบัญญรูป (ต่อ)

รูปที่	หน้า	
4.21	แบบจำลองการดูดซับอันดับหนึ่ง เมื่อใช้ความเข้มข้นของสีย้อมเป็น 300 กรัม/ลูกบาศก์เมตรและใช้อัตราส่วนของน้ำหนักตัวดูดซับต่อปริมาตรสีย้อมสังเคราะห์ (w/v) เท่ากับ 2.0-5.2 กิโลกรัม/ลูกบาศก์เมตร.....	71
4.22	แบบจำลองการดูดซับอันดับสอง เมื่อใช้ความเข้มข้นของสีย้อมเป็น 300 กรัม/ลูกบาศก์เมตรและใช้อัตราส่วนของน้ำหนักตัวดูดซับต่อปริมาตรสีย้อมสังเคราะห์ (w/v) เท่ากับ 2.0-5.2 กิโลกรัม/ลูกบาศก์เมตร.....	71
4.23	แบบจำลองการดูดซับอันดับหนึ่ง เมื่อใช้ความเข้มข้นของสีย้อมเป็น 400 กรัม/ลูกบาศก์เมตรและใช้อัตราส่วนของน้ำหนักตัวดูดซับต่อปริมาตรสีย้อมสังเคราะห์ (w/v) เท่ากับ 2.8-6.0 กิโลกรัม/ลูกบาศก์เมตร.....	72
4.24	แบบจำลองการดูดซับอันดับสอง เมื่อใช้ความเข้มข้นของสีย้อมเป็น 400 กรัม/ลูกบาศก์เมตรและใช้อัตราส่วนของน้ำหนักตัวดูดซับต่อปริมาตรสีย้อมสังเคราะห์ (w/v) เท่ากับ 2.8-6.0 กิโลกรัม/ลูกบาศก์เมตร.....	72
4.25	แบบจำลองการดูดซับอันดับหนึ่ง เมื่อใช้ความเข้มข้นของสีย้อมเป็น 500 กรัม/ลูกบาศก์เมตรและใช้อัตราส่วนของน้ำหนักตัวดูดซับต่อปริมาตรสีย้อมสังเคราะห์(w/v) เท่ากับ 3.6-6.8 กิโลกรัม/ลูกบาศก์เมตร.....	73
4.26	แบบจำลองการดูดซับอันดับสอง เมื่อใช้ความเข้มข้นของสีย้อมเป็น 500 กรัม/ลูกบาศก์เมตรและใช้อัตราส่วนของน้ำหนักตัวดูดซับต่อปริมาตรสีย้อมสังเคราะห์(w/v) เท่ากับ 3.6-6.8 กิโลกรัม/ลูกบาศก์เมตร.....	73
4.27	แบบจำลองการดูดซับอันดับหนึ่ง เมื่อใช้ความเข้มข้นของสีย้อมเป็น 600 กรัม/ลูกบาศก์เมตรและใช้อัตราส่วนของน้ำหนักตัวดูดซับต่อปริมาตรสีย้อมสังเคราะห์ (w/v) เท่ากับ 4.4-7.6 กิโลกรัม/ลูกบาศก์เมตร.....	74
4.28	แบบจำลองการดูดซับอันดับสอง เมื่อใช้ความเข้มข้นของสีย้อมเป็น 600 กรัม/ลูกบาศก์เมตรและใช้อัตราส่วนของน้ำหนักตัวดูดซับต่อปริมาตรสีย้อมสังเคราะห์ (w/v) เท่ากับ 4.4-7.6 กิโลกรัม/ลูกบาศก์เมตร.....	74

## สารบัญญรูป (ต่อ)

รูปที่	หน้า	
4.29	แบบจำลองการดูดซับอันดับหนึ่ง เมื่อใช้ความเข้มข้นของสีย้อมเป็น 700 กรัม/ลูกบาศก์เมตรและใช้อัตราส่วนของน้ำหนักตัวดูดซับต่อปริมาตรสีย้อมสังเคราะห์ (w/v) เท่ากับ 5.2-8.4 กิโลกรัม/ลูกบาศก์เมตร.....	75
4.30	แบบจำลองการดูดซับอันดับสอง เมื่อใช้ความเข้มข้นของสีย้อมเป็น 700 กรัม/ลูกบาศก์เมตรและใช้อัตราส่วนของน้ำหนักตัวดูดซับต่อปริมาตรสีย้อมสังเคราะห์ (w/v) เท่ากับ 5.2-8.4 กิโลกรัม/ลูกบาศก์เมตร.....	75
4.31	แบบจำลองการดูดซับอันดับหนึ่ง เมื่อใช้ความเข้มข้นของสีย้อมเป็น 800 กรัม/ลูกบาศก์เมตรและใช้อัตราส่วนของน้ำหนักตัวดูดซับต่อปริมาตรสีย้อมสังเคราะห์ (w/v) เท่ากับ 6.0-9.2 กิโลกรัม/ลูกบาศก์เมตร.....	76
4.32	แบบจำลองการดูดซับอันดับสอง เมื่อใช้ความเข้มข้นของสีย้อมเป็น 800 กรัม/ลูกบาศก์เมตรและใช้อัตราส่วนของน้ำหนักตัวดูดซับต่อปริมาตรสีย้อมสังเคราะห์ (w/v) เท่ากับ 6.0-9.2 กิโลกรัม/ลูกบาศก์เมตร.....	76
4.33	แบบจำลองการดูดซับอันดับหนึ่ง เมื่อใช้ความเข้มข้นของสีย้อมเป็น 900 กรัม/ลูกบาศก์เมตรและใช้อัตราส่วนของน้ำหนักตัวดูดซับต่อปริมาตรสีย้อมสังเคราะห์ (w/v) เท่ากับ 6.8-10.0 กิโลกรัม/ลูกบาศก์เมตร.....	77
4.34	แบบจำลองการดูดซับอันดับสอง เมื่อใช้ความเข้มข้นของสีย้อมเป็น 900 กรัม/ลูกบาศก์เมตรและใช้อัตราส่วนของน้ำหนักตัวดูดซับต่อปริมาตรสีย้อมสังเคราะห์ (w/v) เท่ากับ 6.8-10.0 กิโลกรัม/ลูกบาศก์เมตร.....	77
4.35	แบบจำลองการดูดซับอันดับหนึ่ง เมื่อใช้ความเข้มข้นของสีย้อมเป็น 200-600 กรัม/ลูกบาศก์เมตรและใช้อัตราส่วนของน้ำหนักตัวดูดซับต่อปริมาตรสีย้อมสังเคราะห์ (w/v) เท่ากับ 4.4 กิโลกรัม/ลูกบาศก์เมตร.....	81
4.36	แบบจำลองการดูดซับอันดับสอง เมื่อใช้ความเข้มข้นของสีย้อมเป็น 200-600 กรัม/ลูกบาศก์เมตรและใช้อัตราส่วนของน้ำหนักตัวดูดซับต่อปริมาตรสีย้อมสังเคราะห์ (w/v) เท่ากับ 4.4 กิโลกรัม/ลูกบาศก์เมตร.....	81

## สารบัญรูป (ต่อ)

รูปที่		หน้า
4.37	แบบจำลองการดูดซับอันดับหนึ่ง เมื่อใช้ความเข้มข้นของสีย้อมเป็น 300-700 กรัม/ลูกบาศก์เมตรและใช้อัตราส่วนของน้ำหนักตัวดูดซับต่อ ปริมาตรสีย้อมสังเคราะห์ (w/v) เท่ากับ 5.2 กิโลกรัม/ลูกบาศก์เมตร.....	82
4.38	แบบจำลองการดูดซับอันดับสอง เมื่อใช้ความเข้มข้นของสีย้อมเป็น 300-700 กรัม/ลูกบาศก์เมตรและใช้อัตราส่วนของน้ำหนักตัวดูดซับต่อ ปริมาตรสีย้อมสังเคราะห์ (w/v) เท่ากับ 5.2 กิโลกรัม/ลูกบาศก์เมตร.....	82
4.39	แบบจำลองการดูดซับอันดับหนึ่ง เมื่อใช้ความเข้มข้นของสีย้อมเป็น 400-800 กรัม/ลูกบาศก์เมตรและใช้อัตราส่วนของน้ำหนักตัวดูดซับต่อ ปริมาตรสีย้อมสังเคราะห์ (w/v) เท่ากับ 6.0 กิโลกรัม/ลูกบาศก์เมตร.....	83
4.40	แบบจำลองการดูดซับอันดับสอง เมื่อใช้ความเข้มข้นของสีย้อมเป็น 400-800 กรัม/ลูกบาศก์เมตรและใช้อัตราส่วนของน้ำหนักตัวดูดซับต่อ ปริมาตรสีย้อมสังเคราะห์ (w/v) เท่ากับ 6.0 กิโลกรัม/ลูกบาศก์เมตร.....	83
4.41	แบบจำลองการดูดซับอันดับหนึ่ง เมื่อใช้ความเข้มข้นของสีย้อมเป็น 500-900 กรัม/ลูกบาศก์เมตรและใช้อัตราส่วนของน้ำหนักตัวดูดซับต่อ ปริมาตรสีย้อมสังเคราะห์ (w/v) เท่ากับ 6.8 กิโลกรัม/ลูกบาศก์เมตร.....	84
4.42	แบบจำลองการดูดซับอันดับสอง เมื่อใช้ความเข้มข้นของสีย้อมเป็น 500-900 กรัม/ลูกบาศก์เมตรและใช้อัตราส่วนของน้ำหนักตัวดูดซับต่อ ปริมาตรสีย้อมสังเคราะห์ (w/v) เท่ากับ 6.8 กิโลกรัม/ลูกบาศก์เมตร.....	84
4.43	กราฟความสัมพันธ์ของแบบจำลองการดูดซับอันดับสองที่อุณหภูมิต่างๆ.....	86
4.44	กราฟความสัมพันธ์ของสมการอาร์เรเนียสที่อุณหภูมิ 25, 35, 45, 55 องศาเซลเซียส.....	87
4.45	โครงสร้างสีย้อม Reactive Blue 5.....	88
4.46	กราฟความสัมพันธ์ของสมการแวนท์ฮอฟฟ์ที่อุณหภูมิ 25, 35, 45 และ 55 องศาเซลเซียส.....	90
ก.1	กราฟมาตรฐานของสารละลายสีย้อม Reactive Blue 5.....	98

# สารบัญตาราง

ตารางที่	หน้า
2.1	ปัจจัยที่มีผลต่อเครื่องหมายของ $\Delta G$ ในทั้ง 4 กรณี..... 23
2.2	สมบัติของน้ำเสียจากโรงงานฟอกย้อมก่อนการบำบัดแบ่งตามผลิตภัณฑ์..... 33
3.1	เครื่องมือที่ใช้วิเคราะห์คุณสมบัติของดินเหนียว..... 46
3.2	ความเข้มข้นของสีย้อมและน้ำหนักดินเหนียวไฮโดรทลไลท์ที่ใช้ในการทดลอง.... 47
4.1	องค์ประกอบทางกายภาพของดินเหนียวไฮโดรทลไลท์..... 50
4.2	องค์ประกอบทางเคมีของดินเหนียวไฮโดรทลไลท์..... 50
4.3	ค่าคงที่ต่างๆ ที่ได้จากแบบจำลองการดูดซับอันดับหนึ่งและแบบจำลอง การดูดซับอันดับสอง..... 78
4.4	ค่าคงที่อัตราเร็วในการดูดซับสีย้อมที่อุณหภูมิต่างๆ..... 86
4.5	ค่าคงที่สมดุลของการดูดซับที่อุณหภูมิต่างๆ..... 89
ก.1	ค่าการดูดกลืนแสงที่ความเข้มข้นต่างๆ ของสารละลายสีย้อม Reactive Blue 5.... 98
ข.1	ผลของอัตราส่วน w/v เท่ากับ 0.4 กิโลกรัม/ลูกบาศก์เมตรที่มีต่อการดูดซับ สารละลายสีย้อม Reactive Blue 5 ความเข้มข้น 100 กรัม/ลูกบาศก์เมตรด้วย ดินเหนียวไฮโดรทลไลท์สังเคราะห์ ควบคุมอุณหภูมิที่ 35 องศาเซลเซียส..... 99
ข.2	ผลของอัตราส่วน w/v เท่ากับ 0.8 กิโลกรัม/ลูกบาศก์เมตรที่มีต่อการดูดซับ สารละลายสีย้อม Reactive Blue 5 ความเข้มข้น 100 กรัม/ลูกบาศก์เมตรด้วย ดินเหนียวไฮโดรทลไลท์สังเคราะห์ ควบคุมอุณหภูมิที่ 35 องศาเซลเซียส..... 100
ข.3	ผลของอัตราส่วน w/v เท่ากับ 1.20 กิโลกรัม/ลูกบาศก์เมตรที่มีต่อการดูดซับ สารละลายสีย้อม Reactive Blue 5 ความเข้มข้น 100 กรัม/ลูกบาศก์เมตรด้วย ดินเหนียวไฮโดรทลไลท์สังเคราะห์ ควบคุมอุณหภูมิที่ 35 องศาเซลเซียส..... 101
ข.4	ผลของอัตราส่วน w/v เท่ากับ 1.60 กิโลกรัม/ลูกบาศก์เมตรที่มีต่อการดูดซับ สารละลายสีย้อม Reactive Blue 5 ความเข้มข้น 100 กรัม/ลูกบาศก์เมตรด้วย ดินเหนียวไฮโดรทลไลท์สังเคราะห์ ควบคุมอุณหภูมิที่ 35 องศาเซลเซียส..... 102

## สารบัญตาราง (ต่อ)

ตารางที่	หน้า
<b>ข.5</b> ผลของอัตราส่วน w/v เท่ากับ 2.00 กิโลกรัม/ลูกบาศก์เมตรที่มีต่อการดูดซับ สารละลายสีย้อม Reactive Blue 5 ความเข้มข้น 100 กรัม/ลูกบาศก์เมตรด้วย ดินเหนียวไฮโดรทัลไลท์สังเคราะห์ ควบคุมอุณหภูมิที่ 35 องศาเซลเซียส.....	103
<b>ข.6</b> ผลของอัตราส่วน w/v เท่ากับ 1.2 กิโลกรัม/ลูกบาศก์เมตรที่มีต่อการดูดซับ สารละลายสีย้อม Reactive Blue 5 ความเข้มข้น 200 กรัม/ลูกบาศก์เมตรด้วย ดินเหนียวไฮโดรทัลไลท์สังเคราะห์ ควบคุมอุณหภูมิที่ 35 องศาเซลเซียส.....	104
<b>ข.7</b> ผลของอัตราส่วน w/v เท่ากับ 2.0 กิโลกรัม/ลูกบาศก์เมตรที่มีต่อการดูดซับ สารละลายสีย้อม Reactive Blue 5 ความเข้มข้น 200 กรัม/ลูกบาศก์เมตรด้วย ดินเหนียวไฮโดรทัลไลท์สังเคราะห์ ควบคุมอุณหภูมิที่ 35 องศาเซลเซียส.....	105
<b>ข.8</b> ผลของอัตราส่วน w/v เท่ากับ 2.8 กิโลกรัม/ลูกบาศก์เมตรที่มีต่อการดูดซับ สารละลายสีย้อม Reactive Blue 5 ความเข้มข้น 200 กรัม/ลูกบาศก์เมตรด้วย ดินเหนียวไฮโดรทัลไลท์สังเคราะห์ ควบคุมอุณหภูมิที่ 35 องศาเซลเซียส.....	106
<b>ข.9</b> ผลของอัตราส่วน w/v เท่ากับ 3.6 กิโลกรัม/ลูกบาศก์เมตรที่มีต่อการดูดซับ สารละลายสีย้อม Reactive Blue 5 ความเข้มข้น 200 กรัม/ลูกบาศก์เมตรด้วย ดินเหนียวไฮโดรทัลไลท์สังเคราะห์ ควบคุมอุณหภูมิที่ 35 องศาเซลเซียส.....	107
<b>ข.10</b> ผลของอัตราส่วน w/v เท่ากับ 4.4 กิโลกรัม/ลูกบาศก์เมตรที่มีต่อการดูดซับ สารละลายสีย้อม Reactive Blue 5 ความเข้มข้น 200 กรัม/ลูกบาศก์เมตรด้วย ดินเหนียวไฮโดรทัลไลท์สังเคราะห์ ควบคุมอุณหภูมิที่ 35 องศาเซลเซียส.....	108
<b>ข.11</b> ผลของอัตราส่วน w/v เท่ากับ 2.0 กิโลกรัม/ลูกบาศก์เมตรที่มีต่อการดูดซับ สารละลายสีย้อม Reactive Blue 5 ความเข้มข้น 300 กรัม/ลูกบาศก์เมตรด้วย ดินเหนียวไฮโดรทัลไลท์สังเคราะห์ ควบคุมอุณหภูมิที่ 35 องศาเซลเซียส.....	109
<b>ข.12</b> ผลของอัตราส่วน w/v เท่ากับ 2.8 กิโลกรัม/ลูกบาศก์เมตรที่มีต่อการดูดซับ สารละลายสีย้อม Reactive Blue 5 ความเข้มข้น 300 กรัม/ลูกบาศก์เมตรด้วย ดินเหนียวไฮโดรทัลไลท์สังเคราะห์ ควบคุมอุณหภูมิที่ 35 องศาเซลเซียส.....	110

## สารบัญตาราง (ต่อ)

ตารางที่	หน้า
<b>ข.13</b> ผลของอัตราส่วน w/v เท่ากับ 3.6 กิโลกรัม/ลูกบาศก์เมตรที่มีต่อการดูดซับ สารละลายสีย้อม Reactive Blue 5 ความเข้มข้น 300 กรัม/ลูกบาศก์เมตรด้วย ดินเหนียวไฮโดรทัลไลท์สังเคราะห์ ควบคุมอุณหภูมิที่ 35 องศาเซลเซียส.....	111
<b>ข.14</b> ผลของอัตราส่วน w/v เท่ากับ 4.4 กิโลกรัม/ลูกบาศก์เมตรที่มีต่อการดูดซับ สารละลายสีย้อม Reactive Blue 5 ความเข้มข้น 300 กรัม/ลูกบาศก์เมตรด้วย ดินเหนียวไฮโดรทัลไลท์สังเคราะห์ ควบคุมอุณหภูมิที่ 35 องศาเซลเซียส.....	112
<b>ข.15</b> ผลของอัตราส่วน w/v เท่ากับ 5.2 กิโลกรัม/ลูกบาศก์เมตรที่มีต่อการดูดซับ สารละลายสีย้อม Reactive Blue 5 ความเข้มข้น 300 กรัม/ลูกบาศก์เมตรด้วย ดินเหนียวไฮโดรทัลไลท์สังเคราะห์ ควบคุมอุณหภูมิที่ 35 องศาเซลเซียส.....	113
<b>ข.16</b> ผลของอัตราส่วน w/v เท่ากับ 2.8 กิโลกรัม/ลูกบาศก์เมตรที่มีต่อการดูดซับ สารละลายสีย้อม Reactive Blue 5 ความเข้มข้น 400 กรัม/ลูกบาศก์เมตรด้วย ดินเหนียวไฮโดรทัลไลท์สังเคราะห์ ควบคุมอุณหภูมิที่ 35 องศาเซลเซียส.....	114
<b>ข.17</b> ผลของอัตราส่วน w/v เท่ากับ 3.6 กิโลกรัม/ลูกบาศก์เมตรที่มีต่อการดูดซับ สารละลายสีย้อม Reactive Blue 5 ความเข้มข้น 400 กรัม/ลูกบาศก์เมตรด้วย ดินเหนียวไฮโดรทัลไลท์สังเคราะห์ ควบคุมอุณหภูมิที่ 35 องศาเซลเซียส.....	115
<b>ข.18</b> ผลของอัตราส่วน w/v เท่ากับ 4.4 กิโลกรัม/ลูกบาศก์เมตรที่มีต่อการดูดซับ สารละลายสีย้อม Reactive Blue 5 ความเข้มข้น 400 กรัม/ลูกบาศก์เมตรด้วย ดินเหนียวไฮโดรทัลไลท์สังเคราะห์ ควบคุมอุณหภูมิที่ 35 องศาเซลเซียส.....	116
<b>ข.19</b> ผลของอัตราส่วน w/v เท่ากับ 5.2 กิโลกรัม/ลูกบาศก์เมตรที่มีต่อการดูดซับ สารละลายสีย้อม Reactive Blue 5 ความเข้มข้น 400 กรัม/ลูกบาศก์เมตรด้วย ดินเหนียวไฮโดรทัลไลท์สังเคราะห์ ควบคุมอุณหภูมิที่ 35 องศาเซลเซียส.....	117
<b>ข.20</b> ผลของอัตราส่วน w/v เท่ากับ 6.0 กิโลกรัม/ลูกบาศก์เมตรที่มีต่อการดูดซับ สารละลายสีย้อม Reactive Blue 5 ความเข้มข้น 400 กรัม/ลูกบาศก์เมตรด้วย ดินเหนียวไฮโดรทัลไลท์สังเคราะห์ ควบคุมอุณหภูมิที่ 35 องศาเซลเซียส.....	118

## สารบัญตาราง (ต่อ)

ตารางที่	หน้า
<b>ข.21</b> ผลของอัตราส่วน w/v เท่ากับ 3.6 กิโลกรัม/ลูกบาศก์เมตรที่มีต่อการดูดซับ สารละลายสีย้อม Reactive Blue 5 ความเข้มข้น 500 กรัม/ลูกบาศก์เมตรด้วย ดินเหนียวไฮโดรทัลไลท์สังเคราะห์ ควบคุมอุณหภูมิที่ 35 องศาเซลเซียส.....	119
<b>ข.22</b> ผลของอัตราส่วน w/v เท่ากับ 4.4 กิโลกรัม/ลูกบาศก์เมตรที่มีต่อการดูดซับ สารละลายสีย้อม Reactive Blue 5 ความเข้มข้น 500 กรัม/ลูกบาศก์เมตรด้วย ดินเหนียวไฮโดรทัลไลท์สังเคราะห์ ควบคุมอุณหภูมิที่ 35 องศาเซลเซียส.....	120
<b>ข.23</b> ผลของอัตราส่วน w/v เท่ากับ 5.2 กิโลกรัม/ลูกบาศก์เมตรที่มีต่อการดูดซับ สารละลายสีย้อม Reactive Blue 5 ความเข้มข้น 500 กรัม/ลูกบาศก์เมตรด้วย ดินเหนียวไฮโดรทัลไลท์สังเคราะห์ ควบคุมอุณหภูมิที่ 35 องศาเซลเซียส.....	121
<b>ข.24</b> ผลของอัตราส่วน w/v เท่ากับ 6.0 กิโลกรัม/ลูกบาศก์เมตรที่มีต่อการดูดซับ สารละลายสีย้อม Reactive Blue 5 ความเข้มข้น 500 กรัม/ลูกบาศก์เมตรด้วย ดินเหนียวไฮโดรทัลไลท์สังเคราะห์ ควบคุมอุณหภูมิที่ 35 องศาเซลเซียส.....	122
<b>ข.25</b> ผลของอัตราส่วน w/v เท่ากับ 6.8 กิโลกรัม/ลูกบาศก์เมตรที่มีต่อการดูดซับ สารละลายสีย้อม Reactive Blue 5 ความเข้มข้น 500 กรัม/ลูกบาศก์เมตรด้วย ดินเหนียวไฮโดรทัลไลท์สังเคราะห์ ควบคุมอุณหภูมิที่ 35 องศาเซลเซียส.....	123
<b>ข.26</b> ผลของอัตราส่วน w/v เท่ากับ 4.4 กิโลกรัม/ลูกบาศก์เมตรที่มีต่อการดูดซับ สารละลายสีย้อม Reactive Blue 5 ความเข้มข้น 600 กรัม/ลูกบาศก์เมตรด้วย ดินเหนียวไฮโดรทัลไลท์สังเคราะห์ ควบคุมอุณหภูมิที่ 35 องศาเซลเซียส.....	124
<b>ข.27</b> ผลของอัตราส่วน w/v เท่ากับ 5.2 กิโลกรัม/ลูกบาศก์เมตรที่มีต่อการดูดซับ สารละลายสีย้อม Reactive Blue 5 ความเข้มข้น 600 กรัม/ลูกบาศก์เมตรด้วย ดินเหนียวไฮโดรทัลไลท์สังเคราะห์ ควบคุมอุณหภูมิที่ 35 องศาเซลเซียส.....	125
<b>ข.28</b> ผลของอัตราส่วน w/v เท่ากับ 6.0 กิโลกรัม/ลูกบาศก์เมตรที่มีต่อการดูดซับ สารละลายสีย้อม Reactive Blue 5 ความเข้มข้น 600 กรัม/ลูกบาศก์เมตรด้วย ดินเหนียวไฮโดรทัลไลท์สังเคราะห์ ควบคุมอุณหภูมิที่ 35 องศาเซลเซียส.....	126

## สารบัญตาราง (ต่อ)

ตารางที่		หน้า
ข.29	ผลของอัตราส่วน w/v เท่ากับ 6.8 กิโลกรัม/ลูกบาศก์เมตรที่มีต่อการดูดซับ สารละลายสีย้อม Reactive Blue 5 ความเข้มข้น 600 กรัม/ลูกบาศก์เมตรด้วย ดินเหนียวไฮโดรทัลไลท์สังเคราะห์ ควบคุมอุณหภูมิที่ 35 องศาเซลเซียส.....	127
ข.30	ผลของอัตราส่วน w/v เท่ากับ 7.6 กิโลกรัม/ลูกบาศก์เมตรที่มีต่อการดูดซับ สารละลายสีย้อม Reactive Blue 5 ความเข้มข้น 600 กรัม/ลูกบาศก์เมตรด้วย ดินเหนียวไฮโดรทัลไลท์สังเคราะห์ ควบคุมอุณหภูมิที่ 35 องศาเซลเซียส.....	128
ข.31	ผลของอัตราส่วน w/v เท่ากับ 5.2 กิโลกรัม/ลูกบาศก์เมตรที่มีต่อการดูดซับ สารละลายสีย้อม Reactive Blue 5 ความเข้มข้น 700 กรัม/ลูกบาศก์เมตรด้วย ดินเหนียวไฮโดรทัลไลท์สังเคราะห์ ควบคุมอุณหภูมิที่ 35 องศาเซลเซียส.....	129
ข.32	ผลของอัตราส่วน w/v เท่ากับ 6.0 กิโลกรัม/ลูกบาศก์เมตรที่มีต่อการดูดซับ สารละลายสีย้อม Reactive Blue 5 ความเข้มข้น 700 กรัม/ลูกบาศก์เมตรด้วย ดินเหนียวไฮโดรทัลไลท์สังเคราะห์ ควบคุมอุณหภูมิที่ 35 องศาเซลเซียส.....	130
ข.33	ผลของอัตราส่วน w/v เท่ากับ 6.8 กิโลกรัม/ลูกบาศก์เมตรที่มีต่อการดูดซับ สารละลายสีย้อม Reactive Blue 5 ความเข้มข้น 700 กรัม/ลูกบาศก์เมตรด้วย ดินเหนียวไฮโดรทัลไลท์สังเคราะห์ ควบคุมอุณหภูมิที่ 35 องศาเซลเซียส.....	131
ข.34	ผลของอัตราส่วน w/v เท่ากับ 7.6 กิโลกรัม/ลูกบาศก์เมตรที่มีต่อการดูดซับ สารละลายสีย้อม Reactive Blue 5 ความเข้มข้น 700 กรัม/ลูกบาศก์เมตรด้วย ดินเหนียวไฮโดรทัลไลท์สังเคราะห์ ควบคุมอุณหภูมิที่ 35 องศาเซลเซียส.....	132
ข.35	ผลของอัตราส่วน w/v เท่ากับ 8.4 กิโลกรัม/ลูกบาศก์เมตรที่มีต่อการดูดซับ สารละลายสีย้อม Reactive Blue 5 ความเข้มข้น 700 กรัม/ลูกบาศก์เมตรด้วย ดินเหนียวไฮโดรทัลไลท์สังเคราะห์ ควบคุมอุณหภูมิที่ 35 องศาเซลเซียส.....	133
ข.36	ผลของอัตราส่วน w/v เท่ากับ 6.0 กิโลกรัม/ลูกบาศก์เมตรที่มีต่อการดูดซับ สารละลายสีย้อม Reactive Blue 5 ความเข้มข้น 800 กรัม/ลูกบาศก์เมตรด้วย ดินเหนียวไฮโดรทัลไลท์สังเคราะห์ ควบคุมอุณหภูมิที่ 35 องศาเซลเซียส.....	134

## สารบัญตาราง (ต่อ)

ตารางที่		หน้า
ข.37	ผลของอัตราส่วน w/v เท่ากับ 6.8 กิโลกรัม/ลูกบาศก์เมตรที่มีต่อการดูดซับ สารละลายสีย้อม Reactive Blue 5 ความเข้มข้น 800 กรัม/ลูกบาศก์เมตรด้วย ดินเหนียวไฮโดรทัลไลท์สังเคราะห์ ควบคุมอุณหภูมิที่ 35 องศาเซลเซียส.....	135
ข.38	ผลของอัตราส่วน w/v เท่ากับ 7.6 กิโลกรัม/ลูกบาศก์เมตรที่มีต่อการดูดซับ สารละลายสีย้อม Reactive Blue 5 ความเข้มข้น 800 กรัม/ลูกบาศก์เมตรด้วย ดินเหนียวไฮโดรทัลไลท์สังเคราะห์ ควบคุมอุณหภูมิที่ 35 องศาเซลเซียส.....	136
ข.39	ผลของอัตราส่วน w/v เท่ากับ 8.4 กิโลกรัม/ลูกบาศก์เมตรที่มีต่อการดูดซับ สารละลายสีย้อม Reactive Blue 5 ความเข้มข้น 800 กรัม/ลูกบาศก์เมตรด้วย ดินเหนียวไฮโดรทัลไลท์สังเคราะห์ ควบคุมอุณหภูมิที่ 35 องศาเซลเซียส.....	137
ข.40	ผลของอัตราส่วน w/v เท่ากับ 9.2 กิโลกรัม/ลูกบาศก์เมตรที่มีต่อการดูดซับ สารละลายสีย้อม Reactive Blue 5 ความเข้มข้น 800 กรัม/ลูกบาศก์เมตรด้วย ดินเหนียวไฮโดรทัลไลท์สังเคราะห์ ควบคุมอุณหภูมิที่ 35 องศาเซลเซียส.....	138
ข.41	ผลของอัตราส่วน w/v เท่ากับ 6.8 กิโลกรัม/ลูกบาศก์เมตรที่มีต่อการดูดซับ สารละลายสีย้อม Reactive Blue 5 ความเข้มข้น 900 กรัม/ลูกบาศก์เมตรด้วย ดินเหนียวไฮโดรทัลไลท์สังเคราะห์ ควบคุมอุณหภูมิที่ 35 องศาเซลเซียส.....	139
ข.42	ผลของอัตราส่วน w/v เท่ากับ 7.6 กิโลกรัม/ลูกบาศก์เมตรที่มีต่อการดูดซับ สารละลายสีย้อม Reactive Blue 5 ความเข้มข้น 900 กรัม/ลูกบาศก์เมตรด้วย ดินเหนียวไฮโดรทัลไลท์สังเคราะห์ ควบคุมอุณหภูมิที่ 35 องศาเซลเซียส.....	140
ข.43	ผลของอัตราส่วน w/v เท่ากับ 8.4 กิโลกรัม/ลูกบาศก์เมตรที่มีต่อการดูดซับ สารละลายสีย้อม Reactive Blue 5 ความเข้มข้น 900 กรัม/ลูกบาศก์เมตรด้วย ดินเหนียวไฮโดรทัลไลท์สังเคราะห์ ควบคุมอุณหภูมิที่ 35 องศาเซลเซียส.....	141
ข.44	ผลของอัตราส่วน w/v เท่ากับ 9.2 กิโลกรัม/ลูกบาศก์เมตรที่มีต่อการดูดซับ สารละลายสีย้อม Reactive Blue 5 ความเข้มข้น 900 กรัม/ลูกบาศก์เมตรด้วย ดินเหนียวไฮโดรทัลไลท์สังเคราะห์ ควบคุมอุณหภูมิที่ 35 องศาเซลเซียส.....	142

## สารบัญตาราง (ต่อ)

ตารางที่	หน้า
<p><b>ข.45</b> ผลของอัตราส่วน w/v เท่ากับ 10.0 กิโลกรัม/ลูกบาศก์เมตรที่มีต่อการดูดซับสารละลายสีย้อม Reactive Blue 5 ความเข้มข้น 900 กรัม/ลูกบาศก์เมตรด้วยดินเหนียวไฮโดรทอลไลท์สังเคราะห์ ควบคุมอุณหภูมิที่ 35 องศาเซลเซียส.....</p>	143
<p><b>ค.1</b> ค่าความเข้มข้นเริ่มต้นของสีย้อมและความเข้มข้นของสีย้อมที่เหลือในสารละลายที่ใช้ในการหาไอโซเทอมของการดูดซับในการดูดซับสารละลายสีย้อม Reactive Blue 5 ด้วยดินเหนียวไฮโดรทอลไลท์สังเคราะห์ที่อัตราส่วน w/v เท่ากับ 2.0 กิโลกรัม/ลูกบาศก์เมตร ควบคุมอุณหภูมิที่ 35 องศาเซลเซียส.....</p>	144
<p><b>ค.2</b> ค่าพารามิเตอร์ต่างๆ ที่ใช้ในการหาค่าพลังงานกระตุ้นของการดูดซับในการดูดซับสารละลายสีย้อม Reactive Blue 5 ด้วยดินเหนียวไฮโดรทอลไลท์สังเคราะห์ที่อัตราส่วน w/v เท่ากับ 2.0 กิโลกรัม/ลูกบาศก์เมตร ควบคุมอุณหภูมิที่ 35 องศาเซลเซียส.....</p>	145
<p><b>ง.1</b> ค่าพารามิเตอร์ต่างๆ ที่ใช้ในการหาค่าพลังงานกระตุ้นของการดูดซับในการดูดซับสารละลายสีย้อม Reactive Blue 5 ความเข้มข้น 100 กรัม/ลูกบาศก์เมตร ด้วยดินเหนียวไฮโดรทอลไลท์สังเคราะห์ที่อัตราส่วน w/v เท่ากับ 2.0 กิโลกรัม/ลูกบาศก์เมตร ควบคุมอุณหภูมิที่ 25 องศาเซลเซียส.....</p>	146
<p><b>ง.2</b> ค่าพารามิเตอร์ต่างๆ ที่ใช้ในการหาค่าพลังงานกระตุ้นของการดูดซับในการดูดซับสารละลายสีย้อม Reactive Blue 5 ความเข้มข้น 100 กรัม/ลูกบาศก์เมตร ด้วยดินเหนียวไฮโดรทอลไลท์สังเคราะห์ที่อัตราส่วน w/v เท่ากับ 2.0 กิโลกรัม/ลูกบาศก์เมตร ควบคุมอุณหภูมิที่ 35 องศาเซลเซียส.....</p>	147
<p><b>ง.3</b> ค่าพารามิเตอร์ต่างๆ ที่ใช้ในการหาค่าพลังงานกระตุ้นของการดูดซับในการดูดซับสารละลายสีย้อม Reactive Blue 5 ความเข้มข้น 100 กรัม/ลูกบาศก์เมตร ด้วยดินเหนียวไฮโดรทอลไลท์สังเคราะห์ที่อัตราส่วน w/v เท่ากับ 2.0 กิโลกรัม/ลูกบาศก์เมตร ควบคุมอุณหภูมิที่ 45 องศาเซลเซียส.....</p>	148

## สารบัญตาราง (ต่อ)

ตารางที่		หน้า
ง.4	ค่าพารามิเตอร์ต่างๆ ที่ใช้ในการหาค่าพลังงานกระตุ้นของการดูดซับในการดูดซับสารละลายสีย้อม Reactive Blue 5 ความเข้มข้น 100 กรัม/ลูกบาศก์เมตร ด้วยดินเหนียวไฮโดรทัลไซท์สังเคราะห์ที่อัตราส่วน w/v เท่ากับ 2.0 กิโลกรัม/ลูกบาศก์เมตร ควบคุมอุณหภูมิที่ 55 องศาเซลเซียส.....	149
จ.1	ค่าพารามิเตอร์ต่างๆ ที่ใช้ในการหาค่าเอนทัลปีมาตรฐานของการดูดซับในการดูดซับสารละลายสีย้อม Reactive Blue 5 ความเข้มข้น 100 กรัม/ลูกบาศก์เมตร ด้วยดินเหนียว ไฮโดรทัลไซท์สังเคราะห์ที่อัตราส่วน w/v เท่ากับ 2.0 กิโลกรัม/ลูกบาศก์เมตร ควบคุมอุณหภูมิที่ 25, 35, 45 และ 55 องศาเซลเซียส..	150
ฉ.1	ปริมาตรของสารละลาย $AgNO_3$ ที่ใช้ในการหาค่าความเข้มข้นที่แน่นอนกับสารละลาย $NaCl$ เข้มข้น 0.01 โมลาร์ จำนวน 10 มิลลิลิตร.....	152
ฉ.2	ปริมาตรของสารละลาย $AgNO_3$ ที่ใช้ในการหาค่าความเข้มข้นของ $Cl^-$ ที่ 5 มิลลิลิตร.....	152

## สัญลักษณ์และคำย่อ

คำย่อ	ความหมาย
$q$	ปริมาณตัวถูกดูดซับต่อน้ำหนักของตัวดูดซับที่สภาวะสมดุล (กรัม/กิโลกรัม)
$q_m$	ปริมาณตัวถูกดูดซับต่อน้ำหนักของตัวดูดซับที่สภาวะอิ่มตัว (กรัม/กิโลกรัม)
$\theta$	สัดส่วนของพื้นที่ผิวที่ถูกปกคลุมด้วยตัวถูกดูดซับต่อพื้นที่ผิวที่ใช้ดูดซับทั้งหมด
$r_s$	อัตราการดูดซับต่อหน่วยพื้นที่ทั้งหมด
$r_d$	อัตราการคายซับต่อหน่วยพื้นที่ทั้งหมด
$k_s$	ค่าคงที่ของการดูดซับ (1/นาที)
$C$	ค่าความเข้มข้นที่สภาวะสมดุล (กรัม/เมตร <sup>3</sup> )
$C_t$	ความเข้มข้นของสารละลายที่เวลาต่างๆ (กรัม/เมตร <sup>3</sup> )
$C_0$	ความเข้มข้นเริ่มต้น (กรัม/เมตร <sup>3</sup> )
$k_d$	ค่าคงที่ของการคายซับ (กรัม/เมตร <sup>3</sup> .นาที)
$K_A$	ค่าคงที่สมการแลงเมียร์
$K_F$	ค่าคงที่ของสมการฟลอยลิต
$n$	ค่าคงที่
$q_c$	ปริมาณที่ถูกดูดซับต่อน้ำหนักตัวที่ถูกดูดซับที่สภาวะอิ่มตัวของ การดูดซับอันดับหนึ่ง (กรัม/กิโลกรัม)
$q_1$	ปริมาณที่ถูกดูดซับต่อน้ำหนักตัวดูดซับที่เวลาต่างๆ (กรัม/กิโลกรัม)
$k_1$	ค่าคงที่อัตราสำหรับแบบจำลองการดูดซับอันดับหนึ่ง (1/นาที)
$t$	เวลา (นาที)
$q_c2$	ปริมาณที่ถูกดูดซับต่อน้ำหนักตัวดูดซับที่สภาวะอิ่มตัวของ การดูดซับอันดับสอง (กรัม/กิโลกรัม)
$k_2$	ค่าคงที่อัตราสำหรับแบบจำลองการดูดซับอันดับสอง (กิโลกรัม/กรัม.นาที)
$A$	แฟกเตอร์ความถี่ของการชน
$E_a$	พลังงานกระตุ้น (จูล/โมล)
$R$	ค่าคงที่ของแก๊สมีค่าเท่ากับ 8.3143 (จูล/โมล.เคลวิน)
$T$	อุณหภูมิ (เคลวิน)
$\Delta H$	การเปลี่ยนแปลงของเอนทัลปี (จูล/โมล)

## สัญลักษณ์และคำย่อ (ต่อ)

คำย่อ	ความหมาย
$\Delta S$	การเปลี่ยนแปลงของเอนโทรปี (จูล/โมล.เคลวิน)
K	ค่าคงที่สมดุล
$\Delta G$	การเปลี่ยนแปลงพลังงานอิสระของกิบส์ (จูล/โมล)
Q	เป็นอัตราส่วนของปฏิกิริยา
V	ปริมาตรของสารละลาย (เมตร <sup>3</sup> )
W	น้ำหนักตัวดูดซับที่ใช้ (กิโลกรัม)
$R^2$	สัมประสิทธิ์ความสัมพันธ์
$\Delta H^\circ$	การเปลี่ยนแปลงของเอนทัลปีมาตรฐานที่ 25 °C (จูล/โมล)
$\Delta G^\circ$	การเปลี่ยนแปลงพลังงานอิสระของกิบส์ที่ 25 °C (จูล/โมล)
$\Delta S^\circ$	การเปลี่ยนแปลงของเอนโทรปีที่ 25 °C (จูล/โมล.เคลวิน)

# บทที่ 1

## บทนำ

### 1.1 ความสำคัญและที่มาของวิทยานิพนธ์

ในโรงงานอุตสาหกรรมสิ่งทอมีการใช้สีย้อมและรงควัตถุในกระบวนการฟอกย้อมเสื้อผ้าสำเร็จรูป ขณะเดียวกันก็เป็นกระบวนการที่มีการใช้น้ำมาก และน้ำส่วนใหญ่จะถูกปล่อยกลับออกมาในรูปน้ำทิ้ง น้ำเสียที่มาจากโรงงานสิ่งทอมีลักษณะไม่นำนำมาใช้งาน และถ้ามีการปล่อยสู่แหล่งน้ำทำให้เกิดอันตรายต่อสิ่งมีชีวิตในน้ำได้ น้ำเสียจากอุตสาหกรรมสิ่งทอสามารถบำบัดได้ด้วยวิธีทางเคมีและทางชีวภาพ [1,2] แต่วิธีเหล่านี้เป็นวิธีที่ยุ่งยาก ดังนั้นในการกำจัดน้ำเสียจากกระบวนการฟอกย้อม จึงนิยมใช้วิธีการดูดซับซึ่งเป็นวิธีการที่ง่ายกว่าวิธีทางเคมีและวิธีทางชีวภาพ ตัวดูดซับที่นิยมใช้กันอย่างกว้างขวาง คือ ถ่านกัมมันต์ เพราะมีความสามารถในการดูดซับสารอินทรีย์ได้สูง แต่มีข้อเสีย คือ ถ่านกัมมันต์มีราคาค่อนข้างสูง และการนำกลับมาใช้ใหม่ต้องใช้พลังงานและทำได้ยาก [3] จึงได้มีการพยายามหาวัสดุที่มีราคาถูกกว่ามาทดแทน ในปี 2000 Jason Orthman [4] ได้ทำการศึกษาความสามารถในการดูดซับของตัวดูดซับที่เป็นดินเหนียวสังเคราะห์ คือ ดินเหนียวไฮโดรทัลไซท์ ซึ่งใช้สารเคมีที่มีราคาถูกในการสังเคราะห์ ในการใช้ดูดซับสีย้อมรีแอ็คทีฟ พบว่าสามารถกำจัดสีย้อมรีแอ็คทีฟได้ถึง 90% สีย้อมรีแอ็คทีฟ [5] เป็นสีย้อมที่นิยมใช้กันมาก โดยมีอัตราในการใช้ในท้องตลาดเพิ่มขึ้นประมาณ 20-30% ต่อปี เพราะสีย้อมรีแอ็คทีฟเป็นสีย้อมที่ใช้ในการย้อมผ้าฝ้าย ซึ่งเป็นเส้นใยที่นิยมใช้กันถึงครึ่งหนึ่งในโลก และในการใช้สีย้อมรีแอ็คทีฟ พบว่าเกิดเป็นน้ำเสียถึง 30% คือน้ำสีที่ใช้ย้อมทั้งหมด เพราะเป็นสีย้อมที่เกิดการไฮโดรไลต์ได้ง่ายทำให้ละลายในน้ำได้ดี โดยพบว่าน้ำเสียสุดท้ายที่ได้หลังจากผ่านกระบวนการย้อมมีความเข้มข้นถึง 0.6-0.8 กรัม/ลิตร ในงานนี้เป็นการศึกษาจากทฤษฎีและอุณหพลศาสตร์ของการดูดซับสีย้อมรีแอ็คทีฟ (Reactive Blue 5) ด้วยดินเหนียวไฮโดรทัลไซท์ด้วยวิธีแบบแบตช์ (Batch Reactor) โดยใช้แบบจำลองในการพิจารณา 2 แบบ คือ แบบจำลองการดูดซับอันดับหนึ่งและแบบจำลองการดูดซับอันดับสอง เพื่อนำค่าคงที่อัตราเร็วจากแบบจำลองการดูดซับที่เหมาะสมไปหาค่าพลังงานกระตุ้นของการดูดซับ และทางอุณหพลศาสตร์มีการพิจารณาค่าของเอนทัลปีมาตรฐาน ( $\Delta H^\circ$ ) พลังงานอิสระมาตรฐานของกิบส์ ( $\Delta G^\circ$ ) และค่าเอนโทรปีมาตรฐาน ( $\Delta S^\circ$ ) ที่มีผลต่อการดูดซับ

## 1.2 วัตถุประสงค์

1. เพื่อศึกษาคุณสมบัติของดินเหนียวไฮโดรทัลไลท์สังเคราะห์
2. เพื่อศึกษาความสามารถในการดูดซับสี้อมด้วยดินเหนียวไฮโดรทัลไลท์สังเคราะห์ โดยพิจารณาจากค่าความเข้มข้นและอัตราส่วน w/v ที่แตกต่างกัน
3. เพื่อศึกษาไอโซเทอมของการดูดซับสี้อมด้วยดินเหนียวไฮโดรทัลไลท์สังเคราะห์
4. เพื่อศึกษาแบบจำลองในการดูดซับสี้อมด้วยดินเหนียวไฮโดรทัลไลท์สังเคราะห์
5. เพื่อศึกษาหาค่าพลังงานกระตุ้นจากสมการของอาร์เรเนียส
6. เพื่อศึกษาอุณหภูมิศาสตร์ของการดูดซับสี้อมด้วยดินเหนียวไฮโดรทัลไลท์สังเคราะห์

## 1.3 ขอบเขตการศึกษา

1. เตรียมดินเหนียวไฮโดรทัลไลท์สังเคราะห์ที่เป็นตัวดูดซับ ได้จากการนำสารละลาย เจือจางผสมของแมกนีเซียมคลอไรด์และอะลูมิเนียมคลอไรด์ ทำปฏิกิริยากับสารละลายโซเดียมคาร์บอเนตในสถานะที่เป็นเบส
2. ศึกษาคุณสมบัติทางกายภาพของดินเหนียวไฮโดรทัลไลท์สังเคราะห์ คือ ขนาดของอนุภาค ขนาดของรูพรุน ความสามารถในการแลกเปลี่ยนประจุลบ และพื้นที่ผิว คุณสมบัติทางเคมีคือ  $\text{Na}_2\text{O}$   $\text{MgO}$   $\text{Al}_2\text{O}_3$  และ  $\text{Cl}$
3. ศึกษาการดูดซับของสารละลายสี้อมด้วยดินเหนียวไฮโดรทัลไลท์สังเคราะห์ โดย กำหนดค่าความเข้มข้นเริ่มต้น และอัตราส่วนของ w/v ต่างๆ กัน ดังนี้

ความเข้มข้นเริ่มต้นของสี้อม ( $\text{g}/\text{m}^3$ )	อัตราส่วน w/v ที่ใช้ ( $\text{kg}/\text{m}^3$ )
100	0.4 0.8 1.2 1.6 และ 2.0
200	1.2 2.0 2.8 3.6 และ 4.4
300	2.0 2.8 3.6 4.4 และ 5.2
400	2.8 3.6 4.4 5.2 และ 6.0
500	3.6 4.4 5.2 6.0 และ 6.8
600	4.4 5.2 6.0 6.8 และ 7.6
700	5.2 6.0 6.8 7.6 และ 8.4
800	6.0 6.8 7.6 8.4 และ 9.2
900	6.8 7.6 8.4 9.2 และ 10.0

4. ทำการหาความสัมพันธ์ของการดูดซับที่สภาวะสมดุลจากไอโซเทอมของแลงเมียร์ และฟลอยลิช โดยใช้ความเข้มข้นของสีย้อมดังนี้ คือ 100 200 300 400 500 600 700 800 และ 900  $\text{g/m}^3$  โดยใช้ค่าอัตราส่วน w/v คงที่ในแต่ละความเข้มข้นเท่ากับ 2  $\text{kg/m}^3$  ควบคุมอุณหภูมิคงที่ที่ 35 องศาเซลเซียส ใช้เวลาในการทดลอง 3 วัน
5. ทำการพิจารณาแบบจำลองในการดูดซับ 2 แบบ คือ แบบจำลองการดูดซับอันดับหนึ่งและแบบจำลองการดูดซับอันดับสอง จากข้อมูลระหว่างค่าการดูดซับที่เวลาต่างๆ และค่าการดูดซับที่สภาวะอิ่มตัว
6. ทำการหาค่าพลังงานกระตุ้น โดยใช้ความเข้มข้นของสีย้อม คือ 100  $\text{g/m}^3$  และใช้อัตราส่วน w/v คงที่เท่ากับ 2  $\text{kg/m}^3$  ที่อุณหภูมิต่างๆ กัน คือ 25 35 45 และ 55 องศาเซลเซียส
7. ทำการหาค่าทางอุณหพลศาสตร์ คือ เอนทัลปี ( $\Delta H^\circ$ ) จากสมการของแวนฮอฟ โดยใช้ความเข้มข้นของสีย้อม คือ 100  $\text{g/m}^3$  และใช้อัตราส่วน w/v คงที่เท่ากับ 2  $\text{kg/m}^3$  ที่อุณหภูมิต่างๆ กัน คือ 25 35 45 และ 55 องศาเซลเซียส ใช้เวลาในการทดลอง 3 วัน นำค่าเอนทัลปีที่ได้ไปหาค่าพลังงานอิสระของกิบส์ ( $\Delta G^\circ$ ) เพื่อนำไปหาค่าเอนโทรปี ( $\Delta S^\circ$ ) ต่อไป

#### 1.4 ประโยชน์ที่คาดว่าจะได้รับ

1. เพื่อเป็นแนวทางในการพัฒนาไปใช้ในอุตสาหกรรมสีย้อม
2. ทำให้ทราบถึงประสิทธิภาพในการกำจัดสีย้อมรีแอ็คทีฟ
3. ทราบปัจจัยที่มีผลต่อการกำจัดสีย้อมรีแอ็คทีฟและนำไปประยุกต์ใช้ในการกำจัดน้ำเสียสีย้อมชนิดอื่นๆ

## บทที่ 2

# ทฤษฎีและงานวิจัยที่เกี่ยวข้อง

การดูดซับ คือ กระบวนการที่อะตอมหรือโมเลกุลของสารหนึ่งยึดติดอยู่กับผิวของสารอีกสารหนึ่ง สารที่ไปยึดเกาะที่ผิวหน้าเรียกว่า ตัวถูกดูดซับ (Adsorbate) ส่วนสารที่ตัวถูกดูดซับไปเกาะเรียกว่า ตัวดูดซับ (Adsorbent) ปริมาณการดูดซับจะขึ้นอยู่กับลักษณะโครงสร้างของตัวดูดซับ คุณสมบัติทางเคมีของตัวดูดซับและตัวถูกดูดซับ พื้นผิวและขนาดของรูพรุนของตัวดูดซับ การดูดซับเป็นกระบวนการหนึ่งที่น่าิยมใช้ในการแยกสารหรือทำให้สารบริสุทธิ์

### 2.1 ประเภทของการดูดซับ[6]

การดูดซับแบ่งได้เป็น 2 ประเภทตามลักษณะของแรงยึดเหนี่ยวระหว่างโมเลกุล คือ การดูดซับทางกายภาพ (Physical adsorption) และการดูดซับทางเคมี (Chemical adsorption)

#### 2.1.1 การดูดซับทางกายภาพ (Physical adsorption)

การดูดซับประเภทนี้แรงที่ทำให้เกิดการเกาะหรือยึดเหนี่ยวระหว่างโมเลกุลของตัวถูกดูดซับกับ โมเลกุลที่ผิวหน้าของตัวดูดซับจะเป็นแรงค่อนข้างอ่อน เช่น แรงวานเดอร์วาลส์ (Van der Waals forces) แรงไดโพล-ไดโพล (dipole-dipole forces) เป็นต้น โดยที่โมเลกุลที่ถูกดูดซับจะมีคุณสมบัติทางเคมีเหมือนเดิม

#### 2.1.2 การดูดซับทางเคมี (Chemical adsorption)

จะเกี่ยวข้องกับแรงหรือพันธะทางเคมีของตัวถูกดูดซับกับพื้นผิวของตัวดูดซับ ซึ่งมีลักษณะเหมือนกับการเกิดปฏิกิริยา การเกาะของตัวถูกดูดซับที่ผิวของตัวดูดซับจะเหมือนแรงที่ใช้ยึดเหนี่ยวกันระหว่างอะตอมภายในโมเลกุล การดูดซับทางเคมีบางครั้งต้องอาศัยพลังงานเข้าร่วมด้วย

ข้อแตกต่างระหว่างการดูดซับทางกายภาพและการดูดซับทางเคมี

1. การดูดซับทางกายภาพไม่มีการถ่ายเทหรือการใช้อิเล็กทรอนิกส์ร่วมกัน สามารถผันกลับได้ในสภาวะอุณหภูมิเดียวกัน แต่การดูดซับทางเคมีจะผันกลับไม่ได้
2. การดูดซับทางกายภาพสามารถเกิดได้ทั่วไปบนพื้นผิวตัวดูดซับไม่มีบริเวณจำเพาะ ในการเกิดกระบวนการดูดซับภายใต้สภาวะความดัน และอุณหภูมิที่เหมาะสมจะเกิดการดูดซับหลายชั้นได้ การดูดซับทางเคมีจะเกิดในบริเวณจำเพาะเท่านั้น และโดยทั่วไปการดูดซับทางเคมีจะเกิดแบบชั้นเดียวเท่านั้น
3. ความร้อนที่ได้จากการดูดซับทางกายภาพจะน้อยกว่าการดูดซับทางเคมี

## 2.2 กลไกการดูดซับ[7]

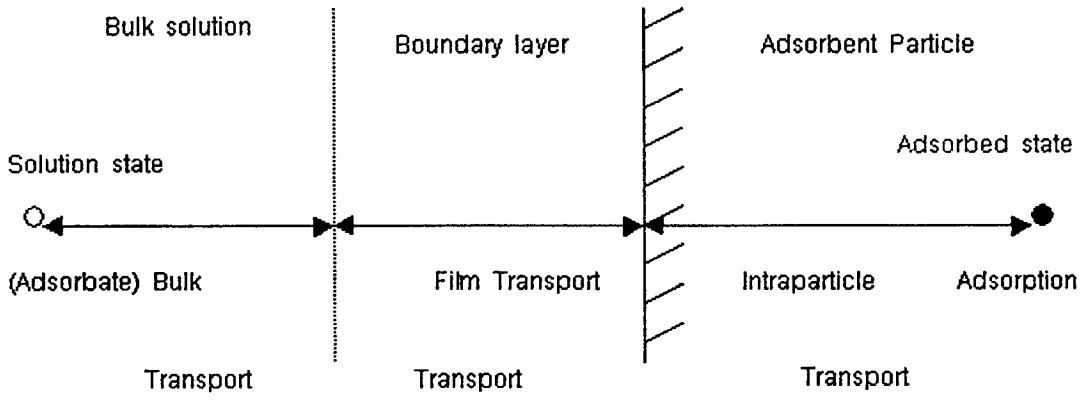
กลไกการดูดซับเป็นการเคลื่อนที่ของตัวถูกดูดซับเข้าไปในตัวดูดซับเกิดขึ้นเป็นขั้นตอนย่อย 4 ขั้นตอนติดต่อกัน ดังรูปที่ 2.1

ขั้นตอนที่ 1 (Bulk transport) เป็นการเคลื่อนที่ของตัวถูกดูดซับ (Mass transfer) จากสารละลาย (bulk solution) ไปยังผิวฟิล์มน้ำหรือโมเลกุลน้ำที่ล้อมรอบตัวดูดซับ

ขั้นตอนที่ 2 (Film transport) เป็นการเคลื่อนที่ของตัวถูกดูดซับ (Mass transfer) ข้ามฟิล์มน้ำไปยังผิวของตัวดูดซับ

ขั้นตอนที่ 3 (Intraparticle transport หรือ Pore transport) เป็นการเคลื่อนที่ของตัวถูกดูดซับ (Mass transfer) เข้าไปภายในรูพรุนของตัวดูดซับ

ขั้นตอนที่ 4 (Adsorption) เป็นการดูดซับระหว่างตัวถูกดูดซับกับ active sites บนผิวตัวดูดซับ เกิดเร็วมากและอาจดูดติดผิวด้วยแรงทางกายภาพและทางเคมี หรือทั้ง 2 แรงพร้อมกัน



รูปที่ 2.1 ขั้นตอนการเคลื่อนตัวของตัวถูกดูดซับในขบวนการดูดซับ [7]

### 2.3 แรงที่เกี่ยวข้องกับการดูดซับ[8]

ในการดูดซับตัวถูกละลายจากสารละลาย จะเกิดการดูดซับด้วยแรงทางกายภาพ (Physical force) และแรงทางเคมี (Chemical force) โดยแรงทางกายภาพได้แก่ แรงแวนเดอวาลส์ และแรงไฟฟ้าสถิตย์ เกิดที่บริเวณผิวรอบนอกของสารประกอบ เช่น Ion exchange ส่วนแรงทางเคมีจะเป็นผลเนื่องมาจากการเกิดแรงกระทำ (interaction) เกิดเป็นสารประกอบติดผิวตัวดูดซับด้วยพันธะโควาเลนต์ (Covalent bonding) และพันธะไฮโดรเจน (Hydrogen bonding)

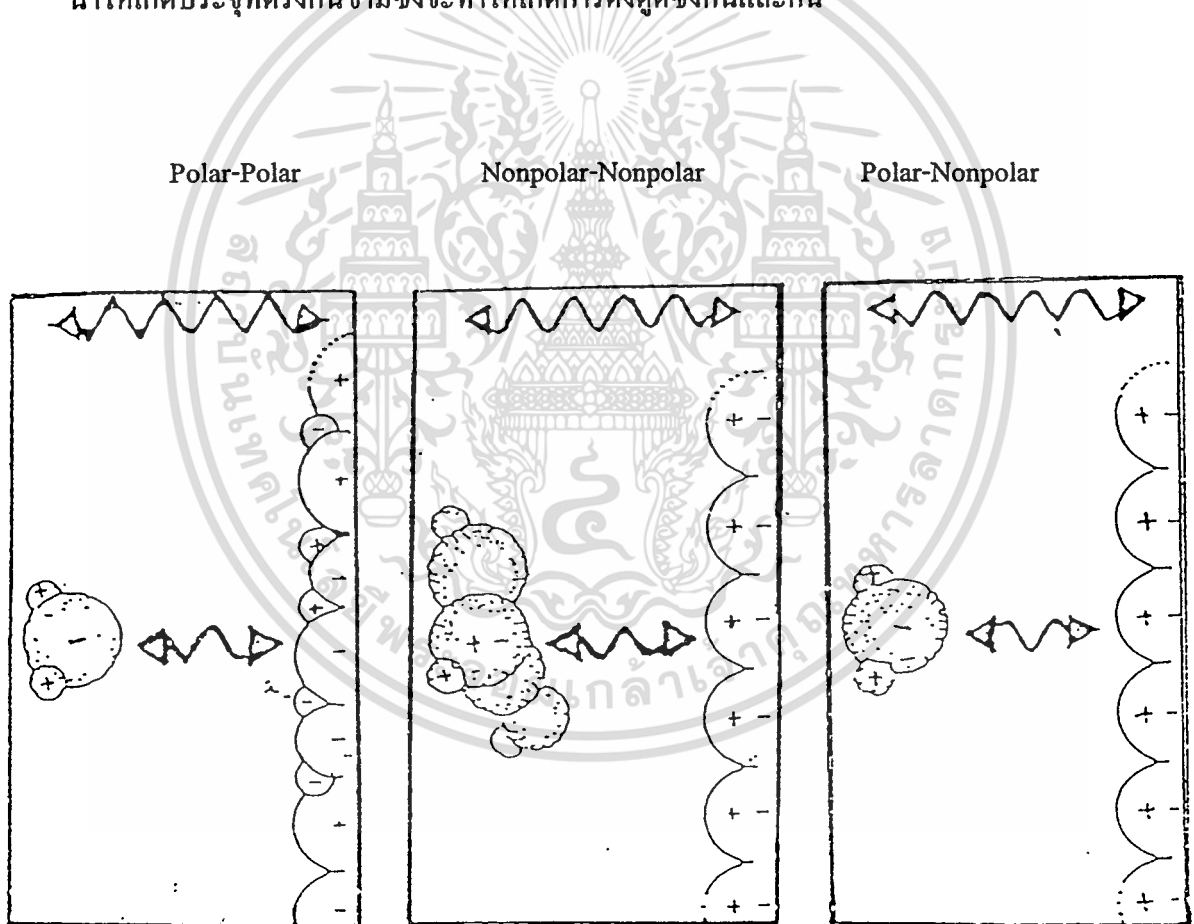
2.3.1 แรงแวนเดอวาลส์ (Van der Waal's force) อะตอมที่อยู่อย่างอิสระหรือโมเลกุลที่อยู่ในสภาพไม่มีขั้ว สามารถเกิดแรงดึงดูดอ่อนๆ ได้ เนื่องจากการเคลื่อนที่ของอิเล็กตรอนอย่างไม่เป็นระเบียบในอะตอมหรือโมเลกุลนั้น ทำให้มีความหนาแน่นของกลุ่มหมอกอิเล็กตรอนในแต่ละบริเวณภายในอะตอมหรือโมเลกุลไม่เท่ากันมีผลทำให้เกิดสภาพขั้วขึ้นและสามารถถูกดูดซับด้วยตัวดูดซับได้ การดูดซับประเภทนี้มีพลังงานในการดูดซับต่ำ จึงเป็นการเกาะจับกันด้วยแรงอ่อนๆ ดังนั้นการคายการดูดซับจะสามารถกระทำได้ง่าย ซึ่งเป็นข้อดี เพราะสามารถฟื้นฟูสภาพของตัวดูดซับได้ง่าย

2.3.2 แรงทางไฟฟ้าสถิตย์ (Electrostatic force) เป็นแรงดึงดูดระหว่างโมเลกุลที่มีขั้วเข้าด้วยกัน หรือระหว่างสารที่ไม่มีขั้วกับสารที่มีขั้ว ซึ่งการเกาะจับของโมเลกุลชนิดต่างๆ เหล่านี้เกิดจากผล 3 อย่าง แสดงดังรูปที่ 2.2 ดังนี้

2.3.2.1 แรงดึงดูดระหว่างโมเลกุลที่มีขั้ว เกิดจากการจัดเรียงโมเลกุล (Orientation effect) ที่มีขั้ว 2 โมเลกุล คือ ขั้วลบของโมเลกุลหนึ่งกับขั้วบวกของอีกโมเลกุลหนึ่ง ทำให้เกิดแรงดึงดูดระหว่างโมเลกุลที่มีประจุตรงข้าม

2.3.2.2 แรงดึงดูดระหว่างโมเลกุลที่ไม่มีขั้ว (Non-polar molecule) เกิดจากผลของการกระจายตัว (Dispersion effect) ซึ่งเป็นผลจากการที่โมเลกุลไม่มีขั้วสามารถเปลี่ยนเป็นไดโพลโมเลกุลได้เมื่ออิเล็กตรอนเคลื่อนที่ไปอยู่ด้านใดด้านหนึ่งมาก และเมื่อมีโมเลกุลที่ไม่มีขั้วที่มีลักษณะเช่นเดียวกันเข้ามาใกล้ก็จะเกิดแรงดึงดูดซึ่งกันและกันและมักเป็นแรงที่อ่อน เช่น สารอินทรีย์และอานกัมมันต์ ทั้งนี้เนื่องจากสารอินทรีย์ส่วนใหญ่จะเป็นโมเลกุลที่ไม่มีขั้ว

2.3.2.3 แรงดึงดูดระหว่างโมเลกุลที่มีขั้วกับโมเลกุลที่ไม่มีขั้ว เป็นผลเนื่องมาจากการเหนี่ยวนำ (Induction effect) โดยโมเลกุลที่มีขั้วเข้ามาอยู่ใกล้โมเลกุลที่ไม่มีขั้วแล้วเหนี่ยวนำให้เกิดประจุที่ตรงกันข้ามซึ่งจะทำให้เกิดการดึงดูดซึ่งกันและกัน



รูปที่ 2.2 การดูดซับของสารดูดซับด้วยแรงทางไฟฟ้าสถิตย์ [8]

เอกสารนี้เป็นเอกสารที่สงวนไว้สำหรับการใช้งานเพื่อการศึกษาเท่านั้น ไม่อนุญาตให้นำไปใช้ประโยชน์ด้านการค้า ไม่ว่าจะกรณีใดๆทั้งสิ้น อีกทั้งห้ามมิให้ตัดแปลงเนื้อหา และต้องอ้างอิงถึงเจ้าของเอกสารทุกครั้งที่มีการนำไปใช้

2.3.3 **แรงทางเคมี** เป็นการยึดเหนี่ยวกันระหว่างไอออนกับตัวดูดซับ อาจเกิดเนื่องจากปฏิกิริยาการเกิดสารเชิงซ้อน การที่โลหะหนักสามารถถูกดูดซับไว้ที่ผิวของตัวดูดซับต่างๆ เช่น คอลลอยด์ดินเหนียวเนื่องจากโลหะหนักเป็นธาตุทรานซิชันที่สามารถเกิดสารประกอบเชิงซ้อนกับหมู่ฟังก์ชัน (Functional group) ที่ผิวของตัวดูดซับได้ แรงทางเคมี มีลักษณะดังนี้

2.3.3.1 เป็นพันธะเคมีที่เกิดจากการที่อิเล็กตรอนร่วมกันหรือให้อิเล็กตรอนหรือเกิดจากการแลกเปลี่ยนอิเล็กตรอน มีผลทำให้เกิดแรงยึดเหนี่ยวกันแรงกว่าแรงทางฟิสิกส์

2.3.3.2 ไม่สามารถเปลี่ยนกลับไปกลับมาได้ (Irreversible) เพราะยึดเหนี่ยวด้วยแรงที่มากและมีการจับกันเป็นสารประกอบเคมี

## 2.4 ปัจจัยที่มีผลต่อการดูดซับ (Factors affecting adsorption)[9, 10]

### 2.4.1 ธรรมชาติของตัวดูดซับ (Nature of the adsorbent)

#### 2.4.1.1 พื้นที่ผิวและโครงสร้างของรูพรุน (Surface area and Pore structure)

พื้นที่ผิวเป็นคุณสมบัติอย่างหนึ่งที่มีผลต่อความสามารถของตัวดูดซับในการดูดซับ ความสามารถในการดูดซับจะเพิ่มขึ้นเมื่อพื้นที่ผิวของตัวดูดซับมากขึ้น แต่อย่างไรก็ตามพื้นที่ผิวของตัวดูดซับไม่เพียงพอที่จะอธิบายความสามารถในการดูดซับได้ดี โครงสร้างของรูพรุนก็มีส่วนช่วยให้พื้นที่ผิวมีความสามารถในการดูดซับเพิ่มขึ้น แต่ถ้าขนาดโมเลกุลของตัวดูดซับไม่สามารถเข้าไปในรูพรุนของตัวดูดซับได้ ความสามารถในการดูดซับก็จะต่ำลง

#### 2.4.1.2 ขนาดของตัวดูดซับ (Adsorbent size)

ถ้าตัวดูดซับ ไม่มีรูพรุนพื้นที่ผิวจะเพิ่มขึ้นเมื่อขนาดลดลงซึ่งทำให้ความสามารถในการดูดซับเพิ่มขึ้น แต่ถ้าตัวดูดซับมีรูพรุนมากๆ พื้นที่ผิวที่ใช้ในการดูดซับจะอยู่ในรูพรุนขนาดของตัวดูดซับจะไม่มีผลกับความสามารถในการดูดซับ

## 2.4.2 ธรรมชาติของตัวถูกดูดซับ (Nature of the adsorbate)

### 2.4.2.1 ความสามารถในการละลาย

เมื่อมีการดูดซับเกิดขึ้น โมเลกุลของตัวถูกดูดซับจะถูกดึงออกจากน้ำ และไปเกาะติดบนผิวของตัวดูดซับ ตัวถูกดูดซับที่ละลายน้ำได้ (หรือแตกตัวเป็นไอออน) ย่อมมีแรงยึดเหนี่ยวกับน้ำได้อย่างเหนียวแน่นจึงเป็นการยากต่อการดูดซับ ตัวถูกดูดซับที่ไม่ละลายน้ำ หรือละลายน้ำได้น้อย มักสามารถเกาะติดบนผิวของตัวดูดซับได้ดี อย่างไรก็ตามค่ากล่าวข้างต้นไม่ได้เป็นจริงเสมอไป ทั้งนี้เพราะมีตัวถูกดูดซับที่ละลายน้ำได้น้อยหลายชนิด เกาะติดผิวของตัวดูดซับได้ยาก

### 2.4.2.2 น้ำหนักโมเลกุลและขนาดของโมเลกุล

เมื่อน้ำหนักโมเลกุลและขนาดของโมเลกุลของตัวถูกดูดซับเพิ่มขึ้น ความสามารถในการดูดซับจะเพิ่มขึ้น เช่น ถ้าโมเลกุลของตัวดูดซับเป็นสารอินทรีย์ ถ้าจำนวนคาร์บอนอะตอมมากขึ้นการดูดซับก็จะมากขึ้น เพราะการเพิ่มน้ำหนักโมเลกุลจะเป็นผลให้ความสามารถในการละลายลดลง

### 2.4.2.3 ความมีขั้วของโมเลกุล

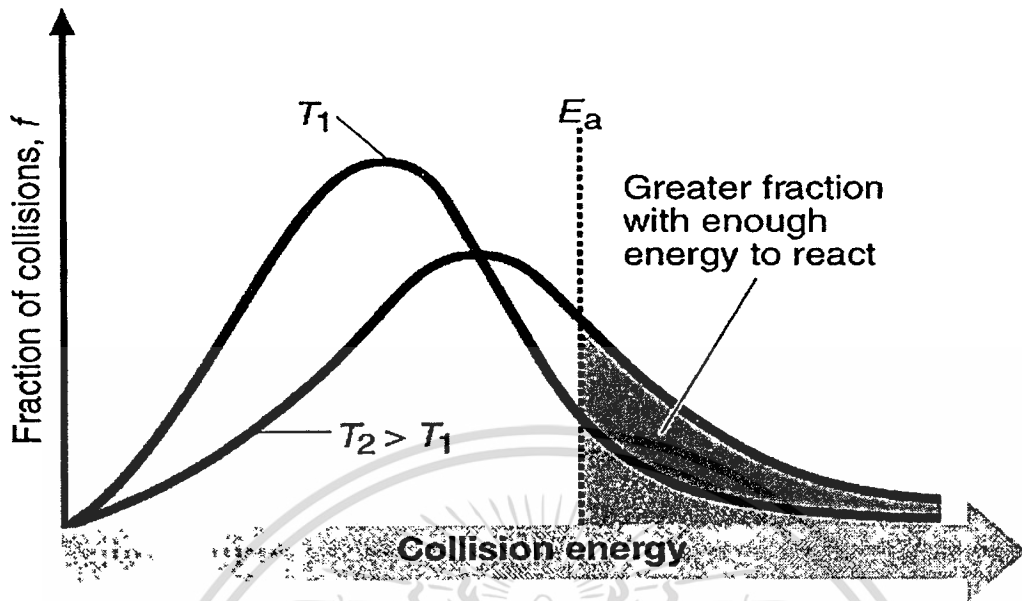
ความสามารถในการดูดซับจะลดลงเมื่อสภาพมีขั้ว (Polarity) เพิ่มขึ้น เพราะการเพิ่มสภาพมีขั้วจะทำให้ความสามารถในการละลายดีขึ้น

### 2.4.2.4 ความเข้มข้นของสารละลายหรือตัวดูดซับ

โดยทั่วไปแล้วอัตราเร็วของการดูดซับจะเป็นสัดส่วนโดยตรงกับความเข้มข้นเริ่มต้นของตัวถูกดูดซับ คือ อัตราการดูดซับเพิ่มขึ้นเมื่อความเข้มข้นตัวถูกดูดซับเพิ่มขึ้น และอัตราการดูดซับจะลดลงเมื่อความเข้มข้นลดลง

## 2.4.3 ผลของอุณหภูมิ (Effect of temperature)

อัตราเร็วของการดูดซับจะเกิดขึ้นหรือเร็วขึ้น ขึ้นกับอุณหภูมิของสารละลาย กล่าวคือ เมื่ออุณหภูมิเพิ่มขึ้นจะมีผลทำให้อัตราเร็วของการดูดซับเพิ่มขึ้น เนื่องจากอุณหภูมิมิผลต่อการเพิ่มจำนวนโมเลกุลของสารที่มีพลังงานสูงกว่าพลังงานต่ำสุดที่ทำให้เกิดการดูดซับ (พลังงานกระตุ้น,  $E_a$ ) ดังรูปที่ 2.3 จะเห็นว่าระบบที่มีความเข้มข้นของสารเท่ากัน 2 ระบบนั้น จำนวนโมเลกุลที่มีพลังงานสูงกว่าพลังงานกระตุ้น (ซึ่งเป็นสัดส่วนโดยตรงกับพื้นที่ใต้กราฟ) ของระบบที่มีอุณหภูมิสูงจะมีมากกว่าจำนวนโมเลกุลที่อุณหภูมิต่ำ ดังนั้นการเพิ่มอุณหภูมิจึงเป็นการเพิ่มจำนวนโมเลกุลที่มีพลังงานสูงกว่าพลังงานกระตุ้น ซึ่งการเพิ่มขึ้นของโมเลกุลเหล่านี้จะมีผลให้อัตราเร็วในการดูดซับเพิ่มขึ้น



รูปที่ 2.3 กราฟการกระจายตัวของพลังงานของระบบที่มีความเข้มข้นของสารเท่ากัน [10]

#### 2.4.4 อัตราเร็วของการกวน

ความเร็วในการเคลื่อนที่ของตัวถูกละลายผ่านชั้นฟิล์มนั้น (film diffusion) ขึ้นกับความหนาของชั้นฟิล์ม ซึ่งหากฟิล์มยิ่งหนามากเท่าใดจะใช้เวลาในการเคลื่อนที่ผ่านมากขึ้น และส่งผลให้กระบวนการดูดซับเกิดช้าลง โดยเฉพาะอย่างยิ่งหากไม่มีการกวนสารละลายเลย จะยิ่งทำให้ความหนาของชั้นฟิล์มระหว่างของแข็งกับของเหลวมีมาก ในระบบที่มีการกวนและไม่กวนสารละลาย พบว่าการกวนจะช่วยให้อัตราเร็วของการดูดซับเพิ่มขึ้นถึง 3 เท่า

#### 2.5 สมดุลและไอโซเทอมของการดูดซับ (Adsorption Equilibrium and Adsorption Isotherm)[11, 12]

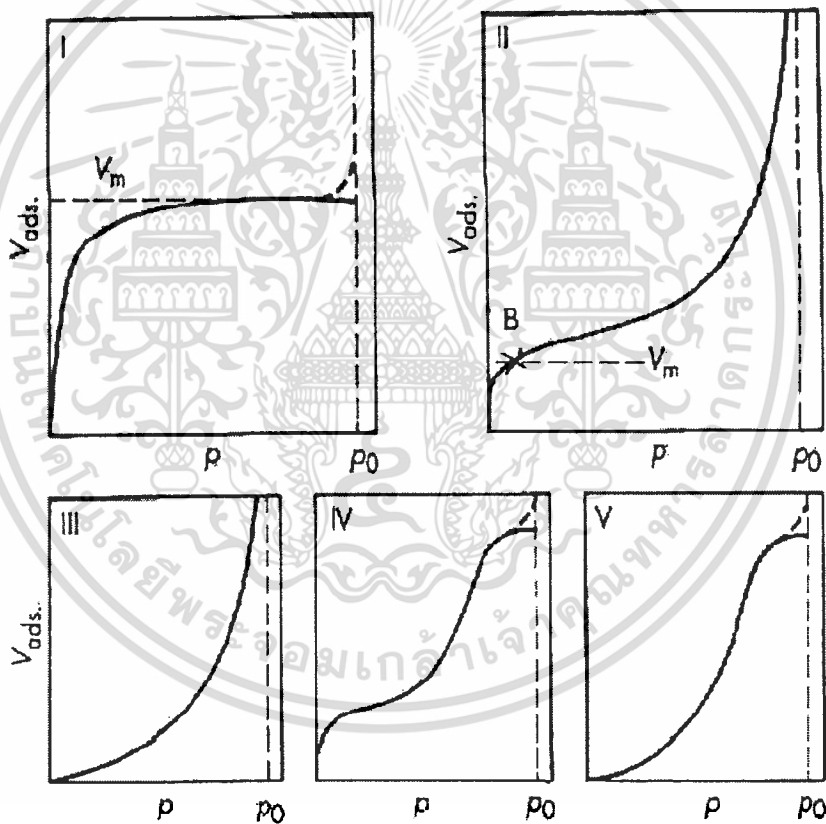
การดูดซับด้วยของแข็งที่เกิดขึ้นในสารละลาย (Liquid-solid adsorption) จะสัมพันธ์กับความเข้มข้นของตัวถูกละลายบนผิวของของแข็ง เมื่อกระบวนการดูดซับเพิ่มขึ้นเรื่อยๆ จะมีการคายการดูดซับ (Desorption) เกิดขึ้นพร้อมๆ กัน จนในที่สุดจำนวนตัวถูกละลายที่ถูกดูดซับกับที่คายออกมาจะเท่ากัน ผลที่เกิดตามมาก็คือ อัตราการดูดซับและอัตราการคายตัวจะเท่ากันหรือระบบเข้าสู่ภาวะสมดุล เรียกว่าสมดุลของการดูดซับ (Adsorption equilibrium) ที่สภาวะสมดุลของการดูดซับความเข้มข้นของตัวถูกละลายบนผิวของของแข็งจะไม่เปลี่ยนแปลง ตำแหน่งที่เกิดสมดุลของการดูดซับหนึ่งๆ จะเป็นคุณสมบัติของระบบนั้นๆ ซึ่งขึ้นอยู่กับตัวถูกละลาย ตัวดูดซับ

เอกสารนี้เป็นเอกสารที่สงวนไว้สำหรับการใช้งานเพื่อการศึกษาเท่านั้น ไม่อนุญาตให้นำไปใช้ประโยชน์ด้านการค้า ไม่ว่าจะกรณีใดๆทั้งสิ้น อีกทั้งห้ามมิให้ตัดแปลงเนื้อหา และต้องอ้างอิงถึงเจ้าของเอกสารทุกครั้งที่มีการนำไปใช้

ตัวทำละลาย อุณหภูมิ และความเป็นกรด-ด่างของระบบ ปริมาณของการดูดซับที่สมดุลจะเพิ่มขึ้นเมื่อความเข้มข้นของตัวถูกละลายเพิ่มขึ้นเมื่อความเข้มข้นของตัวถูกละลายเพิ่มขึ้น ซึ่งโดยทั่วไปเราใช้ไอโซเทอมของการดูดซับ (Adsorption isotherm) เป็นตัวแทนในการอธิบายความสัมพันธ์ที่เกิดขึ้น

### 2.5.1 ไอโซเทอมของการดูดซับ (Adsorption isotherm)

ไอโซเทอมของการดูดซับ คือ ความสัมพันธ์ระหว่างปริมาณของตัวถูกละลายที่ถูกดูดซับต่อหน่วยน้ำหนักของตัวดูดซับ ( $q$ ) กับความเข้มข้นของตัวถูกละลายที่เหลืออยู่ที่สภาวะสมดุล ( $C$ ) ณ อุณหภูมิคงที่ โดยทั่วไปการศึกษาการดูดซับมักพบไอโซเทอมใน 5 ลักษณะดังรูปที่ 2.4 ซึ่งจำแนกจากลักษณะความโค้งของความชันของเส้นไอโซเทอมในช่วงแรก



รูปที่ 2.4 ลักษณะเส้นไอโซเทอมของการดูดซับแบบต่างๆ [11]

**Type I** พบมากที่สุดเป็นการดูดซับโดยที่มีชั้นของตัวที่ถูกดูดซับคลุมที่ผิวของตัวดูดซับได้หนาหนึ่งโมเลกุล (Single layer adsorption) พบทั้งการดูดซับทางเคมีและการดูดซับทางฟิสิกส์จะเป็นปรากฏการณ์ดูดซับของ microporous powers ซึ่งปริมาณของการดูดซับจะเพิ่มขึ้นอย่างรวดเร็วที่ความดันสัมพัทธ์ (Relative pressure) ต่ำๆ และที่ความดันสัมพัทธ์เข้าใกล้หนึ่ง จะมีการดูดซับเกิดขึ้นเพียงเล็กน้อย ซึ่งถ้ามีการดูดซับแบบนี้แสดงว่าผลิตภัณฑ์มีรูพรุนเป็น microporous และมีปริมาณมากเมื่อเทียบกับพื้นที่ผิวภายนอกของผลิตภัณฑ์

**Type II** พบมากในปรากฏการณ์การดูดซับที่มีชั้นของตัวดูดซับหนาขึ้นเรื่อยๆ (ปริมาณที่ถูกดูดซับเข้าสู่ค่าอนันต์) โดยจะเกิดบน nonporous power ที่มีเส้นผ่าศูนย์กลางของรูพรุนกว้างกว่า microporous (1.5 นาโนเมตร) ที่จุดเปลี่ยนกราฟ (inflection point or knee of isotherm) เกิดขึ้น เมื่อการดูดซับบนพื้นผิวชั้นแรกเกิดเกือบสมบูรณ์แล้ว (เป็น monolayer เกือบสมบูรณ์) และถ้าเพิ่ม relative pressure จะทำการดูดซับเกิดมากกว่า 1 ชั้น ดังนั้นการดูดซับแบบนี้จะเป็นการดูดซับแบบ multilayer

**Type III** การดูดซับคล้าย type II แต่การดูดซับของชั้นแรกนั้นให้ความร้อนออกมาน้อยกว่าความร้อนของการควบแน่น เป็นลักษณะเฉพาะของการเกิดความร้อนของการดูดซับ (Heat of adsorption) มีน้อยกว่าความร้อนของการจับตัวกันของตัวถูกดูดซับที่เป็นของเหลว (the adsorbate heat of liquefaction) ดังนั้นการดูดซับที่เพิ่มขึ้น เกิดเพราะตัวถูกดูดซับทำปฏิกิริยากับชั้นของตัวถูกดูดซับมากกว่าเกิดปฏิกิริยากับผิวของตัวดูดซับ

**Type IV** เป็นปรากฏการณ์ที่เกิดบนตัวดูดซับที่มีรัศมีรูพรุนประมาณ 15-1,000 อังสตรอม การดูดซับคล้าย Type II สำหรับความหนาของชั้นโมเลกุลชั้นแรกๆ แต่การดูดซับจะถึงจุดอิ่มตัวเนื่องจากรูพรุนแคปิลารีภายในตัวดูดซับเต็มหมดแล้ว ความชันที่เพิ่มขึ้นเมื่อ relative pressure เพิ่มขึ้นชี้ให้เห็นว่าตัวดูดซับเข้าไปในรูพรุนได้มากขึ้น ปรากฏการณ์ที่มีจุดเปลี่ยนของเส้นกราฟนี้เกิดเช่นเดียวกับใน Type II คือเกือบเป็น monolayer สมบูรณ์

**Type V** การดูดซับคล้าย Type III ในช่วงความเข้มข้นต่ำแต่การดูดซับเพิ่มขึ้นเรื่อยๆ เข้าสู่ค่าสูงสุดค่าหนึ่งเช่นเดียวกับ Type IV เป็นปรากฏการณ์การดูดซับที่เป็นผลจากแรงดึงดูดดูดซับและตัวดูดซับมีค่าน้อยๆ โดยขนาดของรูพรุนอยู่ในช่วงประมาณ 15-1,000 อังสตรอม

## 2.5.2 สมการที่ใช้อธิบายไอโซเทอม

โดยทั่วไปสมการที่อธิบายไอโซเทอมของการดูดซับมีหลายชนิด เนื่องจากมีหลายทฤษฎี ได้ถูกนำมาอธิบายเกี่ยวกับสมดุลของการดูดซับที่เกิดขึ้น นิยมเปลี่ยนเส้นโค้งให้อยู่ในรูปเส้นตรง แล้วคำนวณหาค่าต่างๆ ด้วยสมการเพื่อใช้อธิบายการดูดซับ แต่ที่นิยมใช้มากในการศึกษาที่เกี่ยวข้องกับการดูดซับด้วยคินคือ Langmuir adsorption isotherm และ Freundlich adsorption isotherm

### 2.5.2.1 สมการการดูดซับของแลงเมียร์ (Langmuir adsorption isotherm) [12]

แบบจำลองนี้พัฒนามาจากแนวความคิดที่ว่า เมื่อความเข้มข้นของตัวถูกดูดซับเพิ่มขึ้น จำนวนตัวถูกดูดซับ ที่ถูกจับตำแหน่ง binding sites บนตัวดูดซับก็เพิ่มขึ้น ขีดขวางการจับของ โมเลกุลอื่น ดังนั้นอัตราการดูดซับจึงเป็นสัดส่วนระหว่างตำแหน่ง binding sites ที่ว่างบนตัวดูดซับกับความเข้มข้นของตัวดูดซับ และที่สภาวะสมดุลอัตราการดูดซับเท่ากับอัตราการคายการดูดซับ ลักษณะการดูดซับจึงเป็นลักษณะ monomolecular layer โดยมีสมมติฐาน ดังนี้

1. การดูดซับมีลักษณะเป็น monomolecular layer คือ มีจำนวนตำแหน่งที่เกิดการดูดซับแน่นอน และเมื่อเกิดการดูดซับแล้ว อีออนหรือโมเลกุลจะไม่ซ้อนทับซึ่งกันและกัน หรือชั้นของตัวดูดซับมีความหนาเท่ากันหมด
2. เมื่อดูดซับแล้ว ตัวถูกดูดซับจะไม่มีการเคลื่อนย้ายหรือเปลี่ยนตำแหน่งกันในพื้นที่ผิวสัมผัส และตัวถูกดูดซับจะไม่มีผลกระทบต่อกัน
3. พื้นที่ผิวในการดูดซับ มีตำแหน่งและกลไกการดูดซับเหมือนกัน ทำให้โครงสร้างของสารเชิงซ้อนที่เกิดขึ้นเหมือนกันเป็น homogeneous surface
4. พลังงานของการดูดซับจะเหมือนกันทุกๆ พื้นที่ของตัวดูดซับ

ถ้ากำหนดให้

$$\theta = q/q_m \quad (2.1)$$

โดยที่  $q$  คือ ปริมาณตัวถูกดูดซับต่อน้ำหนักของตัวดูดซับที่สภาวะสมดุล (กรัม/กิโลกรัม)  
 $q_m$  คือ ปริมาณตัวถูกดูดซับต่อน้ำหนักของตัวดูดซับที่สภาวะอิ่มตัว (กรัม/กิโลกรัม)  
 $\theta$  คือ สัดส่วนของพื้นที่ผิวที่ถูกปกคลุมด้วยตัวถูกดูดซับต่อพื้นที่ผิวที่ใช้ดูดซับทั้งหมด

อัตราการดูดซับต่อหน่วยพื้นที่ทั้งหมด

$$r_a = k_a C (1 - \theta) \quad (2.2)$$

โดยที่  $k_a$  คือ ค่าคงที่ของการดูดซับ (1/นาที)  
 $C$  คือ ค่าความเข้มข้นที่สภาวะสมดุล (กรัม/เมตร<sup>3</sup>)

อัตราการคายซับต่อหน่วยพื้นที่ทั้งหมด

$$r_d = k_d \theta \quad (2.3)$$

โดยที่  $k_d$  คือ ค่าคงที่ของการคายซับ (กรัม/เมตร<sup>3</sup>·นาที)  
 เมื่อคิดที่สภาวะสมดุล อัตราการดูดซับเท่ากับอัตราการคายซับ

$$k_a C (1 - \theta) = k_d \theta \quad (2.4)$$

$$\theta / (1 - \theta) = k_a C / k_d \quad (2.5)$$

$$\theta = k_a C (1 - \theta) / k_d \quad (2.6)$$

$$\theta = (k_a / k_d) C - (k_a / k_d) C \theta \quad (2.7)$$

$$\theta + (k_a / k_d) C \theta = (k_a / k_d) C \quad (2.8)$$

เอกสารนี้เป็นเอกสารที่สงวนไว้สำหรับการใช้งานเพื่อการศึกษาเท่านั้น ไม่อนุญาตให้นำไปใช้ประโยชน์ด้านการค้า  
 ไม่ว่ากรณีใดๆทั้งสิ้น อีกทั้งห้ามมิให้ตัดแปลงเนื้อหา และต้องอ้างอิงถึงเจ้าของเอกสารทุกครั้งที่มีการนำไปใช้

$$\theta [1 + (k_s/k_d) C] = (k_s/k_d) C \quad (2.9)$$

ถ้ากำหนดให้

$$K_A = k_s/k_d \quad (2.10)$$

$$\theta = (K_A C) / (1 + K_A C) \quad (2.11)$$

จากสมการที่ 2.1 กำหนดให้

$$\theta = q/q_m$$

จะได้สมการ

$$q = (q_m K_A C) / (1 + K_A C) \quad (2.12)$$

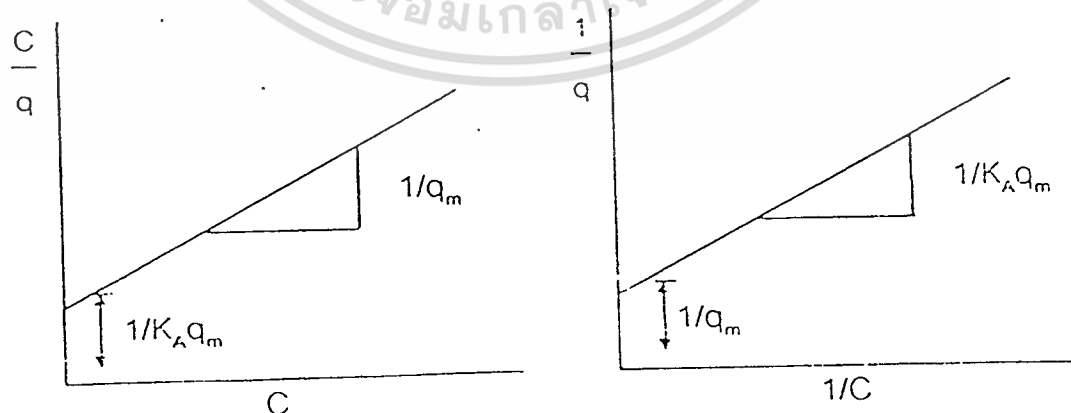
จัดรูปให้อยู่ให้อยู่ในรูปสมการเส้นตรงได้เป็น

$$C/q = (1/K_A q_m) + C/q_m \quad (2.13)$$

หรือ

$$1/q = 1/q_m + [1/K_A q_m] (1/C) \quad (2.14)$$

ค่า  $q_m$  และค่า  $K_A$  สามารถหาได้จากความชันและจุดตัดแกนของกราฟรูปที่ 2.5



รูปที่ 2.5 ลักษณะของไอโซเทอมของการดูดซับแบบแลงเมียร์ [12]

เอกสารนี้เป็นเอกสารที่สงวนไว้สำหรับการใช้งานเพื่อการศึกษาเท่านั้น ไม่อนุญาตให้นำไปใช้ประโยชน์ด้านการค้า  
ไม่ว่ากรณีใดๆทั้งสิ้น อีกทั้งห้ามมิให้ตัดแปลงเนื้อหา และต้องอ้างอิงถึงเจ้าของเอกสารทุกครั้งที่มีการนำไปใช้

### 2.5.2.2 สมการการดูดซับของฟลอยด์ (Freundlich Adsorption Isotherm)

สมการของ Freundlich ตั้งอยู่บนสมมุติฐานว่า

1. การดูดซับมีลักษณะเป็น monolayer
2. ใช้กับกรณีการถ่ายเทพลังงานผ่านพื้นผิวแบบไม่เป็นเนื้อเดียว
3. ใช้ได้ดีกับตัวถูกดูดซับที่มีแนวโน้มถูกดูดได้ง่ายและมีความเข้มข้นต่ำถึงปานกลาง

ปานกลาง

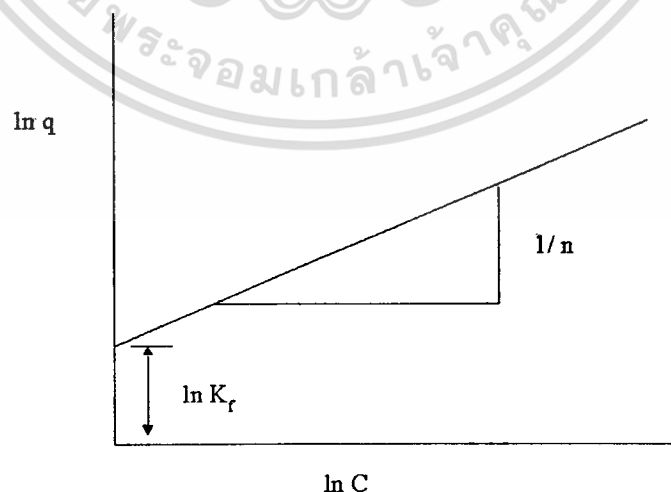
สามารถเขียนสมการการดูดซับของฟลอยด์ ได้ดังนี้

$$q = K_F C^{1/n} \quad (2.15)$$

หรือ

$$\ln q = \ln K_F + 1/n \ln C \quad (2.16)$$

เมื่อนำค่า  $\ln q$  กับ  $\ln C$  มาสร้างกราฟความสัมพันธ์ โดยให้  $\ln q$  เป็นแกน  $y$  และ  $\ln C$  เป็นแกน  $x$  จะได้กราฟเส้นตรงมีค่าความชันเท่ากับ  $1/n$  และจุดตัดแกน  $y$  เท่ากับ  $\ln K_F$  ได้ดังรูปที่ 2.6 เมื่อค่า  $n$  มีค่าเข้าใกล้ 1 หรือมีความชันมากจะแสดงให้เห็นว่าการเปลี่ยนแปลงความเข้มข้นเพียงเล็กน้อยก็จะมีผลต่ออัตราการดูดซับมาก คือ เมื่อความเข้มข้นต่ำอัตราการดูดซับก็จะต่ำและจะเพิ่มขึ้นเมื่อความเข้มข้นสูงขึ้น เมื่อ  $1/n \ll 1$  หรือความชันต่ำมากจนบางครั้งเกือบจะชิดกับแกน  $x$  นั้นแสดงว่า อัตราการดูดซับที่ความเข้มข้นต่ำหรือสูงจะไม่แตกต่างกันมากนัก หรือการเปลี่ยนแปลงความเข้มข้นจะไม่มีผลต่ออัตราการดูดซับ อย่างไรก็ตามจากลักษณะของ Freundlich isotherm จะสังเกตเห็นว่าการดูดซับจะเกิดขึ้นต่อไปเรื่อยๆ ตราบเท่าที่ความเข้มข้นของไอออนหรือโมเลกุลในสารละลายมีสูงขึ้น ซึ่งก็เป็นข้อเสียของสมการของฟลอยด์ที่สำคัญข้อหนึ่ง คือทำให้ไม่สามารถทำนายการดูดซับสูงสุดได้



รูปที่ 2.6 ลักษณะของไอโซเทอมของการดูดซับแบบฟลอยด์ [12]

เอกสารนี้เป็นเอกสารที่สงวนไว้สำหรับการใช้งานเพื่อการศึกษาเท่านั้น ไม่อนุญาตให้นำไปใช้ประโยชน์ด้านการค้า ไม่ว่าจะกรณีใดๆทั้งสิ้น อีกทั้งห้ามมิให้ตัดแปลงเนื้อหา และต้องอ้างอิงถึงเจ้าของเอกสารทุกครั้งที่มีการนำไปใช้

2.6 แบบจำลองในการศึกษาอัตราในการดูดซับ (Models for Adsorption Rate) [13, 14]

2.6.1 แบบจำลองการดูดซับอันดับหนึ่ง

สมการแบบจำลองอันดับหนึ่งสามารถเขียนได้เป็น

$$dq_t / dt = k_1 (q_c - q_t) \tag{2.17}$$

ทำการอินทิเกรตจาก  $t=0 \rightarrow t=t$

$$q_t = 0 \rightarrow q_t = q_t$$

$$\log (q_c - q_t) = \log q_c - (k_1 / 2.303) t \tag{2.18}$$

โดยที่  $q_c$  คือ ปริมาณที่ถูกดูดซับค่อน้ำหนักตัวที่ถูกดูดซับที่สภาวะอิ่มตัว (กรัม/กิโลกรัม)

$q_t$  คือ ปริมาณที่ถูกดูดซับค่อน้ำหนักตัวดูดซับที่เวลาต่างๆ (กรัม/กิโลกรัม)

$k_1$  คือ ค่าคงที่อัตราสำหรับแบบจำลองการดูดซับอันดับหนึ่ง (1/นาท)

$t$  คือ เวลา (นาท)

เมื่อทำการเขียนกราฟระหว่าง  $\log (q_c - q_t)$  กับ  $t$  จะได้เส้นตรง ซึ่งสามารถหาค่า  $k_1$  ได้จากความชัน

2.6.2 แบบจำลองการดูดซับอันดับสอง

สมการแบบจำลองการดูดซับอันดับสองสามารถเขียนได้เป็น

$$dq_t / dt = k_2 (q_{c2} - q_t)^2 \tag{2.19}$$

ทำการอินทิเกรตจาก  $t=0 \rightarrow t=t$

$$q_t = 0 \rightarrow q_t = q_t$$

$$1 / (q_{c2} - q_t) = 1 / q_{c2} + k_2 t \tag{2.20}$$

$$t / q_t = \{ 1 / (k_2 q_{c2}^2) \} + (1 / q_{c2}) t \tag{2.21}$$

โดยที่  $q_{c2}$  คือ ปริมาณที่ถูกดูดซับต่อน้ำหนักตัวดูดซับที่สภาวะอิ่มตัว (กรัม/กิโลกรัม)

$q_t$  คือ ปริมาณที่ถูกดูดซับต่อน้ำหนักตัวดูดซับที่เวลาต่างๆ (กรัม/กิโลกรัม)

$k_2$  คือ ค่าคงที่อัตราสำหรับแบบจำลองการดูดซับอันดับสอง (กิโลกรัม/กรัม.นาที)

เมื่อทำการเขียนกราฟระหว่าง  $t/q_t$  กับ  $t$  จะได้เส้นตรง ซึ่งสามารถหาค่า  $k_2$  ได้จากจุดตัดแกน  $y$

## 2.7 ผลของอุณหภูมิต่ออัตราการดูดซับ[15]

จากค่าคงที่อัตราเร็ว  $k$  ในสมการอัตราเร็วของการดูดซับ ขึ้นโดยตรงกับอุณหภูมิต่อค่าของ  $E_a$  เช่น ถ้า  $E_a$  มาก หรือที่อุณหภูมิต่ำ ทำให้ค่าคงที่อัตราเร็ว  $k$  น้อย ความสัมพันธ์ระหว่าง  $k$  กับ  $E_a$  และอุณหภูมิต่อค่าอยู่ในรูปสมการที่เรียกว่า สมการของอาร์เรเนียส (Arrhenius equation)

$$k = Ae^{-E_a/RT} \quad (2.22)$$

โดยที่  $A$  คือ แฟกเตอร์ความถี่ของการชน

$E_a$  คือ พลังงานกระตุ้น (จูล/โมล)

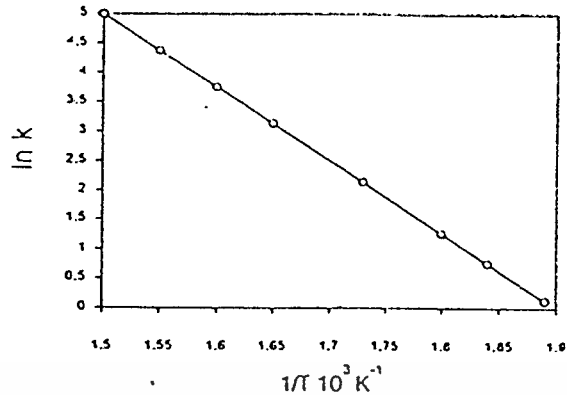
$R$  คือ ค่าคงที่ของแก๊สมีค่าเท่ากับ 8.3143 (จูล/โมล.เคลวิน)

$T$  คือ อุณหภูมิ (เคลวิน)

ใส่ค่า  $\ln$  เข้าทั้งสองข้างของสมการได้เป็น

$$\ln k = \ln A - E_a / RT \quad (2.23)$$

เมื่อนำสมการ (2.24) มาเขียนกราฟระหว่าง  $\ln k$  กับ  $1/T$  จะได้กราฟเส้นตรงตามรูปที่ 2.7 สามารถหาค่า  $E_a$  ได้จากความชันของกราฟ



รูปที่ 2.7 ความสัมพันธ์ระหว่างค่าคงที่กับอุณหภูมิ [15]

## 2.8 อุณหพลศาสตร์และสมดุลเคมี [16,17]

### 2.8.1 ความหมายของเอนทัลปีและเอนโทรปี

ความร้อนของปฏิกิริยาหรือเอนทัลปี (heat or enthalpy of reaction) เป็นเทอมที่ใช้บอกถึงปริมาณความร้อนที่ถูกดูดเข้าไป หรือถูกคายออกมาต่อ โมลของสารที่เกิดการเปลี่ยนแปลงทางเคมี ถ้าปฏิกิริยาเกิดที่ความดันคงที่และงานที่เกี่ยวข้องเป็นแบบขยายตัวหรือหดตัวเท่านั้น

ให้เอนทัลปี คือ  $H$

การเปลี่ยนแปลงของเอนทัลปี คือ  $\Delta H = H_2 - H_1$

$\Delta$  อ่านว่า เดลต้า (delta) 2 และ 1 เป็นสถานะสุดท้าย (final state) และสถานะเริ่มต้น (initial state) ตามลำดับ

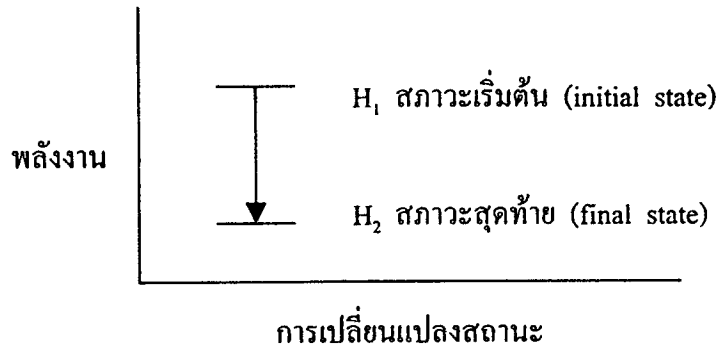
เครื่องหมายบวกของเอนทัลปี ควรทำความเข้าใจเรื่องเครื่องหมายบวกของเอนทัลปี เพื่อป้องกันปัญหาความสับสนไว้ก่อนดังนี้ เมื่อสารเปลี่ยนสถานะ การเปลี่ยนแปลงของเอนทัลปี

$$\Delta H = H_2 - H_1 \quad (2.24)$$

$H_2$  คือ สถานะสุดท้าย (final state)

$H_1$  คือ สถานะเริ่มต้น (initial state)

ในกรณีที่  $H_2$  มีค่าน้อยกว่า  $H_1$  หรือ  $H_2$  มีเสถียรภาพมากกว่า  $H_1$  (ระบบที่มีเสถียรภาพมากกว่า จะมีพลังงานน้อยกว่า) การเปลี่ยนสถานะนี้ (รูปที่ 2.8) ความร้อนคายออกมาจากระบบ



รูปที่ 2.8 ความสัมพันธ์ระหว่างการเปลี่ยนสถานะกับพลังงาน [16]

$\Delta H = \text{ลบ} = \text{ความร้อนคายออกจากระบบ (exothermic)}$

ตรงกันข้ามถ้า  $H_2$  มีพลังงานมากกว่า  $H_1$  หรือ  $H_2$  มีเสถียรภาพน้อยกว่า  $H_1$  ความร้อนจะต้องถูกดูดเข้าไปในระบบ หรืออาจกล่าวได้ว่าเราจะต้องให้ความร้อนแก่ระบบ

$\Delta H = \text{บวก} = \text{ความร้อนจะถูกดูดเข้าไปในระบบ (endothermic)}$

เอนโทรปี (entropy,  $S$ ) คือ ปริมาณที่บอกถึงความไม่เป็นระเบียบของระบบ หรืออาจกล่าวได้ว่าเอนโทรปีบอกให้ทราบว่าอะตอม โมเลกุล หรือไอออนกระจายตัวอยู่ในระบบอย่างไม่เป็นระเบียบมากน้อยเพียงใด ยิ่งระบบมีความไม่เป็นระเบียบสูง เอนโทรปีก็ยิ่งมีค่ามาก ในทางตรงกันข้าม ยิ่งระบบมีความเป็นระเบียบมากเพียงใด เอนโทรปีก็จะลดลงเพียงนั้น

ให้  $S_1 = \text{เอนโทรปี ณ สถานะเริ่มต้น}$

$S_2 = \text{เอนโทรปี ณ สถานะสุดท้าย}$

และ  $\Delta S = S_2 - S_1$

ซึ่ง  $\Delta S = \text{การเปลี่ยนแปลงของเอนโทรปี}$

$\Delta S$  เป็นปริมาณที่วัดได้โดยให้ความร้อนแก่ระบบ เมื่อให้ความร้อนแก่ระบบ อุณหภูมิสูงขึ้น ทำให้ความเป็นระเบียบเริ่มลดลงหรือไม่เป็นระเบียบสูงขึ้น เอนโทรปี  $S_2$  มีค่าสูงขึ้น ( $\Delta S > 0$ ) และถ้าเพิ่มความร้อนขึ้นไปอีก ความไม่เป็นระเบียบมากขึ้นตามลำดับ  $S_2$  มีค่าเพิ่มขึ้นตามลำดับ ดังนั้นเห็นได้ว่า  $\Delta S$  แปรผันโดยตรงกับปริมาณความร้อนที่เพิ่มให้กับระบบ

ถ้า  $\Delta S = \text{บวก}$  ระบบมีความไม่เป็นระเบียบเพิ่มขึ้น

ถ้า  $\Delta S = \text{ลบ}$  ระบบมีความไม่เป็นระเบียบลดลงหรือความเป็นระเบียบเพิ่มขึ้น

## 2.8.2 การหาค่าเอนทัลปีโดยใช้สมการของแวนฮอฟฟ์

จากสมการของกิบส์และเฮลโมลทซ์ นำไปสู่การคำนวณการเปลี่ยนแปลงของค่าคงที่สมดุล ( $K$ ) ตามสมการการเปลี่ยนแปลงอุณหภูมิ ( $T$ ) ได้ดังนี้คือ

$$d(\Delta G^0 / T) = (-\Delta H^0 / T^2) / dT \quad (2.25)$$

ณ ที่สภาวะสมดุล  $\Delta G^0 = -RT \ln K$

ดังนั้น  $d(-R \ln K) = (-\Delta H^0 / T^2) / dT$

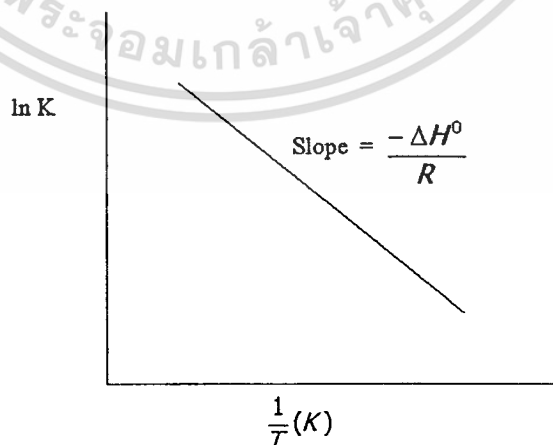
$$d(\ln K) = (\Delta H^0 / RT^2) dT \quad (2.26)$$

หรือ  $d(\ln K) = (-\Delta H^0 / R) d[1/T] \quad (2.27)$

เรียกสมการที่ (2.27) ว่า สมการของแวนท์ฮอฟฟ์ (van't Hoff equation) เมื่ออินทิเกรต สมการ (2.27) และสมมติว่า  $\Delta H^0$  ไม่เปลี่ยนแปลงตามอุณหภูมิ ดังนั้น

$$\ln K = (-\Delta H^0 / R)(1/T) + \text{ค่าคงที่} \quad (2.28)$$

เมื่อทำการเขียนกราฟระหว่าง  $\ln K$  และ  $1/T$  จะได้กราฟเส้นตรง ดังแสดงในรูปที่ 2.9 และจากค่าความชันของกราฟ สามารถนำไปคำนวณหา  $\Delta H^0$  ได้



รูปที่ 2.9 ความสัมพันธ์ระหว่าง  $\ln K$  และ  $1/T$  [17]

เอกสารนี้เป็นเอกสารที่สงวนไว้สำหรับการใช้งานเพื่อการศึกษาเท่านั้น ไม่อนุญาตให้นำไปใช้ประโยชน์ด้านการค้า ไม่ว่ากรณีใดๆทั้งสิ้น อีกทั้งห้ามมิให้ตัดแปลงเนื้อหา และต้องอ้างอิงถึงเจ้าของเอกสารทุกครั้งที่มีการนำไปใช้

### 2.8.3 พลังงานอิสระและสมดุลเคมี (Thermodynamic and Equilibrium)

กิบส์ (Josiah W. Gibbs) เป็นนักวิทยาศาสตร์ชาวอเมริกัน ได้นำฟังก์ชันทางเทอร์โมไดนามิกอีกฟังก์ชันหนึ่งมาใช้ คือ  $G$  เรียกว่าพลังงานอิสระของกิบส์ (Gibb's free energy) หรือเรียกสั้นลงว่าพลังงานอิสระ มีนิยามดังนี้

$$G = H - TS \quad (2.29)$$

สังเกตว่าปริมาณทั้งหมดในสมการ (2.30) เป็นสมบัติของระบบ รวมทั้งอุณหภูมิ  $T$  ด้วยและจะเห็นว่า  $G$  มีหน่วยเป็นพลังงาน (ทั้ง  $H$  และ  $TS$  ก็มีหน่วยเป็นพลังงาน) และเป็นฟังก์ชันสถานะเช่นเดียวกับ  $H$  และ  $S$

การเปลี่ยนแปลงพลังงานอิสระ ( $\Delta G$ ) ของระบบในกระบวนการที่เกิดขึ้น ณ อุณหภูมิคงที่คือ

$$\Delta G = \Delta H - T\Delta S \quad (2.30)$$

สรุปสถานะการเกิดปฏิกิริยาและสถานะที่ระบบจะอยู่ในสมดุลที่อุณหภูมิและความดันคงที่โดยอาศัยค่าของ  $\Delta G$  ได้ดังนี้

$\Delta G < 0$  ปฏิกิริยาเกิดขึ้นได้เองในทิศทางไปข้างหน้า

$\Delta G > 0$  ปฏิกิริยาเกิดขึ้นเองไม่ได้ แต่เกิดขึ้นได้เองในทิศทางย้อนกลับ

$\Delta G = 0$  ระบบอยู่ในสมดุล ไม่เกิดการเปลี่ยนแปลง

ในสมการ (2.31) ทำนายเครื่องหมายของ  $\Delta G$  นั้น เราจำเป็นต้องทราบค่าของ  $\Delta H$  และ  $\Delta S$  ถ้า  $\Delta H$  มีค่าเป็นลบ (ปฏิกิริยาคายความร้อน) และ  $\Delta S$  มีค่าเป็นบวก (ปฏิกิริยาทำให้ระบบมีความไม่เป็นระเบียบสูงขึ้น)  $\Delta G$  มีแนวโน้มที่จะเป็นลบ แต่อุณหภูมิก็คงอาจมีผลต่อทิศทางของปฏิกิริยาด้วยว่าจะเกิดขึ้นได้เองในทิศทางใด ความสัมพันธ์ที่เป็นได้ 4 แบบ คือ

- ถ้าทั้ง  $\Delta H$  และ  $\Delta S$  มีค่าเป็นบวก  $\Delta G$  จะเป็นลบก็ต่อเมื่อ  $T\Delta S$  มีค่ามากกว่า  $\Delta H$  นั่นคือเมื่อ  $T$  มีค่าสูง
- ถ้า  $\Delta H$  เป็นบวกและ  $\Delta S$  เป็นลบ  $\Delta G$  จะเป็นบวกเสมอไม่ว่าอุณหภูมิจะเป็นเท่าใดก็ตาม
- ถ้า  $\Delta H$  เป็นลบและ  $\Delta S$  เป็นบวก  $\Delta G$  จะเป็นลบเสมอไม่ว่าอุณหภูมิจะมีค่าเท่าใด
- ถ้า  $\Delta H$  เป็นลบและ  $\Delta S$  เป็นลบ  $\Delta G$  จะเป็นลบเฉพาะเมื่อ  $T\Delta S$  มีค่าน้อยกว่า  $\Delta H$  นั่นคือ  $T$  มีค่าต่ำ

ในกรณีแรกและกรณีสุดท้าย อุณหภูมิที่จะทำให้  $\Delta G$  มีค่าเป็นลบนั้นขึ้นอยู่กับค่าของ  $\Delta H$  และ  $\Delta S$

ตารางที่ 2.1 ปัจจัยที่มีผลต่อเครื่องหมายของ  $\Delta G$  ในทั้ง 4 กรณี

$\Delta H$	$\Delta S$	$\Delta G$
+	+	ปฏิกิริยาเกิดขึ้นได้เองที่อุณหภูมิสูง ที่อุณหภูมิต่ำ ปฏิกิริยาเกิดขึ้นได้เองในทิศทางตรงกันข้าม
+	-	$\Delta G$ มีค่าเป็นบวกเสมอ ปฏิกิริยาเกิดขึ้นได้เองในทิศ ทางตรงกันข้ามที่ทุกอุณหภูมิ
-	+	$\Delta G$ มีค่าเป็นลบเสมอ ปฏิกิริยาเกิดขึ้นได้เองที่ทุก อุณหภูมิ
-	-	ปฏิกิริยาเกิดขึ้นได้เองที่อุณหภูมิต่ำ ที่อุณหภูมิต่ำ ปฏิกิริยาย้อนกลับเกิดขึ้นได้เอง

การเปลี่ยนแปลงพลังงานอิสระมาตรฐานของปฏิกิริยา คือ

$$\Delta G^\circ = G^\circ(\text{สำหรับผลิตภัณฑ์}) - G^\circ(\text{สารตั้งต้น})$$

$\Delta G^\circ$  ในสมการนี้ หมายถึง การเปลี่ยนแปลงที่เกิดขึ้นเมื่อสารตั้งต้นในสภาวะมาตรฐานกลายเป็นสารผลิตภัณฑ์ในสภาวะมาตรฐานเช่นกัน สมมติว่าเราเริ่มปฏิกิริยาในสารละลายโดยให้สารตั้งต้นทุกชนิดอยู่ในสภาวะมาตรฐาน (คือความเข้มข้นเท่ากับ 1 M) ทันทีที่เกิดปฏิกิริยาขึ้น ทั้งสารตั้งต้นและผลิตภัณฑ์ก็จะไม่อยู่ในสภาวะมาตรฐานอีกต่อไป เพราะต่างก็ จะไม่มีความเข้มข้นเท่ากับ 1 M ภายใต้สภาวะที่ไม่ใช่มาตรฐาน เราจะต้องทำนายทิศทางของปฏิกิริยาจาก  $\Delta G$  ไม่ใช่จาก  $\Delta G^\circ$  ความสัมพันธ์ระหว่าง  $\Delta G$  และ  $\Delta G^\circ$  คือ

$$\Delta G = \Delta G^\circ + RT \ln Q \quad (2.31)$$

เมื่อ R เป็นค่าคงที่ของแก๊ส (8.314 J/K.mol) T เป็นอุณหภูมิสมบูรณ์ของปฏิกิริยา และ Q เป็นอัตราส่วนของปฏิกิริยา จากสมการนี้จะเห็นว่า  $\Delta G$  มีค่าขึ้นอยู่กับ  $\Delta G^\circ$  และ  $RT \ln Q$  สำหรับปฏิกิริยาที่อุณหภูมิ T ใดๆ  $\Delta G^\circ$  จะมีค่าที่แน่นอนแต่ค่าของ  $RT \ln Q$  มีค่าที่ไม่แน่นอนเพราะ Q อาจเปลี่ยนไปตามองค์ประกอบของสารในปฏิกิริยา เราพิจารณากรณีพิเศษ 2 กรณีดังนี้คือ

กรณีที่ 1 : ถ้า  $\Delta G^\circ$  มีค่าเป็นลบมาก พจน์  $RT \ln Q$  จะมีค่าไม่เป็นบวกมากพอที่จะหักล้างกับพจน์  $\Delta G^\circ$  ได้จนกว่าจะเกิดสารผลิตภัณฑ์ขึ้นมากพอ

กรณีที่ 2 : ถ้า  $\Delta G^\circ$  มีค่าเป็นบวกมาก พจน์  $RT \ln Q$  จะมีค่าไม่เป็นลบมากกว่าความเป็นบวกของ  $\Delta G^\circ$  เฉพาะเมื่อมีสารผลิตภัณฑ์เพียงเล็กน้อยและสารตั้งต้นมีความเข้มข้นสูงมากเมื่อเทียบกับผลิตภัณฑ์

โดยนิยามแล้วที่สมดุล  $\Delta G = 0$  และ  $Q = K$  เมื่อ  $K$  เป็นค่าคงที่สมดุลดังนั้นจะได้

$$0 = \Delta G^0 + RT \ln K$$

หรือ 
$$\Delta G^0 = -RT \ln K \quad (2.32)$$

สมการที่ (2.32) เป็นสมการที่สำคัญที่สุดสมการหนึ่งเพราะเป็นสมการที่แสดงความสัมพันธ์ระหว่างค่าคงที่สมดุลของปฏิกิริยากับการเปลี่ยนแปลงพลังงานอิสระ ดังนั้น ถ้าทราบค่าของ  $K$  เราก็จะคำนวณค่า  $\Delta G^0$  ได้ หรือถ้าทราบค่าของ  $\Delta G^0$  ก็จะคำนวณหา  $K$  ได้เช่นกัน

## 2.9 สีย้อม (Dyestuff)[18, 19]

สีย้อม (Dyestuff) หมายถึง สารเคมีที่มีสี (Dyes) ที่สามารถเกาะติดเส้นใยได้ไม่หลุดออกง่าย ทำให้วัตถุนั้นมีสีเหมือนสีย้อม

### 2.9.1 องค์ประกอบของสีย้อม

สีย้อมเป็นสารอินทรีย์ โครงสร้างทางเคมี มี 2 กลุ่ม คือ

1. กลุ่มโครโมฟอร์ (Chromophores group) เป็นกลุ่มที่มีพันธะคู่ สามารถให้สีได้โดยสามารถดูดกลืนรังสีในช่วงอัลตราไวโอเล็ต UV และ ช่วงที่มองเห็นได้ (Visible range) VS ตั้งแต่ 200-800 nm

ตัวอย่าง	C = C	ethylenic chromophores
	C = O	carbonyl chromophores
	- N = O	nitroso chromophores
	- N = O	nitro chromophores
	- N = N -	azo chromophores

2. กลุ่มออกโซโครม (Auxochrom group) เป็นกลุ่มที่ทำให้สีเกาะติดกับเส้นใยปกติแล้วหมายถึง saturated group ซึ่งมีอิเล็กตรอนคู่โดดเดี่ยว และไม่สามารถดูดกลืนรังสีที่มีความยาวคลื่นเกิน 200 nm แต่เมื่อไปเกาะในตำแหน่งที่ติดกับโครโมฟอร์จะทำให้เกิด resonance interaction ทำให้โครโมฟอร์ดูดกลืนรังสีที่มีความยาวคลื่นมากขึ้น

ตัวอย่าง	ออกโซโครม	ได้แก่
	- OH	hydroxyl
	- NH <sub>2</sub>	amino
	- COOH	carboxylic

## 2.9.2 แหล่งกำเนิดของสีย้อม

1. สีย้อมธรรมชาติ (Natural Dyes) เป็นสีย้อมที่ได้จากพืชและสัตว์ เช่น สีดำจากผลมะเกลือ สีครามได้มาจากต้นคราม หรือสีม่วงแดงได้จากครั่ง นอกจากนี้ยังมีเปลือกไม้หลายชนิดที่นำมาใช้ย้อมเส้นได้

2. สีสังเคราะห์ (Synthetic Dyes) William Henry perkin เป็นคนแรกที่สังเคราะห์สีม่วงอ่อน (Mauve) ขึ้นได้โดยบังเอิญจาก alinine ซึ่งเป็นผลพลอยได้จากการกลั่นน้ำมันดิบ หลังจากนั้นจึงเกิดสีสังเคราะห์นานาชนิดขึ้น เช่น สีแดง (Fuchsin) สีส้มและเหลือง (Azo dyes) และสีชมพู (Phenolphthalein) ปัจจุบันนิยมใช้สีสังเคราะห์มากขึ้น เพราะราคาถูกกว่า สวยกว่า ทนทานกว่า มีสีให้เลือกมากมาย การย้อมให้สีสม่ำเสมอไม่เป็นด่างเป็นดอกดวง

## 2.9.3 การจำแนกประเภทของสีย้อม (Classification of Dyes)

สีย้อมสามารถจำแนกออกได้เป็นลักษณะใหญ่ๆ ได้ดังนี้ คือ

### 2.9.3.1 จำแนกตามลักษณะการใช้งาน

#### 1) สีย้อมแอซิด (Acid dyes)

เป็นสีย้อมที่ไม่ละลายในสารละลายกรดและใช้ในการย้อมเส้นใยโปรตีน เช่น ขนสัตว์ ไหม ไนลอน หนังแท้ และกระดาษ โดยทั่วไปสีย้อมแอซิดจะมีโครงสร้างทางเคมีเป็นสารประกอบเฮไลโรเอริลมีเทนหรือแอนทราควิโนน

#### 2) สีย้อมอะโซอิก (Azoic dyes)

เป็นสีย้อมที่ทำให้เกิดสีขึ้นบนเส้นใยโดยการเตรียมเป็นเกลือไดอะโซเดียมก่อน และเมื่อนำไปสัมผัสกับเส้นใยแล้วจะเกิดปฏิกิริยาเป็นสีย้อมบนเส้นใยที่อุณหภูมิห้องช่วยทำให้เกลือไดอะโซเดียมไม่สลายตัวจนกระทั่งทำปฏิกิริยาควบคู่กับเส้นใยเป็นสีย้อมอะโซอิกเป็นสีย้อมที่ให้สีสดใสสว่างเจิดจ้า และมีสมบัติติดทนนาน ดังนั้นจึงทนทานต่ออายุการใช้งาน และใช้สำหรับงานพิมพ์บนผ้าฝ้าย

#### 3) สีย้อมเบสิก (Basic dyes)

เป็นสีย้อมที่มีหมู่อะมิโนหรืออนุพันธ์ของหมู่อะมิโน สีย้อมเบสิกจะละลายในสารละลายกรด และไม่ละลายในสารละลายเบส โครงสร้างส่วนใหญ่ของสีย้อมเบสิกจะมีสูตรโครงสร้างทางเคมีเป็นพวกกลุ่มของสารประกอบไตรเอริลมีเทน (triarylmethane) หรือแซนทีนส์ (xanthenes) สีย้อมเบสิกสามารถใช้ย้อมขนสัตว์หรือใช้ร่วมกับสีย้อมมอร์แดนต์ (mordant) เพื่อย้อมผ้า สีย้อมเบสิกสามารถนำไปใช้เป็น หมึกพิมพ์กระดาษคาร์บอนสำหรับทำกระดาษสำเนา และใช้สำหรับผลิตเป็นแถบหมึกสำหรับเครื่องพิมพ์ดีด สีย้อมเบสิกสามารถละลายในตัวทำละลายอินทรีย์ ซึ่งสามารถนำไปใช้ผลิตเป็นหมึกเขียน และหมึกพิมพ์

## 4) สีย้อมไคเร็ก (Direct dyes)

เป็นสีย้อมที่สามารถนำไปใช้สำหรับย้อมผ้าได้โดยตรง และไม่ต้องใช้ร่วมกับสีย้อมมอร์แดนต์ สีย้อมไคเร็กสามารถใช้สำหรับย้อมผลิตภัณฑ์ฝ้ายผสม และใช้ย้อมขนสัตว์หรือใช้ย้อมไหม โดยทั่วไปแล้วโครงสร้างทางเคมีของสีย้อมไคเร็กเป็นสีย้อมกลุ่มเอโซ สมบัติการละลายโดยทั่วไปแล้วสามารถทำให้ลดลงโดยการเติมเกลือลงไปอย่างย้อมสี สีย้อมไคเร็กบางตัวสามารถใช้ย้อมบนเส้นใยโดยทำปฏิกิริยาการเติมเกลือไอโอะโซเดียมบนวัสดุก่อน จากนั้นจึงจะทำปฏิกิริยาการควบคู่ (coupling) เพื่อทำให้เกิดเป็นสีย้อมที่ไม่ละลายบนเนื้อผ้าหรือเส้นใย สารประกอบที่ใช้กันโดยทั่วไปสำหรับการทำปฏิกิริยาควบคู่ก็คือเบต้าแนฟทอล

## 5) สีย้อมดิสเพอร์ส (Disperse dyes)

เส้นใยสังเคราะห์จำนวนมาก เช่น เส้นใยเซลลูโลสแอซิเตด เส้นใยพลาสติก และเส้นใยพอลิเอสเตอร์ จะมีความยากลำบากในการย้อมดิสเพอร์สมีความสามารถในการย้อมได้ดีกับวัสดุดังกล่าว และสามารถย้อมสีได้เนื้อเนียนผิวดี โดยสีจะกระจายตัวดูดซับและแทรกตัวลงบนเส้นใยสีย้อมกลุ่มเอโซสามารถใช้เป็นสีย้อมดิสเพอร์สได้ แต่สีย้อมกลุ่มแอนทราควิโนนจะใช้ประโยชน์เป็นสีย้อมดิสเพอร์สที่ดีกว่า เนื่องจากสมบัติที่ไม่ละลายในตัวทำละลาย อย่างไรก็ตามสีย้อมกลุ่มเอโซและสีย้อมกลุ่มแอนทราควิโนนสามารถที่จะแทรกตัวเข้าไปในเส้นใยได้ดี โดยหมู่เอทานอลามีน ( $-NH-CH_2CH_2-OH$ ) ซึ่งเป็นหมู่ที่พบในสีย้อมดิสเพอร์ส จะช่วยในการกระจายตัวและเกิดการดูดซับเข้าไปในเส้นใยได้ดี

## 6) สีย้อมรีแอ็กทีฟ (Reactive dyes)

เป็นสีย้อมที่เกิดจากปฏิกิริยาสร้างพันธะโควาเลนต์เชื่อมระหว่าง สีย้อมและเส้นใยเซลลูโลส ผลิตภัณฑ์ที่ได้จากการย้อมโดยสีย้อมชนิดนี้จะทนทานต่อการซักล้างได้ดีเยี่ยม สีย้อมรีแอ็กทีฟเป็นสีย้อมชนิดใหม่ที่สุดซึ่งได้พัฒนาในปี ค.ศ. 1956 สามารถใช้ในการย้อมฝ้าย เรยอน และไนลอนบางชนิด

## 7) สารฟลูออเรสเซนต์ไวเทนนิ่ง

สารฟลูออเรสเซนต์ไวเทนนิ่งจะช่วยทำให้เสื้อผ้าที่เหลืองกลับขาวพิเศษกว่า และมีความสว่างสดใส ดังนั้นจึงไปใช้ในอุตสาหกรรมสบู่ อุตสาหกรรมผงซักฟอก อุตสาหกรรมสิ่งทอ อุตสาหกรรมพลาสติก อุตสาหกรรมยาง อุตสาหกรรมกระดาษ อุตสาหกรรมสีทา และอุตสาหกรรมกระดาษ โดยใช้เป็นสารเติมแต่งที่มีชื่อว่าสารเพิ่มความสดใส (optical brightener)

## 8) สีอาหาร ยา และเครื่องสำอางค์

ในปัจจุบันจะมีประมาณ 52 สีเท่านั้น เนื่องจากการควบคุมอย่างเข้มงวดในการใช้งาน โดยคณะกรรมการอาหารและยาแห่งประเทศสหรัฐอเมริกา ความบริสุทธิ์และความปลอดภัยจะมีการควบคุมอย่างดีเป็นพิเศษเพื่อที่จะรับรองความปลอดภัยให้แก่ผู้บริโภค ในปัจจุบันมีการค้นคว้ากันอย่างมากมายในสีตระกูลนี้ เพื่อที่จะพัฒนาให้สียึดเกาะกับสารพอลิเมอร์ ซึ่งเมื่อบริโภคผ่านเข้าไปในระบบการย่อยอาหารแล้วไม่เกิดการเปลี่ยนแปลงหรือตกค้างภายในร่างกาย สีตระกูลนี้มีหลายตัวที่ได้ผ่านการทดสอบความเป็นพิษ เรื้อรัง และทดสอบผลตกค้างต่อผู้บริโภค และได้ผ่านการยอมรับแล้ว ซึ่งมีทั้งสีที่มีสูตรโครงสร้างทางเคมีเป็นแอนทราควิโนน เอโซ และอินดิโกยด์

## 9) สีย้อมมอร์แดนต์ (Mordant dyes)

สีย้อมมอร์แดนต์บางตัวเมื่อรวมกับเกลือของโลหะจะให้ผลิตภัณฑ์สีย้อมที่ไม่ละลาย ซึ่งเรียกว่า เลคส์ (lakes) และสามารถนำไปใช้ประโยชน์เป็นรงควัตถุ (pigments) ถ้าหากต้องการย้อม สิ่งทอที่ผลิตจากฝ้าย ขนสัตว์ หรือเส้นใยโปรตีน ก็จะนำสิ่งทอเหล่านี้ใส่เกลือของอะลูมิเนียม เกลือโครเมียม หรือเกลือเหล็ก และเมื่อสิ่งทอดังกล่าวสัมผัสกับสีย้อมจะทำให้เกิดสีย้อมที่ไม่ละลายโดยเกลือของโลหะจะตกตะกอนบนเส้นใย ซึ่งทำให้สีย้อมมีความทนทานต่อแสง และทนทานต่อการซักล้างได้ดี หมู่  $-OH$  และหมู่  $-COOH$  ที่เกาะอยู่บนสีย้อมเอโซหรือแอนทราควิโนนจะมีความสามารถทำปฏิกิริยากับเกลือของโลหะเกิดเป็นสีมอร์แดนต์ได้

## 10) สีย้อมโซเว้นท์ (Solvent dyes)

เป็นสีย้อมที่สามารถละลายได้ดีในตัวทำละลายอินทรีย์ เช่น แอลกอฮอล์ สารละลายไฮโดรคาร์บอนคลอรีเนต หรือสารละลายแอมโมเนีย สีย้อมโซเว้นท์เป็นสีย้อมที่สามารถช่วยในการย้อมสีสำหรับพวกเส้นใยสังเคราะห์ที่มีความยากลำบากในการย้อมสี เช่น เส้นใยพอลิเอสเตอร์ เส้นใยพอลิอะคริเลต และเส้นใยเซลลูโลสไตรอะซิเตต ตัวทำละลายที่ใช้ได้ดีในปัจจุบัน คือเปอร์คลอโรเอทิลีน เทคโนโลยีการย้อมสีชนิดนี้จะช่วยลดปัญหาของสีย้อมตกค้างในการย้อมได้เป็นอย่างดี ซึ่งเป็นปัญหาสำคัญในการย้อมสี สีย้อมโซเว้นท์ สามารถนำไปใช้ประโยชน์เป็นสีที่ใสในน้ำมัน ขี้ผึ้ง วานิช ครีมขจัดรองเท้า ลิปสติก และน้ำมันเชื้อเพลิง เป็นต้น

### 11) สีย้อมซัลเฟอร์ (Sulphur dyes)

เป็นสีย้อมที่มีราคาถูกและใช้ในการย้อมผ้าฝ้ายให้มี dull shades สีย้อมซัลเฟอร์เป็นสีย้อมที่มีความทนทานต่อการซีดจางสีเนื่องจากแสงทนทานต่อการซักล้าง และทนกรดแต่มีความไวต่อการเปลี่ยนสีกับคลอรีน และน้ำยาฟอกสีไฮโปคลอไรท์ หมูโครโมฟอร์ของสีย้อมซัลเฟอร์มีความยุ่งยากซับซ้อน และยังไม่เป็นที่รู้จักกันแน่นอน สีย้อมซัลเฟอร์ทำการผลิตโดยการทำปฏิกิริยาระหว่างสารซัลไฟด์หรือพอลิซัลไฟด์กับสารประกอบอะโรมาติกส์ที่มีหมูคลอรีน สีย้อมซัลเฟอร์โดยทั่วไปจะไม่ค่อยมีสีเมื่ออยู่ในรูปรีดิวซ์ในสารละลายของเกลือโซเดียมซัลไฟด์ แต่มีสีเข้มขึ้นเมื่ออยู่ในสภาวะออกซิเดชัน สีย้อมซัลเฟอร์เป็นสีย้อมที่รู้จักกันอย่างดี และใช้กันมาเป็นเวลานาน

### 12) สีย้อมแวต (Vat dyes)

สีย้อมกลุ่มนี้จะมีสูตร โครงสร้างทางเคมีที่ยุ่งยาก ส่วนใหญ่เป็นอนุพันธ์ของแอนทราควิโนนหรืออินแดนทริน (indanthrene) ในสารละลายที่สภาวะรีดักชันสีย้อมกลุ่มนี้จะละลายในสารละลายอัลคาลีน และไม่มีสีซึ่งเรียกว่า leuco vats สารละลายดังกล่าวจะใช้ใส่ลงไปในเส้นใยฝ้ายซึ่งเมื่อทำปฏิกิริยาออกซิเดชันหรือสัมผัสกับอากาศจะเกิดเป็นสีขึ้นมา สีย้อมแวตเป็นสีที่มีราคาแพงสามารถใช้กับสิ่งทอที่ใช้ประจำวันที่มีการซักล้างบ่อยๆ เช่น เสื้อเชิ้ตสุภาพบุรุษ สีย้อมแวตสามารถนำไปใช้เป็นสีพิมพ์ผ้า สีพิมพ์ผ้าจะมีส่วนผสมของโซเดียมไฮโดรซัลไฟท์ และสารประกอบอัลดีไฮด์ที่มีสมบัติเป็นตัวรีดิวซ์ที่ดี สามารถนำไปทำการพิมพ์สีบนผ้าก่อน ต่อจากนั้นนำไปทำให้เกิดเป็นสีโดยผ่านผ้าเข้าไปในอ่างที่บรรจุสารออกซิไดส์ เช่น โซเดียมไดโครเมต หรือโซเดียมเปอร์โบเรต

#### 2.9.3.2 จำแนกสีย้อมตามโครงสร้างทางเคมี

1) สีไนโตรโซ (Nitroso dyes) โครงสร้างทางเคมีเป็นสารอะโรมาติกที่มีหมูไนโตรโซ ( $-N=O$ ) และหมูไฮดรอกซิล ( $-OH$ ) ในตำแหน่งที่ติดกันในวงเบนซีน ซึ่งในการย้อมจะทำให้เกิดสารประกอบเชิงซ้อนกับโลหะต่างๆ เช่น เหล็ก โครเมียม โคบอลต์ และนิกเกิล

2) สีไนโตร (Nitro dyes) โครงสร้างทางเคมีเป็นสารประกอบอะโรมาติกที่มีหมูไนโตร ( $-NO_2$ ) และหมูไฮดรอกซิล ( $-OH$ ) หรือหมูอะมิโน ( $-NH_2$ ) ในตำแหน่งที่ติดกันหรือตรงกันข้ามในวงแหวนวงเบนซีน โครงสร้างของสารประกอบอะโรมาติกเป็นโครงสร้างควิโนควอยด์ แบ่งออกเป็นสีซัลโฟเนตเตดไนโตร (Sulfonated nitro dyes) ใช้สำหรับย้อมขนสัตว์ และสีอันซัลโฟเนตเตดไนโตร (Un sulfonated nitro dyes) เป็นสี pigment

- 3) สีแอโซ (Azo dyes) เป็นสีที่มีหมู่แอโซ (-N=N-) เป็นโครโมฟอร์และมีหมู่ไฮดรอกซิล (-OH) หรืออะมิโน (-NH<sub>2</sub>) เป็นออกโซโครม เป็นกลุ่ม สี้อมที่สำคัญมาก ส่วนใหญ่สี้อมที่ใช้ในอุตสาหกรรมมักเป็นสีแอโซ ซึ่งสี้อมชนิดนี้ใช้้อมได้กับเส้นใยทุกชนิด
- 4) สีแอโซอิก (Azoic dyes) เป็นสีแอโซที่ไม่ละลายน้ำและตัวทำละลายต่างๆ ต้องเตรียมขึ้นบนเส้นใย มีโครโมฟอร์ ออกโซโครมเหมือนสีแอโซ
- 5) สีสติลบีน (Stilbene dyes) โครงสร้างมีสติลบีน (C<sub>6</sub>H<sub>5</sub>-CH=CH-C<sub>6</sub>H<sub>5</sub>) และหมู่แอโซเป็นโครโมฟอร์
- 6) สีคาโรทีนอยด์ (Carotenoid dyes) โครงสร้างมีหมู่โซ่พอลิอินของคาร์บอนอย่างน้อย 18 อะตอม เป็นโครโมฟอร์ สีชนิดนี้เป็นสีทั่วไปที่พบในธรรมชาติ สำหรับสีคาโรทีนอยด์ที่สังเคราะห์ขึ้นเพื่อใช้เป็นสีผสมอาหาร เช่น เบตา-คาโรทีน เป็นต้น
- 7) สีไดฟีนิลมีเทน (Diphenylmethane dyes) โครงสร้างหลักเป็นไดฟีนิลมีเทน มีหมู่ -C=NH เป็นโครโมฟอร์และหมู่อะมิโน เป็นออกโซโครม ส่วนใหญ่ใช้้อมกระดาษ นอกจากนี้อาจใช้้อมขนสัตว์ ไหม หนัง ผ้า ย หรือเส้นใยอะคริลิก
- 8) สีแซนทีน (Xanthrene dyes) โครงสร้างหลักเป็นแซนทีน (Dibenzo-1,4-pyran) และมีหมู่อะมิโนหรือหมู่ไฮดรอกซิลเป็นออกโซโครม โครโมฟอร์เป็นโครงสร้างควิโนคอยด์ นิยมเรียกสีชนิดนี้ว่า สีอะมิโนแซนทีน หรือสีไฮดรอกซิลแซนทีน สี้อมกลุ่มนี้ให้สีสดใส สารละลายให้ฟลูออเรสเซนส์ใช้้อมขนสัตว์และไหมได้ ใช้้อมผ้าฝ้ายโดยใช้แทนนินเป็นมอร์แดนท์
- 9) สีอะคริดีน (Acridine dyes) โครงสร้างหลักเป็นอะคริดีนและมีหมู่อะมิโนเป็นออกโซโครม มีโครโมฟอร์เป็นโครงสร้างควิโนคอยด์ สีชนิดนี้นิยมใช้้อมหนัง และใช้เป็นสีเบสสำหรับย้อมไหมและเซลลูโลส
- 10) สีควิโนลีน (Quinoline dyes) โครงสร้างหลักเป็นควิโนลีน สีกลุ่มนี้มีโครโมฟอร์คือ 2(2-Quinolylyl)-1,3-indandiene สีพวกนี้นิยมใช้เป็นตัวทำละลายและสีเบสสำหรับย้อมกระดาษ
- 11) สีแอนทราควิโนน (Anthraquinone dyes) โครงสร้างหลักคือแอนทราควิโนน เป็นโครโมฟอร์และมีหมู่อะมิโนหรือหมู่ไฮดรอกซิลเป็นออกโซโครม นิยมใช้เป็นสีย้อม สีแอซิก สีมอร์แดนท์
- 12) สีอินดิโกออยด์ (Indigoid dyes) โครโมฟอร์คือ  $-\text{CO}-\overset{\text{I}}{\text{C}}=\overset{\text{I}}{\text{C}}-\text{CO}-$  และมีหมู่อะมิโนหรือซัลเฟอร์เป็นออกโซโครม ใช้เป็นสีย้อมในการย้อมผ้า
- 13) สีไทอะโซล (Thiazole dyes) โครงสร้างหลักคือ วงแหวน ไทอะโซล เป็นโครโมฟอร์ มีหมู่อะมิโนเป็นออกโซโครม สีชนิดนี้ใช้้อมผ้าได้โดยตรง

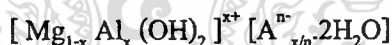
เอกสารนี้เป็นเอกสารที่สงวนไว้สำหรับการใช้งานเพื่อการศึกษาเท่านั้น ไม่อนุญาตให้นำไปใช้ประโยชน์ด้านการค้า  
ไม่ว่ากรณีใดๆทั้งสิ้น อีกทั้งห้ามมิให้ตัดแปลงเนื้อหา และต้องอ้างอิงถึงเจ้าของเอกสารทุกครั้งที่มีการนำไปใช้

14) สีซัลเฟอร์ (Sulfur dyes) เป็นสีที่โครงสร้างทางเคมี มีกำมะถัน (S) เป็นองค์ประกอบทางโครงสร้างทางเคมี สีซัลเฟอร์นี้ไม่ละลายน้ำและสีไม่ติดเส้นใย ต้องเปลี่ยนให้อยู่ในรูปสารประกอบลิวโค (Leuco compound) โดยทำปฏิกิริยากับโซเดียมซัลไฟด์หรือโซเดียมไฮโดรซัลไฟด์ก่อน ทำให้สีเกาะติดเส้นใย นิยมใช้ย้อมเส้นใยเซลลูโลส ผ้าไหม และขนสัตว์

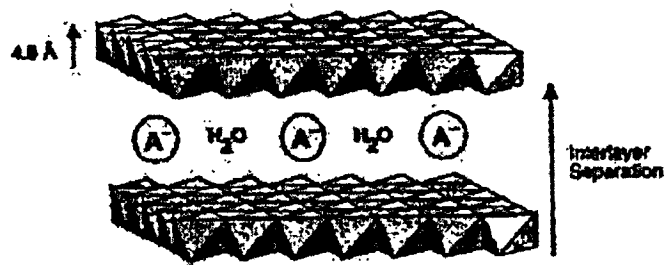
15) สีฟธาโลไซยานิน (Phthalocyanin dyes) สีกลุ่มนี้มี tetrabenzoporphyrane เป็นโครโมฟอร์และโครงสร้างโมเลกุลจับโลหะ มีสมบัติคงทนต่อแสง ความร้อน กรดและเบส ใช้สำหรับสีเคลือบผิว หมึกพิมพ์ พลาสติก เส้นใย ยาง เป็นต้น

## 2.10 ดินเหนียวประจุลบไฮโดรทัลไซท์ (Hydrotalcite Anionic Clay)[4, 20]

ดินเหนียวไฮโดรทัลไซท์ (Hydrotalcite clay) เป็นแร่ธรรมชาติและสามารถสังเคราะห์ที่อุณหภูมิและความดันปกติกับสารละลายผสมเจือจางของแมกนีเซียมคลอไรด์และอลูมิเนียมคลอไรด์กับสารละลายโซเดียมคาร์บอเนต ไฮโดรทัลไซท์เป็นตัวดูดซับที่สามารถแลกเปลี่ยนประจุลบกับสารที่มีประจุลบเช่น พวกน้ำเสียที่มีประจุลบและส่วนใหญ่เป็นน้ำเสียที่เป็นพิษ คือ สารอินทรีย์ น้ำเสียสุดท้ายของขบวนการฟอกย้อม และสารชีวภาพจากขบวนการผลิตอาหาร โดยจะดูดซับอยู่ที่พื้นผิวของดินเหนียวไฮโดรทัลไซท์หรือโดยการเข้าไปอยู่ชั้นในของดินเหนียวไฮโดรทัลไซท์ (Interlayer region) โดยประจุลบที่ใช้แลกเปลี่ยนของดินเหนียวไฮโดรทัลไซท์ คือ คาร์บอเนต ( $\text{CO}_3^{2-}$ -hydrotalcite) ดินเหนียวไฮโดรทัลไซท์ เป็นแบบ ชั้นคู่ (layered doubled hydroxide {LDH}) มีสูตรทั่วไปเป็น



ซึ่งมีประจุบวกและชั้นในมีประจุลบทำให้ประจรรวมเป็นกลาง เกิดการสลายตัวเป็นออกไซด์ที่อุณหภูมิ 500 องศาเซลเซียส โดยปลดปล่อยก๊าซคาร์บอนไดออกไซด์ และ น้ำ ออกมาเมื่อนำสารละลายออกไซด์ที่ได้ไปใส่ในสารละลาย ทำให้สามารถกลับมาเป็นโครงสร้างดินเหนียวไฮโดรทัลไซท์เริ่มต้นได้ ดินเหนียวไฮโดรทัลไซท์สามารถสามารถนำกลับมาใช้ใหม่ด้วยขบวนการง่ายๆ คือ นำมาให้ความร้อนที่ 450 องศาเซลเซียส เป็นเวลา 4 ชั่วโมง เพื่อระเหยสารอินทรีย์ออกมา



รูปที่ 2.10 รูปของคินเหนียวไฮโดรทลไซท์ [4]

กลไกการดูดซับของคินเหนียวไฮโดรทลไซท์ แบ่งได้เป็น 2 แบบ คือ

- 1) โมเลกุลของสีย้อมจะดูดซับบนประจุที่พื้นผิวของคินเหนียว กลไกแบบนี้เห็นได้มากมาย เช่น คาร์บอนกัมมันต์ Porous silica อะลูมินากัมมันต์ และเรซิน โดยมีพื้นที่ผิวของตัวดูดซับเป็นปัจจัยหลัก
- 2) กลไกเกี่ยวข้องกับการแลกเปลี่ยนไอออนที่เป็นประจุลบ โมเลกุลของสีย้อมแสดงคุณสมบัติเป็นประจุลบสามารถแลกเปลี่ยนกับชั้นในของคินเหนียวไฮโดรทลไซท์ที่เป็นประจุลบของคาร์บอเนต

## 2.11 ประเภทของสิ่งสกปรกเจือปนในน้ำเสีย [21]

น้ำเสียที่ได้จากกระบวนการฟอกย้อมนั้นมีสิ่งสกปรกเจือปนอยู่มากมายหลายประเภท ซึ่งอาจจะจำแนกออกเป็นประเภทที่สำคัญๆ ได้ดังนี้คือ

- 1) สีย้อม ในการย้อมเส้นใยจะมีการดูดซึมสีย้อมจากสารละลายสีย้อมเพียงบางส่วนเท่านั้น สีย้อมที่เหลือจะคงอยู่ในสารละลายสีย้อม และจะถูกปล่อยออกมากับน้ำเสียในที่สุด ปริมาณสีย้อมที่ยังคงเหลืออยู่ในสารละลายสีย้อมจะแตกต่างกันไปตั้งแต่ร้อยละ 5-50 ขึ้นอยู่กับประเภทของสีย้อมที่ใช้
- 2) สารเคมีที่ใช้ช่วยในกระบวนการฟอกย้อม รวมทั้งสารเคมีที่ใช้ในกระบวนการตกแต่งสำเร็จ แบ่งได้เป็น 3 กลุ่ม คือ

- สารช่วยย้อม (Auxiliaries chemicals) ได้แก่ สารช่วยขจัดสิ่งสกปรก (Scouring agent) สารช่วยเปียก (Wetting agent) และสารที่ช่วยในการย้อมสีให้ได้สีสม่ำเสมอ (Levelling agent)

เอกสารนี้เป็นเอกสารที่สงวนไว้สำหรับการใช้งานเพื่อการศึกษาเท่านั้น ไม่อนุญาตให้นำไปใช้ประโยชน์ด้านการค้า ไม่ว่าจะกรณีใดๆทั้งสิ้น อีกทั้งห้ามมิให้คัดแปลงเนื้อหา และต้องอ้างอิงถึงเจ้าของเอกสารทุกครั้งที่มีการนำไปใช้

- สารเคมีพื้นฐาน (Basic chemicals) เป็นสารเคมีที่ใช้ในกระบวนการฟอกย้อมโดยตรง ได้แก่ กรด ค่าง บัฟเฟอร์ เกลือ สารฟอกขาว และสารลอกแป้ง

- สารเคมีตกแต่งสำเร็จ ได้แก่ สารที่ป้องกันการซึมของน้ำ สารกันเชื้อรา สารกันไฟ กันยับ เป็นต้น สารเคมีต่างๆ ที่กล่าวข้างต้นเมื่อนำมาใช้ในกระบวนการฟอกย้อมสารเคมีเหล่านี้ ส่วนใหญ่จะคงเหลืออยู่ในสารละลายสีย้อมหรือน้ำซักล้าง และถูกปล่อยปนออกมาในน้ำเสีย

3) สิ่งสกปรกเจือปนในเส้นใย วัสดุสิ่งทอที่ถูกนำมาผ่านกระบวนการฟอกย้อมล้วน แต่มีสิ่งสกปรกเจือปนมาบ้างไม่มากก็น้อย โดยทั่วไปเส้นใยธรรมชาติจะมีสิ่งสกปรกเจือปนสูงกว่าเส้นใยสังเคราะห์ เพราะนอกจากจะมีสิ่งสกปรกเจือปนที่ติดมาในระหว่างกระบวนการผลิตแล้ว ยังมีสิ่งสกปรกเจือปนที่ติดมากับธรรมชาติซึ่งมีปริมาณค่อนข้างมากด้วย เช่น เส้นใยขนแกะมีสิ่งสกปรกเจือปนที่ติดมากับธรรมชาติที่ต้องขจัดออกไปในขั้นตอนการเตรียมผ้าถึงร้อยละ 10 สิ่งสกปรกเจือปนเหล่านี้มีทั้งที่เป็นสารจีสัง ไชมัน โปรตีน ตลอดจนสารประกอบโลหะต่างๆ ลงไปในเส้นใยด้วย เช่น พวกสารหล่อลื่น และแป้งที่ใช้ในการลงแป้งเส้นด้ายขึ้น เป็นต้น สิ่งสกปรกเจือปนเหล่านี้จะถูกขจัดออกจากเส้นใยในขั้นตอนการเตรียมผ้าก่อนการฟอกย้อมและจะหลุดติดออกมาในน้ำเสียจากขั้นตอนการเตรียมผ้า

4) เศษเส้นใย ในน้ำเสียจากกระบวนการฟอกย้อมมีองค์ประกอบอันหนึ่งที่จะหลีกเลี่ยงไม่ได้ คือ เศษเส้นใยที่หลุดออกมา เศษเส้นใยนี้หากมีปริมาณมากก็อาจทำให้เกิดปัญหาการอุดตันของน้ำเสียในเครื่องย้อมได้ นอกจากนี้ ในกรณีของเส้นใยโพลีเอสเตอร์ยังมีสารโอลิโกเมอร์ (Oligomer) ที่อาจหลุดออกมาจากเส้นใยและปะปนในน้ำเสียด้วย

5) สิ่งสกปรกเจือปนอื่นๆ นอกจากสิ่งสกปรกเจือปนต่างๆ ที่ได้กล่าวข้างต้นแล้ว น้ำเสียจากกระบวนการฟอกย้อมยังอาจมีสิ่งสกปรกเจือปนชนิดอื่นๆ อีก เช่น สารเคมีพิเศษที่ใช้ในการขจัดรอยเปื้อนบนผ้า ซึ่งมักจะเป็นสารประกอบจำพวก Chlorinated Benzene พวกสารเคมีที่ใช้ในการล้างเครื่องเหล่านี้ เป็นต้น ซึ่งสารเคมีบางตัวก็อาจมีผลอย่างมากต่อลักษณะสมบัติของน้ำเสียภายหลัง

## 2.12 สมบัติของน้ำเสียโรงงานฟอกย้อม[21]

จากการสำรวจจากการเก็บตัวอย่างน้ำเสียของโรงงานฟอกย้อมในเขตกรุงเทพมหานครและปริมณฑล จำนวน 100 ตัวอย่าง ซึ่งการเก็บตัวอย่างน้ำเสียได้ทำการเก็บตัวอย่างน้ำแบบจ้วงคัก (Grab Sample) ที่จุดรวมน้ำเสียก่อนเข้าระบบบำบัดน้ำเสีย โดยมีค่าที่ทำการตรวจวัด ได้แก่ ความสกปรกในรูปของค่าบีโอดี (BOD) ค่าซีโอดี (COD) ค่าความเป็นกรดค่า (pH) ปริมาณของแข็งแขวนลอย (SS) และค่าปริมาณสี โดยใช้วิธีการเทียบสี (Platinum Cobalt Method) ซึ่งได้ผลสรุปค่าประเมินต่างๆ แสดงดังตารางที่ 2.2

ตารางที่ 2.2 สมบัติของน้ำเสียจากโรงงานฟอกย้อมก่อนการบำบัดแบ่งตามผลิตภัณฑ์

ผลิตภัณฑ์ที่ฟอกย้อม	pH	BOD (mg/l)	COD (mg/l)	SS (mg/l)	สี (Pt Co)	จำนวนข้อมูล
ฟอกย้อมผ้า	8.2	120	300	43	450	13
ฟอกย้อมผ้าดัก	9.0	110	370	50	570	16
ฟอกย้อมผ้าทอ	8.6	400	1,200	140	670	41
ฟอกย้อมผ้าและผ้าหรืออื่นๆ	9.1	230	713	65	400	30

ที่มา : จากการประเมินผลการสำรวจของบริษัท ช. รุ่งเลิศ แอสโซซิเอท จำกัด

### 2.13 ปัญหาเฉพาะตัวสำหรับน้ำทิ้งอุตสาหกรรมฟอกย้อม[23]

#### 1. ความหลากหลายของสิ่งสกปรกเจือปนในน้ำทิ้ง

การฟอกย้อมสิ่งทอเป็นกระบวนการที่ต้องใช้สารเคมีและสีย้อมชนิดต่างๆ มากมาย รวมแล้วหลายร้อยชนิด สารเคมีและสีย้อมเหล่านี้บางส่วนจะถูกดูดซึมไว้ในวัสดุสิ่งทอ แต่จะมีบางส่วนเหลือปะปนมาในน้ำทิ้ง สารเคมีและสีย้อมแต่ละชนิดจะมีสมบัติด้านความเป็นพิษ ด้านผลกระทบต่อสิ่งแวดล้อม และด้านความยากง่ายในการกำจัดที่แตกต่างกันไป

#### 2. ความหลากหลายของน้ำทิ้งในด้านคุณภาพและปริมาณ

น้ำทิ้งจากโรงงานฟอกย้อมจะมีความหลากหลายมาก ทั้งในด้านคุณภาพและปริมาณขึ้นอยู่กับชนิดของวัสดุที่ย้อม กระบวนการ และชนิดของสีย้อมที่ใช้ ตลอดจนประเภทของเครื่องจักรที่ใช้

#### 3. สีของน้ำทิ้ง

น้ำทิ้งของโรงงานฟอกย้อมจะมีสี ทำให้เป็นที่รังเกียจของผู้พบเห็นและการกำจัดสีจากน้ำทิ้งก็เป็นเรื่องที่ทำได้ยากและมีค่าใช้จ่ายสูงมากด้วย

#### 4. ปริมาณของน้ำทิ้งที่ค่อนข้างมาก

โรงงานฟอกย้อมมีปริมาณน้ำทิ้งที่ค่อนข้างมาก เมื่อเทียบกับอุตสาหกรรมอื่นๆ ทำให้ต้องใช้พื้นที่ในการบำบัดน้ำทิ้งมาก ต้นทุนการจัดตั้งระบบบำบัดน้ำทิ้งจึงสูงตามไปด้วย

## 2.14 แนวทางการลดของเสียในอุตสาหกรรมฟอกย้อม[23]

### 1. การเลือกสีย้อมและสารเคมีที่ใช้เหมาะสม

การเลือกใช้สารเคมีที่เหมาะสมจะเป็นปัจจัยสำคัญอย่างหนึ่งในการลดของเสียที่มีผลกระทบต่อสิ่งแวดล้อม เนื่องจากสารเคมีแต่ละชนิดจะมีความเป็นพิษที่แตกต่างกันและการใช้ปริมาณสารเคมีหรือสีย้อมในปริมาณที่เหมาะสมเป็นการลดปริมาณสารเคมีส่วนเกิน ซึ่งปริมาณสารเคมีส่วนเกินนั้นจะกลายเป็นมลพิษทางน้ำต่อไป จากการศึกษากระบวนการฟอกย้อมพบว่า หากสามารถลดปริมาณสารเคมีได้ 20-50% จะสามารถลดปริมาณของเสียในน้ำทิ้งในรูปของ BOD ได้ถึงปริมาณ 30-50% ผลอีกประการหนึ่งที่ได้เห็นได้ชัดเจนก็คือค่าใช้จ่ายในการใช้สารเคมีจะลดลงด้วย

### 2. การนำเทคโนโลยีที่สะอาดมาใช้ในโรงงาน

เทคโนโลยีที่สะอาดหมายถึง เทคโนโลยีที่เป็นการผลิตที่ปราศจากของเสียหรือมีของเสียน้อยที่สุดแม้ว่าเทคโนโลยีเหล่านี้ ส่วนใหญ่ยังคงมีราคาแพง และอาจต้องใช้เวลาในการปรับปรุงโรงงานเพื่อให้ใช้เทคโนโลยีให้นี้ค่อนข้างนานแต่ระยะยาว การเลือกใช้เทคโนโลยีนี้จะเป็นทางออกที่ดีที่สุด

### 3. การลดปริมาณและความสกปรกของน้ำทิ้ง

ค่าใช้จ่ายในการบำบัดน้ำทิ้งแปรผันตามปริมาณและความสกปรกของน้ำ ดังนั้น การลดปริมาณและความสกปรกของน้ำย้อมสามารถช่วยลดภาระในการบำบัดน้ำทิ้งของโรงงานลงได้ วิธีลดปริมาณและความสกปรกของน้ำทิ้งอาจทำได้มากมายหลายทาง เช่น การใช้น้ำด้วยความประหยัด การเลือกใช้สีที่มีเปอร์เซ็นต์การดูดติดในเส้นใยสูง เป็นต้น

### 4. การใช้เทคโนโลยีที่เหมาะสมมาใช้ในการบำบัดน้ำทิ้ง

เนื่องจากน้ำทิ้งจากโรงงานฟอกย้อมมีความหลากหลายมากทั้งในด้านคุณภาพและปริมาณ จึงควรที่โรงงานจะได้เลือกใช้กรรมวิธีในการบำบัดน้ำทิ้ง ที่เหมาะสมกับลักษณะเฉพาะของโรงงาน เพื่อให้สามารถดำเนินงานได้อย่างมีประสิทธิภาพสูง

### 5. การนำกลับมาใช้ใหม่

วิธีการลดปริมาณสีสามารถทำได้อีกวิธีหนึ่งคือการนำกลับมาใช้ใหม่หรือใช้ซ้ำอีกเท่าที่จะทำได้ สารเคมีที่ใช้ในกระบวนการเตรียมควรจะใช้ให้เหมาะสมคือ เลือกชนิดที่สามารถใช้ซ้ำได้อีก โดยไม่ทำให้เกิดปัญหาขึ้น เช่น เกิดเป็นจุดบนผ้า

## 2.15 การกำจัดสีข้อมในน้ำเสียจากการข้อมผ้า[21]

สีข้อมในน้ำเสียจากการข้อมผ้าสามารถถูกกำจัดไปบางส่วนจากการบำบัดน้ำเสียขั้นทุติยภูมิ ไม่ว่าจะเป็นกระบวนการบำบัดด้วยวิธีการทางเคมี หรือ ชีวภาพ ความพยายามที่จะกำจัดสีข้อมที่เหลืออยู่ในน้ำทิ้งให้หมดไปหรือให้มีเหลืออยู่น้อยที่สุดได้ถูกคิดค้นมาเป็นเวลานาน วิธีการบำบัดอาจใช้วิธีใดวิธีหนึ่งหรืออาจจะใช้ร่วมกันก็ได้ ซึ่งประสิทธิภาพในการบำบัดขึ้นอยู่กับสารเคมีที่นำมาใช้ในการผลิตสี บางครั้งพบว่าวิธีการเดียวอาจไม่สามารถกำจัดสีข้อมได้อย่างเหมาะสม จำเป็นต้องมีวิธีอื่นร่วมด้วย เนื่องจากโรงงานฟอกข้อมมีการใช้สีข้อมหลายประเภทด้วยกัน ดังรายละเอียดการศึกษาดังนี้

### 2.15.1 โคแอกกูเลชันด้วยสารเคมี

โคแอกกูเลชันหรือการสร้างตะกอนเคมี ประกอบด้วย 2 ขั้นตอนใหญ่ๆ คือ ขั้นตอนการเติมสารเคมีพวกสารสร้างตะกอน (Coagulant) ซึ่งได้แก่ สารส้ม ปูนขาว เกลือของเหล็ก สารโพสเฟอริกโพลีไลท์ เป็นต้น ผสมกับน้ำเสียที่มีตะกอนแขวนลอยเล็กๆ ขั้นตอนที่สองคือ การกวนอย่างช้าๆ เพื่อให้เกิดสภาพรวมตะกอน (Flocculation) ซึ่งได้มีการเกาะกันระหว่างตะกอนแขวนลอยเล็กๆ กับสารสร้างตะกอน จนได้ตะกอนที่มีขนาดใหญ่ขึ้นจนสามารถตกตะกอนได้ สาเหตุที่ต้องทำการกวนอย่างช้าๆ เพราะไม่ให้สภาพการเกาะตัวกันเกิดการแตกหลุดจากกันของตะกอนเล็กๆ เหล่านั้น การหาปริมาณสารเคมีที่ต้องการใช้จำเป็นต้องทำการทดลอง ซึ่งนิยมเรียกว่า จาร์เทส (Jar test) โดยการทดลองจะมีทั้งการกวนเร็ว 100 รอบต่อนาที ประมาณ 1 นาที ตามด้วยการกวนช้า 20-70 รอบต่อนาที ประมาณ 20 นาที ในกระบวนการกำจัดสีข้อมด้วยโคแอกกูเลชันนั้นมีสารเคมีสร้างตะกอนให้เลือกหลายชนิด การนำสารสร้างตะกอนชนิดใดไปใช้นั้นขึ้นอยู่กับความเหมาะสม โดยดูปัจจัยด้านประสิทธิภาพค่าใช้จ่าย วัตถุประสงค์ และอื่นๆ

### 2.15.2 การดูดติดผิว

การดูดติดผิวเป็นความสามารถของสารบางชนิดในการดึงโมเลกุลหรือ คอลลอยด์ ซึ่งอยู่ในของเหลวหรือก๊าซให้มาเกาะจับหรือติดบนผิว โมเลกุลหรือคอลลอยด์เรียกว่า สารถูกดูด (Adsorbate) ส่วนของแข็งที่มีผิวเป็นที่เกาะจับเรียกว่า สารดูดติด (Adsorbent) และเรียกกลไกตั้งแต่มีโมเลกุลหรือคอลลอยด์เคลื่อนที่ไปเกาะติดกับพื้นผิวของอีกสารหนึ่งว่า สารดูดติดผิว (Adsorption) การเกาะจับโมเลกุลบนผิวของสาร อาจเกิดขึ้นด้วยแรงทางกายภาพ เช่น แรงแวนเดอร์วาล (Van der waals) หรือด้วยแรงทางเคมีหรือทั้งสองอย่างรวมกัน สารดูดติดผิวมีหลายชนิด อาจแบ่งได้เป็น 3 ประเภท ดังนี้

- 1) ประเภทสารอินทรีย์ เช่น ดินเหนียวต่างๆ แมกนีเซียมออกไซด์ ถ่านกระดูก (Bone char) แอคติเวตเต็ดซิลิกา เป็นต้น สารเหล่านี้มีพื้นที่ผิว 50-200 m<sup>2</sup>/g
- 2) ถ่านกัมมันต์ มีพื้นที่ผิวมากกว่าสารอินทรีย์อื่นๆ อย่างมีนัยสำคัญ คือ 600-1,000 ตารางเมตรต่อกรัม จึงจัดแยกไว้จากสารอินทรีย์ชนิดอื่นๆ
- 3) สารอินทรีย์สังเคราะห์ เช่น เรซินแลกเปลี่ยนประจุ มีพื้นที่ผิว 300-500 ตารางเมตรต่อกรัม

โดยทั่วไปกระบวนการดูดติดผิวในกระบวนการกำจัดสีและกลิ่นในน้ำประปา และกระบวนการกำจัดสีในน้ำเสียจะนิยมใช้แอคติเวตเต็ดคาร์บอนซึ่งมีพื้นที่ผิวจำเพาะสูงทำให้มีความสามารถในการดูดติดผิวสูงตามไปด้วย

### 2.15.3 คลอรีนชัน

คลอรีนชันเป็นวิธีการกำจัดสีโดยใช้คลอรีนเป็นตัวออกซิไดซิงเอเจนต์ ซึ่งมีอำนาจออกซิไดซิงสูงไปทำปฏิกิริยากับสีที่อยู่ในน้ำทิ้ง ทำให้สีหายไปหรือลดปริมาณสีลง ปริมาณสีที่ลดลงขึ้นอยู่กับปริมาณและความเข้มข้นของคลอรีนที่ใช้ คลอรีนที่ใช้จะอยู่ในรูปของก๊าซคลอรีน สารประกอบไฮโปคลอไรท์ และคลอรีนไดออกไซด์

#### 2.15.4 โอโซนเนชั่น

โอโซนเนชั่นเป็นการกำจัดสีในน้ำเสียโดยใช้โอโซน ( $O_3$ ) เป็นตัวออกซิไดซิงเอเจนต์ไปทำปฏิกิริยากับสีที่อยู่ในน้ำทิ้งเช่นเดียวกับการใช้คลอรีน แต่โอโซนมีความสามารถในการออกซิไดซิงสูงกว่าคลอรีนเกือบ 1 เท่า การผลิตโอโซนกระทำได้โดยผ่านอากาศแห้งหรือออกซิเจนบริสุทธิ์ไประหว่างขั้วไฟฟ้า 2 ขั้ว ที่มีความต่างศักย์ประมาณ 15,000-20,000 โวลท์ ะตอมของออกซิเจนจะถูกบังคับให้จับตัวกันใหม่กลายเป็นโอโซน ( $O_3$ ) อากาศแห้ง 1 ลบ.ม. สามารถผลิตโอโซนได้ไม่เกิน 30 กรัม หรือเท่ากับ 1.4% โดยปริมาตร ถ้าใช้ออกซิเจนบริสุทธิ์แทนอากาศแห้งอาจได้โอโซนเพิ่มเป็น 60-90 กรัม/ลบ.ม. โอโซนสามารถทำให้เป็นของเหลวได้ แต่นิยมใช้ในรูปก๊าซมากกว่า โอโซนเป็นก๊าซพิษที่ก่อให้เกิดการระคายเคืองอย่างรุนแรง คนสามารถทนโอโซนได้ถึง 0.1 ppm โดยปริมาตรโดยไม่เป็นอันตราย แต่ถ้าให้คนดมโอโซนเข้มข้นประมาณ 1% (ที่ผลิตได้โดยตรงจากเครื่อง) จะถึงแก่ความตายภายใน 1 นาที

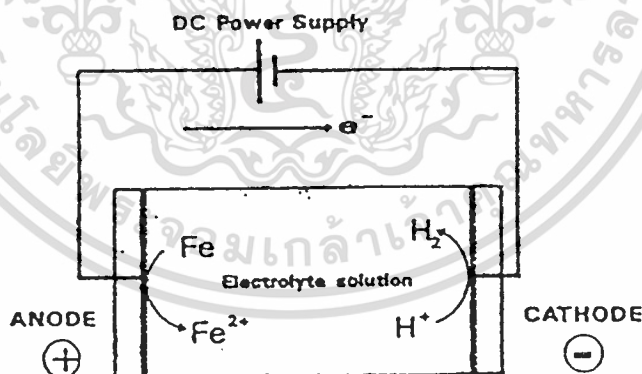
#### 2.15.5 เทคโนโลยีในการใช้แผ่นเมมเบรน

เทคโนโลยีในการใช้แผ่นเมมเบรนประกอบด้วยวิธีอัลตราฟิลเตรชัน และรีเวอร์ออสโมซิส วิธีอัลตราฟิลเตรชันมีหลักการทำงานของระบบคือ ใช้แผ่นเยื่อกระดาษ (membrane) แบบ Porous พวกเซลลูโลส-อะซิเตด หรือโพลีเมอร์สังเคราะห์ต่างๆ และอัดน้ำเข้าไปด้วยแรงดันไม่เกิน 1,034 กิโลนิวตัน/ตร.ม. เยื่อกรองจะทำหน้าที่แยกสารปนเปื้อนทั้งแบบละลายน้ำและตะกอนเล็กที่มีน้ำหนักโมเลกุลตั้งแต่ 500-500,000 และขนาดตั้งแต่  $2 \times 10^{-6}$  ถึง  $1 \times 10^{-2}$  มม. ได้ สำหรับวิธีรีเวอร์ออสโมซิส สามารถแยกสารปนเปื้อนที่มีขนาดตั้งแต่  $4 \times 10^{-7}$  ถึง  $6 \times 10^{-5}$  มม. ซึ่งมีขนาดเล็กกว่าวิธีอัลตราฟิลเตรชัน นิยมใช้ในการแยกเกลือที่ละลายน้ำได้ด้วยการกรองผ่านเยื่อกรองแบบเยื่อกึ่งซึมผ่านได้ (Semipermeable membrane) ณ ความดันตั้งแต่ความดันบรรยากาศจนถึง 6,900 กิโลนิวตัน/ตร.ม. ระบบนี้ประกอบด้วยแผ่นเยื่อกรอง ตัวถัง และเครื่องสูบน้ำที่ให้ความดันสูง พวกแผ่นเยื่อกรองที่นิยมใช้กันมาก ได้แก่ เซลลูโลส-อะซิเตด และไนลอน

ในปัจจุบันวิธีที่นำมาใช้อย่างจริงจัง ได้แก่ วิธีอัลตราฟิลเตรชัน ซึ่งเป็นเทคโนโลยีในการนำวัสดุกลับมาใช้ใหม่ ซึ่งพบว่าสามารถนำ PVC โซดาไฟ สีย้อมอินดิโก และน้ำกลับมาใช้ได้อย่างประสบผลสำเร็จ แม้ว่ากระบวนการนี้จะปรากฏให้เห็นว่ากำจัดสีย้อม และสารที่เค็มได้ทุกประเภท แต่ก็ยังไม่มีการนำมาใช้ในทางปฏิบัติเนื่องจากความยุ่งยากในการแยกสีผสม (สีผสมโดยส่วนใหญ่เป็นกรณีของน้ำจากขั้นตอนการย้อมและการตกแต่งสำเร็จ)

### 2.15.6 ไฟฟ้าเคมี

วิธีไฟฟ้าเคมีหรืออิเล็กโทรเคมีคัลเป็นวิธีที่มีประสิทธิภาพวิธีหนึ่ง แต่ใช้กันน้อยมากในการบำบัดน้ำเสียจากอุตสาหกรรมฟอกย้อม เดิมทีการบำบัดด้วยวิธีนี้ถูกใช้เพื่อกำจัดโลหะหนักจากน้ำเสียอุตสาหกรรม ต่อมาได้มีการปรับปรุงเพื่อนำมากำจัด บีโอดี ซีโอดี สารแขวนลอย และสีในน้ำทิ้ง ลักษณะการทำงานมีองค์ประกอบหลักคือ แหล่งจ่ายไฟฟ้ากระแสตรง (DC power source) ขั้วไฟฟ้าอย่างน้อย 2 ขั้ว (Electrode) และสารละลายนำไฟฟ้า (Electrolyte solution) เมื่อทำการผ่านกระแสไฟฟ้าสู่เซลล์ไฟฟ้าเคมีที่ผ่านแผ่นเหล็ก (Fe) เป็นขั้วไฟฟ้า ดังแสดงในรูปที่ 2.11 พบว่าที่ขั้วบวก (Anode) จะเกิดปฏิกิริยาออกซิเดชันของเหล็ก ซึ่งทำให้แผ่นเหล็กเกิดการสึกกร่อนและละลายออกมาในรูปของเฟอร์รัสไอออน ( $Fe^{2+}$ ) ที่ละลายอยู่ในน้ำ เมื่อเวลาผ่านไปปริมาณของ  $Fe^{2+}$  จะเพิ่มปริมาณมากขึ้น ในขณะที่เดียวกันที่ขั้วลบ (Cathode) จะเกิดปฏิกิริยารีดักชันของน้ำ ซึ่งน้ำจะเกิดการแตกตัวให้ก๊าซไฮโดรเจน ( $H_2$ ) และไฮดรอกไซด์ไอออน ( $OH^-$ ) เมื่อเวลาผ่านไปน้ำจะมีสภาพเป็นด่าง และทำให้เกิดตกตะกอนของเฟอร์รัสไอออนและเฟอร์ริกไอออนซึ่งจะดูดติดและช่วยตกตะกอนของโลหะหนักสีย้อมหรือสิ่งปนเปื้อนเป็นต้นต่างๆ ในน้ำเสีย



รูปที่ 2.11 องค์ประกอบของระบบไฟฟ้าเคมี [21]

## 2.16 งานวิจัยที่เกี่ยวข้อง

วิวรรณ ขจรเกียรติคุณ [23] ได้ทำการทดลองเรื่องการใช้ถังกรองคูคซ์ในการบำบัดสีจากน้ำเสียโรงงานฟอกย้อมสิ่งทอในการบำบัดขั้นสุดท้ายโดยการศึกษาประสิทธิภาพในการกำจัดสีจากการใช้ถังกรอง ซึ่งมีคาร์บอนกัมมันต์และซีลี้อยู่เป็นสารคูคซ์ และศึกษาประสิทธิภาพในการลดค่าซีไอดี ผลการทดลองกับการใช้สีสังเคราะห์ 4 ประเภทได้แก่ สีแอสิด สีเบสิก สีรีแอคทีฟ และสีไคเร็กซ์ พบว่า สีที่ถูกคูคซ์ด้วยคาร์บอนกัมมันต์ดีที่สุด คือ สีเบสิก รองลงมาคือ สีไคเร็กซ์ สีรีแอคทีฟ และสีแอสิด ตามลำดับ ส่วนสีที่ถูกคูคซ์ด้วยซีลี้อยู่ได้ดีที่สุด คือ สีเบสิก รองลงมาคือ สีแอสิด สีไคเร็กซ์ และสีรีแอคทีฟ ตามลำดับ และเมื่อเปรียบเทียบประสิทธิภาพการคูคซ์สีประเภทรีแอคทีฟ และไคเร็กซ์ระหว่างคาร์บอนกัมมันต์และซีลี้อยู่ พบว่าประสิทธิภาพการคูคซ์สีของคาร์บอนกัมมันต์จะดีกว่า ส่วนประสิทธิภาพการคูคซ์สีประเภทเบสิกระหว่างคาร์บอนกัมมันต์และซีลี้อยู่มีค่าใกล้เคียงกัน และประสิทธิภาพของซีลี้อยู่ในการคูคซ์สีแอสิดดีกว่าคาร์บอนกัมมันต์

อภิชาติ หิรัญจิตต์ [24] ได้ทำการกำจัดสีย้อมรีแอคทีฟจากน้ำเสียย้อมผ้าด้วยกระบวนการร่วมของกระบวนการคูคตติคผิว และโคแอกกูแลชัน โดยใช้คาร์บอนกัมมันต์แบบผง และเถ้าลอยจากปล่องควันของโรงผลิตไฟฟ้าถ่านหินลิกไนต์เป็นสารคูคซ์ ใช้สารส้มเป็นแอกกูแลนท์ และใช้โพลิเมอร์เป็นโคแอกกูแลนท์ร่วม โดยสีย้อมที่นำมาทดลองเป็นสีแดง และสีน้ำเงิน ผลการทดลองพบว่า ประสิทธิภาพกำจัดสีย้อมรีแอคทีฟในน้ำเสียย้อมผ้าด้วยกระบวนการคูคตติคผิว โดยใช้คาร์บอนกัมมันต์ผงนั้นขึ้นอยู่กับโทนสีของน้ำเสีย และปริมาณคาร์บอนกัมมันต์ผงโดยน้ำเสียโทนสีแดงต้องการคาร์บอนกัมมันต์ผง 800 มก./ล. และน้ำเสียโทนสีน้ำเงินต้องการ 600 มก./ล. ในการกำจัดให้ได้ประสิทธิภาพ กำจัดสี 95% เท่ากัน ขณะที่เถ้าลอยนั้นให้ประสิทธิภาพกำจัดไม่แน่นอนขึ้นกับตัวอย่างของเถ้าลอย เนื่องจากลักษณะของเถ้าลอยแต่ละตัวอย่างมีความแตกต่างสูง ภายหลังจากกระบวนการคูคตติคผิวด้วยเถ้าลอย น้ำใสส่วนบนไม่จำเป็นต้องใช้สารส้ม หรือโพลิเมอร์ช่วยในการตกตะกอน ส่วนการคูคตติคด้วยคาร์บอนกัมมันต์ น้ำส่วนบนต้องการสารส้ม 30 มก./ล. ในการกำจัดสารแขวนลอยโดยไม่ต้องใช้โพลิเมอร์ช่วย

พัชรี คำธิดา และคณะ [25] ใช้ดินฟอกสีที่ใช้แล้วจากโรงงานอุตสาหกรรมผลิตน้ำมันถั่วเหลืองมาผ่านกระบวนการสกัดน้ำมันออกด้วยสารละลายเฮกเซนแล้วนำมาใช้ดูดซับสีอินทรีย์ ซึ่งได้แก่ Basic Blue, Basic Yellow, Acid Blue และ Acid Red โดยพบว่าดินฟอกสี HSBE มีประสิทธิภาพในการดูดซับสีอินทรีย์ประเภท Basic dyes ได้ดีกว่า Acid dyes โดยสถานะที่เป็นกลางและเบสเหมาะสมกับการดูดซับสีอินทรีย์ประเภท Basic dyes ในขณะที่สถานะที่เป็นกรดเหมาะต่อการดูดซับสีอินทรีย์ประเภท Acid dyes สำหรับปริมาณดินฟอกสี HSBE ที่เหมาะสมต่อการดูดซับสีอินทรีย์ประเภท Basic dyes คือ 5 กรัม และสำหรับ Acid dyes คือ 50 กรัม

Shigeo Miyata [20] ได้ศึกษาหาไอโซเทอมของการแลกเปลี่ยนไอออนของสารประกอบคีนีนิวไฮโดรทอลไซท์ที่สังเคราะห์ขึ้น (HT) โดยพิจารณาที่มีประจุลบแตกต่างกันคือ  $\text{NO}_3^-$ ,  $\text{Cl}^-$ ,  $\text{F}^-$ ,  $\text{Br}^-$ ,  $\text{I}^-$ ,  $\text{OH}^-$ ,  $\text{SO}_4^{2-}$ ,  $\text{CO}_3^{2-}$  และ Naphthol Yellow S ( $\text{NYS}^{2-}$ ) พบว่า ค่าคงที่การแลกเปลี่ยนไอออนที่สถานะสมดุลของคีนีนิวไฮโดรทอลไซท์ที่เป็นประจุลบแบบโมโนเวเลนต์ (monovalent) เรียงตามลำดับได้ดังนี้  $\text{OH}^- > \text{F}^- > \text{Cl}^- > \text{Br}^- > \text{NO}_3^- > \text{I}^-$  ส่วนที่เป็นประจุลบแบบไดเวเลนต์สามารถเรียงลำดับค่าคงที่ของการแลกเปลี่ยนไอออนที่สถานะสมดุลได้เป็น  $\text{CO}_3^{2-} > \text{NYS}^{2-} > \text{SO}_4^{2-}$  โดยค่าคงที่การแลกเปลี่ยนไอออนมีแนวโน้มเพิ่มขึ้นเมื่อเส้นผ่านศูนย์กลางของประจุลบลดลง

F-C WU, R-L. Tseng และ R-S. Juang[26] ได้ทำการศึกษาจลนศาสตร์และกลไกของการดูดซับของสีย้อมแบบการกำ คือ สีย้อมเบสิก (BB69) และ สีย้อมไคแร็คท์ (DR227) โดยใช้คีนีนิวทกัมมันต์ คีนีนิวทที่ใช้ถูกกระตุ้นโดยกรดซัลฟูริก โมเดลง่ายๆ ทางจลนศาสตร์ที่ใช้พิจารณาการดูดซับ คือ แบบจำลองการดูดซับอันดับหนึ่ง และแบบจำลองการดูดซับอันดับสอง หลังจากทดสอบพบว่า การดูดซับของสีย้อมทั้งสองเป็นไปตามแบบจำลองการดูดซับอันดับสอง จากแบบจำลองการดูดซับที่เหมาะสมสามารถนำค่าคงที่อัตราเร็วไปหาค่าพลังงานกระตุ้นที่อุณหภูมิในช่วง 15-75 องศาเซลเซียส พบว่าพลังงานกระตุ้นของสีย้อมเบสิก (BB69) คือ 8.03 kJ/mol และสีย้อมไคแร็คท์ (DR227) คือ 17.5 kJ/mol จากค่าทางเทอร์โมไดนามิกพบว่า ค่าพลังงานอิสระของกิบส์ ( $\Delta G$ ) มีค่า เป็นลบแสดงว่าปฏิกิริยาสามารถเกิดขึ้นได้เอง

R.S. Juang, F.C. Wu และ R.L. Tseng [27] ได้ทำการศึกษาดินเหนียวเบนโทไนท์ที่เป็นสารอนินทรีย์ราคาถูกมากระตุ้นด้วยกรดซัลฟูริกมาใช้เป็นตัวดูดซับในการดูดซับสารละลายสี้อม 6 ชนิด คือ สี้อมเบสติก 2 ชนิด สี้อมเอสิด 1 ชนิด สี้อมคิสเพิร์ส 2 ชนิด และสี้อมไคแร็คท์ 1 ชนิด ในการเปรียบเทียบความสามารถในการดูดซับ (adsorption capacity) พบว่าสี้อมเบสติกถูกดูดซับด้วยดินเหนียวกัมมันต์ได้ต่ำซึ่งหาได้จากสมการของแลงเมียร์ (Langmuir equation) ทดลองโดยใช้ความเข้มข้นของสี้อมในช่วง 50-500 มก/ล. จากการทดลองมีการเปลี่ยนค่าอุณหภูมิต่างๆ กัน เพื่อหาค่า  $K_L$  ไปใช้ในการหาค่าทางเทอร์โมไดนามิกต่างๆ คือ เอนทัลปี พลังงานอิสระของกิบส์ และเอนโทรปี

G. Mckay, G. Ramprasad และ P. Pratapa Mowli [28] ได้ศึกษาวัสดุที่มีราคาถูก คือ เปลือกไม้สัก เปลือกข้าว ถ่านหิน ดินเหนียวเบนโทไนท์ เส้นผม และฝ้าย ใช้เป็นตัวดูดซับสำหรับดูดซับสารละลายสี้อมที่ประกอบด้วยโทนสีแดง 4 ชนิด และโทนสีฟ้า 4 ชนิด โดยประกอบด้วยกลุ่มสี้อมเอสิด สี้อมเบสติก สี้อมคิสเพิร์ส และสี้อมไคแร็คท์ จากไอโซเทอมของการดูดซับระหว่างสี้อมและตัวดูดซับพบว่าความสามารถในการดูดซับ (adsorption capacity) ได้ค่าตั้งแต่ 0 ถึง 200 มก./กรัม ที่ตัวดูดซับต่างๆ กัน โดยที่ตัวดูดซับต่างๆ พบว่าสี้อมเบสติกมีค่าการดูดซับสูงกว่าสี้อมชนิดอื่นๆ

Janson Orthman [4] ได้ทำการศึกษาการดูดซับสี้อมรีแอ็คทีฟในสารละลายด้วยดินเหนียวไฮโดรทัลไลท์ประเภทที่มีประจุลบเป็นหมู่คาร์บอเนต จากข้อมูลทางไอโซเทอมพบว่าดินเหนียวไฮโดรทัลไลท์สามารถดูดซับสี้อมรีแอ็คทีฟได้ 90% และเมื่อนำกลับมาใช้ใหม่ (reuse) ด้วยการนำมาให้ความร้อนที่อุณหภูมิ 450 องศาเซลเซียส เพื่อระเหยสารอินทรีย์ออกไปพบว่าสามารถดูดซับสี้อมรีแอ็คทีฟได้ 88% โดยกลไกของการดูดซับเป็นแบบการแลกเปลี่ยนไอออน

Y.S. Ho และ G. Mckay [29] ได้ศึกษาการดูดซับของตะกั่ว(II)ในสารละลายโดยใช้ถ่านไม้ ในการศึกษาจลนศาสตร์มีการดูผลของการกวนที่ความเร็วต่างๆ ความเข้มข้นเริ่มต้นของตะกั่ว(II) ผลของอุณหภูมิที่แตกต่างกัน และผลของอนุภาคถ่านไม้ ข้อมูลที่ได้จากการทดลองนำไปทดสอบด้วยแบบจำลองอันดับหนึ่งจากสมการ Lagergren และข้อมูลที่ได้พบว่ากลไกของปฏิกิริยาเป็นแบบ 2 ขั้นตอน (two-step)

Chnoong-Kheng Lee, Kun-She Low และ Lai-Ching Chung [30] ได้ศึกษาการดูดซับสีของประเภทสารอินทรีย์ในรูปสารละลายโดยใช้ดินฟอกขาว (bleaching earth) ที่ถูกสกัดด้วยเฮกเซน โดยที่ดินฟอกขาวนี้เป็นของเสียที่ได้จากโรงงานผลิตน้ำมันปาล์ม ซึ่งดินฟอกขาวนี้มีประสิทธิภาพดีในการดูดซับสีเบสิกได้ดีกว่าสีแอซิด โดยจะมีการศึกษาปัจจัยต่างๆ ที่มีผลต่อขบวนการดูดซับ คือ ความเข้มข้นเริ่มต้น ค่าพีเอช การกวน อุณหภูมิและปริมาณของตัวดูดซับ

Mohammad S. EL-Geundi [31] ได้ทำการศึกษาการดูดซับของสีย้อม 2 ชนิดที่เป็นประเภทสีย้อมเบสิก คือ Atrazon Blue และ Maxilon Red และสีย้อมแอซิด 2 ชนิด คือ Telon Blue และ Erionyl Red ด้วยซังข้าวโพด พบว่าความสามารถในการดูดซับสูงสุดของสีย้อมเบสิกต่อน้ำหนักซังข้าวโพดหนึ่งกรัม เป็นดังนี้ Atrazon Blue 160 มก./ก. และ Maxilon Red 94.5 มก./ก. แต่ความสามารถในการดูดซับสูงสุดของสีย้อมแอซิดต่อน้ำหนักซังข้าวโพดหนึ่งกรัมมีค่าต่ำกว่า คือ Erionyl Red 47.7 มก./ก. และ Telon Blue 41.4 มก./ก. ในที่นี้จะศึกษาวลาในการทดลองแบบเบทโดยผลของปัจจัยต่างๆ คือ อัตราเร็วในการกวน ขนาดของอนุภาคซังข้าวโพด และน้ำหนักของซังข้าวโพด

Mamdouh M. Nassar และ Yehia H. Magdy [32] ได้ทำการศึกษาการดูดซับของสีย้อมเบสิก 3 ชนิด คือ Basic Yellow Basic Red และ Basic Blue ในสารละลายโดยใช้พวงปาล์ม (palm-fruit bunch) เป็นตัวดูดซับ สมดุลของไอโซเทอมระหว่างสีย้อมและตัวดูดซับที่ใช้ในการทดลอง คือ ไอโซเทอมของแลงเมียร์ ไอโซเทอมของฟลอยริช และไอโซเทอมของเรดิช-ปีเตอร์สัน ค่าความสามารถในการดูดซับสูงสุดของพวงปาล์มและสีย้อมต่างๆ เป็นดังนี้ Basic Yellow 327 มก./ก. Basic Red 180 มก./ก. และ Basic Blue 92 มก./ก. มีการเปรียบเทียบปริมาณน้ำหนักตัวดูดซับที่ใช้ในการดูดซับสีย้อม 1 กิโลกรัม พบว่า Basic Yellow มีการใช้น้ำหนักพวงปาล์มคิดเป็น 1:9 เท่าของน้ำหนักคาร์บอน กัมมันต์ที่ใช้ Basic Red ใช้น้ำหนักพวงปาล์มเป็น 4.4 เท่าของน้ำหนักคาร์บอนกัมมันต์ที่ใช้ Basic Blue ใช้น้ำหนักของพวงปาล์มเป็น 7.1 เท่าของน้ำหนักคาร์บอนกัมมันต์

G.S. Gupta, G. Prasad และ V.N. Singh [33] ได้ศึกษาการกำจัดสีของ Omega Chrome Red ME โดยการดูดซับด้วยของผสมระหว่างซีเมนต์และ ถ่านหินในสัดส่วนที่แตกต่างกัน ในการทดลองกำหนดให้ค่าความเข้มข้นเริ่มต้นของสีมีค่า 20 มก./ล. 10 มก./ล. และ 5 มก./ล. ขนาดของอนุภาคตัวดูดซับ คือ 125  $\mu\text{m}$  75  $\mu\text{m}$  และ 53  $\mu\text{m}$  อุณหภูมิที่ใช้ คือ 30 40 และ 50 องศาเซลเซียส และค่าพีเอชเป็นกรดซึ่งสามารถกำจัดสีโครมได้ดี สีโครมสามารถกำจัดได้ดีถึง 100 % ที่ความเข้มข้น 10 มก./ล. อุณหภูมิ 30 องศาเซลเซียส พีเอช 2.0 และขนาดอนุภาค 53  $\mu\text{m}$  ในอัตราส่วนซีเมนต์และถ่านหิน 1:1 จลนศาสตร์และการเคลื่อนที่ของตัวดูดซับ (mass transfer) ใช้โมเดลของ Lagergren และ McKay ตามลำดับ โมเดลของการดูดซับที่สภาวะสมดุลใช้สมการของแลงเมียร์ซึ่งแสดงการดูดซับของโมเลกุลสีที่พื้นผิวตัวดูดซับเป็นแบบชั้นเดียว ผลของอุณหภูมิอธิบายการละลายของสีที่มีต่อการดูดซับ โดยที่ถ้าการละลายของสีเพิ่มขึ้นเนื่องจากมีอุณหภูมิสูงขึ้น ทำให้ความสามารถในการดูดซับลดลง



## บทที่ 3

### วิธีดำเนินงานวิจัย

#### 3.1 อุปกรณ์เครื่องมือและสารเคมี

##### อุปกรณ์

1. เครื่องยูวี-วิสิเบิล สเปกโทรโฟโตมิเตอร์ (UV-visible spectrophotometer) ยี่ห้อ JENWAY รุ่น 6405
2. เครื่องเอ็กซ์เรย์ ฟลูออเรสเซนซ์ (X-ray Fluorescence) ยี่ห้อ Bruker AG รุ่น SRS 3400
3. เครื่องออโตซอร์บ (Autosorb) ยี่ห้อ QUANTA CHROME
4. เครื่องสแกนนิ่งอิเล็กตรอนไมโครสโคป (Scanning Electron Microscopy) ยี่ห้อ Leo รุ่น 1455VP
5. เครื่องควบคุมอุณหภูมิ (Water bath) ยี่ห้อ JULABO
6. เครื่องหมุนเหวี่ยง (Centrifuge) ยี่ห้อ SANYO
7. เครื่องกวนมอเตอร์ (Motor stirrer) ยี่ห้อ YAMATO
8. ตู้อบ (Oven) ยี่ห้อ MEMMERT
9. กรวยบุชเนอร์ (Buchner funnel)
10. ขวดซักชั้น (Suction flask)
11. กระดาษกรองวัดแมนเบอร์ 42
12. เครื่องกรองสูญญากาศ (Suction pump)
13. เครื่องชั่งละเอียด 4 ตำแหน่ง (Single pan balance)
14. ปิเปต (Pipet) ขนาด 10 50 และ 100 มิลลิลิตร
15. ขวดวัดปริมาตร (Volumetric flask) ขนาด 10 100 และ 500 มิลลิลิตร
16. ขวดฉีดน้ำกลั่น (Wash bottle)
17. บีกเกอร์ (Beaker) ขนาด 100 500 และ 1,000 มิลลิลิตร
18. กระบอกตวง (Graduated cylinder) ขนาด 100 มิลลิลิตร
19. ช้อนตักสาร (Spatula)
20. เทอร์โมมิเตอร์ขนาด 100 °C (Thermometer)

## สารเคมี

1. ผงสีรีแอ็คทีฟ (Reactive Blue 5) เกรดวิเคราะห์ บริษัท SIGMA
2. แมกนีเซียมคลอไรด์ ( $MgCl_2 \cdot 6H_2O$ ) เกรดวิเคราะห์ บริษัท CARLOERBA
3. อะลูมิเนียมคลอไรด์ ( $AlCl_3 \cdot 6H_2O$ ) เกรดวิเคราะห์ บริษัท UNIVAR
4. โซเดียมไฮดรอกไซด์ (NaOH) เกรดการค้า บริษัท CARLOERBA
5. โซเดียมคาร์บอเนต ( $Na_2CO_3$ ) เกรดการค้า บริษัท CARLOERBA

### 3.2 การเตรียมดินเหนียวไฮโดรทัลไซท์สังเคราะห์ [4]

1. เตรียมสารละลายผสมโดย ชั่งแมกนีเซียมคลอไรด์ ( $MgCl_2 \cdot 6H_2O$ ) ประมาณ 34 กรัม และอะลูมิเนียมคลอไรด์ ( $AlCl_3 \cdot 6H_2O$ ) ประมาณ 36.2 กรัม ลงในบีกเกอร์ขนาด 1,000 มิลลิลิตร ละลายในน้ำปราศจากไอออน 500 มิลลิลิตร ผสมให้เข้ากัน
2. ชั่งน้ำหนักโซเดียมไฮดรอกไซด์ (NaOH) ประมาณ 32 กรัม และชั่งโซเดียมคาร์บอเนต ( $Na_2CO_3$ ) ประมาณ 28.6 กรัม ลงในบีกเกอร์ขนาด 5 ลิตร เติมน้ำปราศจากไอออน 4 ลิตร กวนให้เข้ากันโดยใช้เครื่องกวนมอเตอร์
3. นำสารละลายผสมในข้อ 1. ค่อยๆ เติมน้ำในสารละลายข้อที่ 2. ภายใต้การกวนด้วยเครื่องกวนมอเตอร์ที่ความเร็วรอบ 1,000 รอบต่อนาที
4. ทำการปั่นเหวี่ยงของผสมที่ได้จากข้อ 3. ด้วยเครื่องหมุนเหวี่ยงด้วยความเร็วรอบ 2,800 รอบต่อนาที เป็นเวลา 15 นาที
5. นำของแข็งสีขาวที่ได้มาล้างด้วยน้ำปราศจากไอออน 500 มิลลิลิตร จำนวน 4 ครั้ง
6. นำของแข็งที่ได้ไปอบที่อุณหภูมิ 80 องศาเซลเซียส เป็นเวลา 20 ชั่วโมง หลังจากนั้นนำไปเผาที่อุณหภูมิ 500 องศาเซลเซียส เป็นเวลา 10 ชั่วโมง
7. นำของแข็งที่ได้มาบดและร่อนผ่านตะแกรงร่อนขนาด 20-35 mesh

### 3.3 คุณสมบัติทางกายภาพและทางเคมีของดินเหนียวไฮโดรทัลไลท์สังเคราะห์ ตารางที่ 3.1 เครื่องมือที่ใช้วิเคราะห์คุณสมบัติของดินเหนียว

พารามิเตอร์	เครื่องมือในการวิเคราะห์
องค์ประกอบต่างๆของดินเหนียว	X-ray Fluorescence Spectrometer
ขนาดของอนุภาค	Scanning Electron Microscopy
รูพรุน	Autosorb
พื้นที่ผิว	Autosorb
ความสามารถในการแลกเปลี่ยนไอออน (AEC)	Standard Method [41]

### 3.4 การศึกษาความสามารถในการดูดซับสีย้อมด้วยดินเหนียวไฮโดรทัลไลท์สังเคราะห์

1. นำสารละลายสีย้อมรีแอคทีฟเข้มข้น  $100 \text{ g/m}^3$  เทลงในบีกเกอร์ขนาด 1 ลิตร จำนวน 500 มิลลิลิตร ที่แช่อยู่ในเครื่องควบคุมอุณหภูมิ  $35$  องศาเซลเซียส
2. ทำการปั่นกวนด้วยเครื่องกวนมอเตอร์ด้วยความเร็ว 600 รอบต่อนาที
3. นำดินเหนียวไฮโดรทัลไลท์ประมาณ 0.2 กรัม ( $w/v = 0.4 \text{ kg/m}^3$ ) ใส่ลงในบีกเกอร์ปั่นกวน
4. เก็บสารละลายสีย้อม 5 มิลลิลิตร โดยในช่วง 30 นาทีแรก ให้เก็บสารละลายสีย้อมทุกๆ 5 นาที หลังจากนั้นให้เก็บสารละลายสีย้อมทุกๆ 10 นาที จนครบ 120 นาที
5. นำสารละลายสีย้อมมากรองผ่านกระดาษกรองวัดแมนเบอร์ 42 และนำมาวัดค่าการดูดกลืนแสงที่ความยาวคลื่น 600 นาโนเมตร ด้วยเครื่อง UV-visible Spectrophotometer
6. ทำการทดลองเหมือนข้อ 1-5 แต่ใช้ความเข้มข้นของสารละลายสีย้อม และน้ำหนักดินเหนียวไฮโดรทัลไลท์ต่างๆ ดังนี้

ตารางที่ 3.2 ความเข้มข้นของสีย้อมและน้ำหนักดินเหนียวไฮโดรทาลไซท์ที่ใช้ในการทดลอง

ความเข้มข้น ของสีย้อม ( $g/m^3$ )	น้ำหนักดินเหนียวไฮโดรทาลไซท์ (กรัม) และ อัตราส่วน w/v ( $kg/m^3$ )
100	0.4(w/v = 0.8),0.6(w/v = 1.2),0.8(w/v = 1.6),1.0(w/v = 2.0)
200	0.6(w/v = 1.2),1.0(w/v = 2.0),1.4(w/v = 2.8),1.8(w/v = 3.6),2.2(w/v = 4.4)
300	1.0(w/v = 2.0),1.4(w/v = 2.8),1.8(w/v = 3.6),2.2(w/v = 4.4),2.6(w/v = 5.2)
400	1.4(w/v = 2.8),1.8(w/v = 3.6),2.2(w/v = 4.4),2.6(w/v = 5.2),3.0(w/v = 6.0)
500	1.8(w/v = 3.6),2.2(w/v = 4.4),2.6(w/v = 5.2),3.0(w/v = 6.0),3.4(w/v = 6.8)
600	2.2(w/v = 4.4),2.6(w/v = 5.2),3.0(w/v = 6.0),3.4(w/v = 6.8),3.8(w/v = 7.6)
700	2.6(w/v = 5.2),3.0(w/v = 6.0),3.4(w/v = 6.8),3.8(w/v = 7.6),4.2(w/v = 8.4)
800	3.0(w/v = 6.0),3.4(w/v = 6.8),3.8(w/v = 7.6),4.2(w/v = 8.4),4.6(w/v = 9.2)
900	3.4(w/v = 6.8),3.8(w/v = 7.6),4.2(w/v = 8.4),4.6(w/v = 9.2),5.0(w/v = 10.0)

### 3.5 การศึกษาหาความสัมพันธ์ในการดูดซับที่สภาวะสมดุล โดยใช้ไอโซเทอมของ แลงเมียร์และฟลอยดิซ

- นำสารละลายสีย้อมรีแอคทีฟเข้มข้น  $100 \text{ g/m}^3$  ใส่ลงในบีกเกอร์ขนาด 1 ลิตร จำนวน 500 มิลลิลิตร ที่แช่อยู่ในเครื่องควบคุมอุณหภูมิ 35 องศาเซลเซียส
- กวนโดยใช้เครื่องกวนมอเตอร์ด้วยความเร็ว 600 รอบ/นาที
- นำดินเหนียวไฮโดรทาลไซท์ประมาณ 1.0 กรัม (w/v = 2.0  $kg/m^3$ ) ใส่ลงในบีกเกอร์ปั่นกวน
- ใช้เวลาในการกวน 3 วัน หลังจากนั้น นำสารละลายสีย้อม 5 มิลลิลิตร มากรองผ่านกระดาษกรองวัดแมนเบอร์ 42
- วัดค่าการดูดกลืนแสงที่ความยาวคลื่น 600 นาโนเมตร ด้วยเครื่อง UV-visible Spectrophotometer
- ทำการทดลองเหมือนข้อ 1-5 แต่เปลี่ยนความเข้มข้นของสารละลายสีย้อมรีแอคทีฟ เป็น 200 300 400 500 600 700 800 900  $g/m^3$

เอกสารนี้เป็นเอกสารที่สงวนไว้สำหรับการใช้งานเพื่อการศึกษาเท่านั้น ไม่อนุญาตให้นำไปใช้ประโยชน์ด้านการค้า  
ไม่ว่ากรณีใดๆทั้งสิ้น อีกทั้งห้ามมิให้ตัดแปลงเนื้อหา และต้องอ้างอิงถึงเจ้าของเอกสารทุกครั้งที่มีการนำไปใช้

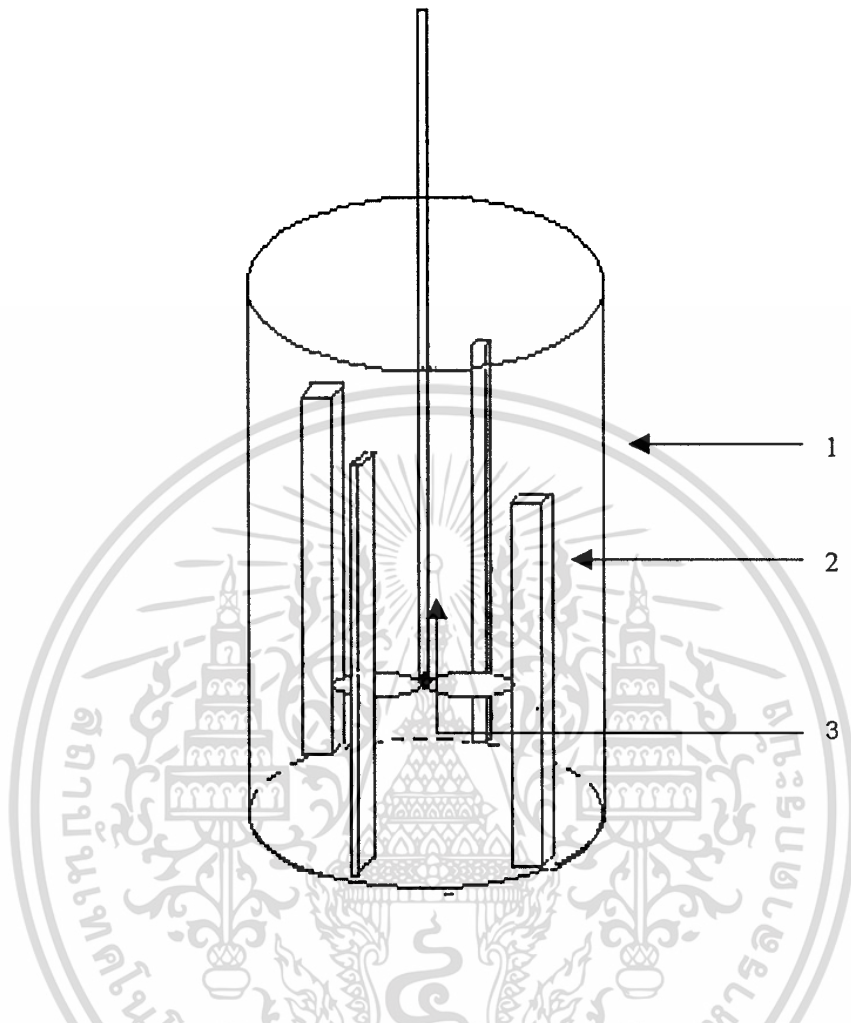
### 3.6 การทดลองหาค่าพลังงานกระตุ้นจากสมการของอาร์เรเนียส

1. นำสารละลายซีอิ้วมรีแอ็คทีฟเข้มข้น  $100 \text{ g/m}^3$  ใส่ลงในบีกเกอร์ขนาด 1 ลิตร จำนวน 500 มิลลิลิตร ที่แช่อยู่ในเครื่องควบคุมอุณหภูมิ 25 องศาเซลเซียส
2. กวนโดยใช้เครื่องกวนมอเตอร์ด้วยความเร็ว 600 รอบต่อนาที
3. นำดินเหนียวไฮโดรทัลไซท์ประมาณ 1.0 กรัม ( $w/v = 2 \text{ kg/m}^3$ ) ใส่ลงในบีกเกอร์ปั่นกวน
4. เก็บสารละลายซีอิ้วม 5 มิลลิลิตร โดยในช่วง 30 นาทีแรกให้เก็บสารละลายซีอิ้วมทุกๆ 5 นาที หลังจากนั้นให้เก็บสารละลายซีอิ้วมทุกๆ 10 นาที จนครบ 120 นาที
5. นำสารละลายซีอิ้วมมากรองผ่านกระดาษกรองวัดแมนเบอร์ 42 และนำมาวัดค่าการดูดกลืนแสงที่ความยาวคลื่น 600 นาโนเมตร ด้วยเครื่อง UV-visible Spectrophotometer
6. ทำการทดลองเหมือนข้อ 1-5 แต่เปลี่ยนอุณหภูมิในการทดลองเป็น 35 45 และ 55 องศาเซลเซียส

### 3.7 การศึกษาหาค่าเอนทัลปีจากสมการของแวนฮอฟฟ์ ค่าพลังงานอิสระของกิบส์ และค่าเอนโทรปี

1. นำสารละลายซีอิ้วมรีแอ็คทีฟเข้มข้น  $100 \text{ g/m}^3$  ใส่ลงในบีกเกอร์ขนาด 1 ลิตร จำนวน 500 มิลลิลิตร ที่แช่อยู่ในเครื่องควบคุมอุณหภูมิ 25 องศาเซลเซียส
2. กวนโดยใช้เครื่องกวนมอเตอร์ด้วยความเร็ว 600 รอบ/นาที
3. นำดินเหนียวไฮโดรทัลไซท์ประมาณ 1.0 กรัม ( $w/v = 2.0 \text{ kg/m}^3$ ) ใส่ลงในบีกเกอร์ปั่นกวน
4. ใช้เวลาในการกวน 3 วัน หลังจากนั้น นำสารละลายซีอิ้วม 5 มิลลิลิตร มากรองผ่านกระดาษกรองวัดแมนเบอร์ 42
5. วัดค่าการดูดกลืนแสงที่ความยาวคลื่น 600 นาโนเมตร ด้วยเครื่อง UV-visible Spectrophotometer
6. ทำการทดลองเหมือนข้อ 1-5 แต่เปลี่ยนอุณหภูมิในการทดลองเป็น 35 45 และ 55 องศาเซลเซียส

### อุปกรณ์ที่ใช้ในการทดลองการดูดซับแสดงได้ดังรูปที่ 3.1



รูปที่ 3.1 อุปกรณ์ที่ใช้ในการทดลอง ประกอบด้วย

1. บีกเกอร์ ( Beaker ) ทำด้วยแก้ว
  - สูง 14 เซนติเมตร
  - เส้นผ่าศูนย์กลาง 9 เซนติเมตร
2. บัฟเฟิล ( Baffle ) ทำด้วยแก้ว
  - สูง 11 เซนติเมตร
  - กว้าง 1 เซนติเมตร
  - หนา 0.2 เซนติเมตร
3. ใบพัดแบบ 4 แฉก ( Four-blades impeller ) ทำด้วยเหล็กกล้าไร้สนิม
  - ยาวข้างละ 2.5 เซนติเมตร
  - สูงจากฐาน 3.5 เซนติเมตร

เอกสารนี้เป็นเอกสารที่สงวนไว้สำหรับการใช้งานเพื่อการศึกษาเท่านั้น ไม่อนุญาตให้นำไปใช้ประโยชน์ด้านการค้า  
ไม่ว่ากรณีใดๆทั้งสิ้น อีกทั้งห้ามมิให้ตัดแปลงเนื้อหา และต้องอ้างอิงถึงเจ้าของเอกสารทุกครั้งที่มีการนำไปใช้

## บทที่ 4

### ผลการทดลอง

#### 4.1 ลักษณะทางกายภาพและทางเคมีของดินเหนียวไฮโดรทัลไลท์สังเคราะห์

นำดินเหนียวไฮโดรทัลไลท์ซึ่งสังเคราะห์จากสารละลายผสมเจือจางของแมกนีเซียมคลอไรด์และอะลูมิเนียมคลอไรด์กับสารละลายโซเดียมคาร์บอเนต มาทำการศึกษาทางองค์ประกอบทางกายภาพ ได้แก่ ขนาดของอนุภาค รูพรุน พื้นที่ผิวและความสามารถในการแลกเปลี่ยนไอออน และศึกษาองค์ประกอบทางเคมี โดยวิเคราะห์ด้วยเทคนิคเอ็กซ์เรย์ฟลูออเรสเซนซ์ ผลการทดลองแสดงดังตารางที่ 4.1 และ 4.2

ตารางที่ 4.1 องค์ประกอบทางกายภาพของดินเหนียวไฮโดรทัลไลท์

องค์ประกอบทางกายภาพ	ค่าที่วัดได้
ขนาดของอนุภาค	$8.42 \times 10^{-4}$ m
ขนาดของรูพรุน	4.62 nm
พื้นที่ผิว	219.64 m <sup>2</sup> /g
ความสามารถในการแลกเปลี่ยนไอออน	27.60 meq/100g

ตารางที่ 4.2 องค์ประกอบทางเคมีของดินเหนียวไฮโดรทัลไลท์

องค์ประกอบทางเคมี	เปอร์เซ็นต์น้ำหนักโดยประมาณ
Na <sub>2</sub> O	11.00
MgO	51.20
Al <sub>2</sub> O <sub>3</sub>	33.30
Cl	4.73

จากตารางที่ 4.1 เมื่อพิจารณาองค์ประกอบทางกายภาพของดินเหนียวไฮโดรทัลไลท์เทียบกับงานวิจัยของ Jason Orthman และคณะ [34] ที่ทำการศึกษาการดูดซับสีข้อมชนิดต่างๆ โดยใช้ดินเหนียวไฮโดรทัลไลท์สังเคราะห์พบว่าขนาดของพื้นที่ผิวมีค่าเท่ากับ 186 m<sup>2</sup>/g และขนาดของรูพรุนอยู่ในช่วง mesopore (2-50 นาโนเมตร) จะเห็นได้ว่าเมื่อเปรียบเทียบคุณสมบัติทางกายภาพของดินเหนียวกับการทดลองของ Jason Orthman พบว่าขนาดพื้นที่ผิวของดินเหนียวไฮโดรทัลไลท์ที่สังเคราะห์ได้มีค่ามากกว่าเล็กน้อยเนื่องจากขนาดของอนุภาคที่หาได้มีขนาดเล็กกว่าแต่ไม่น่ามีผล

เอกสารนี้เป็นเอกสารที่สงวนไว้สำหรับการใช้งานเพื่อการศึกษาเท่านั้น ไม่อนุญาตให้นำไปใช้ประโยชน์ด้านการค้า ไม่ว่าจะกรณีใดๆทั้งสิ้น อีกทั้งห้ามมิให้คัดแปลงเนื้อหา และต้องอ้างอิงถึงเจ้าของเอกสารทุกครั้งที่มีการนำไปใช้

มากนัก เนื่องจากกลไกการดูดซับเป็นแบบการแลกเปลี่ยนไอออนและขนาดของรูพรุนพบว่าดินเหนียวที่สังเคราะห์มีค่าอยู่ในช่วงเดียวกัน เมื่อพิจารณาความสามารถในการแลกเปลี่ยนประจุ พบว่ามีค่าสูงกว่าดินเหนียวตามธรรมชาติ ทั่วไปที่มีค่าความสามารถในการแลกเปลี่ยนประจุอยู่ในช่วง 0.1-1.0 meq/100g

จากตารางที่ 4.2 เมื่อพิจารณาองค์ประกอบทางเคมีของดินเหนียวไฮโดรทัลไซท์ที่ได้จากเครื่องเอ็กซ์เรย์ ฟลูออเรสเซนซ์ คือ MgO 51.20% และ Al<sub>2</sub>O<sub>3</sub> 33.30% โดยมี Na<sub>2</sub>O 11.00% และ Cl 4.73% เป็นสารรบกวน เมื่อเทียบกับการทดลองของ Di Cosimo J.I. และคณะ [35] ที่ทำการศึกษาหาโครงสร้าง พื้นที่ผิว และสมบัติการเป็นตัวเร่งของดินเหนียวไฮโดรทัลไซท์แบบ (Mg-Al) พบว่าจากสูตรทั่วไปของ ดินเหนียวไฮโดรทัลไซท์ คือ



โดยที่ค่า  $x = Al / (Al+Mg)$  มีค่าอยู่ระหว่าง 0.1-0.67 จากองค์ประกอบทางเคมีสามารถคำนวณหาค่า Mg เท่ากับ 30.87% และ Al เท่ากับ 17.62% ดังนั้นจะได้ค่า  $x$  เท่ากับ 0.36 ซึ่งอยู่ในช่วงดินเหนียวไฮโดรทัลไซท์ที่สังเคราะห์ได้ของ Di Cosimo J.I. และคณะ

ลักษณะของดินเหนียวไฮโดรทัลไซท์ที่สังเคราะห์ได้ แสดงได้ดังรูปที่ 4.1



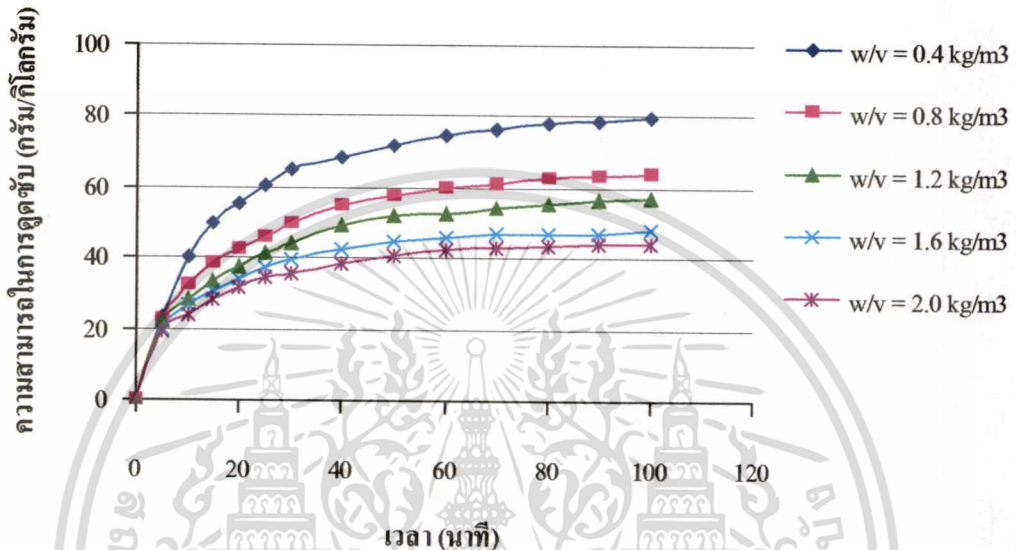
รูปที่ 4.1 ลักษณะของดินเหนียวไฮโดรทัลไซท์ที่สังเคราะห์ได้

#### 4.2 ความสามารถในการดูดซับสีย้อมด้วยดินเหนียวไฮโดรทัลไซท์สังเคราะห์

จากการทดลองการดูดซับสารละลายสีย้อมรีแอ็คทีฟด้วยดินเหนียวไฮโดรทัลไซท์ ที่เวลาต่างๆ ด้วยวิธีการแบบแบทช์ควบคุมอุณหภูมิที่ 35 องศาเซลเซียส โดยกำหนดค่าความเข้มข้นเริ่มต้น ( $C_0$ ) และอัตราส่วนน้ำหนักตัวดูดซับต่อปริมาตรสีย้อมสังเคราะห์ (w/v) ที่แตกต่างกัน ดังนี้ เอกสารนี้เป็นเอกสารที่สงวนไว้สำหรับการใช้งานเพื่อการศึกษาเท่านั้น ไม่อนุญาตให้นำไปใช้ประโยชน์ด้านการค้า ไม่ว่าจะกรณีใดๆทั้งสิ้น อีกทั้งห้ามมิให้คัดแปลงเนื้อหา และต้องอ้างอิงถึงเจ้าของเอกสารทุกครั้งที่มีการนำไปใช้

#### 4.2.1 $C_0 = 100 \text{ ppm}$ และ $w/v = 0.4, 0.8, 1.2, 1.6$ และ $2.0 \text{ kg/m}^3$

จากความสามารถในการดูดซับสีย้อมที่ความเข้มข้น 100 กรัม/ลูกบาศก์เมตร โดยใช้ดินเหนียวไฮโดรทัลไลท์ที่อัตราส่วน  $w/v$  เท่ากับ 0.4, 0.8, 1.2, 1.6 และ 2.0 กิโลกรัม/ลูกบาศก์เมตร สามารถนำมาเขียนกราฟแสดงความสัมพันธ์ระหว่างความสามารถในการดูดซับกับเวลา ได้ดังรูปที่ 4.2



รูปที่ 4.2 ความสามารถในการดูดซับที่เวลาต่างๆ เมื่อใช้อัตราส่วนของน้ำหนักตัวดูดซับต่อปริมาตรสีย้อมสังเคราะห์ ( $w/v$ ) เท่ากับ 0.4, 0.8, 1.2, 1.6 และ 2.0 กิโลกรัม/ลูกบาศก์เมตร และใช้ความเข้มข้นของสีย้อม 100 กรัม/ลูกบาศก์เมตร

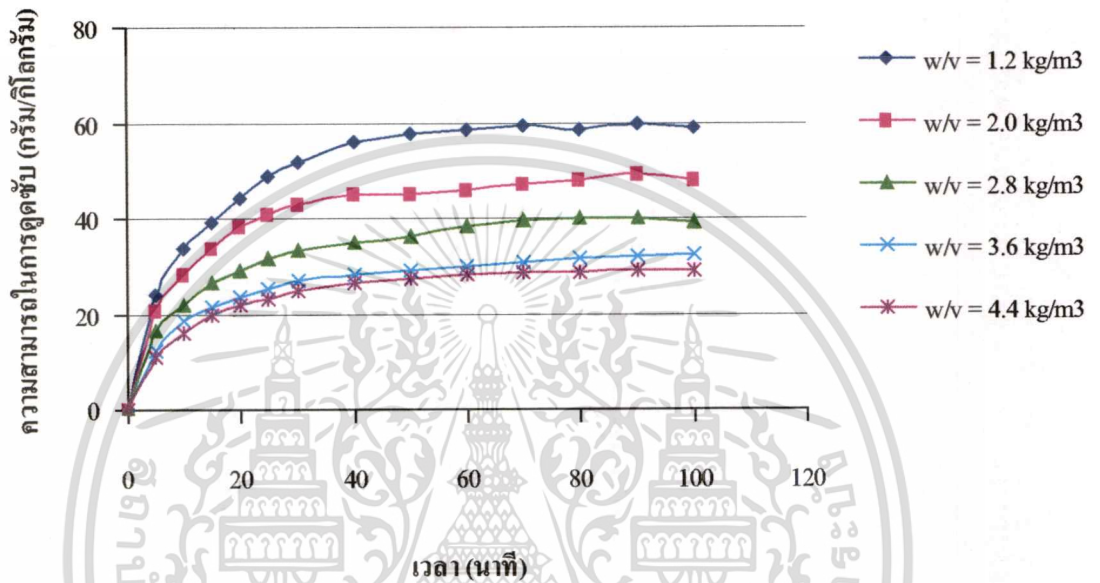
จะเห็นได้ว่าความสามารถในการดูดซับในช่วง 30 นาทีแรกจะเกิดขึ้นอย่างรวดเร็ว หลังจากนั้นจะค่อย ๆ เกิดการดูดซับอย่างช้า ๆ จนเข้าสู่สมดุล เนื่องจากการเคลื่อนที่ของโมเลกุลของสีย้อมไปยังพื้นผิวของดินเหนียวไฮโดรทัลไลท์และผ่านเข้าไปในรูพรุนภายในเกิดขึ้นอย่างรวดเร็ว หลังจากนั้นเข้าสู่สมดุลอย่างช้า ๆ และเมื่อเพิ่มอัตราส่วน  $w/v$  จาก 0.4 กิโลกรัม/ลูกบาศก์เมตรไปเป็น 0.8, 1.2, 1.6 และ 2.0 กิโลกรัม/ลูกบาศก์เมตร ตามลำดับ พบว่าความสามารถในการดูดซับลดลงเรื่อยๆ จาก 79.99 กรัม/ลิตร ไปเป็น 63.94, 57.03, 48.13 และ 44.10 กรัม/ลิตร ตามลำดับ เมื่อใช้อัตราส่วน  $w/v$  เท่ากับ 0.4 กิโลกรัม/ลูกบาศก์เมตร ดินเหนียวไฮโดรทัลไลท์จะแสดงค่าความสามารถในการดูดซับสูงสุด และเนื่องจากค่าความสามารถในการดูดซับคิดได้จาก  $q = (C_0 - C_t) \times (v/w)$  [26] จากสูตรเห็นได้ว่าเมื่อ  $C_0$  คงที่ ถ้าอัตราส่วน  $w/v$  เพิ่มขึ้น  $C_t$  มีค่าลดลงน้อยกว่าจำนวนเท่าของน้ำหนักตัวดูดซับที่มีค่าเพิ่มขึ้น ดังนั้นเมื่อมีการเพิ่มอัตราส่วน  $w/v$  เป็น 0.8, 1.2, 1.6 และ 2.0 กิโลกรัม/ลูกบาศก์เมตร ทำให้ความสามารถในการดูดซับมีค่าลดลงตามลำดับ

เอกสารนี้เป็นเอกสารที่สงวนลิขสิทธิ์เพื่อการเรียนการสอนเท่านั้น ไม่อนุญาตให้เผยแพร่หรือใช้งานทางการค้า

ไม่ว่ากรณีใดๆทั้งสิ้น อีกทั้งห้ามมิให้คัดแปลงเนื้อหา และต้องอ้างอิงถึงเจ้าของเอกสารทุกครั้งที่มีการนำไปใช้

#### 4.2.2 $C_0 = 200 \text{ ppm}$ และ $w/v = 1.2, 2.0, 2.8, 3.6$ และ $4.4 \text{ kg/m}^3$

จากความสามารถในการดูดซับสีย้อมที่ความเข้มข้น 200 กรัม/ลูกบาศก์เมตร โดยใช้ดินเหนียวไฮโดรทอลไลท์ที่อัตราส่วน  $w/v$  เท่ากับ 1.2, 2.0, 2.8, 3.6 และ 4.4 กิโลกรัม/ลูกบาศก์เมตร สามารถนำมาเขียนกราฟแสดงความสัมพันธ์ระหว่างความสามารถในการดูดซับกับเวลา ได้ดังรูปที่ 4.3

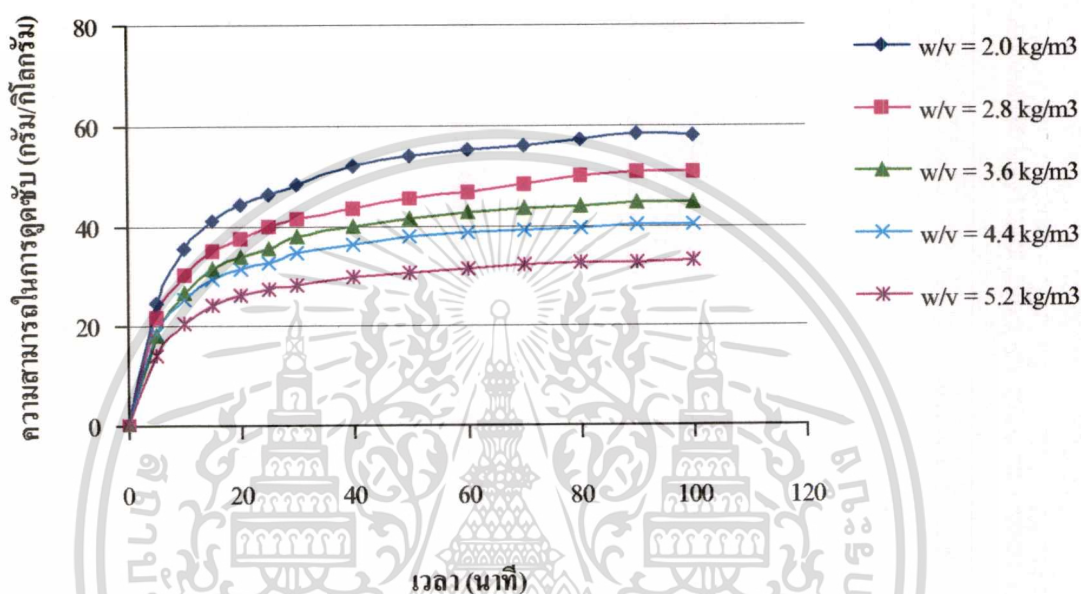


รูปที่ 4.3 ความสามารถในการดูดซับที่เวลาต่างๆ เมื่อใช้อัตราส่วนของน้ำหนักตัวดูดซับต่อปริมาตรสีย้อมสังเคราะห์ ( $w/v$ ) เท่ากับ 1.2, 2.0, 2.8, 3.6 และ 4.4 กิโลกรัม/ลูกบาศก์เมตร และใช้ความเข้มข้นของสีย้อม 200 กรัม/ลูกบาศก์เมตร

จะเห็นได้ว่าความสามารถในการดูดซับในช่วง 30 นาทีแรกจะเกิดขึ้นอย่างรวดเร็ว หลังจากนั้นจะค่อย ๆ เกิดการดูดซับอย่างช้า ๆ จนเข้าสู่สมดุล และเมื่อเพิ่มอัตราส่วน  $w/v$  จาก 1.2 กิโลกรัม/ลูกบาศก์เมตรไปเป็น 2.0, 2.8, 3.6 และ 4.4 กิโลกรัม/ลูกบาศก์เมตร ตามลำดับ พบว่าความสามารถในการดูดซับลดลงเรื่อยๆ จาก 59.05 กรัม/กิโลกรัม ไปเป็น 48.21, 39.28, 32.61 และ 29.09 กรัม/กิโลกรัม ตามลำดับ เมื่อใช้อัตราส่วน  $w/v$  เท่ากับ 1.2 กิโลกรัม/ลูกบาศก์เมตร ดินเหนียวไฮโดรทอลไลท์จะแสดงค่าความสามารถในการดูดซับสูงสุด ดังนั้นเมื่อมีการเพิ่มอัตราส่วน  $w/v$  เป็น 2.0, 2.8, 3.6 และ 4.4 กิโลกรัม/ลูกบาศก์เมตร ทำให้ความสามารถในการดูดซับมีค่าลดลง ตามลำดับ

#### 4.2.3 $C_0 = 300 \text{ ppm}$ และ $w/v = 2.0, 2.8, 3.6, 4.4$ และ $5.2 \text{ kg/m}^3$

จากความสามารถในการดูดซับสีย้อมที่ความเข้มข้น 300 กรัม/ลูกบาศก์เมตร โดยใช้ดินเหนียวไฮโดรทาลไซต์ที่อัตราส่วน  $w/v$  เท่ากับ 2.0, 2.8, 3.6, 4.4 และ 5.2 กิโลกรัม/ลูกบาศก์เมตร สามารถนำมาเขียนกราฟแสดงความสัมพันธ์ระหว่างความสามารถในการดูดซับกับเวลา ได้ดังรูปที่ 4.4

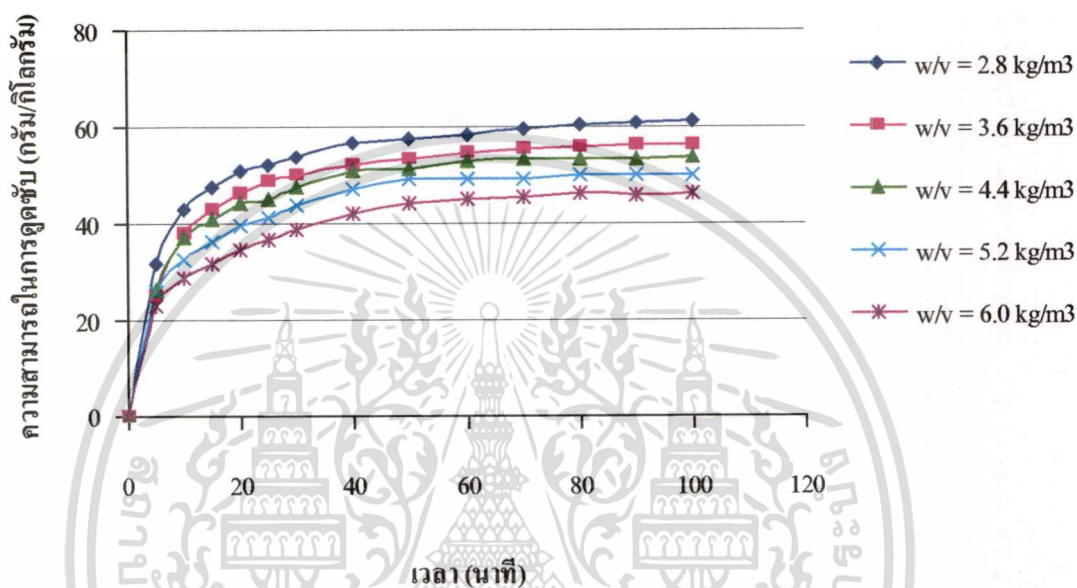


รูปที่ 4.4 ความสามารถในการดูดซับที่เวลาต่างๆ เมื่อใช้อัตราส่วนของน้ำหนักตัวดูดซับต่อปริมาณสีย้อมสังเคราะห์ ( $w/v$ ) เท่ากับ 2.0, 2.8, 3.6, 4.4 และ 5.2 กิโลกรัม/ลูกบาศก์เมตร และใช้ความเข้มข้นของสีย้อม 300 กรัม/ลูกบาศก์เมตร

จะเห็นได้ว่าความสามารถในการดูดซับในช่วง 30 นาทีแรกจะเกิดขึ้นอย่างรวดเร็ว หลังจากนั้นจะค่อย ๆ เกิดการดูดซับอย่างช้า ๆ จนเข้าสู่สมดุล และเมื่อเพิ่มอัตราส่วน  $w/v$  จาก 2.0 กิโลกรัม/ลูกบาศก์เมตรไปเป็น 2.8, 3.6, 4.4 และ 5.2 กิโลกรัม/ลูกบาศก์เมตร ตามลำดับ พบว่าความสามารถในการดูดซับลดลงเรื่อยๆ จาก 57.86 กรัม/กิโลกรัม ไปเป็น 50.66, 44.44, 40.03 และ 33.15 กรัม/กิโลกรัม ตามลำดับ เมื่อใช้อัตราส่วน  $w/v$  เท่ากับ 2.0 กิโลกรัม/ลูกบาศก์เมตร ดินเหนียวไฮโดรทาลไซต์จะแสดงค่าความสามารถในการดูดซับสูงสุด ดังนั้นเมื่อมีการเพิ่มอัตราส่วน  $w/v$  เป็น 2.8, 3.6, 4.4 และ 5.2 กิโลกรัม/ลูกบาศก์เมตร ทำให้ความสามารถในการดูดซับมีค่าลดลงตามลำดับ

#### 4.2.4 $C_0 = 400 \text{ ppm}$ และ $w/v = 2.8, 3.6, 4.4, 5.2$ และ $6.0 \text{ kg/m}^3$

จากความสามารถในการดูดซับสีย้อมที่ความเข้มข้น 400 กรัม/ลูกบาศก์เมตร โดยใช้ดินเหนียวไฮโดรทาลไซต์ที่อัตราส่วน  $w/v$  เท่ากับ 2.8, 3.6, 4.4, 5.2 และ 6.0 กิโลกรัม/ลูกบาศก์เมตร สามารถนำมาเขียนกราฟแสดงความสัมพันธ์ระหว่างความสามารถในการดูดซับกับเวลาได้ดังรูปที่ 4.5

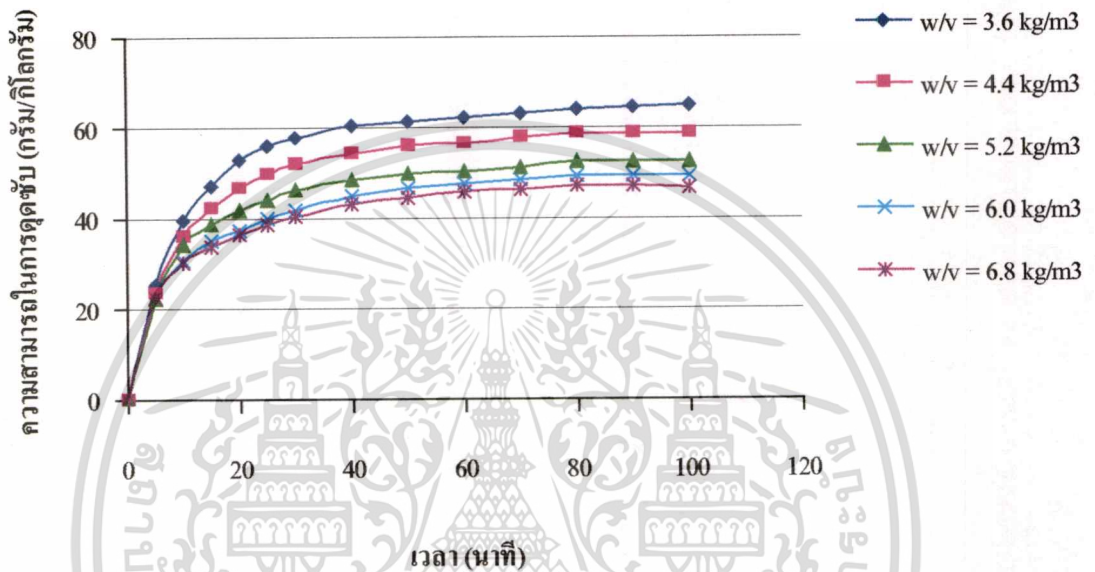


รูปที่ 4.5 ความสามารถในการดูดซับที่เวลาต่างๆ เมื่อใช้อัตราส่วนของน้ำหนักตัวดูดซับต่อ ปริมาณสีย้อมตั้งคราะห์ ( $w/v$ ) เท่ากับ 2.8, 3.6, 4.4, 5.2 และ 6.0 กิโลกรัม/ลูกบาศก์เมตร และใช้ความเข้มข้นของสีย้อม 400 กรัม/ลูกบาศก์เมตร

จะเห็นว่าความสามารถในการดูดซับในช่วง 30 นาทีแรกจะเกิดขึ้นอย่างรวดเร็ว หลังจากนั้นจะค่อย ๆ เกิดการดูดซับอย่างช้า ๆ จนเข้าสู่สมดุล และเมื่อเพิ่มอัตราส่วน  $w/v$  จาก 2.8 กิโลกรัม/ลูกบาศก์เมตรไปเป็น 3.6, 4.4, 5.2 และ 6.0 กิโลกรัม/ลูกบาศก์เมตรตามลำดับ พบว่าความสามารถในการดูดซับลดลงเรื่อยๆ จาก 61.19 กรัม/กิโลกรัม ไปเป็น 56.41, 53.75, 50.21 และ 46.25 กรัม/กิโลกรัม ตามลำดับ เมื่อใช้อัตราส่วน  $w/v$  เท่ากับ 2.8 กิโลกรัม/ลูกบาศก์เมตร ดินเหนียวไฮโดรทาลไซต์จะแสดงค่าความสามารถในการดูดซับสูงสุด ดังนั้นเมื่อมีการเพิ่มอัตราส่วน  $w/v$  เป็น 3.6, 4.4, 5.2 และ 6.0 กิโลกรัม/ลูกบาศก์เมตร ทำให้ความสามารถในการดูดซับมีค่าลดลงตามลำดับ

#### 4.2.5 $C_0 = 500$ ppm และ $w/v = 3.6, 4.4, 5.2, 6.0$ และ $6.8$ $\text{kg/m}^3$

จากความสามารถในการดูดซับสีย้อมที่ความเข้มข้น 500 กรัม/ลูกบาศก์เมตร โดยใช้ดินเหนียวไฮโดรทาลไซต์ที่อัตราส่วน  $w/v$  เท่ากับ 3.6, 4.4, 5.2, 6.0 และ 6.8 กิโลกรัม/ลูกบาศก์เมตร สามารถนำมาเขียนกราฟแสดงความสัมพันธ์ระหว่างความสามารถในการดูดซับกับเวลาได้ดังรูปที่ 4.6

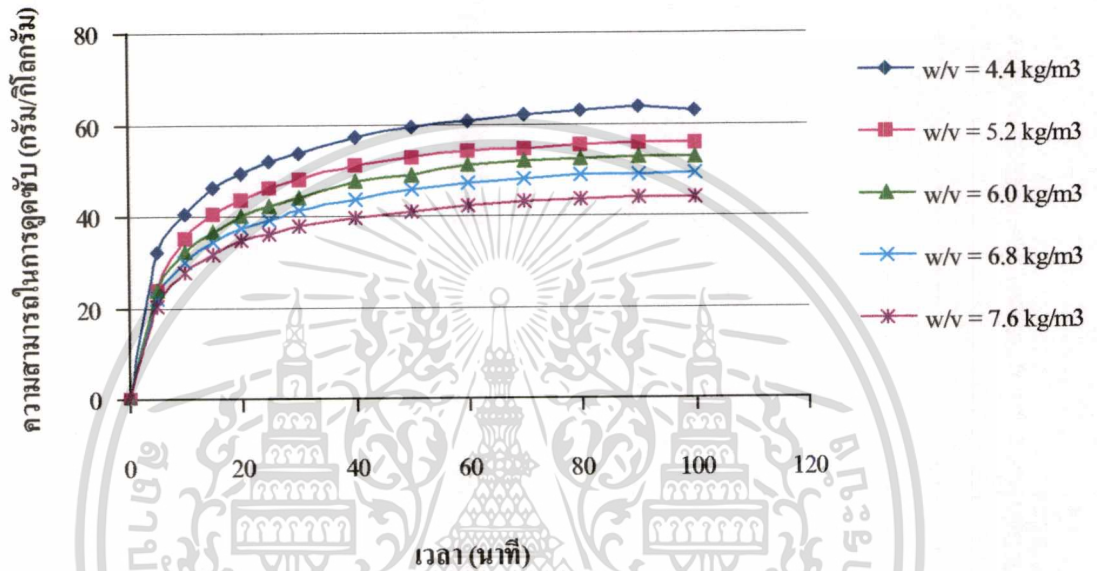


รูปที่ 4.6 ความสามารถในการดูดซับที่เวลาต่างๆ เมื่อใช้อัตราส่วนของน้ำหนักตัวดูดซับต่อ ปริมาณสีย้อมสังเคราะห์ ( $w/v$ ) เท่ากับ 3.6, 4.4, 5.2, 6.0 และ 6.8 กิโลกรัม/ลูกบาศก์เมตร และใช้ความเข้มข้นของสีย้อม 500 กรัม/ลูกบาศก์เมตร

จะเห็นได้ว่าความสามารถในการดูดซับในช่วง 30 นาทีแรกจะเกิดขึ้นอย่างรวดเร็ว หลังจากนั้นจะค่อย ๆ เกิดการดูดซับอย่างช้า ๆ จนเข้าสู่สมดุล และเมื่อเพิ่มอัตราส่วน  $w/v$  จาก 3.6 กิโลกรัม/ลูกบาศก์เมตร ไปเป็น 4.4, 5.2, 6.0 และ 6.8 กิโลกรัม/ลูกบาศก์เมตร ตามลำดับ พบว่า ความสามารถในการดูดซับลดลงเรื่อยๆ จาก 65.01 กรัม/กิโลกรัม ไปเป็น 58.59, 52.57, 49.29 และ 46.83 กรัม/กิโลกรัม ตามลำดับ เมื่อใช้อัตราส่วน  $w/v$  เท่ากับ 3.6 กิโลกรัม/ลูกบาศก์เมตร ดินเหนียวไฮโดรทาลไซต์จะแสดงค่าความสามารถในการดูดซับสูงสุด ดังนั้นเมื่อมีการเพิ่มอัตรา ส่วน  $w/v$  เป็น 4.4, 5.2, 6.0 และ 6.8 กิโลกรัม/ลูกบาศก์เมตร ทำให้ความสามารถในการดูดซับมี ค่าลดลงตามลำดับ

#### 4.2.6 $C_0 = 600$ ppm และ $w/v = 4.4, 5.2, 6.0, 6.8$ และ $7.6$ $\text{kg/m}^3$

จากความสามารถในการดูดซับที่ความเข้มข้น 600 กรัม/ลูกบาศก์เมตร โดยใช้ดินเหนียวไฮโดรทัลไลท์ที่อัตราส่วน  $w/v$  เท่ากับ 4.4, 5.2, 6.0, 6.8 และ 7.6 กิโลกรัม/ลูกบาศก์เมตร สามารถนำมาเขียนกราฟแสดงความสัมพันธ์ระหว่างความสามารถในการดูดซับกับเวลาได้ดังรูปที่ 4.7

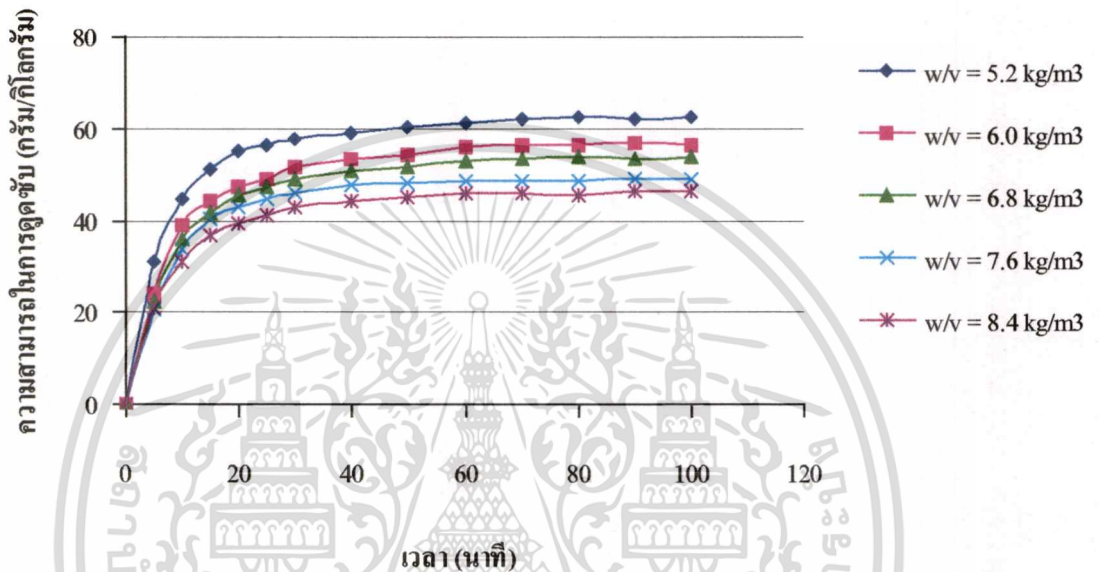


รูปที่ 4.7 ความสามารถในการดูดซับที่เวลาต่างๆ เมื่อใช้อัตราส่วนของน้ำหนักตัวดูดซับต่อ ปริมาตรสีย้อมตั้งคราะห์ ( $w/v$ ) เท่ากับ 4.4, 5.2, 6.0, 6.8 และ 7.6 กิโลกรัม/ลูกบาศก์เมตร และใช้ความเข้มข้นของสีย้อม 600 กรัม/ลูกบาศก์เมตร

จะเห็นว่าความสามารถในการดูดซับในช่วง 30 นาทีแรกจะเกิดขึ้นอย่างรวดเร็ว หลังจากนั้นจะค่อย ๆ เกิดการดูดซับอย่างช้า ๆ จนเข้าสู่สมดุล และเมื่อเพิ่มอัตราส่วน  $w/v$  จาก 4.4 กิโลกรัม/ลูกบาศก์เมตรไปเป็น 5.2, 6.0, 6.8 และ 7.6 กิโลกรัม/ลูกบาศก์เมตร ตามลำดับ พบว่าความสามารถในการดูดซับลดลงเรื่อยๆ จาก 63.00 กรัม/กิโลกรัม ไปเป็น 55.82, 52.81, 49.06 และ 44.15 กรัม/ลูกบาศก์เมตร ตามลำดับ เมื่อใช้อัตราส่วน  $w/v$  เท่ากับ 4.4 กิโลกรัม/ลูกบาศก์เมตร ดินเหนียวไฮโดรทัลไลท์จะแสดงค่าความสามารถในการดูดซับสูงสุด ดังนั้นเมื่อมีการเพิ่มอัตราส่วน  $w/v$  เป็น 5.2, 6.0, 6.8 และ 7.6 กิโลกรัม/ลูกบาศก์เมตร ทำให้ความสามารถในการดูดซับมีค่าลดลงตามลำดับ

#### 4.2.7 $C_0 = 700 \text{ ppm}$ และ $w/v = 5.2, 6.0, 6.8, 7.6$ และ $8.4 \text{ kg/m}^3$

จากความสามารถในการดูดซับสีย้อมที่ความเข้มข้น 700 กรัม/ลูกบาศก์เมตร โดยใช้ดินเหนียวไฮโดรทอลไลท์ที่อัตราส่วน  $w/v$  เท่ากับ 5.2, 6.0, 6.8, 7.6 และ 8.4 กิโลกรัม/ลูกบาศก์เมตร สามารถนำมาเขียนกราฟแสดงความสัมพันธ์ระหว่างความสามารถในการดูดซับกับเวลาได้ดังรูปที่ 4.8

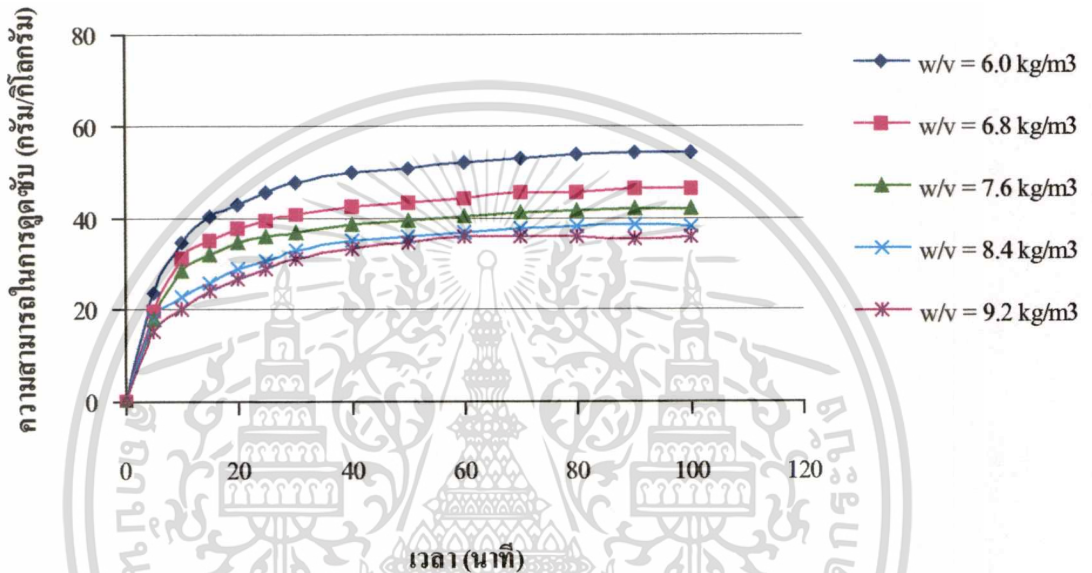


รูปที่ 4.8 ความสามารถในการดูดซับที่เวลาต่างๆ เมื่อใช้อัตราส่วนของน้ำหนักตัวดูดซับต่อปริมาตรสีย้อมสังเคราะห์ ( $w/v$ ) เท่ากับ 5.2, 6.0, 6.8, 7.6 และ 8.4 กิโลกรัม/ลูกบาศก์เมตร และใช้ความเข้มข้นสีย้อม 700 กรัม/ลูกบาศก์เมตร

จะเห็นได้ว่าความสามารถในการดูดซับในช่วง 30 นาทีแรกจะเกิดขึ้นอย่างรวดเร็ว หลังจากนั้นจะค่อย ๆ เกิดการดูดซับอย่างช้า ๆ จนเข้าสู่สมดุล และเมื่อเพิ่มอัตราส่วน  $w/v$  จาก 5.2 กิโลกรัม/ลูกบาศก์เมตรไปเป็น 6.0, 6.8, 7.6 และ 8.4 กิโลกรัม/ลูกบาศก์เมตร ตามลำดับ พบว่าความสามารถในการดูดซับลดลงเรื่อยๆ จาก 62.32 กรัม/กิโลกรัม ไปเป็น 56.46, 53.65, 48.93 และ 46.45 กรัม/กิโลกรัม ตามลำดับ เมื่อใช้อัตราส่วน  $w/v$  เท่ากับ 5.2 กิโลกรัม/ลูกบาศก์เมตร ดินเหนียวไฮโดรทอลไลท์จะแสดงค่าความสามารถในการดูดซับสูงสุด ดังนั้นเมื่อมีการเพิ่มอัตราส่วน  $w/v$  เป็น 6.0, 6.8, 7.6 และ 8.4 กิโลกรัม/ลูกบาศก์เมตร ทำให้ความสามารถในการดูดซับมีค่าลดลงตามลำดับ

#### 4.2.8 $C_0 = 800 \text{ ppm}$ และ $w/v = 6.0, 6.8, 7.6, 8.4$ และ $9.2 \text{ kg/m}^3$

จากความสามารถในการดูดซับสีย้อมที่ความเข้มข้น 800 กรัม/ลูกบาศก์เมตร โดยใช้ดินเหนียวไฮโดรทัลไลท์ที่อัตราส่วน  $w/v$  เท่ากับ 6.0, 6.8, 7.6, 8.4 และ 9.2 กิโลกรัม/ลูกบาศก์เมตร สามารถนำมาเขียนกราฟแสดงความสัมพันธ์ระหว่างความสามารถในการดูดซับกับเวลาได้ดังรูปที่ 4.9

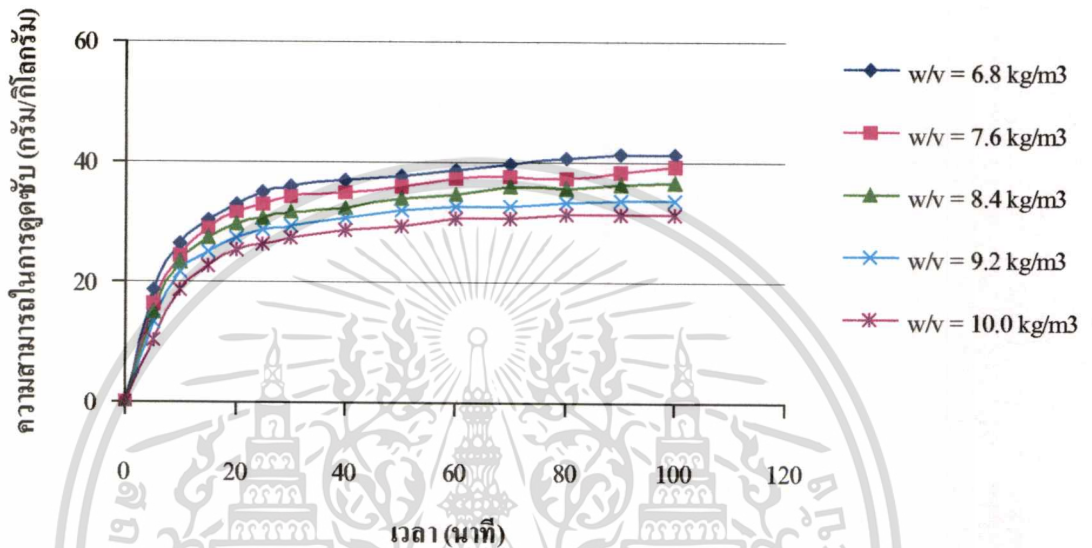


รูปที่ 4.9 ความสามารถในการดูดซับที่เวลาต่างๆ เมื่อใช้อัตราส่วนของน้ำหนักตัวดูดซับต่อปริมาณสีย้อมตั้งคราะห์ ( $w/v$ ) เท่ากับ 6.0, 6.8, 7.6, 8.4 และ 9.2 กิโลกรัม/ลูกบาศก์เมตร และใช้ความเข้มข้นของสีย้อม 800 กรัม/ลูกบาศก์เมตร

จะเห็นได้ว่าความสามารถในการดูดซับในช่วง 30 นาทีแรกจะเกิดขึ้นอย่างรวดเร็ว หลังจากนั้นจะค่อย ๆ เกิดการดูดซับอย่างช้า ๆ จนเข้าสู่สมดุล และเมื่อเพิ่มอัตราส่วน  $w/v$  จาก 6.0 กิโลกรัม/ลูกบาศก์เมตร ไปเป็น 6.8, 7.6, 8.4 และ 9.2 กิโลกรัม/ลูกบาศก์เมตร ตามลำดับ พบว่าความสามารถในการดูดซับลดลงเรื่อยๆ จาก 54.11 กรัม/กิโลกรัม ไปเป็น 46.22, 42.04, 38.19 และ 35.86 กรัม/กิโลกรัม ตามลำดับ เมื่อใช้อัตราส่วน  $w/v$  เท่ากับ 6.0 กิโลกรัม/ลูกบาศก์เมตร ดินเหนียวไฮโดรทัลไลท์แสดงค่าความสามารถในการดูดซับสูงสุด ดังนั้นเมื่อมีการเพิ่มอัตราส่วน  $w/v$  เป็น 6.8, 7.6, 8.4 และ 9.2 กิโลกรัม/ลูกบาศก์เมตร ทำให้ความสามารถในการดูดซับมีค่าลดลงตามลำดับ

#### 4.2.9 $C_0 = 900$ ppm และ $w/v = 6.8, 7.6, 8.4, 9.2$ และ $10.0$ $\text{kg/m}^3$

จากความสามารถในการดูดซับสีย้อมที่ความเข้มข้น 900 กรัม/ลูกบาศก์เมตร โดยใช้ดินเหนียวไฮโดรทัลไซท์ที่อัตราส่วน  $w/v$  เท่ากับ 6.8, 7.6, 8.4, 9.2 และ 10.0 กิโลกรัม/ลูกบาศก์เมตร สามารถนำมาเขียนกราฟแสดงความสัมพันธ์ระหว่างความสามารถในการดูดซับกับเวลาได้ดังรูปที่ 4.10

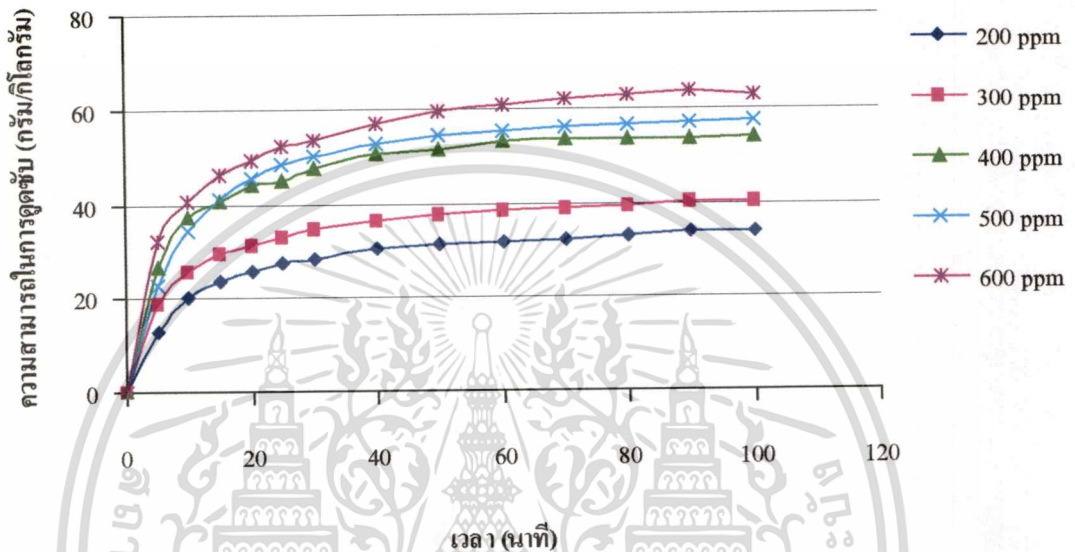


รูปที่ 4.10 ความสามารถในการดูดซับที่เวลาต่างๆ เมื่อใช้อัตราส่วนของน้ำหนักตัวดูดซับต่อปริมาตรสีย้อมสังเคราะห์ ( $w/v$ ) เท่ากับ 6.8, 7.6, 8.4, 9.2 และ 10.0 กิโลกรัม/ลูกบาศก์เมตรและใช้ความเข้มข้นสีย้อม 900 กรัม/ลูกบาศก์เมตร

จะเห็นได้ว่าความสามารถในการดูดซับในช่วง 30 นาทีแรกจะเกิดขึ้นอย่างรวดเร็ว หลังจากนั้นจะค่อย ๆ เกิดการดูดซับอย่างช้า ๆ จนเข้าสู่สมดุล และเมื่อเพิ่มอัตราส่วน  $w/v$  จาก 6.8 กิโลกรัม/ลูกบาศก์เมตรไปเป็น 7.6, 8.4, 9.2 และ 10.0 กิโลกรัม/ลูกบาศก์เมตร ตามลำดับ พบว่าความสามารถในการดูดซับลดลงเรื่อยๆ จาก 41.25 กรัม/กิโลกรัม ไปเป็น 39.30, 36.64, 33.72 และ 31.43 กรัม/กิโลกรัม ตามลำดับ เมื่อใช้อัตราส่วน  $w/v$  เท่ากับ 1.2 กิโลกรัม/ลูกบาศก์เมตร ดินเหนียวไฮโดรทัลไซท์จะแสดงค่าความสามารถในการดูดซับสูงสุด ดังนั้นเมื่อมีการเพิ่มอัตราส่วน  $w/v$  เป็น 2.0, 2.8, 3.6 และ 4.4 กิโลกรัม/ลูกบาศก์เมตร ทำให้ความสามารถในการดูดซับมีค่าลดลงตามลำดับ

#### 4.2.10 $C_0 = 200, 300, 400, 500, 600$ ppm และ $w/v = 4.4$ kg/m<sup>3</sup>

จากความสามารถในการดูดซับสี่เหลี่ยมที่ความเข้มข้น 200, 300, 400, 500 และ 600 กรัม/ลูกบาศก์เมตร โดยใช้ดินเหนียวไฮโดรทัลไซท์ที่อัตราส่วน  $w/v$  เท่ากับ 4.4 กิโลกรัม/ลูกบาศก์เมตร สามารถนำมาเขียนกราฟแสดงความสัมพันธ์ระหว่างความสามารถในการดูดซับกับเวลาได้ดังรูปที่ 4.11



รูปที่ 4.11 ความสามารถในการดูดซับที่เวลาต่างๆ เมื่อใช้ความเข้มข้นเริ่มต้นของสี่เหลี่ยมเป็น 200, 300, 400, 500 และ 600 กรัม/ลูกบาศก์เมตรและใช้อัตราส่วนของน้ำหนักตัวดูดซับต่อปริมาตรสี่เหลี่ยมสังเคราะห์ ( $w/v$ ) เท่ากับ 4.4 กิโลกรัม/ลูกบาศก์เมตร

เมื่อเพิ่มความเข้มข้นเริ่มต้นของสี่เหลี่ยมจาก 200 กรัม/ลูกบาศก์เมตรไปเป็น 300, 400, 500 และ 600 กรัม/ลูกบาศก์เมตร ตามลำดับ พบว่าความสามารถในการดูดซับเพิ่มขึ้นเรื่อยๆ จาก 29.09 กรัม/ลิตร ไปเป็น 40.03, 53.75, 58.59 และ 63.00 กรัม/ลิตร ตามลำดับ เมื่อใช้ความเข้มข้นเริ่มต้นของสี่เหลี่ยม 200 กรัม/ลูกบาศก์เมตร ดินเหนียวไฮโดรทัลไซท์จะแสดงค่าความสามารถในการดูดซับต่ำที่สุด ที่เป็นเช่นนี้สามารถอธิบายได้จากเหตุผล 2 ประการ คือ

1. เนื่องจากความสามารถในการดูดซับคิดจาก  $q = (C_0 - C) \times (v/w)$  จากสูตรเห็นได้ว่าเมื่ออัตราส่วน  $w/v$  คงที่ เมื่อความเข้มข้นเริ่มต้น ( $C_0$ ) เพิ่มขึ้น ทำให้ความสามารถในการดูดซับ ( $q$ ) มีค่าเพิ่มขึ้น

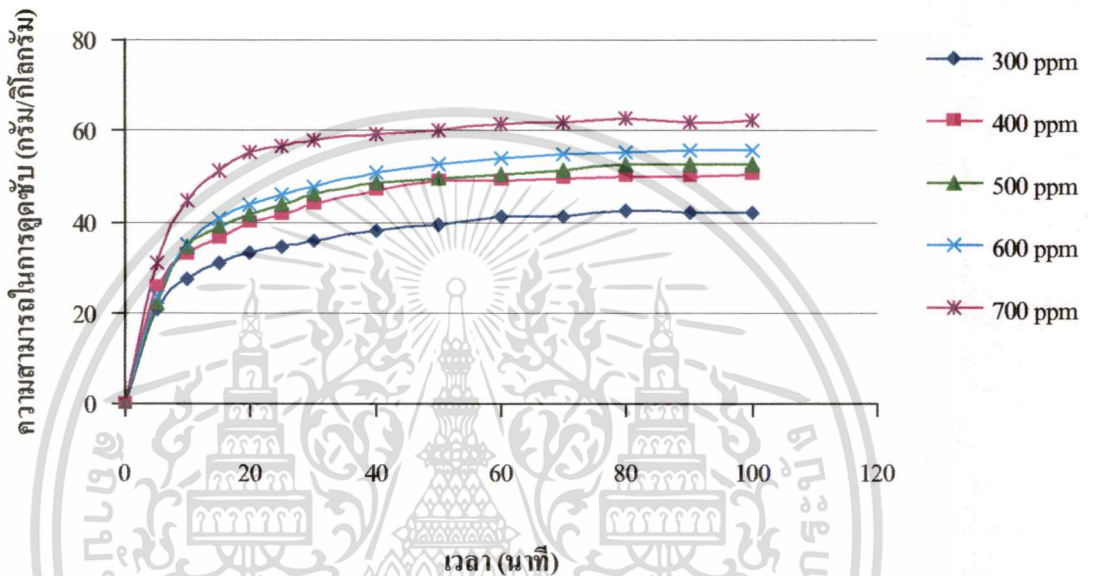
2. เมื่อพิจารณาที่ตัวดูดซับเห็นว่าได้ว่าจะมีตำแหน่งที่เกิดการดูดซับเหลือพอที่จะสามารถดูดซับสี่เหลี่ยมได้เรื่อยๆ ดังนั้นเมื่อมีการเพิ่มความเข้มข้นของสี่เหลี่ยมเป็น 300, 400, 500 และ 600 กรัม/ลูกบาศก์เมตร ทำให้ความสามารถในการดูดซับมีค่าเพิ่มขึ้นตามลำดับ

เอกสารนี้เป็นเอกสารที่สงวนไว้สำหรับการใช้งานเพื่อการศึกษาเท่านั้น ไม่อนุญาตให้นำไปใช้ประโยชน์ด้านการค้า

ไม่ว่ากรณีใดๆทั้งสิ้น อีกทั้งห้ามมิให้ตัดแปลงเนื้อหา และต้องอ้างอิงถึงเจ้าของเอกสารทุกครั้งที่มีการนำไปใช้

#### 4.2.11 $C_0 = 300, 400, 500, 600, 700$ ppm และ $w/v = 5.2$ $\text{kg/m}^3$

จากความสามารถในการดูดซับสีของซีเมนต์ที่ความเข้มข้น 300, 400, 500, 600 และ 700 กรัม/ลูกบาศก์เมตร โดยใช้ดินเหนียวไฮโดรทาลไซต์ที่อัตราส่วน  $w/v$  เท่ากับ 5.2 กิโลกรัม/ลูกบาศก์เมตร สามารถนำมาเขียนกราฟแสดงความสัมพันธ์ระหว่างความสามารถในการดูดซับกับเวลาได้ดังรูปที่ 4.12

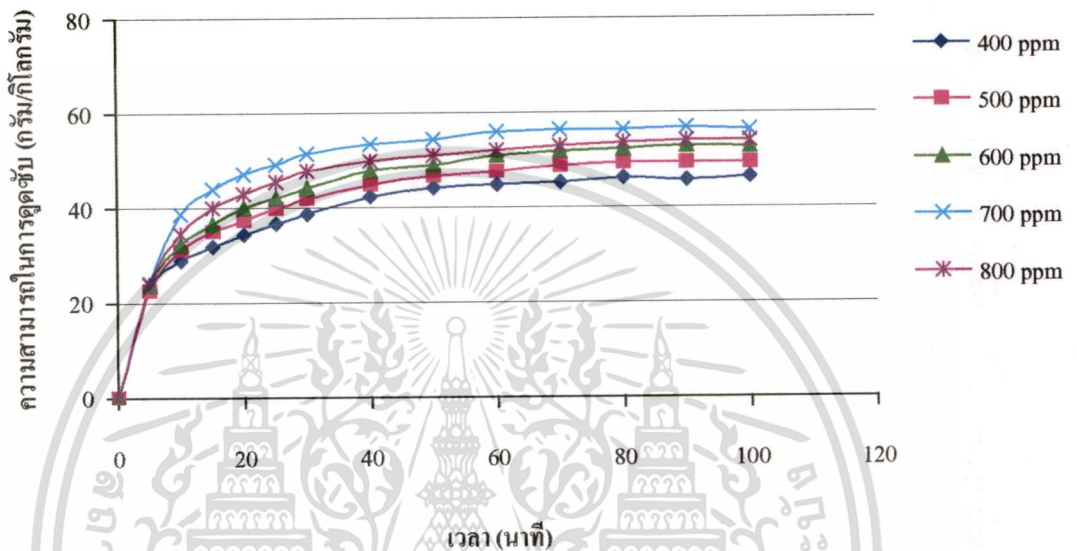


รูปที่ 4.12 ความสามารถในการดูดซับที่เวลาต่างๆ เมื่อใช้ความเข้มข้นเริ่มต้นของสีข้อมเป็น 300, 400, 500, 600 และ 700 กรัม/ลูกบาศก์เมตรและใช้อัตราส่วนของน้ำหนักตัวดูดซับต่อปริมาตรสีข้อมสังเคราะห์ ( $w/v$ ) เท่ากับ 5.2 กิโลกรัม/ลูกบาศก์เมตร

เมื่อเพิ่มความเข้มข้นเริ่มต้นของสีข้อมจาก 300 กรัม/ลูกบาศก์เมตรไปเป็น 400, 500, 600 และ 700 กรัม/ลูกบาศก์เมตร ตามลำดับ พบว่าความสามารถในการดูดซับเพิ่มขึ้นเรื่อยๆ จาก 42.14 กรัม/กิโลกรัม ไปเป็น 50.21, 52.57, 55.82 และ 62.32 กรัม/กิโลกรัม ตามลำดับ เมื่อใช้ความเข้มข้นเริ่มต้นของสีข้อม 300 กรัม/ลูกบาศก์เมตร ดินเหนียวไฮโดรทาลไซต์จะแสดงค่าความสามารถในการดูดซับต่ำที่สุด ดังนั้นเมื่อมีการเพิ่มความเข้มข้นของสีข้อมเป็น 400, 500, 600 และ 700 กรัม/ลูกบาศก์เมตร ทำให้ความสามารถในการดูดซับมีค่าเพิ่มขึ้นตามลำดับ

#### 4.2.12 $C_0 = 400, 500, 600, 700, 800$ ppm และ $w/v = 6.0$ kg/m<sup>3</sup>

จากความสามารถในการดูดซับที่ความเข้มข้น 400, 500, 600, 700 และ 800 กรัม/ลูกบาศก์เมตร โดยใช้ดินเหนียวไฮโดรทัลไซท์ที่อัตราส่วน  $w/v$  เท่ากับ 5.2 กิโลกรัม/ลูกบาศก์เมตร สามารถนำมาเขียนกราฟแสดงความสัมพันธ์ระหว่างความสามารถในการดูดซับกับเวลาได้ดังรูปที่ 4.13

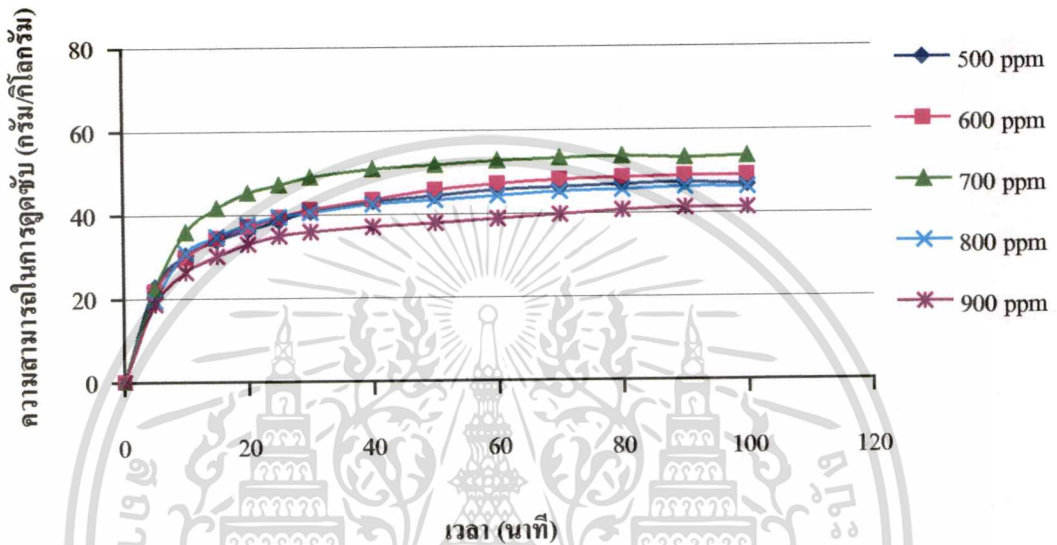


รูปที่ 4.13 ความสามารถในการดูดซับที่เวลาต่างๆ เมื่อใช้ความเข้มข้นเริ่มต้นของสีย้อมเป็น 400, 500, 600, 700 และ 800 กรัม/ลูกบาศก์เมตรและใช้อัตราส่วนของน้ำหนักตัวดูดซับต่อปริมาตรสีย้อมสังเคราะห์ ( $w/v$ ) เท่ากับ 6.0 กิโลกรัม/ลูกบาศก์เมตร

เมื่อเพิ่มความเข้มข้นเริ่มต้นของสีย้อมจาก 400 กรัม/ลูกบาศก์เมตรไปเป็น 500, 600 และ 700 กรัม/ลูกบาศก์เมตร ตามลำดับ พบว่าความสามารถในการดูดซับเพิ่มขึ้นเรื่อยๆ จาก 46.25 กรัม/กิโลกรัม ไปเป็น 49.29, 52.81 และ 56.46 กรัม/ลูกบาศก์เมตร ตามลำดับ แต่เมื่อใช้ความเข้มข้นของสารละลายสีย้อมเป็น 800 กรัม/ลูกบาศก์เมตร พบว่ามีค่าความสามารถในการดูดซับลดลง เนื่องจากสีย้อมที่มีความเข้มข้นสูงๆ [36] มีผลทำให้การเคลื่อนที่ของโมเลกุลสีย้อมจากสารละลายเข้าไปที่รูพรุนของดินเหนียวไฮโดรทัลไซท์เป็นไปได้ยาก เพราะโมเลกุลของสีย้อมมีขนาดใหญ่และมีจำนวนมากจึงทำให้เกิดการเบียดเสียดของโมเลกุลสีย้อมที่จะเข้าไปในรูพรุนมีผลทำให้โมเลกุลสีย้อมเข้าไปในรูพรุนได้น้อยลง การดูดซับจึงมีค่าลดลง

#### 4.2.13 $C_0 = 500, 600, 700, 800$ และ $900$ ppm และ $w/v = 6.8$ $\text{kg/m}^3$

จากความสามารถในการดูดซับสีย้อมที่ความเข้มข้น 500, 600, 700, 800 และ 900 กรัม/ลูกบาศก์เมตร โดยใช้ดินเหนียวไฮโดรทอลไลท์ที่อัตราส่วน  $w/v$  เท่ากับ 6.8 กิโลกรัม/ลูกบาศก์เมตร สามารถนำมาเขียนกราฟแสดงความสัมพันธ์ระหว่างความสามารถในการดูดซับกับเวลาได้ดังรูปที่ 4.14

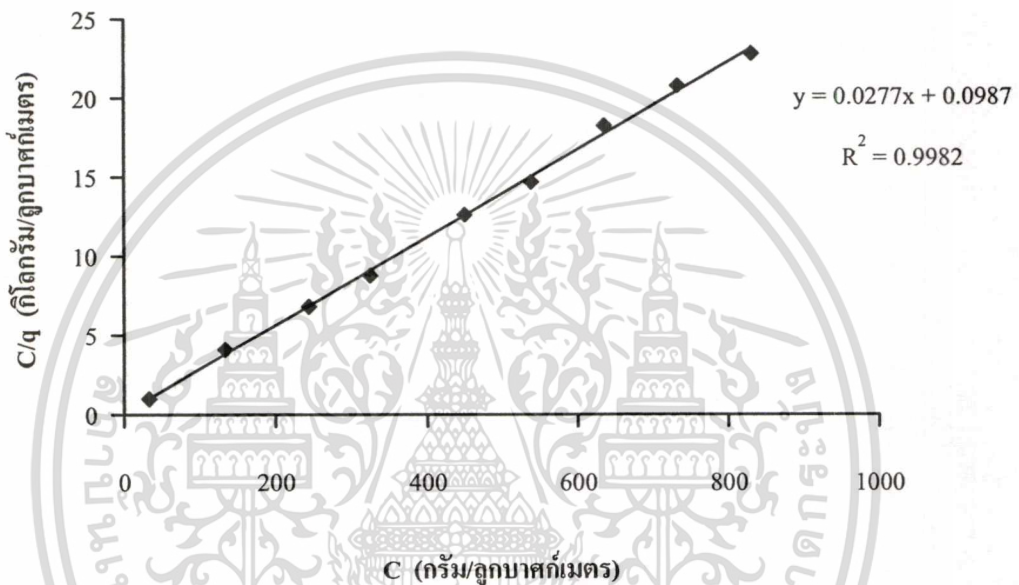


รูปที่ 4.14 ความสามารถในการดูดซับที่เวลาต่างๆ เมื่อใช้ความเข้มข้นเริ่มต้นของสีย้อมเป็น 500, 600, 700, 800 และ 900 กรัม/ลูกบาศก์เมตรและใช้อัตราส่วนของน้ำหนักตัวดูดซับต่อปริมาตรสีย้อมตั้งคราะห์ ( $w/v$ ) เท่ากับ 6.8 กิโลกรัม/ลูกบาศก์เมตร

เมื่อเพิ่มความเข้มข้นเริ่มต้นของสีย้อมจาก 500 กรัม/ลูกบาศก์เมตรไปเป็น 600 และ 700 กรัม/ลูกบาศก์เมตร ตามลำดับ พบว่าความสามารถในการดูดซับเพิ่มขึ้นเรื่อยๆ จาก 46.83 กรัม/ลิตร ไปเป็น 49.06 และ 53.65 กรัม/ลูกบาศก์เมตร ตามลำดับ แต่เมื่อใช้ความเข้มข้นของสารละลายสีย้อมเป็น 800 และ 900 กรัม/ลูกบาศก์เมตร พบว่ามีค่าความสามารถในการดูดซับลดลงตามลำดับ เนื่องจากสีย้อมที่มีความเข้มข้นสูงๆ มีผลทำให้เกิดการเบียดเสียดของโมเลกุลสีย้อมที่จะเข้าไปในรูพรุน ดังนั้นเมื่อความเข้มข้นสีย้อมมีค่าสูงขึ้นจึงทำให้ความสามารถในการดูดซับมีค่าลดลง

### 4.3 ไอโซเทอมของการดูดซับสีย้อมด้วยดินเหนียวไฮโดรทัลไซท์สังเคราะห์

จากข้อมูลของไอโซเทอมในการดูดซับสามารถนำไปแทนค่าในสมการการดูดซับของแลงเมียร์ (Langmuir adsorption) และสมการการดูดซับของฟลอยลิช (Freundlich adsorption) โดยสมการการดูดซับของแลงเมียร์จะแสดงกราฟความสัมพันธ์ระหว่างความเข้มข้นของสารละลายสีย้อมที่เหลือต่อความสามารถในการดูดซับที่สภาวะสมดุล ( $C/q$ ) กับความเข้มข้นของสารละลายสีย้อมที่เหลือ ( $C$ ) กราฟที่ได้แสดงดังรูปที่ 4.15



รูปที่ 4.15 สมการการดูดซับของแลงเมียร์เมื่อใช้ความเข้มข้นสีย้อมเริ่มต้น 100-900 กรัม/ลูกบาศก์เมตร

สมการการดูดซับของแลงเมียร์คือ

$$C/q = (1/K_A q_m) + C/q_m$$

จากความชัน (slope) = 0.0277 และ จุดตัดแกน y = 0.0987 ทำให้สามารถหาค่าความสามารถในการดูดซับที่สภาวะสมดุล ( $q_m$ ) และ ค่าคงที่สมการแลงเมียร์ ( $K_A$ ) ได้ดังนี้

$$\text{ความชัน} = 1/q_m$$

$$0.0277 = 1/q_m$$

$$q_m = 36.10 \text{ g/kg}$$

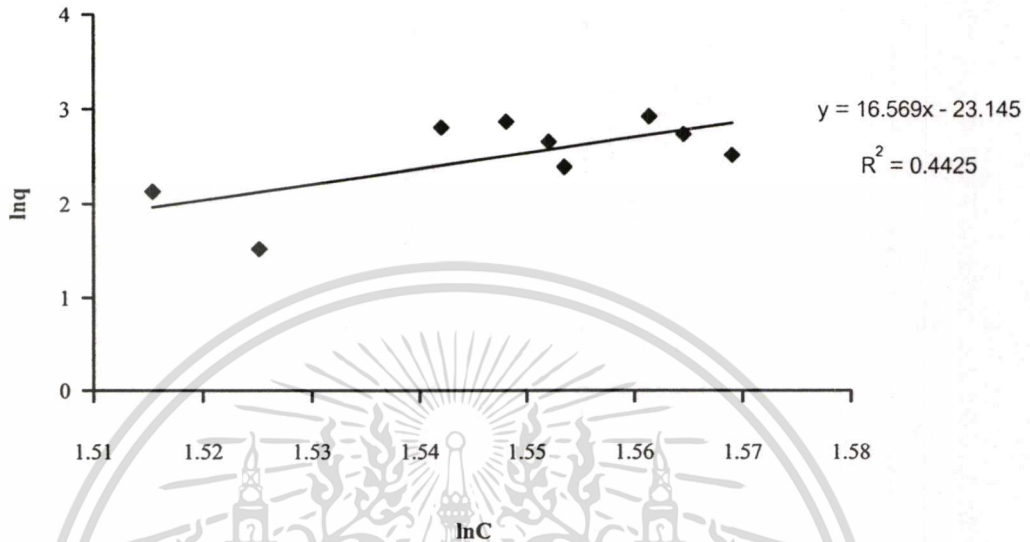
$$\text{จุดตัดแกน y} = 1/K_A q_m$$

$$0.0987 = 1/K_A (36.10 \text{ g/kg})$$

$$K_A = 0.28 \text{ m}^3/\text{g}$$

เอกสารนี้เป็นเอกสารที่สงวนไว้สำหรับการใช้งานเพื่อการศึกษาเท่านั้น ไม่อนุญาตให้นำไปใช้ประโยชน์ด้านการค้า ไม่ว่าจะกรณีใดๆทั้งสิ้น อีกทั้งห้ามมิให้ตัดแปลงเนื้อหา และต้องอ้างอิงถึงเจ้าของเอกสารทุกครั้งที่มีการนำไปใช้

ส่วนสมการการดูดซับของฟลอยด์จะแสดงกราฟความสัมพันธ์ระหว่างลอการิทึมธรรมชาติของความสามารถในการดูดซับที่สถานะสมดุล ( $\ln q$ ) กับลอการิทึมธรรมชาติของความเข้มข้นของสารละลายที่ย้อมที่เหลือ ( $\ln C$ ) กราฟที่ได้แสดงดังรูปที่ 4.16



รูปที่ 4.16 สมการการดูดซับของฟลอยด์เมื่อใช้ความเข้มข้นสีย้อมเริ่มต้น 100-900 กรัม/ลูกบาศก์เมตร

สมการการดูดซับของฟลอยด์คือ

$$\ln q = \ln K_F + 1/n \ln C$$

จากความชัน (slope) = 16.569 และ จุดตัดแกน  $y = -23.145$  ทำให้สามารถหาค่าคงที่  $n$  และ  $K_F$  ได้ดังนี้

$$\begin{aligned} \text{ความชัน} &= 1/n \\ 16.569 &= 1/n \\ n &= 0.06 \end{aligned}$$

$$\begin{aligned} \text{จุดตัดแกน } y &= \ln K_F \\ 0.0987 &= \ln K_F \\ K_F &= 0.28 \text{ m}^3/\text{g} \end{aligned}$$

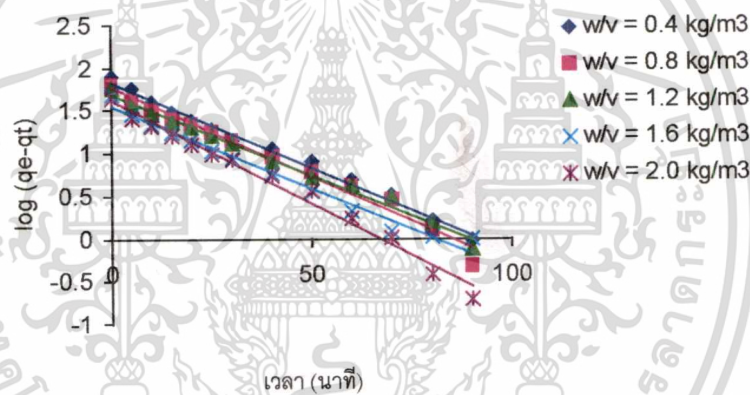
เมื่อพิจารณาค่าสัมประสิทธิ์ความสัมพันธ์ ( $R^2$ ) ของสมการแบบจำลองการดูดซับของ แลงเมียร์และสมการแบบจำลองการดูดซับของฟลอยลิช พบว่าจากสมการแบบจำลองการดูดซับ ของแลงเมียร์มีค่าสัมประสิทธิ์ความสัมพันธ์ ( $R^2$ ) เข้าใกล้ 1 มากกว่าสมการแบบจำลองการดูดซับ ของฟลอยลิช ดังนั้นแสดงว่าการดูดซับของสารละลายสี้อมด้วยดินเหนียวไฮโดรทัลไลท์เป็นไป ตามไอโซเทอมของแลงเมียร์คือการดูดซับสี้อมด้วยดินเหนียวไฮโดรทัลไลท์มีตำแหน่งการดูดซับ ปกคลุมเป็นแบบชั้นเดียว (monolayer coverage) และเมื่อเกิดการดูดซับแล้วโมเลกุลของสี้อมจะ ไม่เกิดการซ้อนทับซึ่งกันและกัน ในงานวิจัยของ Jason Orthman [ 34 ] ได้ศึกษาการดูดซับ สี้อมรีแอคทีฟด้วยดินเหนียวไฮโดรทัลไลท์ได้ค่าความสามารถในการดูดซับที่สภาวะสมดุล ( $q_m$ ) มีค่าเท่ากับ 32.15 g/kg ซึ่งใกล้เคียงกับการทดลองและค่าคงที่สมการแลงเมียร์ ( $K_L$ ) แสดงถึงพลัง งานในการดูดซับระหว่างโมเลกุลของสี้อมและดินเหนียวไฮโดรทัลไลท์ จากการทดลองมีค่าเท่า กับ 0.28 m<sup>3</sup>/g ซึ่งมีค่าไม่สูงนักเมื่อเทียบกับงานวิจัยของ Ming-Shen Chiou และคณะ [ 37 ] ได้ศึกษาการดูดซับสี้อมรีแอคทีฟด้วยโคลโตซานที่มีการยึดเกาะ (cross-linked) พบว่าการดูดซับ เป็นแบบเคมี และค่าคงที่สมการแลงเมียร์มีค่าเท่ากับ 1.59 m<sup>3</sup>/g แสดงว่าการดูดซับสี้อมด้วย ดินเหนียวไฮโดรทัลไลท์ยึดเกาะกันด้วยแรงอ่อนๆ เมื่อพิจารณาสมการแบบจำลองการดูดซับของ ฟลอยลิชจะเห็นได้ว่าค่าสัมประสิทธิ์ความสัมพันธ์ ( $R^2$ ) มีค่าน้อยมาก น่าจะมีผลมาจากใน การทดลองมีการใช้ความเข้มข้นของสี้อมสูงมากซึ่งสมการแบบจำลองการดูดซับของฟลอยลิช เหมาะที่จะใช้กับสารละลายที่มีความเข้มข้นไม่สูงนักและเมื่อพิจารณาขนาดของโมเลกุลสี้อม พบว่าโมเลกุลมีขนาดใหญ่กว่าขนาดของรูพรุนที่อยู่ในช่วง mesopore ทำให้โมเลกุลสี้อมเมื่อเกิด การดูดซับจะไปปิดรูพรุนจึงไม่เป็นไปตามแบบจำลองการดูดซับของฟลอยลิชคือที่ความเข้มข้นต่ำ ความสามารถในการดูดซับก็จะต่ำและจะเพิ่มขึ้นเมื่อความเข้มข้นสูงขึ้น

### 4.3 แบบจำลองในการดูดซับสีย้อมด้วยดินเหนียวไฮโดรทัลไซท์สังเคราะห์

จากการดูดซับสารละลายสีย้อมด้วยดินเหนียวไฮโดรทัลไซท์ที่ค่าความเข้มข้นและอัตราส่วน  $w/v$  ที่แตกต่างกัน ใช้แบบจำลองในการพิจารณา 2 แบบ คือ แบบจำลองการดูดซับอันดับหนึ่ง (Pseudo - First Order Model) และแบบจำลองการดูดซับอันดับสอง (Pseudo- Second Order Model) ได้ดังนี้

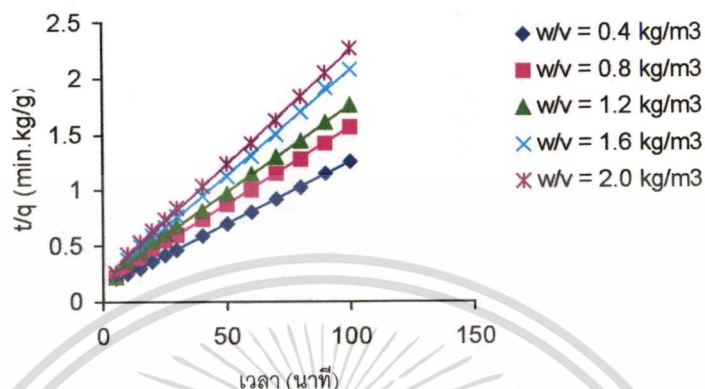
#### 4.4.1 $C_0 = 100 \text{ ppm}$ และ $w/v = 0.4, 0.8, 1.2, 1.6$ และ $2.0 \text{ kg/m}^3$

จากความสามารถในการดูดซับสีย้อมด้วยดินเหนียวไฮโดรทัลไซท์ที่เวลาต่างๆ ( $q_t$ ) และความสามารถในการดูดซับที่อิ่มตัว ( $q_c$ ) ซึ่งหาได้จากการดูดซับที่เวลาที่ให้ค่าการดูดซับสูงที่สุดกับเวลาแทนค่าในแบบจำลองการดูดซับอันดับหนึ่ง จะได้กราฟความสัมพันธ์ระหว่างลอการิทึมของความสามารถในการดูดซับที่อิ่มตัวลบความสามารถในการดูดซับที่เวลาต่างๆ  $\{ \log(q_c - q_t) \}$  กับเวลา ( $t$ ) แสดงได้ดังรูปที่ 4.17



รูปที่ 4.17 แบบจำลองการดูดซับอันดับหนึ่ง เมื่อใช้ความเข้มข้นของสีย้อมเป็น 100 กรัม/ลูกบาศก์เมตรและใช้อัตราส่วนของน้ำหนักตัวดูดซับต่อปริมาตรสีย้อมสังเคราะห์ ( $w/v$ ) เท่ากับ 0.4-2.0 กิโลกรัม/ลูกบาศก์เมตร

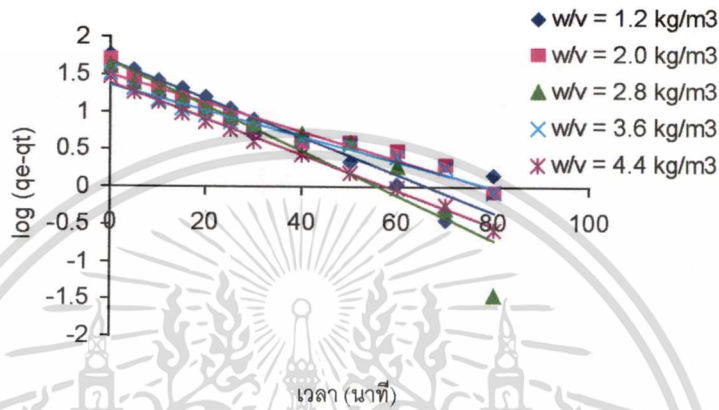
และเมื่อนำค่าความสามารถในการดูดซับและเวลามาแทนค่าในแบบจำลองการดูดซับอันดับสอง จะได้กราฟความสัมพันธ์ระหว่างเวลาต่อความสามารถในการดูดซับที่เวลาต่างๆ ( $t/q$ ) กับเวลา ( $t$ ) แสดงได้ดังรูปที่ 4.18



รูปที่ 4.18 แบบจำลองการดูดซับอันดับสอง เมื่อใช้ความเข้มข้นของสีย้อมเป็น 100 กรัม/ลูกบาศก์เมตรและใช้อัตราส่วนของน้ำหนักตัวดูดซับต่อปริมาตรสีย้อมสังเคราะห์ ( $w/v$ ) เท่ากับ 0.4-2.0 กิโลกรัม/ลูกบาศก์เมตร

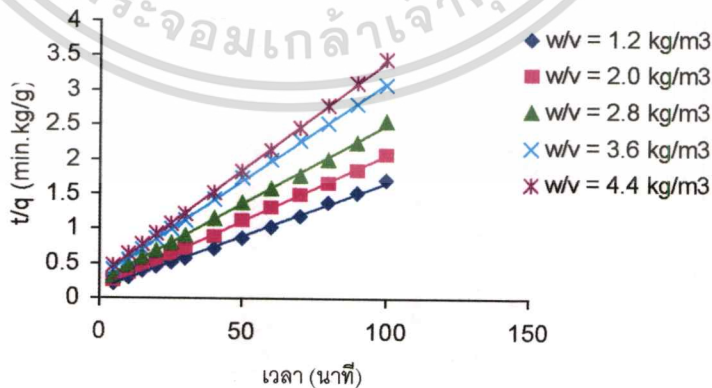
4.4.2  $C_0 = 200 \text{ ppm}$  และ  $w/v = 1.2, 2.0, 2.8, 3.6$  และ  $4.4 \text{ kg/m}^3$

จากความสามารถในการดูดซับสี่ข้อมด้วยคินเหนียวไฮโดรทอลไลท์ที่เวลาต่างๆ ( $q_t$ ) และความสามารถในการดูดซับที่อิ่มตัว ( $q_e$ ) ซึ่งหาได้จากการดูดซับที่เวลาที่ทำให้ค่าการดูดซับสูงสุดกับเวลามาแทนค่าในแบบจำลองการดูดซับอันดับหนึ่ง จะได้กราฟความสัมพันธ์ระหว่างลอการิทึมของความสามารถในการดูดซับที่อิ่มตัวลบความสามารถในการดูดซับที่เวลาต่างๆ  $\{\log(q_e - q_t)\}$  กับเวลา ( $t$ ) แสดงได้ดังรูปที่ 4.19



รูปที่ 4.19 แบบจำลองการดูดซับอันดับหนึ่ง เมื่อใช้ความเข้มข้นของสี่ข้อมเป็น 200 กรัม/ลูกบาศก์เมตรและใช้อัตราส่วนของน้ำหนักตัวดูดซับต่อปริมาตรสี่ข้อมสังเคราะห์ (w/v) เท่ากับ 1.2-4.4 กิโลกรัม/ลูกบาศก์เมตร

และเมื่อนำค่าความสามารถในการดูดซับและเวลามาแทนค่าในแบบจำลองการดูดซับอันดับสอง จะได้กราฟความสัมพันธ์ระหว่างเวลาต่อความสามารถในการดูดซับที่เวลาต่างๆ ( $t/q_t$ ) กับเวลา ( $t$ ) แสดงได้ดังรูปที่ 4.20

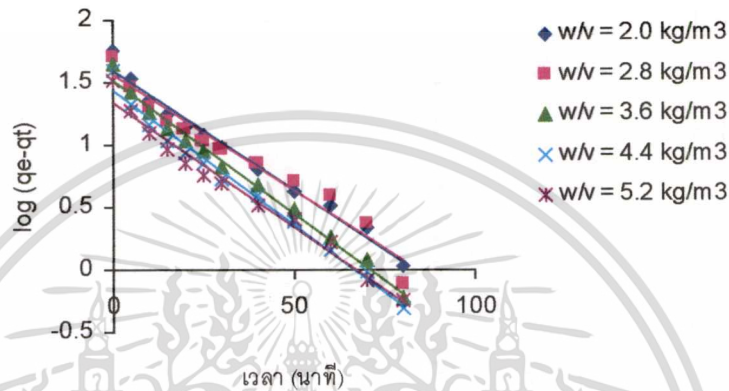


รูปที่ 4.20 แบบจำลองการดูดซับอันดับสอง เมื่อใช้ความเข้มข้นของสี่ข้อมเป็น 200 กรัม/ลูกบาศก์เมตรและใช้อัตราส่วนของน้ำหนักตัวดูดซับต่อปริมาตรสี่ข้อมสังเคราะห์ (w/v) เท่ากับ 1.2-4.4 กิโลกรัม/ลูกบาศก์เมตร

เอกสารนี้เป็นเอกสารที่สงวนไว้สำหรับการใช้งานเพื่อการศึกษาเท่านั้น ไม่อนุญาตให้นำไปใช้ประโยชน์ด้านการค้า ไม่ว่ากรณีใดๆทั้งสิ้น อีกทั้งห้ามมิให้ตัดแปลงเนื้อหา และต้องอ้างอิงถึงเจ้าของเอกสารทุกครั้งที่มีการนำไปใช้

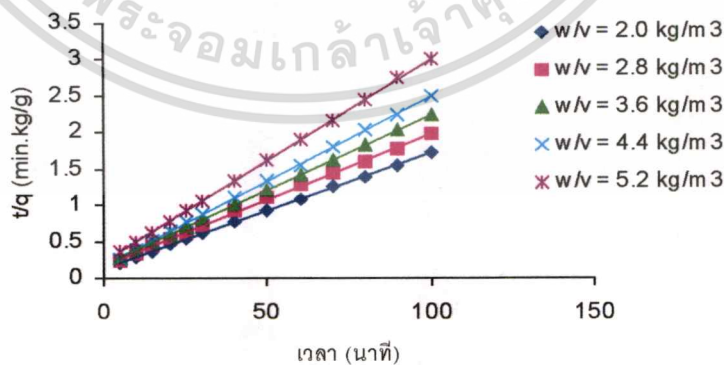
#### 4.4.3 $C_0 = 300 \text{ ppm}$ และ $w/v = 2.0, 2.8, 3.6, 4.4$ และ $5.2 \text{ kg/m}^3$

จากความสามารถในการดูดซับที่เชื่อมด้วยดินเหนียวไฮโดรทอลไฮท์ที่เวลาต่างๆ ( $q_t$ ) และความสามารถในการดูดซับที่อิ่มตัว ( $q_c$ ) ซึ่งหาได้จากการดูดซับที่เวลาที่ให้ค่าการดูดซับสูงสุดกับเวลาตามแทนค่าในแบบจำลองการดูดซับอันดับหนึ่ง จะได้กราฟความสัมพันธ์ระหว่างลอการิทึมของความสามารถในการดูดซับที่อิ่มตัวลบความสามารถในการดูดซับที่เวลาต่างๆ  $\{\log(q_c - q_t)\}$  กับเวลา ( $t$ ) แสดงได้ดังรูปที่ 4.21



รูปที่ 4.21 แบบจำลองการดูดซับอันดับหนึ่ง เมื่อใช้ความเข้มข้นของสีย้อมเป็น 300 กรัม/ลูกบาศก์เมตรและใช้อัตราส่วนของน้ำหนักตัวดูดซับต่อปริมาตรสีย้อมสังเคราะห์ ( $w/v$ ) เท่ากับ 2.0-5.2 กิโลกรัม/ลูกบาศก์เมตร

และเมื่อนำค่าความสามารถในการดูดซับและเวลาตามแทนค่าในแบบจำลองการดูดซับอันดับสอง จะได้กราฟความสัมพันธ์ระหว่างเวลาต่อความสามารถในการดูดซับที่เวลาต่างๆ ( $t/q_t$ ) กับเวลา ( $t$ ) แสดงได้ดังรูปที่ 4.22

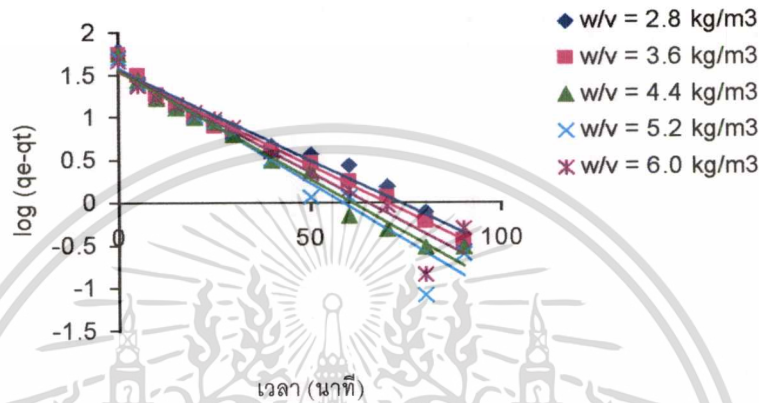


รูปที่ 4.22 แบบจำลองการดูดซับอันดับสอง เมื่อใช้ความเข้มข้นของสีย้อมเป็น 300 กรัม/ลูกบาศก์เมตรและใช้อัตราส่วนของน้ำหนักตัวดูดซับต่อปริมาตรสีย้อมสังเคราะห์ ( $w/v$ ) เท่ากับ 2.0-5.2 กิโลกรัม/ลูกบาศก์เมตร

เอกสารนี้เป็นเอกสารที่สงวนไว้สำหรับการใช้งานเพื่อการศึกษาเท่านั้น ไม่อนุญาตให้นำไปใช้ประโยชน์ด้านการค้า ไม่ว่ากรณีใดๆทั้งสิ้น อีกทั้งห้ามมิให้ตัดแปลงเนื้อหา และต้องอ้างอิงถึงเจ้าของเอกสารทุกครั้งที่มีการนำไปใช้

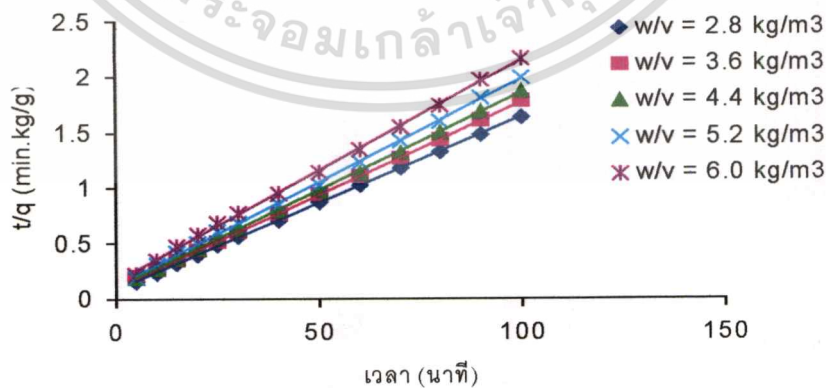
#### 4.4.4 $C_0 = 400 \text{ ppm}$ และ $w/v = 2.8, 3.6, 4.4, 5.2$ และ $6.0 \text{ kg/m}^3$

จากความสามารถในการดูดซับที่เชื่อมด้วยคินเนียวไฮโดรทอลไซท์ที่เวลาต่างๆ ( $q_t$ ) และความสามารถในการดูดซับที่อิ่มตัว ( $q_e$ ) ซึ่งหาได้จากการดูดซับที่เวลาที่ทำให้ค่าการดูดซับสูงสุดกับเวลามาแทนค่าในแบบจำลองการดูดซับอันดับหนึ่ง จะได้กราฟความสัมพันธ์ระหว่างลอการิทึมของความสามารถในการดูดซับที่อิ่มตัวลบความสามารถในการดูดซับที่เวลาต่างๆ  $\{\log(q_e - q_t)\}$  กับเวลา ( $t$ ) แสดงได้ดังรูปที่ 4.23



รูปที่ 4.23 แบบจำลองการดูดซับอันดับหนึ่ง เมื่อใช้ความเข้มข้นของสีย้อมเป็น 400 กรัม/ลูกบาศก์เมตรและใช้อัตราส่วนของน้ำหนักตัวดูดซับต่อปริมาตรสีย้อมสังเคราะห์ ( $w/v$ ) เท่ากับ 2.8-6.0 กิโลกรัม/ลูกบาศก์เมตร

และเมื่อนำค่าความสามารถในการดูดซับและเวลามาแทนค่าในแบบจำลองการดูดซับอันดับสอง จะได้กราฟความสัมพันธ์ระหว่างเวลาต่อความสามารถในการดูดซับที่เวลาต่างๆ ( $t/q_t$ ) กับเวลา ( $t$ ) แสดงได้ดังรูปที่ 4.24

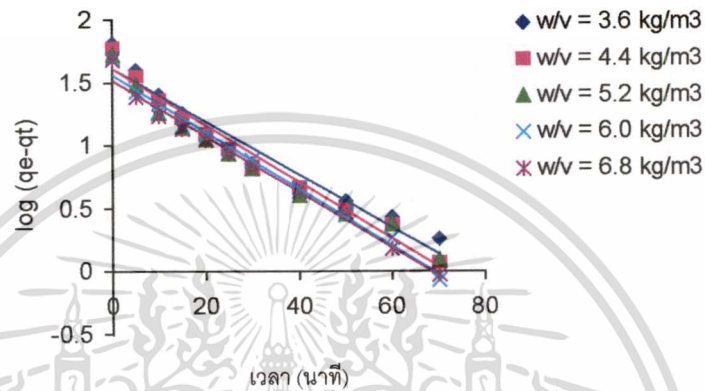


รูปที่ 4.24 แบบจำลองการดูดซับอันดับสอง เมื่อใช้ความเข้มข้นของสีย้อมเป็น 400 กรัม/ลูกบาศก์เมตรและใช้อัตราส่วนของน้ำหนักตัวดูดซับต่อปริมาตรสีย้อมสังเคราะห์ ( $w/v$ ) เท่ากับ 2.8-6.0 กิโลกรัม/ลูกบาศก์เมตร

เอกสารนี้เป็นเอกสารที่สงวนลิขสิทธิ์สำหรับการใช้งานเพื่อการศึกษาเท่านั้น ไม่อนุญาตให้นำไปใช้ประโยชน์ด้านการค้า  
ไม่ว่ากรณีใดๆทั้งสิ้น อีกทั้งห้ามมิให้ตัดแปลงเนื้อหา และต้องอ้างอิงถึงเจ้าของเอกสารทุกครั้งที่มีการนำไปใช้

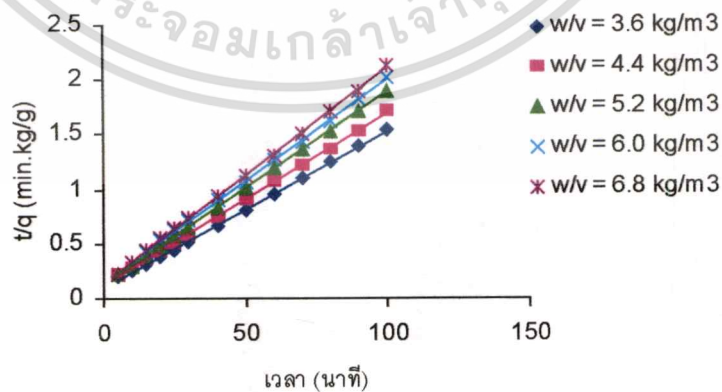
#### 4.4.5 $C_0 = 500 \text{ ppm}$ และ $w/v = 3.6, 4.4, 5.2, 6.0$ และ $6.8 \text{ kg/m}^3$

จากความสามารถในการดูดซับที่เชื่อมด้วยดินเหนียวไฮโดรทอลไซท์ที่เวลาต่างๆ ( $q_t$ ) และความสามารถในการดูดซับที่อิ่มตัว ( $q_e$ ) ซึ่งหาได้จากการดูดซับที่เวลาทำให้ค่าการดูดซับสูงสุดกับเวลามาแทนค่าในแบบจำลองการดูดซับอันดับหนึ่ง จะได้กราฟความสัมพันธ์ระหว่างลอการิทึมของความสามารถในการดูดซับที่อิ่มตัวลบความสามารถในการดูดซับที่เวลาต่างๆ  $\{\log(q_e - q_t)\}$  กับเวลา ( $t$ ) แสดงได้ดังรูปที่ 4.25



รูปที่ 4.25 แบบจำลองการดูดซับอันดับหนึ่ง เมื่อใช้ความเข้มข้นของสีข้อมเป็น 500 กรัม/ลูกบาศก์เมตรและใช้อัตราส่วนของน้ำหนักตัวดูดซับต่อปริมาตรสีข้อมสังเคราะห์( $w/v$ ) เท่ากับ 3.6-6.8 กิโลกรัม/ลูกบาศก์เมตร

และเมื่อนำค่าความสามารถในการดูดซับและเวลามาแทนค่าในแบบจำลองการดูดซับอันดับสอง จะได้กราฟความสัมพันธ์ระหว่างเวลาต่อความสามารถในการดูดซับที่เวลาต่างๆ ( $t/q_t$ ) กับเวลา ( $t$ ) แสดงได้ดังรูปที่ 4.26

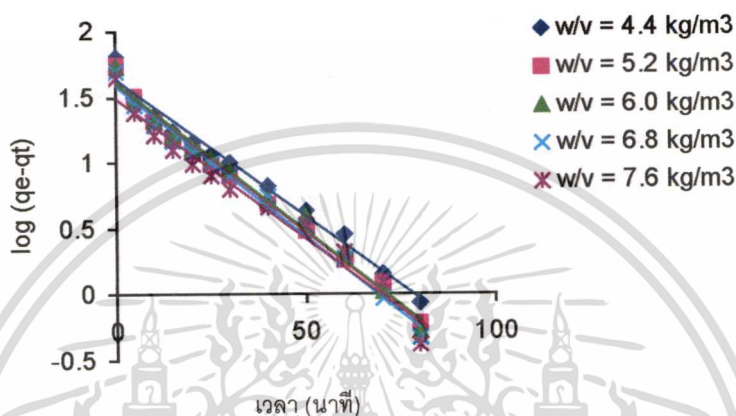


รูปที่ 4.26 แบบจำลองการดูดซับอันดับสอง เมื่อใช้ความเข้มข้นของสีข้อมเป็น 500 กรัม/ลูกบาศก์เมตรและใช้อัตราส่วนของน้ำหนักตัวดูดซับต่อปริมาตรสีข้อมสังเคราะห์( $w/v$ ) เท่ากับ 3.6-6.8 กิโลกรัม/ลูกบาศก์เมตร

เอกสารนี้เป็นเอกสารที่สงวนไว้สำหรับการใช้ในเพื่อการศึกษาเท่านั้น ไม่อนุญาตให้นำไปใช้ประโยชน์ด้านการค้า  
ไม่ว่ากรณีใดๆทั้งสิ้น อีกทั้งห้ามมิให้ตัดแปลงเนื้อหา และต้องอ้างอิงถึงเจ้าของเอกสารทุกครั้งที่มีการนำไปใช้

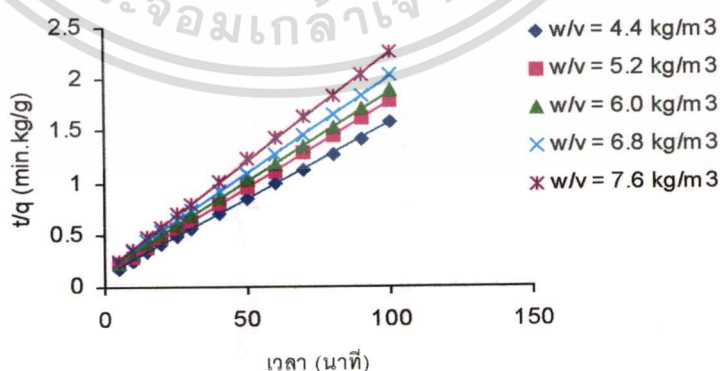
#### 4.4.6 $C_0 = 600$ ppm และ $w/v = 4.4, 5.2, 6.0, 6.8$ และ $7.6$ kg/m<sup>3</sup>

จากความสามารถในการดูดซับที่เชื่อมด้วยดินเหนียวไฮโดรทอลล์ไลท์ที่เวลาต่างๆ ( $q_t$ ) และความสามารถในการดูดซับที่อิ่มตัว ( $q_c$ ) ซึ่งหาได้จากการดูดซับที่เวลาที่ทำให้ค่าการดูดซับสูงสุดกับเวลามาแทนค่าในแบบจำลองการดูดซับอันดับหนึ่ง จะได้กราฟความสัมพันธ์ระหว่างลอการิทึมของความสามารถในการดูดซับที่อิ่มตัวลบความสามารถในการดูดซับที่เวลาต่างๆ  $\{\log(q_c - q_t)\}$  กับเวลา ( $t$ ) แสดงได้ดังรูปที่ 4.27



รูปที่ 4.27 แบบจำลองการดูดซับอันดับหนึ่ง เมื่อใช้ความเข้มข้นของสีย้อมเป็น 600 กรัม/ลูกบาศก์เมตรและใช้อัตราส่วนของน้ำหนักตัวดูดซับต่อปริมาตรสีย้อมสังเคราะห์ ( $w/v$ ) เท่ากับ 4.4-7.6 กิโลกรัม/ลูกบาศก์เมตร

และเมื่อนำค่าความสามารถในการดูดซับและเวลามาแทนค่าในแบบจำลองการดูดซับอันดับสอง จะได้กราฟความสัมพันธ์ระหว่างเวลาต่อความสามารถในการดูดซับที่เวลาต่างๆ ( $t/q_t$ ) กับเวลา ( $t$ ) แสดงได้ดังรูปที่ 4.28

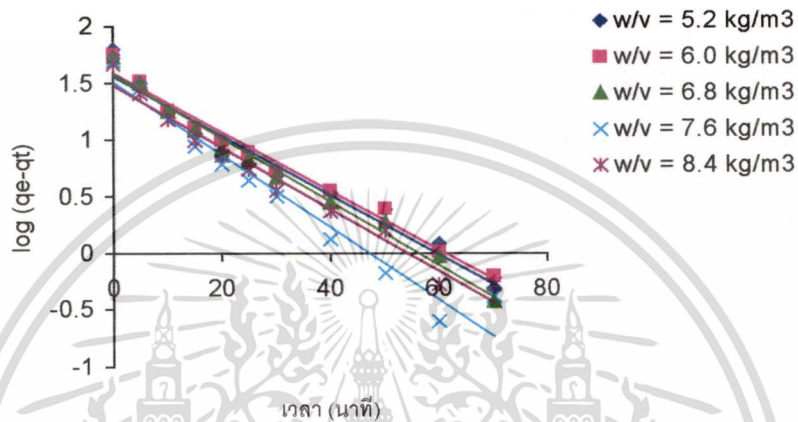


รูปที่ 4.28 แบบจำลองการดูดซับอันดับสอง เมื่อใช้ความเข้มข้นของสีย้อมเป็น 600 กรัม/ลูกบาศก์เมตรและใช้อัตราส่วนของน้ำหนักตัวดูดซับต่อปริมาตรสีย้อมสังเคราะห์ ( $w/v$ ) เท่ากับ 4.4-7.6 กิโลกรัม/ลูกบาศก์เมตร

เอกสารนี้เป็นเอกสารที่สงวนไว้สำหรับการใช้งานเพื่อการศึกษาเท่านั้น ไม่อนุญาตให้นำไปใช้ประโยชน์ด้านการค้า ไม่ว่าจะกรณีใดๆทั้งสิ้น อีกทั้งห้ามมิให้ตัดแปลงเนื้อหา และต้องอ้างอิงถึงเจ้าของเอกสารทุกครั้งที่มีการนำไปใช้

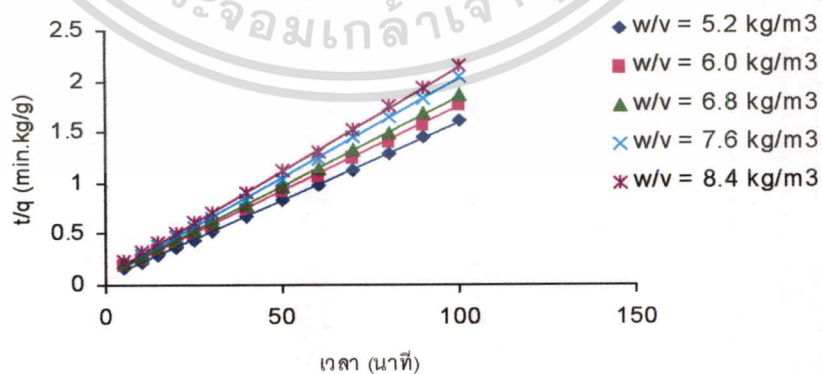
#### 4.4.7 $C_0 = 700 \text{ ppm}$ และ $w/v = 5.2, 6.0, 6.8, 7.6$ และ $8.4 \text{ kg/m}^3$

จากความสามารถในการดูดซับสี่ข้อมด้วยดินเหนียวไฮโดรทัลลไซต์ที่เวลาต่างๆ ( $q_t$ ) และความสามารถในการดูดซับที่อิ่มตัว ( $q_e$ ) ซึ่งหาได้จากการดูดซับที่เวลาที่ทำให้ค่าการดูดซับสูงสุดกับเวลามาแทนค่าในแบบจำลองการดูดซับอันดับหนึ่ง จะได้กราฟความสัมพันธ์ระหว่าง ล็อกการิทึมของความสามารถในการดูดซับที่อิ่มตัวลบความสามารถในการดูดซับที่เวลาต่างๆ  $\{\log(q_e - q_t)\}$  กับเวลา ( $t$ ) แสดงได้ดังรูปที่ 4.29



รูปที่ 4.29 แบบจำลองการดูดซับอันดับหนึ่ง เมื่อใช้ความเข้มข้นของสี่ข้อมเป็น 700 กรัม/ลูกบาศก์เมตรและใช้อัตราส่วนของน้ำหนักตัวดูดซับต่อปริมาตรสี่ข้อมสังเคราะห์ ( $w/v$ ) เท่ากับ 5.2-8.4 กิโลกรัม/ลูกบาศก์เมตร

และเมื่อนำค่าความสามารถในการดูดซับและเวลามาแทนค่าในแบบจำลองการดูดซับอันดับสอง จะได้กราฟความสัมพันธ์ระหว่างเวลาต่อความสามารถในการดูดซับที่เวลาต่างๆ ( $t/q_t$ ) กับเวลา ( $t$ ) แสดงได้ดังรูปที่ 4.30

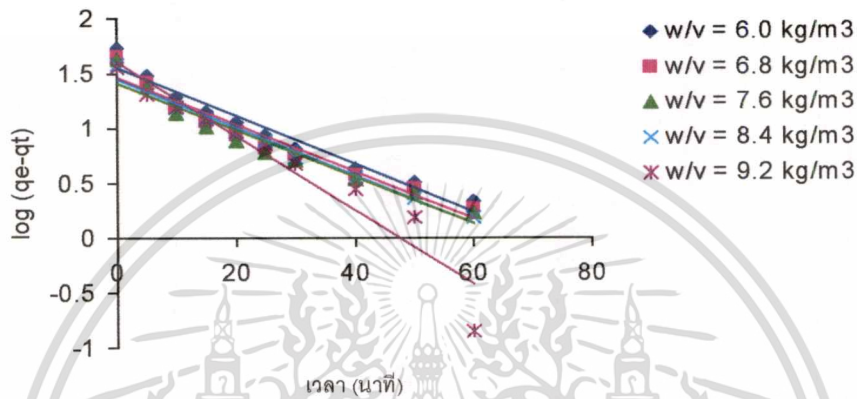


รูปที่ 4.30 แบบจำลองการดูดซับอันดับสอง เมื่อใช้ความเข้มข้นของสี่ข้อมเป็น 700 กรัม/ลูกบาศก์เมตรและใช้อัตราส่วนของน้ำหนักตัวดูดซับต่อปริมาตรสี่ข้อมสังเคราะห์ ( $w/v$ ) เท่ากับ 5.2-8.4 กิโลกรัม/ลูกบาศก์เมตร

เอกสารนี้เป็นเอกสารที่สงวนไว้สำหรับการใช้งานเพื่อการศึกษาเท่านั้น ไม่อนุญาตให้นำไปใช้ประโยชน์ด้านการค้า ไม่ว่ากรณีใดๆทั้งสิ้น อีกทั้งห้ามมิให้ตัดแปลงเนื้อหา และต้องอ้างอิงถึงเจ้าของเอกสารทุกครั้งที่มีการนำไปใช้

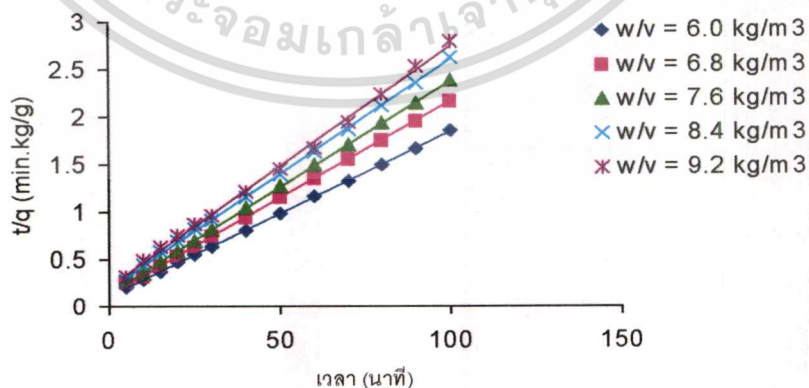
#### 4.4.8 $C_0 = 800 \text{ ppm}$ และ $w/v = 6.0, 6.8, 7.6, 8.4$ และ $9.2 \text{ kg/m}^3$

จากความสามารถในการดูดซับที่เชื่อมด้วยดินเหนียวไฮโดรทัลไซท์ที่เวลาต่างๆ ( $q_t$ ) และความสามารถในการดูดซับที่อิ่มตัว ( $q_e$ ) ซึ่งหาได้จากการดูดซับที่เวลาที่ทำให้ค่าการดูดซับสูงสุดกับเวลามาแทนค่าในแบบจำลองการดูดซับอันดับหนึ่ง จะได้กราฟความสัมพันธ์ระหว่างลอการิทึมของความสามารถในการดูดซับที่อิ่มตัวลบความสามารถในการดูดซับที่เวลาต่างๆ  $\{\log(q_e - q_t)\}$  กับเวลา ( $t$ ) แสดงได้ดังรูปที่ 4.31



รูปที่ 4.31 แบบจำลองการดูดซับอันดับหนึ่ง เมื่อใช้ความเข้มข้นของสีย้อมเป็น 800 กรัม/ลูกบาศก์เมตรและใช้อัตราส่วนของน้ำหนักตัวดูดซับต่อปริมาตรสีย้อมสังเคราะห์ ( $w/v$ ) เท่ากับ 6.0-9.2 กิโลกรัม/ลูกบาศก์เมตร

และเมื่อนำค่าความสามารถในการดูดซับและเวลามาแทนค่าในแบบจำลองการดูดซับอันดับสอง จะได้กราฟความสัมพันธ์ระหว่างเวลาต่อความสามารถในการดูดซับที่เวลาต่างๆ ( $t/q_t$ ) กับเวลา ( $t$ ) แสดงได้ดังรูปที่ 4.32

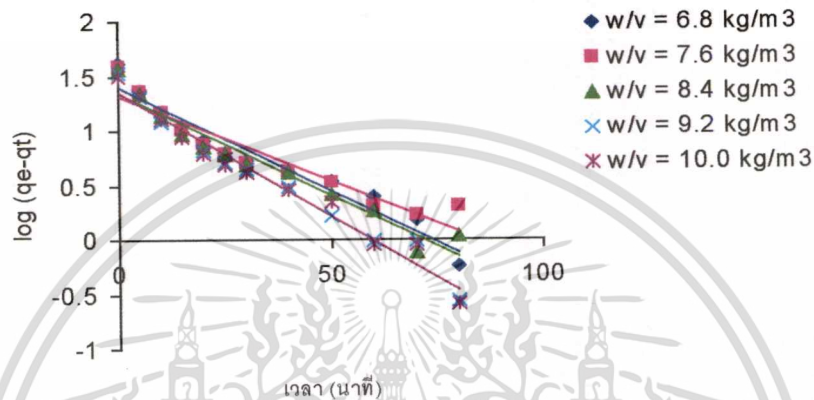


รูปที่ 4.32 แบบจำลองการดูดซับอันดับสอง เมื่อใช้ความเข้มข้นของสีย้อมเป็น 800 กรัม/ลูกบาศก์เมตรและใช้อัตราส่วนของน้ำหนักตัวดูดซับต่อปริมาตรสีย้อมสังเคราะห์ ( $w/v$ ) เท่ากับ 6.0-9.2 กิโลกรัม/ลูกบาศก์เมตร

เอกสารนี้เป็นเอกสารที่สงวนลิขสิทธิ์สำหรับการใช้งานเพื่อการศึกษาเท่านั้น ไม่อนุญาตให้นำไปใช้ประโยชน์ด้านการค้า  
ไม่ว่ากรณีใดๆทั้งสิ้น อีกทั้งห้ามมิให้ตัดแปลงเนื้อหา และต้องอ้างอิงถึงเจ้าของเอกสารทุกครั้งที่มีการนำไปใช้

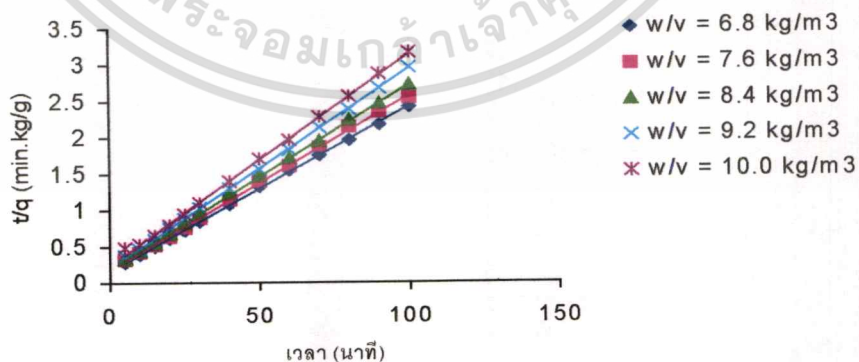
#### 4.4.9 $C_0 = 900 \text{ ppm}$ และ $w/v = 6.8, 7.6, 8.4, 9.2$ และ $10.0 \text{ kg/m}^3$

จากความสามารถในการดูดซับสี่ข้อมด้วยดินเหนียวไฮโดรทัลไลต์ที่เวลาต่างๆ ( $q_t$ ) และความสามารถในการดูดซับที่อิ่มตัว ( $q_e$ ) ซึ่งหาได้จากการดูดซับที่เวลาที่ทำให้ค่าการดูดซับสูงสุดกับเวลามาแทนค่าในแบบจำลองการดูดซับอันดับหนึ่ง จะได้กราฟความสัมพันธ์ระหว่างลอการิทึมของความสามารถในการดูดซับที่อิ่มตัวลบความสามารถในการดูดซับที่เวลาต่างๆ  $\{\log(q_e - q_t)\}$  กับเวลา ( $t$ ) แสดงได้ดังรูปที่ 4.33



รูปที่ 4.33 แบบจำลองการดูดซับอันดับหนึ่ง เมื่อใช้ความเข้มข้นของสี่ข้อมเป็น 900 กรัม/ลูกบาศก์เมตรและใช้อัตราส่วนของน้ำหนักตัวดูดซับต่อปริมาตรสี่ข้อมสังเคราะห์ ( $w/v$ ) เท่ากับ 6.8-10.0 กิโลกรัม/ลูกบาศก์เมตร

และเมื่อนำค่าความสามารถในการดูดซับและเวลามาแทนค่าในแบบจำลองการดูดซับอันดับสอง จะได้กราฟความสัมพันธ์ระหว่างเวลาต่อความสามารถในการดูดซับที่เวลาต่างๆ ( $t/q_t$ ) กับเวลา ( $t$ ) แสดงได้ดังรูปที่ 4.34



รูปที่ 4.34 แบบจำลองการดูดซับอันดับสอง เมื่อใช้ความเข้มข้นของสี่ข้อมเป็น 900 กรัม/ลูกบาศก์เมตรและใช้อัตราส่วนของน้ำหนักตัวดูดซับต่อปริมาตรสี่ข้อมสังเคราะห์ ( $w/v$ ) เท่ากับ 6.8-10.0 กิโลกรัม/ลูกบาศก์เมตร

เอกสารนี้เป็นเอกสารที่สงวนไว้สำหรับการใช้งานเพื่อการศึกษาเท่านั้น ไม่อนุญาตให้นำไปใช้ประโยชน์ด้านการค้า  
ไม่ว่ากรณีใดๆทั้งสิ้น อีกทั้งห้ามมิให้ตัดแปลงเนื้อหา และต้องอ้างอิงถึงเจ้าของเอกสารทุกครั้งที่มีการนำไปใช้

จากกราฟแบบจำลองการดูดซับอันดับหนึ่งและแบบจำลองการดูดซับอันดับสองที่ได้จากรูปที่ 4.18 ถึง 4.35 สามารถนำไปแทนค่าในสมการ คือ

**แบบจำลองการดูดซับอันดับหนึ่ง**

$$\log (q_c - q_t) = \log q_c - (k_1 / 2.303)t$$

โดยที่ความชันมีค่าเท่ากับ  $k_1$  และจุดตัดแกน  $y$  มีค่าเท่ากับ  $\log q_c$

**แบบจำลองการดูดซับอันดับ**

$$t/q_t = [1/k_2 q_{e2}^2] + [1/q_{e2}] t$$

โดยที่ความชันมีค่าเท่ากับ  $[1/q_{e2}]$  และจุดตัดแกน  $y$  มีค่าเท่ากับ  $[1/k_2 q_{e2}^2]$

จากสมการแบบจำลองการดูดซับอันดับหนึ่งและแบบจำลองการดูดซับอันดับสองสามารถหาค่าคงที่ต่างๆ แสดงได้ดังตารางที่ 4.3

**ตารางที่ 4.3** ค่าคงที่ต่างๆ ที่ได้จากแบบจำลองการดูดซับอันดับหนึ่งและแบบจำลองการดูดซับอันดับสอง

$C_0$ ( $g/m^3$ )	$w/v$ ( $kg/m^3$ )	First order			Second order		
		$k_1$ (1/min)	$q_{e1}$ (g/kg)	$R^2$	$k_2$ (kg/g.min)	$q_{e2}$ (g/kg)	$R^2$
100	0.4	$4.56 \times 10^{-2}$	66.27	0.9913	$8.81 \times 10^{-4}$	90.09	0.9995
	0.8	$4.80 \times 10^{-2}$	58.91	0.9803	$1.06 \times 10^{-3}$	72.46	0.9993
	1.2	$4.33 \times 10^{-2}$	47.81	0.9888	$1.22 \times 10^{-3}$	64.10	0.9984
	1.6	$4.43 \times 10^{-2}$	34.85	0.9819	$1.81 \times 10^{-3}$	52.91	0.9994
	2.0	$5.57 \times 10^{-2}$	41.06	0.9847	$1.98 \times 10^{-3}$	49.02	0.9991
200	1.2	$5.78 \times 10^{-2}$	45.59	0.9202	$1.81 \times 10^{-3}$	65.36	0.9982
	2.0	$4.40 \times 10^{-2}$	31.39	0.9533	$2.46 \times 10^{-3}$	52.63	0.9993
	2.8	$6.88 \times 10^{-2}$	47.35	0.8745	$2.68 \times 10^{-3}$	44.05	0.9986
	3.6	$3.92 \times 10^{-2}$	22.59	0.9692	$2.86 \times 10^{-3}$	35.46	0.9995
	4.4	$5.50 \times 10^{-2}$	23.72	0.9955	$3.35 \times 10^{-3}$	32.15	0.9996

เอกสารนี้เป็นเอกสารที่สงวนไว้สำหรับการใช้งานเพื่อการศึกษาเท่านั้น ไม่อนุญาตให้นำไปใช้ประโยชน์ด้านการค้า  
ไม่ว่ากรณีใดๆทั้งสิ้น อีกทั้งห้ามมิให้ตัดแปลงเนื้อหา และต้องอ้างอิงถึงเจ้าของเอกสารทุกครั้งที่มีการนำไปใช้

ตารางที่ 4.3 (ต่อ)

$C_0$ (g/m <sup>3</sup> )	w/v (kg/m <sup>3</sup> )	First order			Second order		
		$k_1$ (1/min)	$q_{e1}$ (g/kg)	$R^2$	$k_2$ (kg/g.min)	$q_{e2}$ (g/kg)	$R^2$
300	2.0	$4.40 \times 10^{-2}$	39.49	0.9805	$3.35 \times 10^{-5}$	62.89	0.9997
	2.8	$4.24 \times 10^{-2}$	36.14	0.9575	$5.55 \times 10^{-5}$	54.94	0.9989
	3.6	$4.88 \times 10^{-2}$	32.46	0.9891	$7.51 \times 10^{-5}$	48.54	0.9999
	4.4	$4.95 \times 10^{-2}$	26.89	0.9852	$1.05 \times 10^{-4}$	43.10	0.9999
	5.2	$4.58 \times 10^{-2}$	21.82	0.9772	$1.67 \times 10^{-4}$	35.58	0.9999
400	2.8	$4.88 \times 10^{-2}$	35.94	0.9661	$2.03 \times 10^{-5}$	64.52	0.9999
	3.6	$5.09 \times 10^{-2}$	34.56	0.9821	$2.82 \times 10^{-5}$	59.88	0.9999
	4.4	$5.87 \times 10^{-2}$	35.42	0.9797	$3.09 \times 10^{-5}$	57.14	0.9997
	5.2	$6.24 \times 10^{-2}$	38.18	0.9449	$4.16 \times 10^{-5}$	53.76	0.9994
	6.0	$5.55 \times 10^{-2}$	35.81	0.9443	$6.20 \times 10^{-5}$	50.25	0.9990
500	3.6	$4.86 \times 10^{-2}$	40.72	0.9479	$2.07 \times 10^{-5}$	69.93	0.9995
	4.4	$5.13 \times 10^{-2}$	40.14	0.9737	$2.87 \times 10^{-5}$	63.69	0.9996
	5.2	$4.86 \times 10^{-2}$	33.52	0.9645	$3.87 \times 10^{-5}$	56.49	0.9998
	6.0	$5.23 \times 10^{-2}$	36.34	0.9878	$5.10 \times 10^{-5}$	53.47	0.9996
	6.8	$5.10 \times 10^{-2}$	32.91	0.9849	$5.43 \times 10^{-5}$	50.76	0.9995
600	4.4	$4.80 \times 10^{-2}$	42.64	0.9833	$2.25 \times 10^{-5}$	68.03	0.9995
	5.2	$5.16 \times 10^{-2}$	39.12	0.9888	$3.40 \times 10^{-5}$	60.24	0.9999
	6.0	$5.18 \times 10^{-2}$	40.76	0.9870	$4.38 \times 10^{-5}$	57.47	0.9996
	6.8	$5.27 \times 10^{-2}$	38.08	0.9880	$5.41 \times 10^{-5}$	53.47	0.9997
	7.6	$4.90 \times 10^{-2}$	30.64	0.9702	$6.95 \times 10^{-5}$	47.39	0.9998
700	5.2	$6.01 \times 10^{-2}$	36.04	0.9583	$1.55 \times 10^{-5}$	65.36	0.9997
	6.0	$5.96 \times 10^{-2}$	38.51	0.9805	$2.60 \times 10^{-5}$	60.60	0.9995
	6.8	$6.47 \times 10^{-2}$	37.81	0.9839	$3.05 \times 10^{-5}$	57.14	0.9993
	7.6	$7.36 \times 10^{-2}$	31.98	0.9569	$3.72 \times 10^{-5}$	51.81	0.9987
	8.4	$6.31 \times 10^{-2}$	30.34	0.9724	$4.38 \times 10^{-5}$	49.02	0.9995

เอกสารนี้เป็นเอกสารที่สงวนไว้สำหรับการใช้งานเพื่อการศึกษาเท่านั้น ไม่อนุญาตให้นำไปใช้ประโยชน์ด้านการค้า  
ไม่ว่ากรณีใดๆทั้งสิ้น อีกทั้งห้ามมิให้ตัดแปลงเนื้อหา และต้องอ้างอิงถึงเจ้าของเอกสารทุกครั้งที่มีการนำไปใช้

$C_0$ ( $\text{g/m}^3$ )	w/v ( $\text{kg/m}^3$ )	First order			Second order		
		$k_1$ (1/min)	$q_{e1}$ (g/kg)	$R^2$	$k_2$ ( $\text{kg/g}\cdot\text{min}$ )	$q_{e2}$ (g/kg)	$R^2$
800	6.0	$5.43 \times 10^{-2}$	37.77	0.9561	$3.51 \times 10^{-5}$	58.14	0.9999
	6.8	$5.32 \times 10^{-2}$	30.74	0.9353	$5.43 \times 10^{-5}$	49.50	0.9998
	7.6	$5.32 \times 10^{-2}$	27.65	0.9337	$7.10 \times 10^{-5}$	44.84	0.9998
	8.4	$5.30 \times 10^{-2}$	29.04	0.9793	$1.12 \times 10^{-4}$	41.66	0.9996
	9.2	$6.01 \times 10^{-2}$	30.78	0.9940	$1.38 \times 10^{-4}$	39.53	0.9983
900	6.8	$4.37 \times 10^{-2}$	25.25	0.9496	$8.16 \times 10^{-5}$	44.05	0.9996
	7.6	$3.57 \times 10^{-2}$	20.87	0.8937	$9.75 \times 10^{-5}$	41.32	0.9992
	8.4	$4.31 \times 10^{-2}$	22.05	0.9444	$1.20 \times 10^{-4}$	39.21	0.9996
	9.2	$5.20 \times 10^{-2}$	22.94	0.9712	$1.50 \times 10^{-4}$	36.23	0.9997
	10.0	$5.22 \times 10^{-2}$	22.80	0.9686	$1.71 \times 10^{-4}$	34.24	0.9987

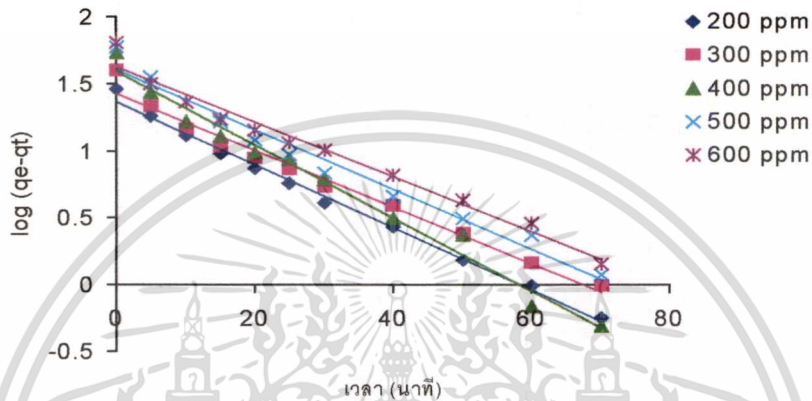
จากตารางที่ 4.3 จะเห็นได้ว่าเมื่อพิจารณาค่าสัมประสิทธิ์ความสัมพันธ์ ( $R^2$ ) ของแบบจำลองการดูดซับอันดับหนึ่งและแบบจำลองการดูดซับอันดับสอง พบว่าการดูดซับสารละลายสีข้อมด้วยดินเหนียวไฮโดรทัลไซท์ที่ค่าความเข้มข้นเริ่มต้นและอัตราส่วน w/v ที่แตกต่างกันของแบบจำลองการดูดซับอันดับสองมีค่าสัมประสิทธิ์ความสัมพันธ์ ( $R^2$ ) เข้าใกล้ 1 มากกว่าแบบจำลองการดูดซับอันดับหนึ่ง ดังนั้นแสดงว่าการดูดซับสารละลายสีข้อมด้วยดินเหนียวไฮโดรทัลไซท์เป็นไปตามแบบจำลองการดูดซับอันดับสอง

จากค่าคงที่อัตราเร็วที่ได้จากแบบจำลองการดูดซับอันดับสองเมื่อพิจารณาการดูดซับสีข้อมด้วยดินเหนียวไฮโดรทัลไซท์ที่ค่าความเข้มข้นเริ่มต้น 100 กรัม/ลูกบาศก์เมตร เมื่อเพิ่มอัตราส่วน w/v จาก 0.4 กิโลกรัม/ลูกบาศก์เมตร ไปเป็น 0.8, 1.2, 1.6, 2.0 กิโลกรัม/ลูกบาศก์เมตร ตามลำดับ พบว่าอัตราเร็วเพิ่มขึ้นเรื่อยๆ คือจาก  $8.81 \times 10^{-4}$  กิโลกรัม/กรัม.นาทึ ไปเป็น  $1.06 \times 10^{-3}$ ,  $1.22 \times 10^{-3}$ ,  $1.81 \times 10^{-3}$  และ  $1.98 \times 10^{-3}$  กิโลกรัม/กรัม.นาทึ ตามลำดับ ผลการทดลองสำหรับ 200, 300, 400, 500, 600, 700, 800 และ 900 กรัม/ลูกบาศก์เมตร มีแนวโน้มเช่นเดียวกับ 100 กรัม/ลูกบาศก์เมตร เนื่องจากที่ความเข้มข้นของสีข้อมคงที่ เมื่อมีการเพิ่มปริมาณของดินเหนียวไฮโดรทัลไซท์มีผลทำให้มีการเพิ่มของตำแหน่งที่ใช้ในการดูดซับทำให้โมเลกุลของสีข้อมมีโอกาสมาเกิดการดูดซับได้เพิ่มขึ้น ทำให้อัตราเร็วในการดูดซับมีค่าสูงขึ้นเมื่อมีการเพิ่มปริมาณของตัวดูดซับ ดังนั้นแสดงว่าค่าคงที่อัตราเร็วในการดูดซับแปรผันตรงกับพื้นที่ผิวหรือปริมาณของตัวดูดซับนั่นเอง

เอกสารนี้เป็นเอกสารที่สงวนไว้สำหรับการใช้งานเพื่อการศึกษาเท่านั้น ไม่อนุญาตให้นำไปใช้ประโยชน์ด้านการค้าไม่ว่ากรณีใดๆทั้งสิ้น อีกทั้งห้ามมิให้ตัดแปลงเนื้อหา และต้องอ้างอิงถึงเจ้าของเอกสารทุกครั้งที่มีการนำไปใช้

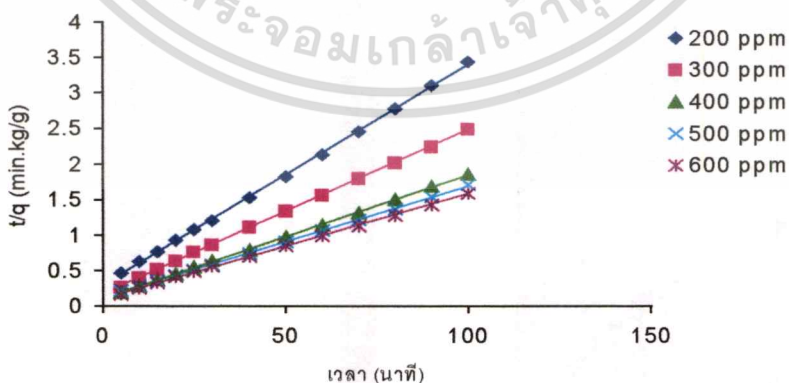
#### 4.4.10 $C_0 = 200, 300, 400, 500$ และ $600 \text{ ppm}$ และ $w/v = 4.4 \text{ kg/m}^3$

จากความสามารถในการดูดซับที่สัมพันธ์ด้วยคิเนติกไฮโดรทอลไอโซโครทอลไจท์ที่เวลาต่างๆ ( $q_t$ ) และความสามารถในการดูดซับที่อิ่มตัว ( $q_e$ ) ซึ่งหาได้จากการดูดซับที่เวลาที่ทำให้ค่าการดูดซับสูงสุดกับเวลามาแทนค่าในแบบจำลองการดูดซับอันดับหนึ่ง จะได้กราฟความสัมพันธ์ระหว่างลอการิทึมของความสามารถในการดูดซับที่อิ่มตัวลบความสามารถในการดูดซับที่เวลาต่างๆ  $\{\log(q_e - q_t)\}$  กับเวลา ( $t$ ) แสดงได้ดังรูปที่ 4.35



รูปที่ 4.35 แบบจำลองการดูดซับอันดับหนึ่ง เมื่อใช้ความเข้มข้นของสีย้อมเป็น 200-600 กรัม/ลูกบาศก์เมตรและใช้อัตราส่วนของน้ำหนักตัวดูดซับต่อปริมาตรสีย้อมตั้งคราะห์ ( $w/v$ ) เท่ากับ 4.4 กิโลกรัม/ลูกบาศก์เมตร

และเมื่อนำค่าความสามารถในการดูดซับและเวลามาแทนค่าในแบบจำลองการดูดซับอันดับสอง จะได้กราฟความสัมพันธ์ระหว่างเวลาต่อความสามารถในการดูดซับที่เวลาต่างๆ ( $t/q_t$ ) กับเวลา ( $t$ ) แสดงได้ดังรูปที่ 4.36

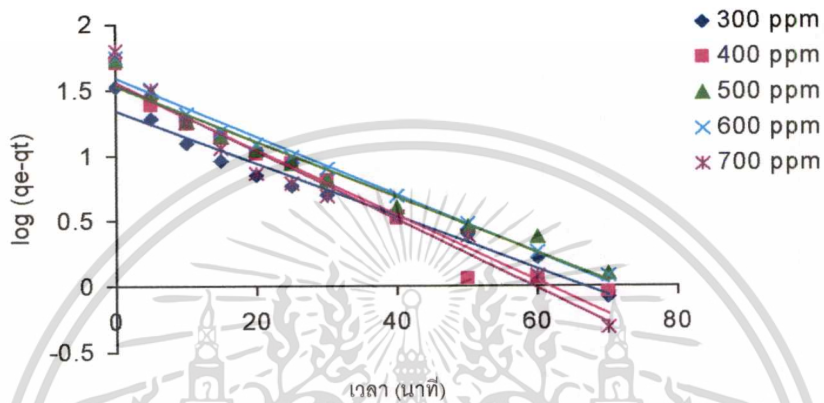


รูปที่ 4.36 แบบจำลองการดูดซับอันดับสอง เมื่อใช้ความเข้มข้นของสีย้อมเป็น 200-600 กรัม/ลูกบาศก์เมตรและใช้อัตราส่วนของน้ำหนักตัวดูดซับต่อปริมาตรสีย้อมตั้งคราะห์ ( $w/v$ ) เท่ากับ 4.4 กิโลกรัม/ลูกบาศก์เมตร

เอกสารนี้เป็นเอกสารที่สงวนไว้สำหรับการใช้งานเพื่อการศึกษาเท่านั้น ไม่อนุญาตให้นำไปใช้ประโยชน์ด้านการค้า  
ไม่ว่ากรณีใดๆทั้งสิ้น อีกทั้งห้ามมิให้ตัดแปลงเนื้อหา และต้องอ้างอิงถึงเจ้าของเอกสารทุกครั้งที่มีการนำไปใช้

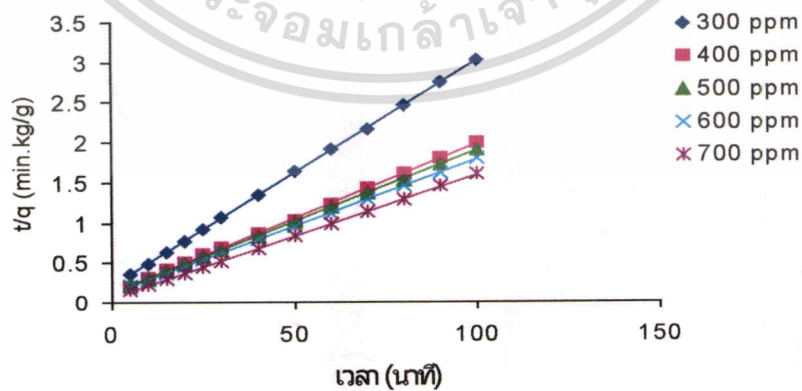
#### 4.4.11 $C_0 = 300, 400, 500, 600$ และ $700$ ppm และ $w/v = 5.2$ kg/m<sup>3</sup>

จากความสามารถในการดูดซับที่เชื่อมด้วยคินเนียวไฮโดรทาลไซท์ที่เวลาต่างๆ ( $q_t$ ) และความสามารถในการดูดซับที่อิ่มตัว ( $q_e$ ) ซึ่งหาได้จากการดูดซับที่เวลาทำให้ค่าการดูดซับสูงสุดกับเวลามาแทนค่าในแบบจำลองการดูดซับอันดับหนึ่ง จะได้กราฟความสัมพันธ์ระหว่างลอการิทึมของความสามารถในการดูดซับที่อิ่มตัวลบความสามารถในการดูดซับที่เวลาต่างๆ  $\{\log(q_e - q_t)\}$  กับเวลา ( $t$ ) แสดงได้ดังรูปที่ 4.37



รูปที่ 4.37 แบบจำลองการดูดซับอันดับหนึ่ง เมื่อใช้ความเข้มข้นของสีย้อมเป็น 300-700 กรัม/ลูกบาศก์เมตรและใช้อัตราส่วนของน้ำหนักตัวดูดซับต่อปริมาตรสีย้อมสังเคราะห์ ( $w/v$ ) เท่ากับ 5.2 กิโลกรัม/ลูกบาศก์เมตร

และเมื่อนำค่าความสามารถในการดูดซับและเวลามาแทนค่าในแบบจำลองการดูดซับอันดับสอง จะได้กราฟความสัมพันธ์ระหว่างเวลาต่อความสามารถในการดูดซับที่เวลาต่างๆ ( $t/q_t$ ) กับเวลา ( $t$ ) แสดงได้ดังรูปที่ 4.38

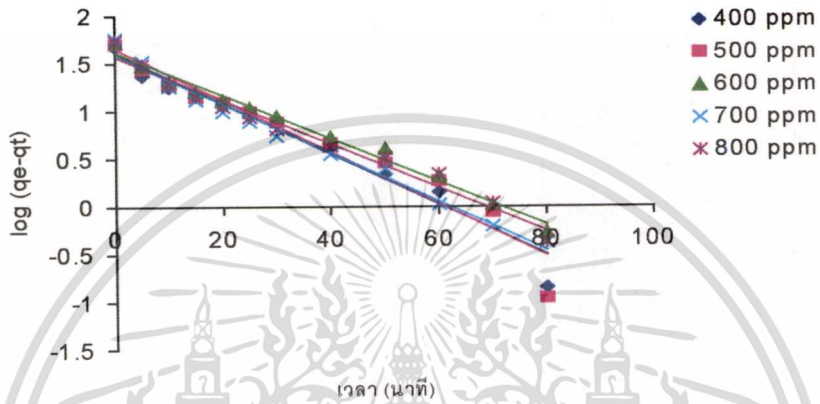


รูปที่ 4.38 แบบจำลองการดูดซับอันดับสอง เมื่อใช้ความเข้มข้นของสีย้อมเป็น 300-700 กรัม/ลูกบาศก์เมตรและใช้อัตราส่วนของน้ำหนักตัวดูดซับต่อปริมาตรสีย้อมสังเคราะห์ ( $w/v$ ) เท่ากับ 5.2 กิโลกรัม/ลูกบาศก์เมตร

เอกสารนี้เป็นเอกสารที่สงวนลิขสิทธิ์หรือการใช้งานเพื่อการศึกษาเท่านั้น ไม่อนุญาตให้นำไปใช้ประโยชน์ด้านการค้า ไม่ว่าจะกรณีใดๆทั้งสิ้น อีกทั้งห้ามมิให้ตัดแปลงเนื้อหา และต้องอ้างอิงถึงเจ้าของเอกสารทุกครั้งที่มีการนำไปใช้

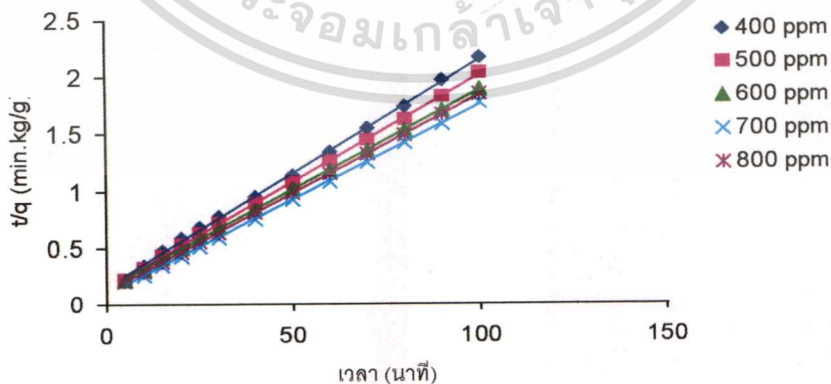
#### 4.4.12 $C_0 = 400, 500, 600, 700$ และ $800$ ppm และ $w/v = 6.0$ kg/m<sup>3</sup>

จากความสามารถในการดูดซับสีย้อมด้วยดินเหนียวไฮโดรทัลไซท์ที่เวลาต่างๆ ( $q_t$ ) และความสามารถในการดูดซับที่อิ่มตัว ( $q_e$ ) ซึ่งหาได้จากการดูดซับที่เวลาทำให้ค่าการดูดซับสูงสุดกับเวลามาแทนค่าในแบบจำลองการดูดซับอันดับหนึ่ง จะได้กราฟความสัมพันธ์ระหว่างลอการิทึมของความสามารถในการดูดซับที่อิ่มตัวลบความสามารถในการดูดซับที่เวลาต่างๆ  $\{\log(q_e - q_t)\}$  กับเวลา ( $t$ ) แสดงได้ดังรูปที่ 4.39



รูปที่ 4.39 แบบจำลองการดูดซับอันดับหนึ่ง เมื่อใช้ความเข้มข้นของสีย้อมเป็น 400-800 กรัม/ลูกบาศก์เมตรและใช้อัตราส่วนของน้ำหนักตัวดูดซับต่อปริมาตรสีย้อมสังเคราะห์ ( $w/v$ ) เท่ากับ 6.0 กิโลกรัม/ลูกบาศก์เมตร

และเมื่อนำค่าความสามารถในการดูดซับและเวลามาแทนค่าในแบบจำลองการดูดซับอันดับสอง จะได้กราฟความสัมพันธ์ระหว่างเวลาต่อความสามารถในการดูดซับที่เวลาต่างๆ ( $t/q_t$ ) กับเวลา ( $t$ ) แสดงได้ดังรูปที่ 4.40

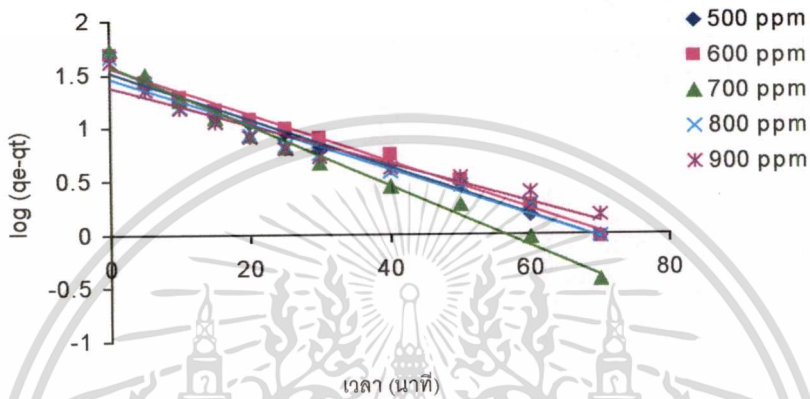


รูปที่ 4.40 แบบจำลองการดูดซับอันดับสอง เมื่อใช้ความเข้มข้นของสีย้อมเป็น 400-800 กรัม/ลูกบาศก์เมตรและใช้อัตราส่วนของน้ำหนักตัวดูดซับต่อปริมาตรสีย้อมสังเคราะห์ ( $w/v$ ) เท่ากับ 6.0 กิโลกรัม/ลูกบาศก์เมตร

เอกสารนี้เป็นเอกสารที่สงวนไว้สำหรับการใช้งานเพื่อการศึกษาเท่านั้น ไม่อนุญาตให้นำไปใช้ประโยชน์ด้านการค้า  
ไม่ว่ากรณีใดๆทั้งสิ้น อีกทั้งห้ามมิให้คัดแปลงเนื้อหา และต้องอ้างอิงถึงเจ้าของเอกสารทุกครั้งที่มีการนำไปใช้

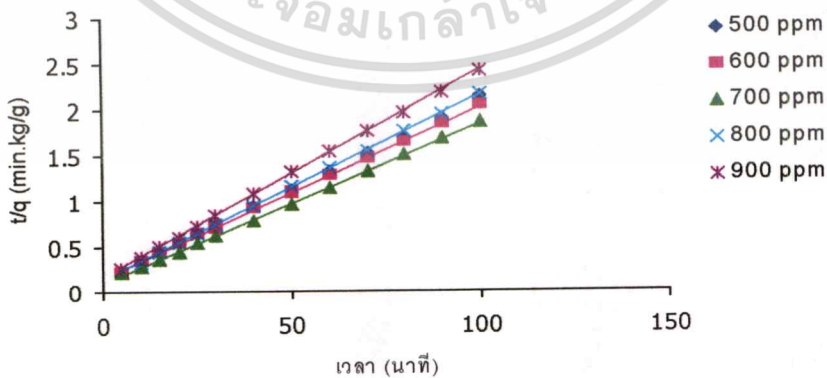
#### 4.4.13 $C_0 = 500, 600, 700, 800$ และ $900 \text{ ppm}$ และ $w/v = 6.8 \text{ kg/m}^3$

จากความสามารถในการดูดซับที่เชื่อมด้วยดินเหนียวไฮโดรทัลไซท์ที่เวลาต่างๆ ( $q_t$ ) และความสามารถในการดูดซับที่อิ่มตัว ( $q_e$ ) ซึ่งหาได้จากการดูดซับที่เวลาที่ให้ค่าการดูดซับสูงสุดกับเวลามาแทนค่าในแบบจำลองการดูดซับอันดับหนึ่ง จะได้กราฟความสัมพันธ์ระหว่างลอการิทึมของความสามารถในการดูดซับที่อิ่มตัวลบความสามารถในการดูดซับที่เวลาต่างๆ  $\{\log(q_e - q_t)\}$  กับเวลา ( $t$ ) แสดงได้ดังรูปที่ 4.41



รูปที่ 4.41 แบบจำลองการดูดซับอันดับหนึ่ง เมื่อใช้ความเข้มข้นของสีย้อมเป็น 500-900 กรัม/ลูกบาศก์เมตรและใช้อัตราส่วนของน้ำหนักตัวดูดซับต่อปริมาตรสีย้อมสังเคราะห์ ( $w/v$ ) เท่ากับ 6.8 กิโลกรัม/ลูกบาศก์เมตร

และเมื่อนำค่าความสามารถในการดูดซับและเวลามาแทนค่าในแบบจำลองการดูดซับอันดับสอง จะได้กราฟความสัมพันธ์ระหว่างเวลาต่อความสามารถในการดูดซับที่เวลาต่างๆ ( $t/q_t$ ) กับเวลา ( $t$ ) แสดงได้ดังรูปที่ 4.42

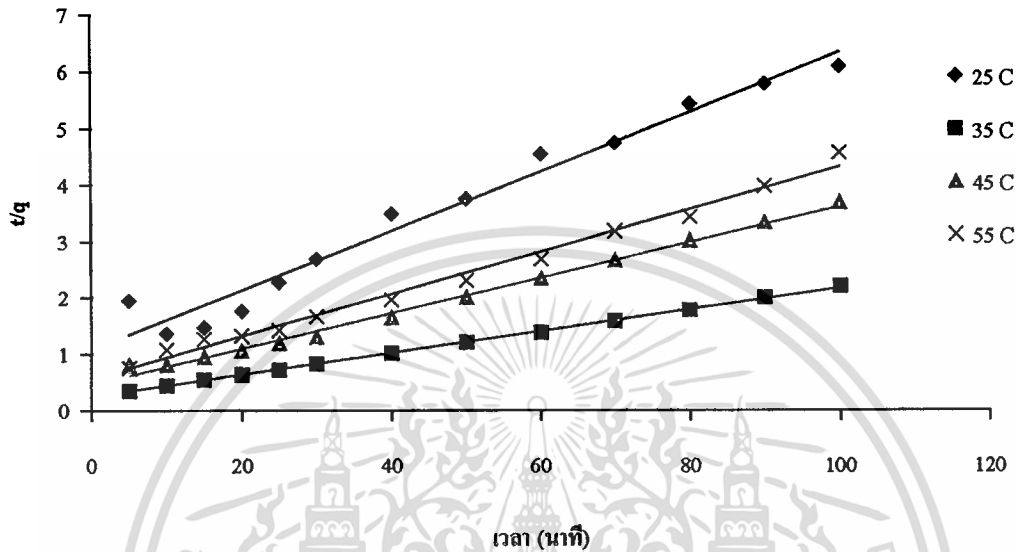


รูปที่ 4.42 แบบจำลองการดูดซับอันดับสอง เมื่อใช้ความเข้มข้นของสีย้อมเป็น 500-900 กรัม/ลูกบาศก์เมตรและใช้อัตราส่วนของน้ำหนักตัวดูดซับต่อปริมาตรสีย้อมสังเคราะห์ ( $w/v$ ) เท่ากับ 6.8 กิโลกรัม/ลูกบาศก์เมตร

เอกสารนี้เป็นเอกสารที่สงวนลิขสิทธิ์หรือการเชิงพาณิชย์เพื่อการศึกษาเท่านั้น ไม่อนุญาตให้นำไปใช้ประโยชน์ด้านการค้า  
ไม่ว่ากรณีใดๆทั้งสิ้น อีกทั้งห้ามมิให้คัดแปลงเนื้อหา และต้องอ้างอิงถึงเจ้าของเอกสารทุกครั้งที่มีการนำไปใช้



4.5 พลังงานกระตุ้นของการดูดซับสีย้อมด้วยดินเหนียวไฮโดรทัลไลท์สังเคราะห์ จากแบบจำลองการดูดซับอันดับสอง ทำให้สามารถหาค่าคงที่อัตราเร็วในการดูดซับที่อุณหภูมิต่างๆ คือ 25, 35, 45 และ 55 องศาเซลเซียส ได้ดังรูปที่ 4.44 และตารางที่ 4.4



รูปที่ 4.43 กราฟความสัมพันธ์ของแบบจำลองการดูดซับอันดับสองที่อุณหภูมิต่างๆ

ตารางที่ 4.4 ค่าคงที่อัตราเร็วในการดูดซับสีย้อมที่อุณหภูมิต่างๆ

อุณหภูมิ (องศาเซลเซียส)	$R^2$	ค่าคงที่อัตราเร็ว ( $k_2$ ) (กิโลกรัม/กรัม.นาที)
25	0.9707	$1.58 \times 10^{-3}$
35	0.9994	$1.98 \times 10^{-3}$
45	0.9949	$2.25 \times 10^{-3}$
55	0.9927	$3.02 \times 10^{-3}$

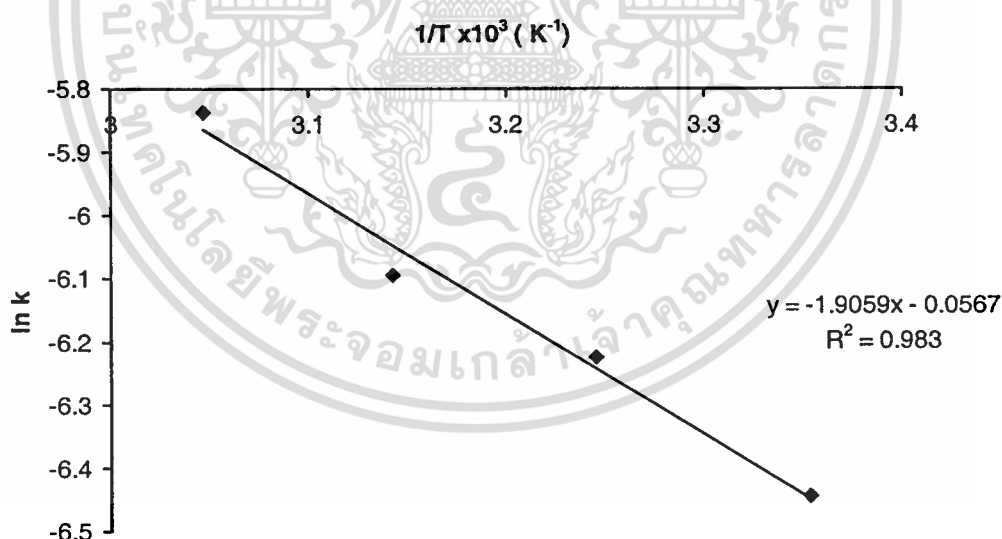
จากตารางที่ 4.4 จะเห็นได้ว่าเมื่ออุณหภูมิของการดูดซับเพิ่มขึ้นจาก 25 องศาเซลเซียส ไปเป็น 35, 45 และ 55 องศาเซลเซียส ตามลำดับ มีผลทำให้ค่าคงที่อัตราเร็วในการดูดซับ มีแนวโน้มเพิ่มขึ้นจาก  $1.58 \times 10^{-3}$  กิโลกรัม/กรัม.นาทึ ไปเป็น  $1.98 \times 10^{-3}$ ,  $2.25 \times 10^{-3}$  และ  $3.02 \times 10^{-3}$  กิโลกรัม/กรัม.นาทึ ตามลำดับ เนื่องจากเมื่ออุณหภูมิเพิ่มขึ้นมีผลต่อการเพิ่มของจำนวน โมเลกุลของสารที่มีพลังงานสูงกว่าพลังงานต่ำสุดของค่าพลังงานกระตุ้น ( $E_a$ ) ที่ทำให้เกิดการดูดซับ ดังนั้นการเพิ่มอุณหภูมิจึงเป็นการเพิ่มจำนวน โมเลกุลที่มีพลังงานสูงกว่าพลังงานกระตุ้น ( $E_a$ ) ซึ่งการเพิ่มขึ้นของโมเลกุลเหล่านี้จะมีผลทำให้อัตราเร็วในการดูดซับเพิ่มขึ้น

จากสมการของอาร์เรเนียส (Arrhenius equation) คือ

$$\ln k = \ln A - E_a/RT$$

โดยที่ความชันของกราฟ คือ  $-E_a/RT$  และจุดตัดแกน y คือ  $\ln A$

เมื่อทำการพล็อตกราฟระหว่างลอการิทึมธรรมชาติของค่าคงที่อัตราเร็ว ( $\ln k$ ) และหนึ่งส่วนอุณหภูมิ ( $1/T$ ) ทำให้สามารถหาค่าพลังงานกระตุ้น ( $E_a$ ) ได้

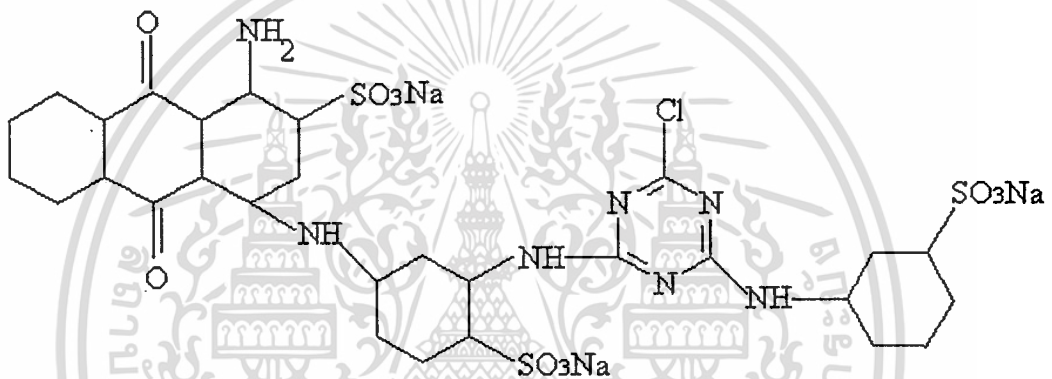


รูปที่ 4.44 กราฟความสัมพันธ์ของสมการอาร์เรเนียสที่อุณหภูมิ 25, 35, 45, 55 องศาเซลเซียส

จากรูปที่ 4.45 พบว่าค่าพลังงานกระตุ้นของการดูดซับสีของดินเหนียวไฮโดรทัลไซท์ มีค่าเท่ากับ 15.85 กิโลจูล/โมล ผลการทดลองที่ได้สอดคล้องกับการทดลองของ Mahramanlioglu [38] ซึ่งได้ศึกษาการดูดซับฟลูออไรด์ในสารละลายโดยใช้ดินฟอกขาวที่ถูกกระตุ้นด้วยกรดพบว่า ค่าพลังงานกระตุ้นของการดูดซับแบบแลกเปลี่ยนไอออนมีค่าอยู่ระหว่าง 8-16 กิโลจูล/โมล

จากกลไกการดูดซับของดินเหนียวไฮโดรทัลไซท์ แบ่งได้เป็น 2 แบบ คือ

- 1) โมเลกุลของสีจะดูดซับบนประจุที่พื้นผิวของดินเหนียว
- 2) กลไกเกี่ยวข้องกับการแลกเปลี่ยนไอออนที่เป็นประจุลบ โมเลกุลของสีจะแสดงคุณสมบัติเป็นประจุลบแสดงได้ดังรูปที่ 4.46 สามารถแลกเปลี่ยนกับชั้นในของดินเหนียวไฮโดรทัลไซท์ที่เป็นประจุลบของคาร์บอนเนต



รูปที่ 4.45 โครงสร้างสีของ Reactive Blue 5

ดังนั้นจึงสรุปได้ว่ากลไกการดูดซับสีของดินเหนียวไฮโดรทัลไซท์เป็นไปตามกลไกที่ 2 และจากงานวิจัยของ Shigeo Miyata [20] ได้ศึกษาหาไอโซเทอมของการแลกเปลี่ยนไอออนของสารประกอบดินเหนียวไฮโดรทัลไซท์ที่สังเคราะห์ขึ้น (HT) โดยพิจารณาที่มีประจุลบแตกต่างกัน พบว่าค่าคงที่การแลกเปลี่ยนไอออนที่สภาวะสมดุลของดินเหนียวไฮโดรทัลไซท์ที่เป็นประจุลบแบบโมนอเวเลนซ์ (monovalent) เรียงตามลำดับได้ดังนี้  $\text{OH}^- > \text{F}^- > \text{Cl}^- > \text{Br}^- > \text{NO}_3^- > \text{I}^-$  ส่วนที่เป็นประจุลบแบบไดเวเลนซ์สามารถเรียงลำดับค่าคงที่ของการแลกเปลี่ยนไอออนที่สภาวะสมดุลได้เป็น  $\text{CO}_3^{2-} > \text{NYS}^{2-} > \text{SO}_4^{2-}$  โดยที่คาร์บอนเนตมีขนาดเส้นผ่านศูนย์กลางเล็กกว่าเมื่อเทียบกับไอออนอื่นๆ และยังสามารถในการแลกเปลี่ยนไอออนแบบไดเวเลนซ์ได้ดีอีกด้วย ทำให้ในการทดลองจึงเลือกใช้คาร์บอนเนตเป็นตัวแลกเปลี่ยนไอออน

#### 4.6 อุณหพลศาสตร์ของการดูดซับสีย้อมด้วยดินเหนียวไฮโดรทัลไลท์สังเคราะห์

ค่าทางอุณหพลศาสตร์ที่ใช้ในการศึกษาการดูดซับสีย้อมด้วยดินเหนียวไฮโดรทัลไลท์ คือ เอนทัลปีมาตรฐาน ( $\Delta H^\circ$ ) พลังงานอิสระมาตรฐาน ( $\Delta G^\circ$ ) และเอนโทรปีมาตรฐาน ( $\Delta S^\circ$ )

4.6.1 ค่าเอนทัลปีมาตรฐาน ( $\Delta H^\circ$ ) ของการดูดซับสีย้อมด้วยดินเหนียวไฮโดรทัลไลท์ จากการดูดซับสีย้อมด้วยดินเหนียวไฮโดรทัลไลท์สามารถหาค่าคงที่สมดุลของการดูดซับ (K) ได้จาก

$$K = [q_e (w/v)] / [C_0 - q_e (w/v)] \quad [26]$$

ค่าคงที่สมดุลของการดูดซับที่อุณหภูมิต่างๆ คือ 25, 35, 45 และ 55 องศาเซลเซียส แสดงได้ดังตารางที่ 4.5

ตารางที่ 4.5 ค่าคงที่สมดุลของการดูดซับที่อุณหภูมิต่างๆ

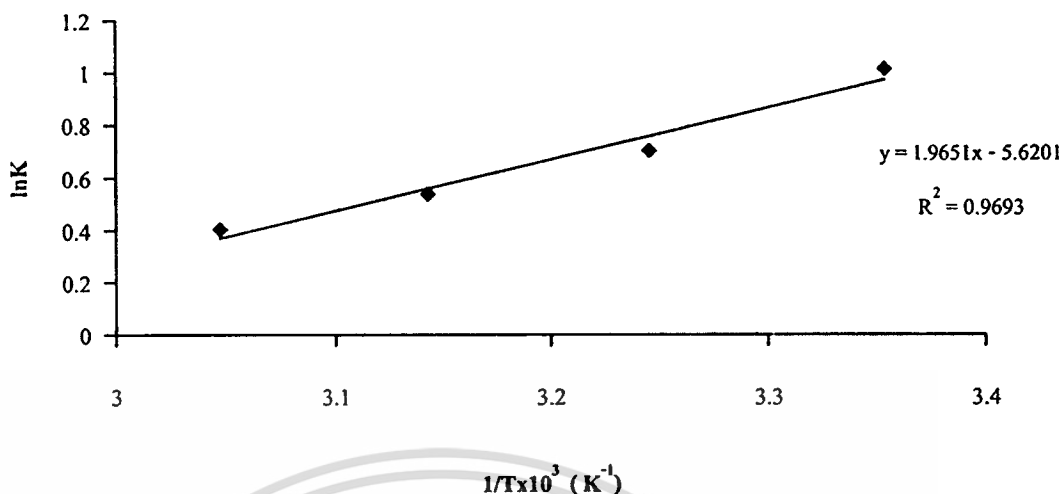
อุณหภูมิ (องศาเซลเซียส)	ค่าคงที่สมดุลของการดูดซับ
25	2.75
35	2.02
45	1.71
55	1.50

จากข้อมูลในตารางที่ 4.5 นำไปแทนในสมการของแวนฮอฟต์ คือ

$$\ln K = -\Delta H^\circ/RT + \text{constant}$$

โดยที่ความชันของกราฟ คือ  $-\Delta H^\circ/R$  และ จุดตัดแกน y คือ constant

ได้กราฟความสัมพันธ์ระหว่างลอการิทึมธรรมชาติของค่าคงที่สมดุลของการดูดซับ ( $\ln K$ ) และ หนึ่งส่วนอุณหภูมิ ( $1/T$ ) แสดงได้ดังรูปที่ 4.46



รูปที่ 4.46 กราฟความสัมพันธ์ของสมการแวนท์ฮอฟฟ์ที่อุณหภูมิ 25, 35, 45 และ 55 องศาเซลเซียส

จากความสัมพันธ์ที่ได้จากสมการของแวนท์ฮอฟฟ์ได้ค่าเอนทัลปีมาตรฐาน ( $\Delta H^\circ$ ) เท่ากับ -16.34 กิโลจูล/โมล จะเห็นได้ว่าค่าเอนทัลปีมาตรฐานมีค่าเป็นลบ ( $\Delta H^\circ = \text{ลบ}$ ) แสดงว่าการดูดซับสีย้อมด้วยดินเหนียวไฮโดรทาลไซต์เป็นการดูดซับแบบคายความร้อน คือ เมื่ออุณหภูมิในการดูดซับเพิ่มขึ้นมีผลทำให้การดูดซับสีย้อมด้วยดินเหนียวไฮโดรทาลไซต์ลดลงและเมื่ออุณหภูมิในการดูดซับลดลงมีผลทำให้การดูดซับสีย้อมด้วยดินเหนียวไฮโดรทาลไซต์เพิ่มขึ้น และเมื่อพิจารณาค่าเอนทัลปีโดยทั่วไป [26] พบว่าการดูดซับทางเคมีมีค่าเท่ากับ 40-120 กิโลจูล/โมล ซึ่งมีค่ามากกว่าการดูดซับทางกายภาพซึ่งโดยทั่วไปมีค่า  $< 40$  กิโลจูล/โมล ดังนั้นการดูดซับสีย้อมด้วยดินเหนียวไฮโดรทาลไซต์จึงเป็นการดูดซับทางกายภาพซึ่งสอดคล้องกับกลไกการดูดซับที่เป็นแบบการแลกเปลี่ยนไอออน

#### 4.6.2 ค่าพลังงานอิสระมาตรฐาน ( $\Delta G^\circ$ ) ของการดูดซับสี้อมด้วยดินเหนียวไฮโดรทัลไซต์

จากค่าคงที่สมดุลที่ 25 องศาเซลเซียส ที่ได้จากรายที่ 4.6 นำมาแทนค่าในสมการ โดยที่  $K (25^\circ\text{C}) = 2.75$  ,  $R = 8.314 \text{ J/mol.K}$  ,  $T = 298 \text{ K}$

$$\begin{aligned}\Delta G^\circ &= -RT \ln K \\ &= -(8.314 \text{ J/mol.K}) (298 \text{ K}) (\ln 2.75) \\ &= -2.51 \text{ kJ/mol}\end{aligned}$$

ค่าพลังงานอิสระมาตรฐาน ( $\Delta G^\circ$ ) ของการดูดซับสี้อมด้วยดินเหนียวไฮโดรทัลไซต์มีค่าเท่ากับ  $-2.51 \text{ kJ/mol}$  ค่าพลังงานอิสระมาตรฐานที่ได้มีค่าเป็นลบ [39] แสดงว่าโดยธรรมชาติแล้ว ขบวนการดูดซับสี้อมด้วยดินเหนียวไฮโดรทัลไซต์สามารถเกิดขึ้นได้เอง

#### 4.6.3 ค่าเอนโทรปีมาตรฐาน ( $\Delta S^\circ$ ) ของการดูดซับสี้อมด้วยดินเหนียวไฮโดรทัลไซต์

จากค่าเอนทัลปีมาตรฐาน ( $\Delta H^\circ$ ) ที่ได้จากหัวข้อที่ 4.6.1 และค่าพลังงานอิสระมาตรฐาน ( $\Delta G^\circ$ ) ที่ได้จากหัวข้อที่ 4.6.2 นำมาแทนค่าในสมการ

$$\Delta S^\circ = (\Delta H^\circ - \Delta G^\circ) / T$$

โดยที่  $\Delta H^\circ = -16.34 \text{ kJ/mol}$  ,  $\Delta G^\circ = -2.51 \text{ kJ/mol}$  ,  $T = 298 \text{ K}$

$$\begin{aligned}\Delta S^\circ &= [(-16.34 \text{ kJ/mol}) - (-2.51 \text{ kJ/mol})] / (298 \text{ K}) \\ &= -4.64 \times 10^{-2} \text{ kJ/mol.K}\end{aligned}$$

จากค่าเอนโทรปีที่มีค่าเท่ากับ  $-4.64 \times 10^{-2} \text{ kJ/mol.K}$  โดยทั่วไปค่าเอนโทรปีของการดูดซับบอถึงความไม่เป็นระเบียบระหว่างตัวดูดซับ (adsorbent) และตัวถูกดูดซับ (adsorbate) [39,40] โดยที่ถ้าค่าเอนโทรปีมีค่าเป็นบวก ( $\Delta S^\circ = +$ ) แสดงว่ามีความไม่เป็นระเบียบระหว่างตัวดูดซับและตัวถูกดูดซับมากบอถึงความเกิดการกีดกันหรือมีแรงกระทำต่อกันระหว่างตัวดูดซับและตัวถูกดูดซับ แต่ถ้าค่าเอนโทรปีมีค่าเป็นลบ ( $\Delta S^\circ = -$ ) แสดงว่ามีความไม่เป็นระเบียบระหว่างตัวดูดซับและตัวถูกดูดซับน้อยบอถึงความไม่เกิดการกีดกันหรือไม่มีแรงกระทำต่อกันระหว่างตัวดูดซับและตัวถูกดูดซับ ดังนั้นจากค่าเอนโทรปีที่ได้มีค่าเป็นลบแสดงว่า โมเลกุลของสี้อมที่เป็นประจุลบ (dye) เกิดการแลกเปลี่ยนกับชั้นในของดินเหนียวไฮโดรทัลไซต์ที่เป็นประจุลบของคาร์บอเนต ( $\text{CO}_3^{2-}$ -hydrotalcite) โดยไม่เกิดการกีดกันระหว่างตัวดูดซับและตัวถูกดูดซับ

## บทที่ 5

# สรุปและวิจารณ์ผลการทดลอง

### 5.1 สรุปผลการทดลอง

จากความสามารถในการดูดซับสีย้อม Reactive Blue 5 ด้วยดินเหนียวไฮโดรทัลไลท์สังเคราะห์พบว่า เมื่อใช้ความเข้มข้นของสีย้อมเริ่มต้นเท่ากัน ความสามารถในการดูดซับสีย้อมมีค่าลดลงเมื่ออัตราส่วน w/v สูงขึ้น และเมื่อพิจารณาที่อัตราส่วน w/v เดียวกัน ความสามารถในการดูดซับสีย้อมมีค่าเพิ่มขึ้นเมื่อใช้ความเข้มข้นของสีย้อมเพิ่มขึ้น แต่ที่ความเข้มข้นของสีย้อม 800 และ 900 กิโลกรัม/ลูกบาศก์เมตร พบว่าความสามารถในการดูดซับมีค่าลดลงเมื่อใช้อัตราส่วน w/v เดียวกัน

จากไอโซเทอมในการดูดซับสีย้อม Reactive Blue 5 ด้วยดินเหนียวไฮโดรทัลไลท์สังเคราะห์พบว่า เป็นไปตามไอโซเทอมการดูดซับของแลงเมียร์ (Langmuir adsorption isotherm) มากกว่าไอโซเทอมการดูดซับของฟลอยลิช (Freundlich adsorption isotherm)

จากแบบจำลองการดูดซับอันดับหนึ่งและแบบจำลองการดูดซับอันดับสองพบว่า การดูดซับสีย้อม Reactive Blue 5 ด้วยดินเหนียวไฮโดรทัลไลท์สังเคราะห์เป็นไปตามแบบจำลองการดูดซับอันดับสอง และจากแบบจำลองการดูดซับอันดับสองสามารถหาค่าคงที่อัตราเร็วได้ดังนี้ เมื่อพิจารณาที่ความเข้มข้นของสีย้อมเริ่มต้นเท่ากัน ค่าคงที่อัตราเร็วในการดูดซับมีค่าเพิ่มขึ้นเมื่อใช้อัตราส่วน w/v สูงขึ้น และเมื่อพิจารณาอัตราส่วน w/v เดียวกัน จะได้ว่าค่าคงที่ในการดูดซับจะมีค่าลดลงเมื่อใช้ความเข้มข้นของสีย้อมเพิ่มขึ้น แต่ที่ความเข้มข้นของสีย้อม 800 และ 900 กิโลกรัม/ลูกบาศก์เมตร พบว่าค่าคงที่อัตราเร็วมีค่าสูงขึ้นเมื่อใช้อัตราส่วน w/v เดียวกัน

จากค่าพลังงานกระตุ้นที่ได้จากสมการของอาร์เรเนียส (Arrhenius equation) พบว่าค่าพลังงานกระตุ้นของการดูดซับสีย้อม Reactive Blue 5 ด้วยดินเหนียวไฮโดรทัลไลท์สังเคราะห์มีค่าเท่ากับ 15.85 กิโลจูล/โมล บอกลักษณะการดูดซับเป็นแบบแลกเปลี่ยนไอออน

จากค่าทางอุณหพลศาสตร์พบว่า การดูดซับสีย้อม Reactive Blue 5 ด้วยดินเหนียวไฮโดรทัลไลท์สังเคราะห์มีค่าเอนทัลปีมาตรฐาน ( $\Delta H^\circ$ ) เท่ากับ -16.34 กิโลจูล/โมล แสดงว่าเป็นการดูดซับแบบคายความร้อนและการดูดซับเป็นแบบกายภาพ ส่วนค่าพลังงานอิสระมาตรฐาน ( $\Delta G^\circ$ ) มีค่าเท่ากับ -2.51 กิโลจูล/โมล แสดงว่าโดยธรรมชาติแล้วขบวนการดูดซับสามารถเกิดขึ้นได้เอง และค่าเอนโทรปี ( $\Delta S^\circ$ ) มีค่าเท่ากับ  $-4.64 \times 10^{-2}$  กิโลจูล/โมล.เคลวิน บอกลักษณะการดูดซับและตัวถูกดูดซับไม่เกิดพันธะระหว่างกัน

## 5.2 ข้อเสนอแนะ

1. ในการหาค่าความสามารถในการดูดซับที่ความเข้มข้นเดียวกันแต่อัตราส่วน w/v ต่างกันควรมีการหาค่าความสามารถในการดูดซับที่เหมาะสมด้วย
2. ควรมีการศึกษาปัจจัยอื่นที่มีผลต่อความสามารถในการดูดซับ เช่น ขนาดของ ตัวดูดซับ ความเร็วรอบของใบพัด ค่าพีเอช เป็นต้น
3. ควรมีการศึกษาการดูดซับเทียบกับสีย้อมชนิดอื่นๆ เช่น สีย้อมเบสิก สีย้อมเอซิก เป็นต้น
4. ควรมีการศึกษาความสามารถในการดูดซับของดินเหนียวไฮโดรทัลไลท์ที่นำกลับมาใช้ใหม่ด้วยวิธีการต่างๆ เช่น การให้ความร้อน การล้างด้วยเบส เป็นต้น



## เอกสารอ้างอิง

1. พิมพ์ เรียงวัฒนา และชัยวัฒน์ เจนวาณิชย์. เคมีสภาวะแวดล้อม. พิมพ์ครั้งที่ 2. กรุงเทพฯ : โอ เอส พรินติ้ง เฮ้าท์. 2539.
2. เกียรติศักดิ์ อุคมสินโรจน์. วิศวกรรมสิ่งแวดล้อม. กรุงเทพฯ : มิตรนราการพิมพ์. 2537.
3. อุคม จารุรัตน์ และจารุรัตน์ วรรณสรากุล. วิศวกรรมการประปาและสุขาภิบาล. กรุงเทพฯ : เรือนแก้วการพิมพ์. 2542
4. Jason Orthman. "Development of Superior Adsorbents from Bentonite to Remove Colour Organics." *Adsorption Studies*. Vol. 5, 2000. pp.1-68.
5. Philippe C. et. al. "Treatment and Reuse of Wastewater from the Textile Wet-Processing Industry : Review of Emerging Technologies." *J. Chem. Technol. Biotechnol.* Vol.72, 1998. pp. 289-302.
6. Danald L.S. *Environmental Soil Chemistry*. USA : Academic Press. 1995.
7. กรองกาญจน์ ภูระรัตน์. "การศึกษาประสิทธิภาพของการกำจัดพาราคอทโดยวิธีการตกตะกอนด้วยสารเคมีและการดูดซับด้วยถ่าน." วิทยานิพนธ์ปริญญาวิทยาศาสตรมหาบัณฑิต สาขาวิศวกรรมโยธา, มหาวิทยาลัยเกษตรศาสตร์. 2530.
8. วินัย สมบูรณ์. "การบำบัดโลหะหนักด้วยโพลีเมอร์ธรรมชาติ." หน้า 10-18. ในรายงานสัมมนา ระดับปริญญาเอก สายวิชาเทคโนโลยีสิ่งแวดล้อม คณะพลังงานและวัสดุ มหาวิทยาลัยเทคโนโลยีพระจอมเกล้าธนบุรี. 2541.
9. ศิโรรัตน์ ศรีเกษเพชร. "การดูดซับสารละลายโลหะหนักด้วยดินเหนียวและดินเหนียวปรับปรุง." วิทยานิพนธ์ปริญญาวิทยาศาสตรมหาบัณฑิต สายวิชาเทคโนโลยีสิ่งแวดล้อม คณะพลังงานและวัสดุ, มหาวิทยาลัยเทคโนโลยีพระจอมเกล้าธนบุรี. 2543.
10. ยุวัฒน์ ปรมีสนาภรณ์. "การพัฒนาวัสดุดูดซับจากเปลือกไข่เพื่อกำจัดแคดเมียม." วิทยานิพนธ์ปริญญาวิทยาศาสตรมหาบัณฑิต สายวิชาการจัดการทรัพยากรชีวภาพ คณะทรัพยากรชีวภาพและเทคโนโลยี, มหาวิทยาลัยเทคโนโลยีพระจอมเกล้าธนบุรี. 2544.
11. Weber W.J. Jr. *Physicochemical Process for Water Quality Control*. USA : Wiley Interscience. 1972.
12. Charler N. and Satterfield. *Heterogenous Catalysis in Industrial Practice* , 2<sup>nd</sup>ed. New York : McGraw-Hill. 1991.

เอกสารนี้เป็นเอกสารที่สงวนไว้สำหรับการใช้งานเพื่อการศึกษาเท่านั้น ไม่อนุญาตให้นำไปใช้ประโยชน์ด้านการค้า ไม่ว่าจะกรณีใดๆทั้งสิ้น อีกทั้งห้ามมิให้ตัดแปลงเนื้อหา และต้องอ้างอิงถึงเจ้าของเอกสารทุกครั้งที่มีการนำไปใช้

13. สันทัด ศิริอนันท์ไพบูลย์ และชนิษฐา ชัยรัตนาวรรณ. เคมีวิทยาศาสตร์. กรุงเทพฯ : ซีเอ็ดบุ๊คเซ็น. 2542.
14. Mckay, G. et. al. "Sorption of Dye from Aqueous Solution by Peat." **chemical Engineering Journal**. Vol.70, 1998. pp.115-124.
15. Raymond Chang. **Essential Chemistry**. International edition. New York : McGraw-Hill. 1996.
16. Raymond Chang. **Chemistry**. 5<sup>th</sup> ed. New York : McGraw-Hill. 1994.
17. นกคด ไชยคำ และคณะ. เคมีเล่ม 1. กรุงเทพฯ : สำนักพิมพ์แมคกรอ-ฮิล. 2542.
18. Heinrich Zollinger. **Color Chemistry**. New York : Weinheim. 1987.
19. ชัยยุทธ ช่างสาร และเลิศณรงค์ ศรีพนม. เคมีประยุกต์. กรุงเทพฯ : ว. เพ็ชรสกุล. 2543.
20. Shigeo Miyata. 1983. "Anion-Exchange Properties of Hydrotalcite-Like Compounds." **Clay and Clay Minerals**. Vol.4, 1983. pp. 305-311.
21. กรมโรงงานอุตสาหกรรม. คู่มือการจัดการสิ่งแวดล้อมอุตสาหกรรมฟอกย้อม. 2542.
22. ลั่นทม จอนจอบทรง. "การบำบัดและจัดการน้ำเสียจากการย้อมสี." วารสารเทคโนโลยีที่เหมาะสม. (ตค.-ธค. 35) หน้า 38-43.
23. วิวรรณ ขจรเกียรติคุณ. "การใช้ถังกรองดูดซับในการบำบัดสีจากน้ำโรงงานฟอกย้อมสิ่งทอในการบำบัดขั้นสุดท้าย." วิทยานิพนธ์ปริญญาวิทยาศาสตรมหาบัณฑิต, จุฬาลงกรณ์มหาวิทยาลัย. 2539.
24. อภิชาติ หิรัญจิตต์. "การกำจัดสีย้อมรีแอ็คทีฟจากน้ำเสียย้อมผ้าด้วยกระบวนการร่วมของการดูดซับและโคแอกกูเลชัน." วิทยานิพนธ์ปริญญาวิทยาศาสตรมหาบัณฑิต, จุฬาลงกรณ์มหาวิทยาลัย. 2539.
25. พัชรี คำธิดา และคณะ. "การกำจัดสีอินทรีย์ที่ละลายในน้ำด้วยดินฟอกสีที่ใช้แล้ว." วิทยานิพนธ์ปริญญาวิทยาศาสตรมหาบัณฑิต สาขาวิชาวิศวกรรมเคมีและกระบวนการ, มหาวิทยาลัยรังสิต. 2537.
26. F-C. WU. et. al. "Kinetic of Color Removal by Adsorption from Water Using Activated Clay." **Environmental Technology**. Vol. 22, 2001. pp. 771-729.
27. R.S. Juang. et. al. "The Ability of Activated Clay for the Adsorption of Dyes from Aqueous Solution." **Environmental Technology**. Vol. 18, 1997. pp. 525-531.
28. G, Mckay. "Equilibrium Studies for the Adsorption of Dyestuffs from Aqueous Solutions by Low-Cost Materials." **Water , Air , and Soil Pollution**. Vol. 29, 1986. pp. 273-283.

เอกสารนี้เป็นเอกสารที่สงวนไว้สำหรับการใช้งานเพื่อการศึกษาเท่านั้น ไม่อนุญาตให้นำไปใช้ประโยชน์ด้านการค้า  
ไม่ว่ากรณีใดๆทั้งสิ้น อีกทั้งห้ามมิให้คัดแปลงเนื้อหา และต้องอ้างอิงถึงเจ้าของเอกสารทุกครั้งที่มีการนำไปใช้

29. Y.S. Ho. et. al. "The Sorption of Lead (II) Ions on Peat." **Water Res.** Vol. 33, 1999. pp. 578-584.
30. Chnoong-Kheng Lee. et. al. "Removal of Some Organic Dyes by Hexane-Extracted Spent Bleaching Earth." **J. Chem. Tech. Biotechnol.** Vol. 69, 1997. pp. 93-99.
31. Mohammad S. et. al. "Colour Removal from Textile Effluents by Adsorption Techniques." **Water Res.** Vol. 25, 1991. pp. 271-273.
32. Mamdouh M. et. al. "Removal of Different Basic Dyes from Aqueous Solutions by Adsorption on Palm-Fruit Bunch Particles." **Chemical Engineering Journal.** Vol. 66, 1997. pp. 223-226.
33. Gupta G.S. et. al. "Removal of Chrome Dyes from Aqueous Solutions by Mixed Adsorbents : Fly Ash and Coal." **Water Res.** Vol. 24, 1990. pp. 45-50.
34. J. Orthman. et. al. "Use Of Anionic Clay Hydrotalcite to Remove Coloured Organics from Aqueous Solution." **Separation Purification Technology.** Vol. 31, 2003. pp. 53-59.
35. Di Cosimo J.I. et. al. "Structure and Surface and Catalytic Properties of Mg-Al Basic Oxides." **Journal of Catalysis.** Vol. 178, 1998. pp. 499-510.
36. Bruce C. Gates. **Catalytic Chemistry.** USA: John Wiley & Son, Inc. 1992.
37. Ming-Shen Chiou. et. at. "Equilibrium and Kinetic Modeling of Adsorption of Reactive Dye on Cross-Linked Chitosan Beads." **Journal of Hazardous Materials.** Vol. B93, 2002. pp. 233-248.
38. Mahramanlioglu M. et. al. "Adsorption of Fluoride from Aqueous Solution by Acid Treated Spent Bleaching Earth." **Journal of Fluorine Chemistry.** Vol. 115, 2002. pp. 41-47.
39. Naseem Rauf. et. al. "Thermodynamics of Fe(II) and Mn(II) Adsorption onto Bentonite from Aqueous Solutions." **J. Chem. Thermodynamics.** Vol. 32, 2000. pp. 651-658.
40. Vind K. Gupta et. al. "Removal of Cadmium and Nickel from Wastewater Using Bagasse fly ash - a Sugar Industry Waste." **Water Research.** Vol. 37, 2003. pp. 4038-4044.
41. Summer, M.E. et. al. **Method of Soil Analysis. Part 3.** USA: John Wiley & Son, Inc. 1996.

# ภาคผนวก



เอกสารนี้เป็นเอกสารที่สงวนไว้สำหรับการใช้งานเพื่อการศึกษาเท่านั้น ไม่อนุญาตให้นำไปใช้ประโยชน์ด้านการค้า  
ไม่ว่ากรณีใดๆทั้งสิ้น อีกทั้งห้ามมิให้ตัดแปลงเนื้อหา และต้องอ้างอิงถึงเจ้าของเอกสารทุกครั้งที่มีการนำไปใช้

## ภาคผนวก ก

## การหาความเข้มข้นของสารละลายสีย้อม Reactive Blue 5

## ก.1 วิธีการสร้างกราฟมาตรฐาน (Calibration curve)

1. นำสารละลายสีย้อมที่ความเข้มข้นเจือจางมาวัดค่าการดูดกลืนแสงโดยเครื่องยูวี-วิสิเบิล สเปกโตรโฟโตมิเตอร์ จากนั้นนำสเปกตรัมที่ได้มาหาค่าความยาวคลื่นที่ให้ค่าการดูดกลืนแสงสูงสุด

2. เตรียมสารละลายสีที่ความเข้มข้นต่างๆ คือ 20 40 60 80 และ 100 กรัม/ลูกบาศก์เมตร

3. นำสารละลายสีย้อมที่เตรียมได้ไปวัดค่าการดูดกลืนแสงที่  $\lambda_{\max}$

4. นำข้อมูลที่ได้ไปพลอตกราฟความสัมพันธ์ระหว่างค่าการดูดกลืนแสงกับความเข้มข้นของสารละลายสีย้อมก็จะได้กราฟมาตรฐาน

## ก.2 วิธีการหาความเข้มข้นของสารละลายสีย้อม

1. นำสารละลายสีย้อมที่ต้องการหาความเข้มข้น มาวัดค่าการดูดกลืนแสงโดยใช้เครื่องยูวี-วิสิเบิล สเปกโตรโฟโตมิเตอร์ที่  $\lambda_{\max}$  ของแต่ละความเข้มข้น

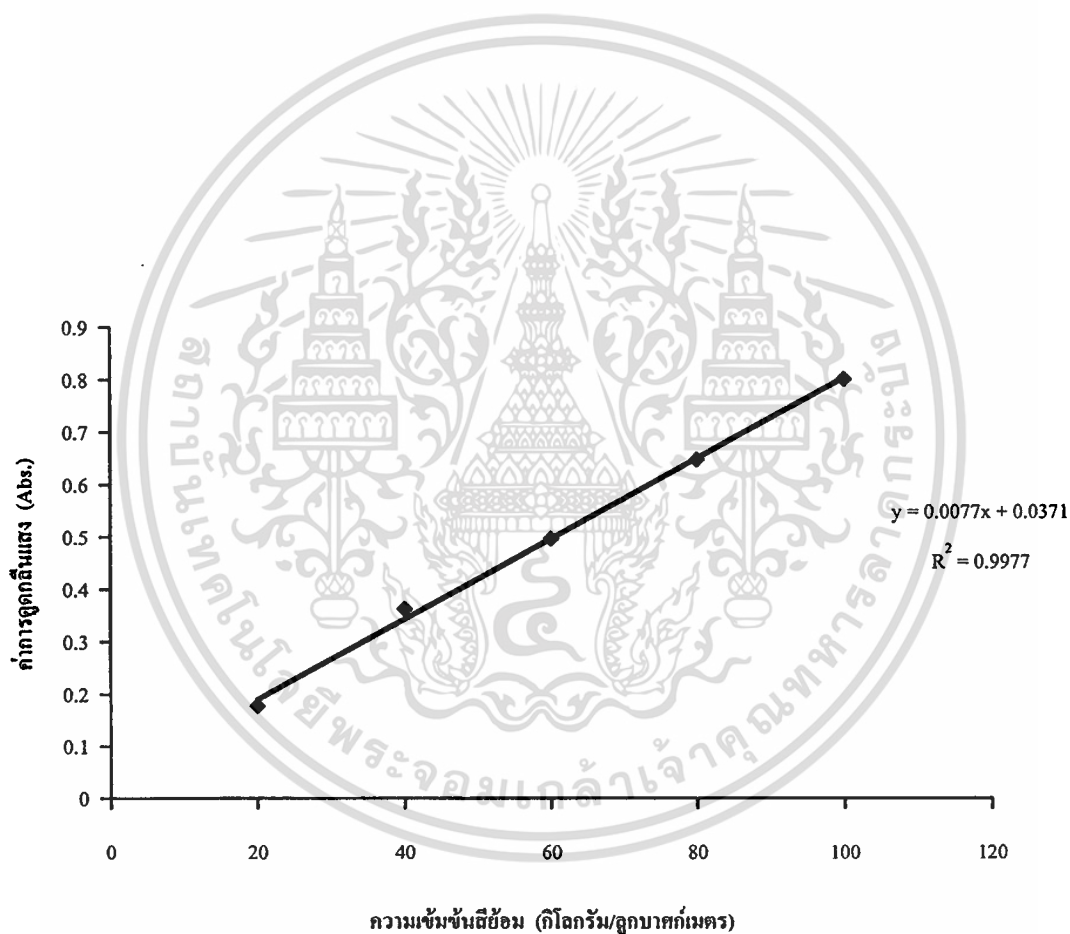
2. นำค่าการดูดกลืนแสงที่ได้ มาหาความเข้มข้นโดยใช้วิธีการเทียบมาตรฐาน

## ก.3 กราฟมาตรฐาน

ความยาวคลื่นแสงที่ให้ค่าการดูดกลืนแสงสูงสุด ( $\lambda_{\max}$ ) คือ 600 นาโนเมตร

ตารางที่ ก.1 ค่าการดูดกลืนแสงที่ความเข้มข้นต่างๆ ของสารละลายสีย้อม Reactive Blue 5

ความเข้มข้นของสีย้อม (กรัม/ลูกบาศก์เมตร)	ค่าการดูดกลืนแสง (Absorbance)
20	0.177
40	0.362
60	0.492
80	0.647
100	0.800



รูปที่ ก.1 กราฟมาตรฐานของสารละลายสีย้อม Reactive Blue 5

เอกสารนี้เป็นเอกสารที่สงวนไว้สำหรับการใช้งานเพื่อการศึกษาเท่านั้น ไม่อนุญาตให้นำไปใช้ประโยชน์ด้านการค้า  
ไม่ว่ากรณีใดๆทั้งสิ้น อีกทั้งห้ามมิให้ตัดแปลงเนื้อหา และต้องอ้างอิงถึงเจ้าของเอกสารทุกครั้งที่มีการนำไปใช้

## ภาคผนวก ข

## ค่าพารามิเตอร์ต่างๆที่ใช้ในการศึกษาความสามารถในการดูดซับ และแบบจำลองในการดูดซับ

ตารางที่ ข.1 ผลของอัตราส่วน w/v เท่ากับ 0.4 กิโลกรัม/ลูกบาศก์เมตรที่มีต่อการดูดซับสารละลายสีย้อม Reactive Blue 5 ความเข้มข้น 100 กรัม/ลูกบาศก์เมตรด้วยดินเหนียวไฮโดรทัลไลท์สังเคราะห์ ความจุอนุหุมิที่ 35 องศาเซลเซียส

t (min)	Concentration in solution (g/m <sup>3</sup> )			เฉลี่ย	q <sub>t</sub> (g/kg)	log(q <sub>e</sub> -q <sub>t</sub> )	t/q	STD
	ครั้งที่1	ครั้งที่2	ครั้งที่3					
0	95.60	95.60	92.00	94.40	0.00	1.90	-	2.08
5	88.50	85.70	81.30	85.17	23.08	1.75	0.22	3.63
10	78.00	77.30	79.50	78.24	40.38	1.59	0.25	1.12
15	75.60	76.50	71.49	74.53	49.68	1.47	0.30	2.67
20	73.20	74.30	69.16	72.22	55.45	1.38	0.36	2.71
25	71.50	72.60	66.70	70.29	60.26	1.28	0.41	3.14
30	68.00	70.10	67.01	68.37	65.06	1.16	0.46	1.58
40	66.50	68.40	66.37	67.09	68.27	1.05	0.59	1.14
50	65.40	66.70	65.33	65.81	71.47	0.90	0.70	0.77
60	63.40	65.30	64.89	64.53	74.68	0.68	0.80	1.00
70	62.80	64.50	64.34	63.88	76.28	0.51	0.92	0.94
80	62.50	63.00	64.22	63.24	77.88	0.20	1.03	0.88
90	62.00	62.40	64.57	62.99	78.53	-0.02	1.15	1.38
100	62.50	62.00	63.30	62.60	79.49	-	1.26	0.66

เอกสารนี้เป็นเอกสารที่สงวนไว้สำหรับการใช้งานเพื่อการศึกษาเท่านั้น ไม่อนุญาตให้นำไปใช้ประโยชน์ด้านการค้า  
ไม่ว่ากรณีใดๆทั้งสิ้น อีกทั้งห้ามมิให้คัดแปลงเนื้อหา และต้องอ้างอิงถึงเจ้าของเอกสารทุกครั้งที่มีการนำไปใช้

ตารางที่ ข.2 ผลของอัตราส่วน w/v เท่ากับ 0.8 กิโลกรัม/ลูกบาศก์เมตรที่มีต่อการดูดซับสารละลายสีย้อม Reactive Blue 5 ความเข้มข้น 100 กรัม/ลูกบาศก์เมตรด้วยดินเหนียวไฮโดรทัลไซท์สังเคราะห์ ความคุมอุณหภูมิที่ 35 องศาเซลเซียส

t (min)	Concentration in solution (g/m <sup>3</sup> )			เฉลี่ย	q <sub>t</sub> (g/kg)	log (q <sub>c</sub> -q <sub>t</sub> )	t/q	STD
	ครั้งที่1	ครั้งที่2	ครั้งที่3					
0	99.50	98.80	103.44	100.58	0	1.81	-	2.50
5	84.20	80.19	83.50	82.63	22.44	1.62	0.22	2.14
10	73.84	75.20	75.39	74.81	32.21	1.50	0.31	0.85
15	68.50	70.15	70.78	69.81	38.46	1.41	0.39	1.18
20	65.45	67.20	67.93	66.86	42.15	1.34	0.47	1.27
25	63.60	64.50	63.63	63.91	45.83	1.26	0.55	0.51
30	61.55	62.40	58.18	60.71	49.84	1.15	0.60	2.23
40	57.25	55.90	57.43	56.86	54.65	0.97	0.73	0.84
50	55.30	55.00	52.57	54.29	57.85	0.78	0.86	1.50
60	53.55	52.10	52.63	52.76	59.78	0.62	1.00	0.73
70	50.50	51.50	53.19	51.73	61.06	0.46	1.15	1.36
80	49.50	50.10	51.75	50.45	62.66	0.11	1.28	1.17
90	48.60	49.50	51.33	49.81	63.46	-0.32	1.42	1.39
100	48.70	49.00	50.56	49.42	63.94	-	1.56	1.00

เอกสารนี้เป็นเอกสารที่สงวนไว้สำหรับการใช้งานเพื่อการศึกษาเท่านั้น ไม่อนุญาตให้นำไปใช้ประโยชน์ด้านการค้า  
ไม่ว่ากรณีใดๆทั้งสิ้น อีกทั้งห้ามมิให้ตัดแปลงเนื้อหา และต้องอ้างอิงถึงเจ้าของเอกสารทุกครั้งที่มีการนำไปใช้

ตารางที่ ข.3 ผลของอัตราส่วน w/v เท่ากับ 1.20 กิโลกรัม/ลูกบาศก์เมตรที่มีต่อการดูดซับสารละลายสีข้อม Reactive Blue 5 ความเข้มข้น 100 กรัม/ลูกบาศก์เมตรด้วยดินเหนียวไฮโดรทัลไลท์สังเคราะห์ ความจุอนุภาคที่ 35 องศาเซลเซียส

t (min)	Concentration in solution (g/m <sup>3</sup> )			เฉลี่ย	q <sub>t</sub> (g/kg)	log (q <sub>e</sub> -q <sub>t</sub> )	t/q	STD
	ครั้งที่1	ครั้งที่2	ครั้งที่3					
0	98.50	97.50	95.57	97.19	0.00	1.76	-	1.49
5	71.65	70.43	69.63	70.57	22.19	1.54	0.23	1.02
10	64.63	63.00	62.27	63.30	28.25	1.46	0.35	1.21
15	56.70	56.50	57.98	57.06	33.44	1.37	0.45	0.80
20	53.66	52.10	52.58	52.78	37.01	1.30	0.54	0.80
25	48.25	47.85	47.03	47.71	41.23	1.20	0.61	0.62
30	45.67	44.55	42.41	44.21	44.16	1.11	0.68	1.66
40	38.55	38.10	38.04	38.23	49.13	0.90	0.81	0.28
50	35.45	34.66	34.86	34.99	51.84	0.72	0.96	0.41
60	34.10	33.10	34.26	33.82	52.81	0.63	1.14	0.63
70	33.44	32.55	31.18	32.39	54.00	0.48	1.30	1.14
80	31.20	30.95	29.56	30.57	55.52	0.18	1.44	0.88
90	29.55	29.00	30.43	29.66	56.28	-0.12	1.60	0.72
100	28.75	28.66	28.84	28.75	57.03	-	1.75	0.09

เอกสารนี้เป็นเอกสารที่สงวนไว้สำหรับการใช้งานเพื่อการศึกษาเท่านั้น ไม่อนุญาตให้นำไปใช้ประโยชน์ด้านการค้า  
ไม่ว่ากรณีใดๆทั้งสิ้น อีกทั้งห้ามมิให้ตัดแปลงเนื้อหา และต้องอ้างอิงถึงเจ้าของเอกสารทุกครั้งที่มีการนำไปใช้

ตารางที่ ข.4 ผลของอัตราส่วน w/v เท่ากับ 1.60 กิโลกรัม/ลูกบาศก์เมตรที่มีต่อการดูดซับ สารละลายสีย้อม Reactive Blue 5 ความเข้มข้น 100 กรัม/ลูกบาศก์เมตรด้วย ดินเหนียวไฮโดรทัลไลท์สังเคราะห์ ความจุอนุหภูมิที่ 35 องศาเซลเซียส

t (min)	Concentration in solution (g/m <sup>3</sup> )			เฉลี่ย	q <sub>t</sub> (g/kg)	log (q <sub>e</sub> -q <sub>t</sub> )	t/q	STD
	ครั้งที่1	ครั้งที่2	ครั้งที่3					
0	100.10	101.65	102.60	101.45	0.00	1.68	-	1.26
5	71.20	70.33	68.95	70.16	19.56	1.46	0.26	1.13
10	59.62	58.66	58.30	58.86	26.62	1.33	0.38	0.68
15	53.40	52.80	50.88	52.36	30.68	1.24	0.49	1.32
20	46.85	47.00	46.88	46.91	34.09	1.15	0.59	0.08
25	42.75	41.65	40.34	41.58	37.42	1.03	0.67	1.21
30	39.22	38.90	36.51	38.21	39.53	0.93	0.76	1.48
40	34.65	33.40	32.93	33.66	42.37	0.76	0.94	0.89
50	31.20	30.52	28.76	30.16	44.56	0.55	1.12	1.26
60	28.10	27.50	27.86	27.82	46.02	0.32	1.30	0.30
70	27.80	26.10	25.27	26.39	46.92	0.09	1.49	1.29
80	27.20	25.90	25.29	26.13	47.08	0.02	1.70	0.98
90	27.00	25.60	25.40	26.00	47.16	-0.01	1.91	0.87
100	25.33	24.52	23.47	24.44	48.13	-	2.08	0.93

เอกสารนี้เป็นเอกสารที่สงวนไว้สำหรับการใช้งานเพื่อการศึกษาเท่านั้น ไม่อนุญาตให้นำไปใช้ประโยชน์ด้านการค้า  
ไม่ว่ากรณีใดๆทั้งสิ้น อีกทั้งห้ามมิให้ตัดแปลงเนื้อหา และต้องอ้างอิงถึงเจ้าของเอกสารทุกครั้งที่มีการนำไปใช้

ตารางที่ ข.5 ผลของอัตราส่วน w/v เท่ากับ 2.00 กิโลกรัม/ลูกบาศก์เมตรที่มีต่อการดูดซับสารละลายสีย้อม Reactive Blue 5 ความเข้มข้น 100 กรัม/ลูกบาศก์เมตรด้วยดินเหนียวไฮโดรทัลไลท์สังเคราะห์ ความจุอนุหภูมิที่ 35 องศาเซลเซียส

t (min)	Concentration in solution (g/m <sup>3</sup> )			เฉลี่ย	q <sub>t</sub> (g/m <sup>3</sup> )	log (q <sub>e</sub> -q <sub>t</sub> )	t/q	STD
	ครั้งที่1	ครั้งที่2	ครั้งที่3					
0	98.65	99.20	98.58	98.81	0.00	1.64	-	0.34
5	61.25	60.58	60.75	60.86	18.97	1.40	0.26	0.35
10	52.63	50.22	52.43	51.76	23.53	1.31	0.43	1.34
15	43.65	42.10	40.67	42.14	28.33	1.20	0.53	1.49
20	36.10	35.66	36.21	35.99	31.41	1.10	0.64	0.29
25	31.22	30.54	29.29	30.35	34.23	0.99	0.73	0.98
30	28.40	27.55	26.25	27.40	35.71	0.92	0.84	1.08
40	22.85	21.66	20.38	21.63	38.59	0.74	1.04	1.24
50	18.96	17.85	16.53	17.78	40.51	0.56	1.23	1.22
60	14.53	14.20	13.45	14.06	42.37	0.24	1.42	0.55
70	13.62	12.55	11.78	12.65	43.08	0.01	1.63	0.92
80	11.20	12.53	10.38	11.37	43.72	-0.41	1.83	1.09
90	11.25	10.66	11.06	10.99	43.91	-0.72	2.05	0.30
100	11.00	10.05	10.75	10.60	44.10	-	2.27	0.49

เอกสารนี้เป็นเอกสารที่สงวนไว้สำหรับการใช้งานเพื่อการศึกษาเท่านั้น ไม่อนุญาตให้นำไปใช้ประโยชน์ด้านการค้า  
ไม่ว่ากรณีใดๆทั้งสิ้น อีกทั้งห้ามมิให้ตัดแปลงเนื้อหา และต้องอ้างอิงถึงเจ้าของเอกสารทุกครั้งที่มีการนำไปใช้

ตารางที่ ข.6 ผลของอัตราส่วน w/v เท่ากับ 1.2 กิโลกรัม/ลูกบาศก์เมตรที่มีต่อการดูดซับสารละลายสีย้อม Reactive Blue 5 ความเข้มข้น 200 กรัม/ลูกบาศก์เมตรด้วยดินเหนียวไฮโดรทอลไลท์สังเคราะห์ ความจุอนุภาคที่ 35 องศาเซลเซียส

t (min)	Concentration in solution (g/m <sup>3</sup> )			เฉลี่ย	q <sub>t</sub> (g/kg)	log (q <sub>e</sub> -q <sub>t</sub> )	t/q	STD
	ครั้งที่1	ครั้งที่2	ครั้งที่3					
0	197.12	195.52	195.45	196.03	0.00	1.78	-	0.94
5	168.56	165.21	167.38	167.05	24.15	1.55	0.21	1.70
10	156.66	154.25	155.62	155.51	33.76	1.41	0.30	1.21
15	150.24	148.95	148.11	149.10	39.10	1.32	0.38	1.07
20	144.60	142.20	142.56	143.12	44.09	1.20	0.45	1.29
25	138.55	136.66	137.47	137.56	48.72	1.04	0.51	0.95
30	134.10	132.52	134.54	133.72	51.92	0.89	0.58	1.06
40	130.58	128.88	127.60	129.02	55.84	0.59	0.72	1.49
50	127.31	125.22	128.11	126.88	57.62	0.33	0.87	1.49
60	126.30	124.10	126.40	125.60	58.69	0.03	1.02	1.30
70	125.10	123.33	125.79	124.74	59.40	-0.45	1.18	1.27
80	125.90	124.00	128.19	126.03	58.33	0.15	1.37	2.10
90	125.10	123.66	124.20	124.32	59.76	-	1.51	0.73
100	126.00	124.22	125.29	125.17	59.05	-0.15	1.69	0.90

เอกสารนี้เป็นเอกสารที่สงวนไว้สำหรับการใช้งานเพื่อการศึกษาเท่านั้น ไม่อนุญาตให้นำไปใช้ประโยชน์ด้านการค้า  
ไม่ว่ากรณีใดๆทั้งสิ้น อีกทั้งห้ามมิให้ตัดแปลงเนื้อหา และต้องอ้างอิงถึงเจ้าของเอกสารทุกครั้งที่มีการนำไปใช้

ตารางที่ ข.7 ผลของอัตราส่วน w/v เท่ากับ 2.0 กิโลกรัม/ลูกบาศก์เมตรที่มีต่อการดูดซับสารละลายสีย้อม Reactive Blue 5 ความเข้มข้น 200 กรัม/ลูกบาศก์เมตรด้วยดินเหนียวไฮโดรทัลไซต์สังเคราะห์ ความจุอนุภาคที่ 35 องศาเซลเซียส

t (min)	Concentration in solution (g/m <sup>3</sup> )			เฉลี่ย	q <sub>t</sub> (g/kg)	log (q <sub>e</sub> -q <sub>t</sub> )	t/q	STD
	ครั้งที่1	ครั้งที่2	ครั้งที่3					
0	200.15	202.30	200.64	201.03	0.00	1.69	-	1.13
5	161.35	159.65	159.51	160.17	20.43	1.46	0.24	1.02
10	145.62	143.22	145.53	144.79	28.12	1.32	0.36	1.36
15	134.69	132.00	133.06	133.25	33.89	1.18	0.44	1.36
20	125.63	123.85	124.62	124.70	38.16	1.04	0.52	0.89
25	120.10	118.45	120.16	119.57	40.73	0.92	0.61	0.97
30	115.72	113.24	115.65	114.87	43.08	0.78	0.70	1.41
40	111.05	109.62	111.13	110.60	45.21	0.59	0.88	0.85
50	111.00	109.51	111.29	110.60	45.21	0.59	1.11	0.96
60	109.26	107.77	109.64	108.89	46.07	0.48	1.30	0.99
70	107.77	105.30	107.18	106.75	47.14	0.28	1.49	1.29
80	105.32	103.84	104.70	104.62	48.21	-0.07	1.66	0.74
90	103.66	101.17	103.90	102.91	49.06	-	1.83	1.51
100	104.10	104.20	105.56	104.62	48.21	-0.07	2.07	0.82

เอกสารนี้เป็นเอกสารที่สงวนไว้สำหรับการใช้งานเพื่อการศึกษาเท่านั้น ไม่อนุญาตให้นำไปใช้ประโยชน์ด้านการค้า  
ไม่ว่ากรณีใดๆทั้งสิ้น อีกทั้งห้ามมิให้คัดแปลงเนื้อหา และต้องอ้างอิงถึงเจ้าของเอกสารทุกครั้งที่มีการนำไปใช้

ตารางที่ ข.8 ผลของอัตราส่วน w/v เท่ากับ 2.8 กิโลกรัม/ลูกบาศก์เมตรที่มีต่อการดูดซับสารละลายสีซีย้อม Reactive Blue 5 ความเข้มข้น 200 กรัม/ลูกบาศก์เมตรด้วยดินเหนียวไฮโดรทัลไซท์สังเคราะห์ ความจุอนุภาค 35 องศาเซลเซียส

t (min)	Concentration in solution (g/m <sup>3</sup> )			เฉลี่ย	q <sub>t</sub> (g/kg)	log (q <sub>c</sub> -q <sub>t</sub> )	t/q	STD
	ครั้งที่1	ครั้งที่2	ครั้งที่3					
0	197.66	195.52	196.44	196.54	0.00	1.60	-	1.07
5	151.84	149.66	151.44	150.98	16.27	1.38	0.31	1.16
10	136.77	134.22	134.52	135.17	21.92	1.26	0.46	1.39
15	123.95	121.10	122.00	122.35	26.50	1.13	0.57	1.46
20	115.36	113.58	115.04	114.66	29.24	1.04	0.68	0.95
25	108.10	106.88	108.48	107.82	31.68	0.93	0.79	0.84
30	103.65	104.23	102.77	103.55	33.21	0.84	0.90	0.74
40	99.65	97.42	98.19	98.42	35.04	0.71	1.14	1.13
50	96.33	94.15	94.52	95.00	36.26	0.59	1.38	1.17
60	90.45	88.41	89.46	89.44	38.25	0.27	1.57	1.02
70	86.60	84.62	85.58	85.60	39.62	-0.31	1.77	0.99
80	85.13	83.61	84.22	84.32	40.08	-1.45	2.00	0.76
90	85.15	84.00	83.51	84.22	40.11	-	2.24	0.84
100	86.22	85.41	88.02	86.55	39.28	-0.08	2.55	1.34

เอกสารนี้เป็นเอกสารที่สงวนไว้สำหรับการใช้งานเพื่อการศึกษาเท่านั้น ไม่อนุญาตให้นำไปใช้ประโยชน์ด้านการค้า  
ไม่ว่ากรณีใดๆทั้งสิ้น อีกทั้งห้ามมิให้ตัดแปลงเนื้อหา และต้องอ้างอิงถึงเจ้าของเอกสารทุกครั้งที่มีการนำไปใช้

ตารางที่ ข.9 ผลของอัตราส่วน w/v เท่ากับ 3.6 กิโลกรัม/ลูกบาศก์เมตรที่มีต่อการดูดซับสารละลายสีย้อม Reactive Blue 5 ความเข้มข้น 200 กรัม/ลูกบาศก์เมตรด้วยดินเหนียวไฮโดรทอลไลท์สังเคราะห์ ความจุอนุภาคที่ 35 องศาเซลเซียส

t (min)	Concentration in solution (g/m <sup>3</sup> )			เฉลี่ย	q <sub>t</sub> (g/kg)	log (q <sub>e</sub> -q <sub>t</sub> )	t/q	STD
	ครั้งที่1	ครั้งที่2	ครั้งที่3					
0	202.32	202.52	205.30	203.38	0.00	1.51	-	1.67
5	160.35	158.63	158.41	159.13	12.29	1.31	0.41	1.06
10	137.86	135.42	136.58	136.62	18.54	1.15	0.54	1.22
15	126.66	124.35	125.1	125.37	21.67	1.04	0.69	1.18
20	119.32	117.77	116.34	118.01	23.71	0.95	0.84	1.49
25	112.95	110.52	112.38	111.95	25.40	0.86	0.98	1.27
30	107.31	105.25	107.7	106.75	26.84	0.76	1.12	1.32
40	102.75	100.21	101.72	101.56	28.28	0.64	1.41	1.28
50	99.99	97.35	99.54	98.96	29.00	0.56	1.72	1.41
60	96.25	94.65	94.28	95.06	30.09	0.40	1.99	1.05
70	93.62	91.54	92.25	92.47	30.81	0.26	2.27	1.06
80	90.13	88.54	88.33	89.00	31.77	-0.07	2.52	0.98
90	88.16	86.61	88.36	87.71	32.13	-0.32	2.80	0.96
100	86.14	84.45	87.32	85.97	32.61	-5.83	3.07	1.44

ตารางที่ ข.10 ผลของอัตราส่วน w/v เท่ากับ 4.4 กิโลกรัม/ลูกบาศก์เมตรที่มีต่อการดูดซับสารละลายสีย้อม Reactive Blue 5 ความเข้มข้น 200 กรัม/ลูกบาศก์เมตรด้วยดินเหนียวไฮโดรทอลไลท์สังเคราะห์ ความจุอนุภาคที่ 35 องศาเซลเซียส

t (min)	Concentration in solution (g/m <sup>3</sup> )			เฉลี่ย	q <sub>t</sub> (g/kg)	log (q <sub>e</sub> -q <sub>t</sub> )	t/q	STD
	ครั้งที่1	ครั้งที่2	ครั้งที่3					
0	197.28	198.52	194.84	196.88	0.00	1.46	-	1.87
5	149.25	147.67	149.30	148.74	10.94	1.26	0.46	0.93
10	127.65	125.30	127.06	126.67	15.96	1.12	0.63	1.22
15	111.12	109.62	111.21	110.65	19.60	0.98	0.77	0.89
20	102.62	100.06	100.71	101.13	21.76	0.86	0.92	1.33
25	95.25	93.33	94.02	94.20	23.34	0.76	1.07	0.97
30	87.75	85.55	87.19	86.83	25.01	0.61	1.20	1.14
40	81.14	79.13	82.31	80.86	26.37	0.43	1.52	1.61
50	76.36	74.45	76.17	75.66	27.55	0.19	1.81	1.05
60	74.44	72.25	72.88	73.19	28.11	-0.01	2.13	1.13
70	72.35	70.06	71.73	71.38	28.52	-0.25	2.45	1.18
80	71.68	69.25	69.31	70.08	28.82	-0.58	2.78	1.39
90	70.10	68.21	69.59	69.30	29.00	-1.05	3.10	0.98
100	69.25	67.75	69.73	68.91	29.09	-	3.44	1.03

เอกสารนี้เป็นเอกสารที่สงวนไว้สำหรับการใช้งานเพื่อการศึกษาเท่านั้น ไม่อนุญาตให้นำไปใช้ประโยชน์ด้านการค้า  
ไม่ว่ากรณีใดๆทั้งสิ้น อีกทั้งห้ามมิให้ตัดแปลงเนื้อหา และต้องอ้างอิงถึงเจ้าของเอกสารทุกครั้งที่มีการนำไปใช้

ตารางที่ ข.11 ผลของอัตราส่วน w/v เท่ากับ 2.0 กิโลกรัม/ลูกบาศก์เมตรที่มีต่อการดูดซับสารละลายสีย้อม Reactive Blue 5 ความเข้มข้น 300 กรัม/ลูกบาศก์เมตรด้วยดินเหนียวไฮโดรทัลไซท์สังเคราะห์ ความจุอนุภาคที่ 35 องศาเซลเซียส

t (min)	Concentration in solution (g/m <sup>3</sup> )			เฉลี่ย	q <sub>t</sub> (g/kg)	log (q <sub>c</sub> -q <sub>t</sub> )	t/q	STD
	ครั้งที่1	ครั้งที่2	ครั้งที่3					
0	290.15	288.65	272.12	283.64	0.00	1.76	-	10.00
5	235.12	233.25	234.74	234.37	24.63	1.53	0.20	0.99
10	213.52	211.11	213.56	212.73	35.45	1.36	0.28	1.40
15	202.95	200.30	202.45	201.90	40.87	1.24	0.37	1.41
20	196.36	194.45	195.42	195.41	44.11	1.15	0.45	0.96
25	192.85	190.32	190.07	191.08	46.28	1.08	0.54	1.54
30	187.75	185.63	186.87	186.75	48.44	0.99	0.62	1.07
40	181.15	179.96	179.67	180.26	51.69	0.81	0.77	0.78
50	176.85	174.48	176.46	175.93	53.85	0.64	0.93	1.27
60	174.26	172.56	174.49	173.77	54.94	0.51	1.09	1.05
70	172.72	170.05	172.03	171.60	56.02	0.34	1.25	1.39
80	170.15	168.26	169.91	169.44	57.10	0.03	1.40	1.03
90	168.62	166.65	166.54	167.27	58.18	-	1.55	1.17
100	168.15	167.23	168.38	167.92	57.86	-0.49	1.73	0.61

เอกสารนี้เป็นเอกสารที่สงวนไว้สำหรับการใช้งานเพื่อการศึกษาเท่านั้น ไม่อนุญาตให้นำไปใช้ประโยชน์ด้านการค้า  
ไม่ว่ากรณีใดๆทั้งสิ้น อีกทั้งห้ามมิให้คัดแปลงเนื้อหา และต้องอ้างอิงถึงเจ้าของเอกสารทุกครั้งที่มีการนำไปใช้

ตารางที่ ข.12 ผลของอัตราส่วน w/v เท่ากับ 2.8 กิโลกรัม/ลูกบาศก์เมตรที่มีต่อการดูดซับสารละลายสีย้อม Reactive Blue 5 ความเข้มข้น 300 กรัม/ลูกบาศก์เมตรด้วยดินเหนียวไฮโดรทัลไซท์สังเคราะห์ ความจุอนุหภูมิที่ 35 องศาเซลเซียส

t (min)	Concentration in solution (g/m <sup>3</sup> )			เฉลี่ย	qt (g/kg)	log (q <sub>c</sub> -q <sub>t</sub> )	t/q	STD
	ครั้งที่1	ครั้งที่2	ครั้งที่3					
0	294.62	294.56	287.93	292.37	0.00	1.70	-	3.85
5	232.32	230.15	232.54	231.67	21.68	1.46	0.23	1.32
10	208.14	206.65	207.83	207.54	30.29	1.31	0.33	0.79
15	195.24	193.54	194.39	194.39	34.99	1.19	0.43	0.85
20	188.62	186.95	187.86	187.81	37.34	1.12	0.54	0.84
25	182.62	180.06	181.01	181.23	39.69	1.04	0.63	1.29
30	177.25	175.23	178.04	176.84	41.26	0.97	0.73	1.45
40	171.62	169.23	169.93	170.26	43.61	0.85	0.92	1.23
50	166.65	164.45	163.90	165.00	45.49	0.71	1.10	1.46
60	162.36	160.45	161.66	161.49	46.74	0.59	1.28	0.97
70	158.89	156.66	155.78	157.11	48.31	0.37	1.45	1.60
80	153.25	151.15	153.76	152.72	49.87	-0.11	1.60	1.38
90	151.62	149.48	150.49	150.53	50.66	-	1.78	1.07
100	151.12	149.22	151.25	150.53	50.66	-	1.97	1.14

เอกสารนี้เป็นเอกสารที่สงวนไว้สำหรับการใช้งานเพื่อการศึกษาเท่านั้น ไม่อนุญาตให้นำไปใช้ประโยชน์ด้านการค้า  
ไม่ว่ากรณีใดๆทั้งสิ้น อีกทั้งห้ามมิให้ตัดแปลงเนื้อหา และต้องอ้างอิงถึงเจ้าของเอกสารทุกครั้งที่มีการนำไปใช้

ตารางที่ ข.13 ผลของอัตราส่วน w/v เท่ากับ 3.6 กิโลกรัม/ลูกบาศก์เมตรที่มีต่อการดูดซับสารละลายสีข้อม Reactive Blue 5 ความเข้มข้น 300 กรัม/ลูกบาศก์เมตรด้วยดินเหนียวไฮโดรทัลไซท์สังเคราะห์ ควบคุมอุณหภูมิที่ 35 องศาเซลเซียส

t (min)	Concentration in solution (g/m <sup>3</sup> )			เฉลี่ย	q <sub>t</sub> (g/kg)	log (q <sub>c</sub> -q <sub>t</sub> )	t/q	STD
	ครั้งที่1	ครั้งที่2	ครั้งที่3					
0	321.25	325.10	328.83	325.06	0.00	1.65	-	3.79
5	261.62	259.15	260.13	260.30	17.99	1.42	0.28	1.24
10	231.85	229.95	228.2	230.00	26.41	1.26	0.38	1.83
15	213.36	211.25	213.43	212.68	31.22	1.12	0.48	1.24
20	205.35	203.36	203.38	204.03	33.62	1.03	0.59	1.14
25	198.62	196.66	197.31	197.53	35.43	0.96	0.71	1.00
30	189.54	187.75	189.32	188.87	37.83	0.82	0.79	0.98
40	183.36	181.15	182.63	182.38	39.63	0.68	1.01	1.13
50	176.35	174.45	176.87	175.89	41.44	0.48	1.21	1.27
60	172.64	170.15	171.89	171.56	42.64	0.26	1.41	1.28
70	170.74	168.23	169.20	169.39	43.24	0.08	1.62	1.27
80	168.45	166.66	166.58	167.23	43.84	-0.22	1.82	1.06
90	166.65	164.46	164.07	165.06	44.44	-	2.03	1.39
100	166.15	164.43	164.60	165.06	44.44	-	2.25	0.95

เอกสารนี้เป็นเอกสารที่สงวนไว้สำหรับการใช้งานเพื่อการศึกษาเท่านั้น ไม่อนุญาตให้นำไปใช้ประโยชน์ด้านการค้า  
ไม่ว่ากรณีใดๆทั้งสิ้น อีกทั้งห้ามมิให้ตัดแปลงเนื้อหา และต้องอ้างอิงถึงเจ้าของเอกสารทุกครั้งที่มีการนำไปใช้

ตารางที่ ข.14 ผลของอัตราส่วน w/v เท่ากับ 4.4 กิโลกรัม/ลูกบาศก์เมตรที่มีต่อการดูดซับสารละลายสีย้อม Reactive Blue 5 ความเข้มข้น 300 กรัม/ลูกบาศก์เมตรด้วยดินเหนียวไฮโดรทลไซท์สังเคราะห์ ความจุอนุภาคที่ 35 องศาเซลเซียส

t (min)	Concentration in solution (g/m <sup>3</sup> )			เฉลี่ย	q <sub>t</sub> (g/kg)	log (q <sub>e</sub> -q <sub>t</sub> )	t/q	STD
	ครั้งที่1	ครั้งที่2	ครั้งที่3					
0	346.25	345.15	355.15	348.85	0.00	1.60	-	5.48
5	267.83	265.45	266.85	266.71	18.67	1.33	0.27	1.20
10	237.25	235.56	237.56	236.79	25.47	1.16	0.39	1.08
15	220.36	218.24	220.50	219.70	29.35	1.03	0.51	1.27
20	212.35	210.06	211.04	211.15	31.29	0.94	0.64	1.15
25	205.55	203.36	205.31	204.74	32.75	0.86	0.76	1.20
30	197.52	195.25	195.83	196.20	34.69	0.73	0.86	1.18
40	190.10	188.85	190.42	189.79	36.15	0.59	1.11	0.83
50	184.45	182.63	183.06	183.38	37.61	0.39	1.33	0.95
60	180.55	178.21	178.54	179.10	38.58	0.16	1.56	1.27
70	177.42	175.23	178.26	176.97	39.06	-0.01	1.79	1.56
80	175.21	173.36	175.92	174.83	39.55	-0.31	2.02	1.32
90	173.24	171.15	173.68	172.69	40.03	-	2.25	1.35
100	173.14	170.21	174.22	172.69	40.03	-	2.50	2.07

เอกสารนี้เป็นเอกสารที่สงวนไว้สำหรับการใช้งานเพื่อการศึกษาเท่านั้น ไม่อนุญาตให้นำไปใช้ประโยชน์ด้านการค้า  
ไม่ว่ากรณีใดๆทั้งสิ้น อีกทั้งห้ามมิให้ตัดแปลงเนื้อหา และต้องอ้างอิงถึงเจ้าของเอกสารทุกครั้งที่มีการนำไปใช้

ตารางที่ ข.15 ผลของอัตราส่วน w/v เท่ากับ 5.2 กิโลกรัม/ลูกบาศก์เมตรที่มีต่อการดูดซับสารละลายสีย้อม Reactive Blue 5 ความเข้มข้น 300 กรัม/ลูกบาศก์เมตรด้วยดินเหนียวไฮโดรทัลไซท์สังเคราะห์ ความจุอนุภาคที่ 35 องศาเซลเซียส

t (min)	Concentration in solution (g/m <sup>3</sup> )			เฉลี่ย	q <sub>t</sub> (g/kg)	log (q <sub>c</sub> -q <sub>t</sub> )	t/q	STD
	ครั้งที่1	ครั้งที่2	ครั้งที่3					
0	324.15	322.25	326.08	324.16	0.00	1.52	-	1.92
5	252.36	250.61	251.05	251.34	14.00	1.28	0.36	0.91
10	217.53	215.32	217.28	216.71	20.66	1.10	0.48	1.21
15	200.69	198.42	199.06	199.39	23.99	0.96	0.63	1.17
20	189.95	187.45	188.31	188.57	26.07	0.85	0.77	1.27
25	183.25	181.65	181.34	182.08	27.32	0.77	0.91	1.03
30	178.45	176.20	178.60	177.75	28.16	0.70	1.07	1.34
40	170.85	168.16	168.26	169.09	29.82	0.52	1.34	1.53
50	165.52	163.35	165.41	164.76	30.65	0.40	1.63	1.22
60	161.75	159.32	160.22	160.43	31.49	0.22	1.91	1.23
70	157.62	155.24	155.44	156.10	32.32	-0.08	2.17	1.32
80	155.65	153.21	155.57	154.81	32.57	-0.23	2.46	1.39
90	154.35	152.42	155.05	153.94	32.73	-0.38	2.75	1.36
100	152.26	150.06	152.99	151.77	33.15	-	3.02	1.53

เอกสารนี้เป็นเอกสารที่สงวนไว้สำหรับการใช้งานเพื่อการศึกษาเท่านั้น ไม่อนุญาตให้นำไปใช้ประโยชน์ด้านการค้า  
ไม่ว่ากรณีใดๆทั้งสิ้น อีกทั้งห้ามมิให้ตัดแปลงเนื้อหา และต้องอ้างอิงถึงเจ้าของเอกสารทุกครั้งที่มีการนำไปใช้

ตารางที่ ข.16 ผลของอัตราส่วน w/v เท่ากับ 2.8 กิโลกรัม/ลูกบาศก์เมตรที่มีต่อการดูดซับสารละลายสีข้อม Reactive Blue 5 ความเข้มข้น 400 กรัม/ลูกบาศก์เมตรด้วยดินเหนียวไฮโดรทาลไซท์สังเคราะห์ ความจุอนุภาคที่ 35 องศาเซลเซียส

t (min)	Concentration in solution (g/m <sup>3</sup> )			เฉลี่ย	q <sub>t</sub> (g/kg)	log (q <sub>e</sub> -q <sub>t</sub> )	t/q	STD
	ครั้งที่1	ครั้งที่2	ครั้งที่3					
0	404.25	405.10	405.83	405.06	0.00	1.79	-	0.79
5	331.56	333.45	333.57	332.86	31.82	1.47	0.16	1.13
10	300.25	302.84	301.98	301.69	42.95	1.26	0.23	1.32
15	285.36	289.45	291.29	288.70	47.59	1.13	0.32	3.04
20	278.75	280.12	279.96	279.61	50.83	1.02	0.39	0.75
25	274.36	276.65	276.12	275.71	52.23	0.95	0.48	1.20
30	269.95	271.63	271.27	270.95	53.93	0.86	0.56	0.88
40	262.48	264.45	263.84	263.59	56.56	0.67	0.71	1.01
50	260.10	262.85	260.05	261.00	57.48	0.57	0.87	1.60
60	257.75	259.72	257.73	258.40	58.41	0.44	1.03	1.14
70	253.36	255.55	255.91	254.94	59.65	0.19	1.17	1.38
80	251.11	253.35	253.85	252.77	60.42	-0.11	1.32	1.46
90	250.01	252.51	251.89	251.47	60.88	-0.51	1.48	1.30
100	249.42	251.12	251.29	250.61	61.19	-	1.63	1.03

เอกสารนี้เป็นเอกสารที่สงวนไว้สำหรับการใช้งานเพื่อการศึกษาเท่านั้น ไม่อนุญาตให้นำไปใช้ประโยชน์ด้านการค้า  
ไม่ว่ากรณีใดๆทั้งสิ้น อีกทั้งห้ามมิให้ตัดแปลงเนื้อหา และต้องอ้างอิงถึงเจ้าของเอกสารทุกครั้งที่มีการนำไปใช้

ตารางที่ ข.17 ผลของอัตราส่วน w/v เท่ากับ 3.6 กิโลกรัม/ลูกบาศก์เมตรที่มีต่อการดูดซับสารละลายสีย้อม Reactive Blue 5 ความเข้มข้น 400 กรัม/ลูกบาศก์เมตรด้วยดินเหนียวไฮโดรทลไซท์สังเคราะห์ ความจุอนุภาคที่ 35 องศาเซลเซียส

t (min)	Concentration in solution (g/m <sup>3</sup> )			เฉลี่ย	q <sub>t</sub> (g/kg)	log (q <sub>c</sub> -q <sub>t</sub> )	t/q	STD
	ครั้งที่1	ครั้งที่2	ครั้งที่3					
0	408.12	406.85	412.33	409.10	0.00	1.75	-	2.87
5	318.45	320.21	319.15	319.27	24.95	1.50	0.20	0.89
10	271.42	273.36	272.00	272.26	38.01	1.26	0.26	1.00
15	254.13	256.26	255.12	255.17	42.76	1.14	0.35	1.07
20	240.68	242.85	242.23	241.92	46.44	1.00	0.43	1.12
25	233.33	235.14	234.22	234.23	48.58	0.89	0.51	0.91
30	227.54	229.98	228.52	228.68	50.12	0.80	0.60	1.23
40	219.45	221.32	222.17	220.98	52.26	0.62	0.77	1.39
50	215.62	217.47	217.04	216.71	53.44	0.47	0.94	0.97
60	211.10	213.57	212.65	212.44	54.63	0.25	1.10	1.25
70	209.83	211.41	209.66	210.30	55.22	0.07	1.27	0.97
80	207.45	209.34	207.69	208.16	55.82	-0.23	1.43	1.03
90	206.84	208.82	206.27	207.31	56.05	-0.45	1.61	1.34
100	205.55	207.16	205.38	206.03	56.41	-	1.77	0.98

เอกสารนี้เป็นเอกสารที่สงวนไว้สำหรับการใช้งานเพื่อการศึกษาเท่านั้น ไม่อนุญาตให้นำไปใช้ประโยชน์ด้านการค้า  
ไม่ว่ากรณีใดๆทั้งสิ้น อีกทั้งห้ามมิให้ตัดแปลงเนื้อหา และต้องอ้างอิงถึงเจ้าของเอกสารทุกครั้งที่มีการนำไปใช้

ตารางที่ ข.18 ผลของอัตราส่วน w/v เท่ากับ 4.4 กิโลกรัม/ลูกบาศก์เมตรที่มีต่อการดูดซับสารละลายสีข้อม Reactive Blue 5 ความเข้มข้น 400 กรัม/ลูกบาศก์เมตรด้วยดินเหนียวไฮโดรทลไซท์สังเคราะห์ ความจุอนุหภูมิที่ 35 องศาเซลเซียส

t (min)	Concentration in solution (g/m <sup>3</sup> )			เฉลี่ย	q <sub>t</sub> (g/kg)	log (q <sub>c</sub> -q <sub>t</sub> )	t/q	STD
	ครั้งที่1	ครั้งที่2	ครั้งที่3					
0	414.54	415.64	420.58	416.92	0.00	1.73	-	3.22
5	298.15	301.12	302.26	300.51	26.46	1.44	0.19	2.12
10	252.84	253.15	255.80	253.93	37.04	1.22	0.27	1.63
15	236.24	238.48	237.06	237.26	40.83	1.11	0.37	1.13
20	221.65	224.31	223.52	223.16	44.04	0.99	0.45	1.37
25	216.65	219.35	219.38	218.46	45.10	0.94	0.55	1.57
30	205.42	208.34	208.29	207.35	47.63	0.79	0.63	1.67
40	193.42	195.25	193.63	194.10	50.64	0.49	0.79	1.00
50	188.85	191.14	192.05	190.68	51.42	0.37	0.97	1.65
60	182.13	184.30	183.83	183.42	53.07	-0.17	1.13	1.14
70	181.62	183.74	182.32	182.56	53.26	-0.31	1.31	1.08
80	180.54	182.62	181.97	181.71	53.46	-0.54	1.50	1.06
90	180.20	182.45	182.48	181.71	53.46	-0.54	1.68	1.31
100	179.65	181.62	180.02	180.43	53.75	-	1.86	1.05

เอกสารนี้เป็นเอกสารที่สงวนไว้สำหรับการใช้งานเพื่อการศึกษาเท่านั้น ไม่อนุญาตให้นำไปใช้ประโยชน์ด้านการค้า  
ไม่ว่ากรณีใดๆทั้งสิ้น อีกทั้งห้ามมิให้คัดแปลงเนื้อหา และต้องอ้างอิงถึงเจ้าของเอกสารทุกครั้งที่มีการนำไปใช้

ตารางที่ ข.19 ผลของอัตราส่วน w/v เท่ากับ 5.2 กิโลกรัม/ลูกบาศก์เมตรที่มีต่อการดูดซับสารละลายสีย้อม Reactive Blue 5 ความเข้มข้น 400 กรัม/ลูกบาศก์เมตรด้วยดินเหนียวไฮโดรทัลไลท์สังเคราะห์ ความจุอนุภาคที่ 35 องศาเซลเซียส

t (min)	Concentration in solution (g/m <sup>3</sup> )			เฉลี่ย	q <sub>t</sub> (g/kg)	log (q <sub>c</sub> -q <sub>t</sub> )	t/q	STD
	ครั้งที่1	ครั้งที่2	ครั้งที่3					
0	400.15	399.41	397.35	398.97	0.00	1.70	-	1.45
5	264.85	266.42	265.14	265.47	25.63	1.39	0.20	0.84
10	227.75	230.65	230.31	229.57	32.54	1.25	0.31	1.59
15	208.56	211.86	210.06	210.34	36.24	1.15	0.41	1.65
20	190.25	193.52	193.40	192.39	39.69	1.02	0.50	1.85
25	181.15	184.36	184.75	183.42	41.41	0.94	0.60	1.98
30	170.62	172.96	170.77	171.45	43.71	0.81	0.69	1.31
40	153.61	155.52	155.24	154.79	46.92	0.52	0.85	1.03
50	142.81	144.45	143.78	143.68	49.06	0.06	1.02	0.82
60	142.51	144.25	144.28	143.68	49.06	0.06	1.22	1.01
70	141.68	143.52	141.97	142.39	49.30	-0.04	1.42	0.99
80	137.41	139.59	137.36	138.12	50.12	-1.09	1.60	1.27
90	138.25	140.12	138.54	138.97	49.96	-0.61	1.80	1.01
100	137.25	138.68	137.14	137.69	50.21	-	1.99	0.86

เอกสารนี้เป็นเอกสารที่สงวนไว้สำหรับการใช้งานเพื่อการศึกษาเท่านั้น ไม่อนุญาตให้นำไปใช้ประโยชน์ด้านการค้า  
ไม่ว่ากรณีใดๆทั้งสิ้น อีกทั้งห้ามมิให้ตัดแปลงเนื้อหา และต้องอ้างอิงถึงเจ้าของเอกสารทุกครั้งที่มีการนำไปใช้

ตารางที่ ข.20 ผลของอัตราส่วน w/v เท่ากับ 6.0 กิโลกรัม/ลูกบาศก์เมตรที่มีต่อการดูดซับสารละลายสีข้อม Reactive Blue 5 ความเข้มข้น 400 กรัม/ลูกบาศก์เมตรด้วยดินเหนียวไฮโดรทัลไลท์สังเคราะห์ ความจุอนุภาคที่ 35 องศาเซลเซียส

t (min)	Concentration in solution (g/m <sup>3</sup> )			เฉลี่ย	q <sub>t</sub> (g/kg)	log (q <sub>e</sub> -q <sub>t</sub> )	t/q	STD
	ครั้งที่1	ครั้งที่2	ครั้งที่3					
0	398.52	399.25	395.30	397.69	0.00	1.67	-	2.10
5	257.43	260.85	261.45	259.91	22.96	1.37	0.22	2.17
10	222.31	225.68	226.62	224.87	28.80	1.24	0.35	2.27
15	204.16	207.54	209.06	206.92	31.79	1.16	0.47	2.51
20	190.34	192.62	190.37	191.11	34.43	1.07	0.58	1.31
25	176.26	178.92	178.40	177.86	36.64	0.98	0.68	1.41
30	164.87	166.65	166.18	165.90	38.63	0.88	0.78	0.92
40	143.48	145.23	144.88	144.53	42.19	0.61	0.95	0.93
50	132.64	134.45	133.17	133.42	44.05	0.34	1.14	0.93
60	127.64	130.65	127.87	128.72	44.83	0.15	1.34	1.68
70	124.36	126.05	126.78	125.73	45.33	-0.03	1.54	1.24
80	120.38	122.54	120.17	121.03	46.11	-0.85	1.73	1.31
90	121.65	123.54	124.29	123.16	45.75	-0.30	1.97	1.36
100	119.57	121.03	119.91	120.17	46.25	-	2.16	0.76

เอกสารนี้เป็นเอกสารที่สงวนไว้สำหรับการใช้งานเพื่อการศึกษาเท่านั้น ไม่อนุญาตให้นำไปใช้ประโยชน์ด้านการค้า  
ไม่ว่ากรณีใดๆทั้งสิ้น อีกทั้งห้ามมิให้ตัดแปลงเนื้อหา และต้องอ้างอิงถึงเจ้าของเอกสารทุกครั้งที่มีการนำไปใช้

ตารางที่ ข.21 ผลของอัตราส่วน w/v เท่ากับ 3.6 กิโลกรัม/ลูกบาศก์เมตรที่มีต่อการดูดซับสารละลายสีย้อม Reactive Blue 5 ความเข้มข้น 500 กรัม/ลูกบาศก์เมตรด้วยดินเหนียวไฮโดรทัลไซท์สังเคราะห์ ควบคุมอุณหภูมิที่ 35 องศาเซลเซียส

t (min)	Concentration in solution (g/m <sup>3</sup> )			เฉลี่ย	q <sub>t</sub> (g/kg)	log (q <sub>c</sub> -q <sub>t</sub> )	t/q	STD
	ครั้งที่1	ครั้งที่2	ครั้งที่3					
0	502.65	502.38	504.33	503.12	0.00	1.81	-	1.06
5	409.84	412.62	413.39	411.95	25.32	1.60	0.20	1.87
10	358.41	361.25	360.34	360.00	39.75	1.40	0.25	1.45
15	332.95	335.58	333.56	334.03	46.97	1.26	0.32	1.38
20	310.57	313.37	313.86	312.60	52.92	1.08	0.38	1.78
25	300.45	302.87	301.36	301.56	55.99	0.96	0.45	1.22
30	293.51	296.65	295.02	295.06	57.79	0.86	0.52	1.57
40	283.21	286.62	286.13	285.32	60.50	0.65	0.66	1.84
50	280.62	283.61	282.01	282.08	61.40	0.56	0.81	1.50
60	277.83	279.30	279.36	278.83	62.30	0.43	0.96	0.87
70	274.95	276.10	275.69	275.58	63.20	0.26	1.11	0.58
80	271.25	273.68	272.09	272.34	64.11	-0.04	1.25	1.23
90	269.34	271.53	270.30	270.39	64.65	-0.44	1.39	1.10
100	268.54	270.67	268.06	269.09	65.01	-	1.54	1.39

เอกสารนี้เป็นเอกสารที่สงวนไว้สำหรับการใช้งานเพื่อการศึกษาเท่านั้น ไม่อนุญาตให้นำไปใช้ประโยชน์ด้านการค้า  
ไม่ว่ากรณีใดๆทั้งสิ้น อีกทั้งห้ามมิให้ตัดแปลงเนื้อหา และต้องอ้างอิงถึงเจ้าของเอกสารทุกครั้งที่มีการนำไปใช้

ตารางที่ ข.22 ผลของอัตราส่วน w/v เท่ากับ 4.4 กิโลกรัม/ลูกบาศก์เมตรที่มีต่อการดูดซับสารละลายสีข้อม Reactive Blue 5 ความเข้มข้น 500 กรัม/ลูกบาศก์เมตรด้วยดินเหนียวไฮโดรทอลไลท์สังเคราะห์ ความจุอนุภาคที่ 35 องศาเซลเซียส

t (min)	Concentration in solution (g/m <sup>3</sup> )			เฉลี่ย	q <sub>t</sub> (g/kg)	log (q <sub>c</sub> -q <sub>t</sub> )	t/q	STD
	ครั้งที่1	ครั้งที่2	ครั้งที่3					
0	510.62	511.75	516.60	512.99	0.00	1.77	-	3.18
5	407.35	410.82	411.05	409.74	23.47	1.55	0.21	2.07
10	353.41	356.27	355.89	355.19	35.86	1.36	0.28	1.55
15	324.15	327.62	328.09	326.62	42.36	1.22	0.35	2.15
20	305.48	308.47	307.47	307.14	46.78	1.08	0.43	1.52
25	292.14	295.36	296.93	294.81	49.59	0.97	0.50	2.44
30	281.65	284.82	284.84	283.77	52.10	0.83	0.58	1.84
40	272.40	275.09	274.60	274.03	54.31	0.66	0.74	1.43
50	265.24	268.74	268.61	267.53	55.79	0.49	0.90	1.98
60	262.37	265.38	265.12	264.29	56.52	0.37	1.06	1.67
70	257.62	260.17	259.48	259.09	57.70	0.07	1.21	1.32
80	251.32	254.75	255.63	253.90	58.88	-	1.36	2.28
90	251.42	254.70	255.58	253.90	58.88	-	1.53	2.19
100	253.72	255.05	256.80	255.19	58.59	-0.53	1.71	1.54

เอกสารนี้เป็นเอกสารที่สงวนไว้สำหรับการใช้งานเพื่อการศึกษาเท่านั้น ไม่อนุญาตให้นำไปใช้ประโยชน์ด้านการค้า  
ไม่ว่ากรณีใดๆทั้งสิ้น อีกทั้งห้ามมิให้ตัดแปลงเนื้อหา และต้องอ้างอิงถึงเจ้าของเอกสารทุกครั้งที่มีการนำไปใช้

ตารางที่ ข.23 ผลของอัตราส่วน w/v เท่ากับ 5.2 กิโลกรัม/ลูกบาศก์เมตรที่มีต่อการดูดซับสารละลายสีย้อม Reactive Blue 5 ความเข้มข้น 500 กรัม/ลูกบาศก์เมตรด้วยดินเหนียวไฮโดรทาลไซต์สังเคราะห์ ความคุมอุณหภูมิที่ 35 องศาเซลเซียส

t (min)	Concentration in solution (g/m <sup>3</sup> )			เฉลี่ย	q <sub>t</sub> (g/kg)	log (q <sub>e</sub> -q <sub>t</sub> )	t/q	STD
	ครั้งที่1	ครั้งที่2	ครั้งที่3					
0	490.25	492.67	489.81	490.91	0.00	1.72	-	1.54
5	373.61	376.47	375.88	375.32	22.23	1.48	0.22	1.51
10	310.38	313.42	313.22	312.34	34.34	1.26	0.29	1.70
15	286.26	289.58	291.04	288.96	38.84	1.14	0.39	2.45
20	272.30	275.91	275.83	274.68	41.58	1.04	0.48	2.06
25	260.67	263.47	262.88	262.34	43.96	0.94	0.57	1.48
30	249.58	252.22	252.10	251.30	46.08	0.81	0.65	1.49
40	236.27	239.65	239.01	238.31	48.58	0.60	0.82	1.80
50	230.38	233.35	233.68	232.47	49.70	0.46	1.01	1.82
60	227.85	230.00	231.76	229.87	50.20	0.38	1.20	1.96
70	222.35	225.64	224.10	224.03	51.32	0.10	1.36	1.65
80	216.39	219.57	218.58	218.18	52.45	-0.90	1.53	1.63
90	216.30	219.85	218.39	218.18	52.45	-0.90	1.72	1.78
100	215.69	218.38	218.52	217.53	52.57	-	1.90	1.60

เอกสารนี้เป็นเอกสารที่สงวนไว้สำหรับการใช้งานเพื่อการศึกษาเท่านั้น ไม่อนุญาตให้นำไปใช้ประโยชน์ด้านการค้า  
ไม่ว่ากรณีใดๆทั้งสิ้น อีกทั้งห้ามมิให้ตัดแปลงเนื้อหา และต้องอ้างอิงถึงเจ้าของเอกสารทุกครั้งที่มีการนำไปใช้

ตารางที่ ข.24 ผลของอัตราส่วน w/v เท่ากับ 6.0 กิโลกรัม/ลูกบาศก์เมตรที่มีต่อการดูดซับสารละลายสีย้อม Reactive Blue 5 ความเข้มข้น 500 กรัม/ลูกบาศก์เมตรด้วยดินเหนียวไฮโดรทัลไซท์สังเคราะห์ ความจุอนุหภูมิที่ 35 องศาเซลเซียส

t (min)	Concentration in solution (g/m <sup>3</sup> )			เฉลี่ย	q <sub>t</sub> (g/kg)	log (q <sub>t</sub> -q <sub>∞</sub> )	t/q	STD
	ครั้งที่1	ครั้งที่2	ครั้งที่3					
0	496.65	496.74	496.47	496.62	0.00	1.69	-	0.14
5	360.85	362.10	362.90	361.95	22.45	1.43	0.22	1.03
10	310.62	312.25	311.03	311.30	30.89	1.27	0.32	0.85
15	284.21	286.95	286.75	285.97	35.11	1.15	0.43	1.53
20	271.66	273.27	274.04	272.99	37.27	1.08	0.54	1.21
25	256.68	258.34	257.18	257.40	39.87	0.98	0.63	0.85
30	244.95	246.38	245.80	245.71	41.82	0.88	0.72	0.72
40	226.10	228.73	227.76	227.53	44.85	0.66	0.89	1.33
50	216.38	218.46	216.58	217.14	46.58	0.45	1.07	1.15
60	210.48	212.75	210.67	211.30	47.55	0.26	1.26	1.26
70	204.31	206.65	205.39	205.45	48.53	-0.06	1.44	1.17
80	199.53	201.37	201.83	200.91	49.29	-0.97	1.62	1.22
90	199.50	201.30	199.98	200.26	49.39	-	1.82	0.93
100	199.58	200.99	202.16	200.91	49.29	-0.97	2.03	1.29

เอกสารนี้เป็นเอกสารที่สงวนไว้สำหรับการใช้งานเพื่อการศึกษาเท่านั้น ไม่อนุญาตให้นำไปใช้ประโยชน์ด้านการค้า  
ไม่ว่ากรณีใดๆทั้งสิ้น อีกทั้งห้ามมิให้ตัดแปลงเนื้อหา และต้องอ้างอิงถึงเจ้าของเอกสารทุกครั้งที่มีการนำไปใช้

ตารางที่ ข.25 ผลของอัตราส่วน w/v เท่ากับ 6.8 กิโลกรัม/ลูกบาศก์เมตรที่มีต่อการดูดซับสารละลายสีย้อม Reactive Blue 5 ความเข้มข้น 500 กรัม/ลูกบาศก์เมตรด้วยดินเหนียวไฮโดรทอลไซต์สังเคราะห์ ความคุมอุณหภูมิที่ 35 องศาเซลเซียส

t (min)	Concentration in solution (g/m <sup>3</sup> )			เฉลี่ย	q <sub>t</sub> (g/kg)	log (q <sub>e</sub> -q <sub>t</sub> )	t/q	STD
	ครั้งที่1	ครั้งที่2	ครั้งที่3					
0	498.72	495.14	496.00	496.62	0.00	1.67	-	1.87
5	339.56	342.51	341.44	341.17	22.86	1.39	0.22	1.49
10	287.35	290.47	291.79	289.87	30.40	1.23	0.33	2.28
15	263.30	266.85	267.37	265.84	33.94	1.13	0.44	2.22
20	247.38	250.16	251.29	249.61	36.33	1.04	0.55	2.01
25	232.95	235.10	235.99	234.68	38.52	0.94	0.65	1.56
30	218.37	221.64	221.16	220.39	40.62	0.83	0.74	1.77
40	202.26	205.48	204.74	204.16	43.01	0.63	0.93	1.69
50	193.45	196.33	195.40	195.06	44.35	0.47	1.13	1.47
60	183.61	186.48	185.87	185.32	45.78	0.18	1.31	1.51
70	179.25	182.62	182.42	181.43	46.35	-0.02	1.51	1.89
80	175.43	178.61	178.55	177.53	46.93	-0.42	1.70	1.82
90	172.84	175.18	176.80	174.94	47.31	-	1.90	1.99
100	175.52	179.25	179.77	178.18	46.83	-0.32	2.14	2.32

เอกสารนี้เป็นเอกสารที่สงวนไว้สำหรับการใช้งานเพื่อการศึกษาเท่านั้น ไม่อนุญาตให้นำไปใช้ประโยชน์ด้านการค้า  
ไม่ว่ากรณีใดๆทั้งสิ้น อีกทั้งห้ามมิให้ตัดแปลงเนื้อหา และต้องอ้างอิงถึงเจ้าของเอกสารทุกครั้งที่มีการนำไปใช้

ตารางที่ ข.26 ผลของอัตราส่วน w/v เท่ากับ 4.4 กิโลกรัม/ลูกบาศก์เมตรที่มีต่อการดูดซับสารละลายสีย้อม Reactive Blue 5 ความเข้มข้น 600 กรัม/ลูกบาศก์เมตรด้วยดินเหนียวไฮโดรทัลไซท์สังเคราะห์ ความจุอนุหภูมิที่ 35 องศาเซลเซียส

t (min)	Concentration in solution (g/m <sup>3</sup> )			เฉลี่ย	q <sub>t</sub> (g/kg)	log (q <sub>c</sub> -q <sub>t</sub> )	t/q	STD
	ครั้งที่1	ครั้งที่2	ครั้งที่3					
0	592.14	590.63	589.12	590.63	0.00	1.80	-	1.51
5	448.58	451.12	450.69	450.13	31.93	1.50	0.16	1.36
10	410.69	413.56	412.20	412.15	40.56	1.36	0.25	1.44
15	384.51	387.70	388.31	386.84	46.32	1.24	0.32	2.04
20	372.26	375.19	376.11	374.18	49.19	1.16	0.41	2.01
25	359.54	362.52	362.50	361.52	52.07	1.06	0.48	1.71
30	353.42	356.41	355.74	355.19	53.51	1.00	0.56	1.57
40	338.58	341.00	340.42	340.00	56.96	0.82	0.70	1.26
50	327.18	330.68	331.75	329.87	59.26	0.64	0.84	2.39
60	321.87	324.22	324.53	323.54	60.70	0.46	0.99	1.45
70	315.70	318.42	317.54	317.22	62.14	0.16	1.13	1.39
80	312.07	315.51	316.46	314.68	62.72	-0.06	1.28	2.31
90	308.84	311.19	312.64	310.89	63.58	-	1.42	1.92
100	310.22	313.87	316.17	313.42	63.00	-0.24	1.59	3.00

เอกสารนี้เป็นเอกสารที่สงวนไว้สำหรับการใช้งานเพื่อการศึกษาเท่านั้น ไม่อนุญาตให้นำไปใช้ประโยชน์ด้านการค้า  
ไม่ว่ากรณีใดๆทั้งสิ้น อีกทั้งห้ามมิให้ตัดแปลงเนื้อหา และต้องอ้างอิงถึงเจ้าของเอกสารทุกครั้งที่มีการนำไปใช้

ตารางที่ ข.27 ผลของอัตราส่วน w/v เท่ากับ 5.2 กิโลกรัม/ลูกบาศก์เมตรที่มีต่อการดูดซับสารละลายสีย้อม Reactive Blue 5 ความเข้มข้น 600 กรัม/ลูกบาศก์เมตรด้วยดินเหนียวไฮโดรทัลไซท์สังเคราะห์ ความจุอนุภาคที่ 35 องศาเซลเซียส

t (min)	Concentration in solution (g/m <sup>3</sup> )			เฉลี่ย	q <sub>t</sub> (g/kg)	log (q <sub>e</sub> -q <sub>t</sub> )	t/q	STD
	ครั้งที่1	ครั้งที่2	ครั้งที่3					
0	605.16	606.45	609.66	607.09	0.00	1.75	-	2.32
5	482.47	485.78	485.43	484.56	23.56	1.51	0.21	1.82
10	422.60	425.33	425.36	424.43	35.13	1.32	0.28	1.58
15	393.66	396.47	397.72	395.95	40.60	1.18	0.37	2.08
20	378.84	381.21	380.34	380.13	43.65	1.09	0.46	1.20
25	365.95	368.70	367.76	367.47	46.08	0.99	0.54	1.40
30	355.99	358.33	359.59	357.97	47.91	0.90	0.63	1.83
40	340.21	343.60	342.64	342.15	50.95	0.69	0.79	1.75
50	330.16	333.47	334.35	332.66	52.78	0.48	0.95	2.21
60	324.97	327.82	326.20	326.33	53.99	0.26	1.11	1.43
70	321.60	324.47	323.41	323.16	54.60	0.09	1.28	1.45
80	318.47	321.82	319.71	320.00	55.21	-0.22	1.45	1.69
90	315.22	318.70	318.49	317.47	55.70	-0.91	1.62	1.95
100	314.33	317.60	318.59	316.84	55.82	-	1.79	2.23

เอกสารนี้เป็นเอกสารที่สงวนไว้สำหรับการใช้งานเพื่อการศึกษาเท่านั้น ไม่อนุญาตให้นำไปใช้ประโยชน์ด้านการค้า  
ไม่ว่ากรณีใดๆทั้งสิ้น อีกทั้งห้ามมิให้ตัดแปลงเนื้อหา และต้องอ้างอิงถึงเจ้าของเอกสารทุกครั้งที่มีการนำไปใช้

ตารางที่ ข.28 ผลของอัตราส่วน w/v เท่ากับ 6.0 กิโลกรัม/ลูกบาศก์เมตรที่มีต่อการดูดซับสารละลายสีย้อม Reactive Blue 5 ความเข้มข้น 600 กรัม/ลูกบาศก์เมตรด้วยดินเหนียวไฮโดรทาลไซต์สังเคราะห์ ความจุอนุภาคที่ 35 องศาเซลเซียส

t (min)	Concentration in solution (g/m <sup>3</sup> )			เฉลี่ย	q <sub>t</sub> (g/kg)	log (q <sub>e</sub> -q <sub>t</sub> )	t/q	STD
	ครั้งที่1	ครั้งที่2	ครั้งที่3					
0	600.15	599.47	598.85	599.49	0.00	1.72	-	0.65
5	456.87	458.16	458.88	457.97	23.59	1.47	0.21	1.02
10	405.64	407.38	405.22	406.08	32.24	1.32	0.31	1.15
15	378.35	380.19	379.93	379.49	36.67	1.21	0.41	1.00
20	358.91	360.87	359.83	359.87	39.94	1.11	0.50	0.98
25	345.19	347.03	347.52	346.58	42.15	1.03	0.59	1.23
30	333.38	335.66	334.64	334.56	44.16	0.94	0.68	1.14
40	312.08	314.91	314.02	313.67	47.64	0.72	0.84	1.45
50	305.15	307.96	305.13	306.08	48.90	0.60	1.02	1.63
60	293.80	295.49	294.75	294.68	50.80	0.32	1.18	0.85
70	287.67	289.03	288.35	288.35	51.86	0.02	1.35	0.68
80	284.93	286.45	284.19	285.19	52.38	-0.28	1.53	1.15
90	281.60	283.15	281.34	282.03	52.91	-	1.70	0.98
100	282.52	284.25	281.21	282.66	52.81	-0.98	1.89	1.52

เอกสารนี้เป็นเอกสารที่สงวนไว้สำหรับการใช้งานเพื่อการศึกษาเท่านั้น ไม่อนุญาตให้นำไปใช้ประโยชน์ด้านการค้า  
ไม่ว่ากรณีใดๆทั้งสิ้น อีกทั้งห้ามมิให้ตัดแปลงเนื้อหา และต้องอ้างอิงถึงเจ้าของเอกสารทุกครั้งที่มีการนำไปใช้

ตารางที่ ข.29 ผลของอัตราส่วน w/v เท่ากับ 6.8 กิโลกรัม/ลูกบาศก์เมตรที่มีต่อการดูดซับสารละลายสีย้อม Reactive Blue 5 ความเข้มข้น 600 กรัม/ลูกบาศก์เมตรด้วยดินเหนียวไฮโดรทาลไซต์สังเคราะห์ ความจุอนุภาคที่ 35 องศาเซลเซียส

t (min)	Concentration in solution (g/m <sup>3</sup> )			เฉลี่ย	q <sub>t</sub> (g/kg)	log (q <sub>e</sub> -q <sub>t</sub> )	t/q	STD
	ครั้งที่1	ครั้งที่2	ครั้งที่3					
0	602.15	602.51	603.32	602.66	0.00	1.69	-	0.60
5	452.86	455.18	455.43	454.49	21.79	1.44	0.23	1.42
10	397.42	400.75	400.12	399.43	29.89	1.28	0.33	1.77
15	367.20	370.48	369.47	369.05	34.35	1.17	0.44	1.68
20	348.71	351.38	350.09	350.06	37.15	1.08	0.54	1.34
25	332.87	336.65	337.01	335.51	39.29	0.99	0.64	2.29
30	320.22	323.48	324.85	322.85	41.15	0.90	0.73	2.38
40	305.71	308.60	306.78	307.03	43.48	0.75	0.92	1.46
50	289.25	292.38	291.97	291.20	45.80	0.51	1.09	1.70
60	279.69	282.51	282.93	281.71	47.20	0.27	1.27	1.76
70	273.58	276.39	276.17	275.38	48.13	-0.03	1.45	1.56
80	270.75	273.20	272.71	272.22	48.59	-0.33	1.65	1.30
90	268.57	271.42	270.97	270.32	48.87	-0.73	1.84	1.53
100	267.52	270.80	268.83	269.05	49.06	-	2.04	1.65

เอกสารนี้เป็นเอกสารที่สงวนไว้สำหรับการใช้งานเพื่อการศึกษาเท่านั้น ไม่อนุญาตให้นำไปใช้ประโยชน์ด้านการค้า  
ไม่ว่ากรณีใดๆทั้งสิ้น อีกทั้งห้ามมิให้ตัดแปลงเนื้อหา และต้องอ้างอิงถึงเจ้าของเอกสารทุกครั้งที่มีการนำไปใช้

ตารางที่ ข.30 ผลของอัตราส่วน w/v เท่ากับ 7.6 กิโลกรัม/ลูกบาศก์เมตรที่มีต่อการดูดซับสารละลายสีย้อม Reactive Blue 5 ความเข้มข้น 600 กรัม/ลูกบาศก์เมตรด้วยดินเหนียวไฮโดรทัลไซท์สังเคราะห์ ความจุอนุภาคที่ 35 องศาเซลเซียส

t (min)	Concentration in solution (g/m <sup>3</sup> )			เฉลี่ย	q <sub>t</sub> (g/kg)	log (q <sub>e</sub> -q <sub>t</sub> )	t/q	STD
	ครั้งที่1	ครั้งที่2	ครั้งที่3					
0	589.45	588.42	588.32	588.73	0.00	1.64	-	0.63
5	432.35	434.16	434.32	433.61	20.41	1.38	0.24	1.09
10	375.70	377.65	376.60	376.65	27.91	1.21	0.36	0.98
15	347.54	349.23	347.71	348.16	31.65	1.10	0.47	0.93
20	325.72	327.06	325.25	326.01	34.57	0.98	0.58	0.94
25	312.61	314.69	312.75	313.35	36.23	0.90	0.69	1.16
30	299.39	301.74	300.97	300.70	37.90	0.80	0.79	1.20
40	287.39	289.16	287.57	288.04	39.57	0.66	1.01	0.97
50	277.65	279.85	278.12	278.54	40.81	0.52	1.23	1.16
60	268.73	270.57	267.85	269.05	42.06	0.32	1.43	1.39
70	261.25	263.90	263.01	262.72	42.90	0.10	1.63	1.35
80	255.36	257.42	256.39	256.39	43.73	-0.38	1.83	1.03
90	252.15	254.70	254.73	253.86	44.06	-1.08	2.04	1.48
100	252.25	254.57	252.87	253.23	44.15	-	2.27	1.20

เอกสารนี้เป็นเอกสารที่สงวนไว้สำหรับการใช้งานเพื่อการศึกษาเท่านั้น ไม่อนุญาตให้นำไปใช้ประโยชน์ด้านการค้า  
ไม่ว่ากรณีใดๆทั้งสิ้น อีกทั้งห้ามมิให้ตัดแปลงเนื้อหา และต้องอ้างอิงถึงเจ้าของเอกสารทุกครั้งที่มีการนำไปใช้

ตารางที่ ข.31 ผลของอัตราส่วน w/v เท่ากับ 5.2 กิโลกรัม/ลูกบาศก์เมตรที่มีต่อการดูดซับสารละลายสีข้อม Reactive Blue 5 ความเข้มข้น 700 กรัม/ลูกบาศก์เมตรด้วยดินเหนียวไฮโดรทลไซท์สังเคราะห์ ความจุอนุภาคที่ 35 องศาเซลเซียส

t (min)	Concentration in solution (g/m <sup>3</sup> )			เฉลี่ย	q <sub>t</sub> (g/kg)	log(q <sub>e</sub> -q <sub>t</sub> )	t/q	STD
	ครั้งที่1	ครั้งที่2	ครั้งที่3					
0	707.25	712.47	712.56	710.76	0.00	1.80	-	3.04
5	548.76	551.34	549.90	550.00	30.92	1.50	0.16	1.29
10	475.37	478.77	479.41	477.85	44.79	1.25	0.22	2.17
15	442.16	445.69	446.97	444.94	51.12	1.06	0.29	2.49
20	421.85	424.17	424.24	423.42	55.26	0.86	0.36	1.36
25	415.97	418.44	416.86	417.09	56.48	0.78	0.44	1.25
30	408.48	411.72	412.08	410.76	57.69	0.69	0.52	1.98
40	401.56	404.42	403.50	403.16	59.15	0.53	0.68	1.46
50	396.18	399.77	398.35	398.10	60.13	0.39	0.83	1.81
60	389.37	392.15	393.79	391.77	61.34	0.09	0.98	2.23
70	385.56	388.99	389.36	387.97	62.07	-0.31	1.13	2.10
80	383.69	386.70	385.93	385.44	62.56	-	1.28	1.56
90	385.75	388.42	389.74	387.97	62.07	-0.31	1.45	2.03
100	385.72	387.32	387.09	386.71	62.32	-0.61	1.60	0.87

เอกสารนี้เป็นเอกสารที่สงวนไว้สำหรับการใช้งานเพื่อการศึกษาเท่านั้น ไม่อนุญาตให้นำไปใช้ประโยชน์ด้านการค้า  
ไม่ว่ากรณีใดๆทั้งสิ้น อีกทั้งห้ามมิให้ตัดแปลงเนื้อหา และต้องอ้างอิงถึงเจ้าของเอกสารทุกครั้งที่มีการนำไปใช้

ตารางที่ ข.32 ผลของอัตราส่วน w/v เท่ากับ 6.0 กิโลกรัม/ลูกบาศก์เมตรที่มีต่อการดูดซับสารละลายสีข้อม Reactive Blue 5 ความเข้มข้น 700 กรัม/ลูกบาศก์เมตรด้วยดินเหนียวไฮโดรทัลไซต์สังเคราะห์ ความจุอนุภาคที่ 35 องศาเซลเซียส

t (min)	Concentration in solution (g/m <sup>3</sup> )			เฉลี่ย	q <sub>t</sub> (g/kg)	log (q <sub>e</sub> -q <sub>t</sub> )	t/q	STD
	ครั้งที่1	ครั้งที่2	ครั้งที่3					
0	691.52	693.21	693.52	692.75	0.00	1.75	-	1.08
5	546.33	548.25	548.67	547.75	24.17	1.51	0.21	1.25
10	459.75	461.00	460.00	460.25	38.75	1.26	0.26	0.66
15	428.50	430.96	427.54	429.00	43.96	1.11	0.34	1.76
20	409.08	411.25	410.42	410.25	47.08	0.99	0.42	1.09
25	396.27	398.46	398.52	397.75	49.17	0.89	0.51	1.28
30	383.88	385.41	382.71	384.00	51.46	0.73	0.58	1.35
40	371.67	373.18	373.40	372.75	53.33	0.55	0.75	0.94
50	365.33	367.46	366.71	366.50	54.38	0.40	0.92	1.08
60	356.28	358.43	358.54	357.75	55.83	0.02	1.07	1.27
70	354.86	356.37	354.52	355.25	56.25	-0.20	1.24	0.98
80	353.76	355.51	352.73	354.00	56.46	-0.38	1.42	1.41
90	350.04	352.65	351.81	351.50	56.88	-	1.58	1.33
100	353.57	355.38	353.05	354.00	56.46	-0.38	1.77	1.22

เอกสารนี้เป็นเอกสารที่สงวนไว้สำหรับการใช้งานเพื่อการศึกษาเท่านั้น ไม่อนุญาตให้นำไปใช้ประโยชน์ด้านการค้า  
ไม่ว่ากรณีใดๆทั้งสิ้น อีกทั้งห้ามมิให้ตัดแปลงเนื้อหา และต้องอ้างอิงถึงเจ้าของเอกสารทุกครั้งที่มีการนำไปใช้

ตารางที่ ข.33 ผลของอัตราส่วน w/v เท่ากับ 6.8 กิโลกรัม/ลูกบาศก์เมตรที่มีต่อการดูดซับสารละลายสีย้อม Reactive Blue 5 ความเข้มข้น 700 กรัม/ลูกบาศก์เมตรด้วยดินเหนียวไฮโดรทัลไซท์สังเคราะห์ ควบคุมอุณหภูมิที่ 35 องศาเซลเซียส

t (min)	Concentration in solution (g/m <sup>3</sup> )			เฉลี่ย	q <sub>t</sub> (g/kg)	log (q <sub>e</sub> -q <sub>t</sub> )	t/q	STD
	ครั้งที่1	ครั้งที่2	ครั้งที่3					
0	713.63	713.31	715.96	714.30	0.00	1.73	-	1.45
5	543.88	545.64	544.52	544.68	22.38	1.50	0.22	0.89
10	451.27	453.75	451.82	452.28	35.96	1.25	0.28	1.30
15	413.35	415.65	413.90	414.30	41.55	1.08	0.36	1.20
20	387.42	389.80	389.75	388.99	45.27	0.92	0.44	1.36
25	375.27	377.16	376.56	376.33	47.13	0.81	0.53	0.97
30	362.65	364.45	363.91	363.67	48.99	0.67	0.61	0.92
40	350.48	352.63	349.92	351.01	50.86	0.45	0.79	1.43
50	343.94	345.28	344.82	344.68	51.79	0.27	0.97	0.68
60	337.07	339.74	338.24	338.35	52.72	-0.03	1.14	1.34
70	333.72	335.61	334.35	334.56	53.28	-0.43	1.31	0.96
80	331.26	333.86	330.97	332.03	53.65	-	1.49	1.59
90	333.18	335.84	334.66	334.56	53.28	-0.43	1.69	1.33
100	332.55	333.64	329.90	332.03	53.65	-	1.86	1.92

เอกสารนี้เป็นเอกสารที่สงวนไว้สำหรับการใช้งานเพื่อการศึกษาเท่านั้น ไม่อนุญาตให้นำไปใช้ประโยชน์ด้านการค้า  
ไม่ว่ากรณีใดๆทั้งสิ้น อีกทั้งห้ามมิให้ตัดแปลงเนื้อหา และต้องอ้างอิงถึงเจ้าของเอกสารทุกครั้งที่มีการนำไปใช้

ตารางที่ ข.34 ผลของอัตราส่วน w/v เท่ากับ 7.6 กิโลกรัม/ลูกบาศก์เมตรที่มีต่อการดูดซับสารละลายสีย้อม Reactive Blue 5 ความเข้มข้น 700 กรัม/ลูกบาศก์เมตรด้วยดินเหนียวไฮโดรทัลไลท์สังเคราะห์ ความจุอนุภาคที่ 35 องศาเซลเซียส

t (min)	Concentration in solution (g/m <sup>3</sup> )			เฉลี่ย	q <sub>t</sub> (g/kg)	log (q <sub>e</sub> -q <sub>t</sub> )	t/q	STD
	ครั้งที่1	ครั้งที่2	ครั้งที่3					
0	714.27	713.63	715.78	714.56	0.00	1.69	-	1.10
5	558.77	560.15	558.62	559.18	20.44	1.45	0.24	0.84
10	456.44	458.66	458.63	457.91	33.77	1.18	0.30	1.27
15	408.81	410.26	408.47	409.18	40.18	0.94	0.37	0.95
20	387.50	389.72	389.54	388.92	42.85	0.78	0.47	1.23
25	375.12	377.35	376.34	376.27	44.51	0.64	0.56	1.12
30	365.81	367.28	367.22	366.77	45.76	0.50	0.66	0.83
40	351.28	353.67	353.60	352.85	47.59	0.12	0.84	1.36
50	346.07	348.34	348.93	347.78	48.26	-0.18	1.04	1.51
60	343.48	345.68	344.70	344.62	48.68	-0.60	1.23	1.10
70	344.23	346.18	347.26	345.89	48.51	-0.38	1.44	1.54
80	344.10	346.25	347.32	345.89	48.51	-0.38	1.65	1.64
90	340.39	342.66	341.33	341.46	49.09	-	1.83	1.14
100	341.38	343.18	343.60	342.72	48.93	-	2.04	1.18

เอกสารนี้เป็นเอกสารที่สงวนไว้สำหรับการใช้งานเพื่อการศึกษาเท่านั้น ไม่อนุญาตให้นำไปใช้ประโยชน์ด้านการค้า  
ไม่ว่ากรณีใดๆทั้งสิ้น อีกทั้งห้ามมิให้ตัดแปลงเนื้อหา และต้องอ้างอิงถึงเจ้าของเอกสารทุกครั้งที่มีการนำไปใช้

ตารางที่ ข.35 ผลของอัตราส่วน w/v เท่ากับ 8.4 กิโลกรัม/ลูกบาศก์เมตรที่มีต่อการดูดซับสารละลายสีย้อม Reactive Blue 5 ความเข้มข้น 700 กรัม/ลูกบาศก์เมตรด้วยดินเหนียวไฮโดรทัลไลท์สังเคราะห์ ความคุมอุณหภูมิที่ 35 องศาเซลเซียส

t (min)	Concentration in solution (g/m <sup>3</sup> )			เฉลี่ย	q <sub>t</sub> (g/kg)	log (q <sub>e</sub> -q <sub>t</sub> )	t/q	STD
	ครั้งที่1	ครั้งที่2	ครั้งที่3					
0	701.48	701.37	702.85	701.90	0.00	1.67	-	0.82
5	524.46	526.14	524.40	525.00	21.06	1.40	0.24	0.99
10	438.27	440.58	439.83	439.56	31.23	1.18	0.32	1.18
15	392.32	394.55	395.10	393.99	36.66	0.99	0.41	1.47
20	372.74	374.65	371.91	373.10	39.14	0.86	0.51	1.41
25	356.28	358.60	356.96	357.28	41.03	0.73	0.61	1.19
30	340.45	342.51	341.42	341.46	42.91	0.55	0.70	1.03
40	330.17	332.39	331.43	331.33	44.12	0.37	0.91	1.11
50	324.32	326.90	323.78	325.00	44.87	0.20	1.11	1.67
60	315.47	317.64	315.31	316.14	45.92	-0.28	1.31	1.30
70	315.42	317.21	315.79	316.14	45.92	-0.28	1.52	0.94
80	318.37	320.28	319.25	319.30	45.55	-0.04	1.76	0.96
90	312.88	314.48	313.47	313.61	46.23	-0.65	1.95	0.81
100	310.99	312.65	311.49	311.71	46.45	-	2.15	0.85

เอกสารนี้เป็นเอกสารที่สงวนไว้สำหรับการใช้งานเพื่อการศึกษาเท่านั้น ไม่อนุญาตให้นำไปใช้ประโยชน์ด้านการค้า  
ไม่ว่ากรณีใดๆทั้งสิ้น อีกทั้งห้ามมิให้ตัดแปลงเนื้อหา และต้องอ้างอิงถึงเจ้าของเอกสารทุกครั้งที่มีการนำไปใช้

ตารางที่ ข.36 ผลของอัตราส่วน w/v เท่ากับ 6.0 กิโลกรัม/ลูกบาศก์เมตรที่มีต่อการดูดซับสารละลายสีย้อม Reactive Blue 5 ความเข้มข้น 800 กรัม/ลูกบาศก์เมตรด้วยดินเหนียวไฮโดรทาลไซท์สังเคราะห์ ความจุอนุภาคที่ 35 องศาเซลเซียส

t (min)	Concentration in solution (g/m <sup>3</sup> )			เฉลี่ย	q <sub>t</sub> (g/kg)	log (q <sub>c</sub> -q <sub>t</sub> )	t/q	STD
	ครั้งที่1	ครั้งที่2	ครั้งที่3					
0	798.14	798.57	796.66	797.79	0.00	1.73	-	1.00
5	653.48	655.62	655.72	654.94	23.81	1.48	0.21	1.27
10	589.08	591.95	588.97	590.00	34.63	1.29	0.29	1.69
15	556.45	558.62	557.52	557.53	40.04	1.15	0.37	1.09
20	539.78	541.60	540.57	540.65	42.86	1.05	0.47	0.91
25	524.87	526.77	523.54	525.06	45.45	0.94	0.55	1.62
30	511.18	513.62	511.44	512.08	47.62	0.81	0.63	1.34
40	498.36	500.15	498.76	499.09	49.78	0.64	0.80	0.94
50	491.66	493.12	493.02	492.60	50.87	0.51	0.98	0.82
60	485.48	487.70	485.12	486.10	51.95	0.34	1.16	1.40
70	478.05	480.58	480.20	479.61	53.03	0.03	1.32	1.36
80	474.78	476.61	475.74	475.71	53.68	-0.36	1.49	0.92
90	472.96	474.64	471.76	473.12	54.11	-	1.66	1.45
100	472.51	474.82	472.03	473.12	54.11	-	1.85	1.49

เอกสารนี้เป็นเอกสารที่สงวนไว้สำหรับการใช้งานเพื่อการศึกษาเท่านั้น ไม่อนุญาตให้นำไปใช้ประโยชน์ด้านการค้า  
ไม่ว่ากรณีใดๆทั้งสิ้น อีกทั้งห้ามมิให้ตัดแปลงเนื้อหา และต้องอ้างอิงถึงเจ้าของเอกสารทุกครั้งที่มีการนำไปใช้

ตารางที่ ข.37 ผลของอัตราส่วน w/v เท่ากับ 6.8 กิโลกรัม/ลูกบาศก์เมตรที่มีต่อการดูดซับสารละลายสีย้อม Reactive Blue 5 ความเข้มข้น 800 กรัม/ลูกบาศก์เมตรด้วยดินเหนียวไฮโดรทาลไซท์สังเคราะห์ ความจุอนุภาคที่ 35 องศาเซลเซียส

t (min)	Concentration in solution (g/m <sup>3</sup> )			เฉลี่ย	q <sub>t</sub> (g/kg)	log (q <sub>c</sub> -q <sub>t</sub> )	t/q	STD
	ครั้งที่1	ครั้งที่2	ครั้งที่3					
0	806.57	805.39	808.68	806.88	0.00	1.66	-	1.67
5	673.84	675.53	673.89	674.42	19.48	1.43	0.26	0.96
10	595.48	597.57	596.42	596.49	30.94	1.18	0.32	1.05
15	569.04	571.27	571.25	570.52	34.76	1.06	0.43	1.28
20	550.65	552.40	550.07	551.04	37.62	0.93	0.53	1.21
25	537.25	539.66	537.24	538.05	39.53	0.83	0.63	1.39
30	530.58	532.78	531.32	531.56	40.49	0.76	0.74	1.12
40	517.94	519.36	518.41	518.57	42.40	0.58	0.94	0.72
50	511.22	513.49	511.53	512.08	43.35	0.46	1.15	1.23
60	504.42	506.84	505.48	505.58	44.31	0.28	1.35	1.21
70	498.75	500.52	498.00	499.09	45.26	-0.02	1.55	1.29
80	495.13	497.02	497.32	496.49	45.65	-0.24	1.75	1.19
90	491.33	493.47	493.00	492.60	46.22	-	1.95	1.12
100	491.74	493.51	492.55	492.60	46.22	-	2.16	0.89

เอกสารนี้เป็นเอกสารที่สงวนไว้สำหรับการใช้งานเพื่อการศึกษาเท่านั้น ไม่อนุญาตให้นำไปใช้ประโยชน์ด้านการค้า  
ไม่ว่ากรณีใดๆทั้งสิ้น อีกทั้งห้ามมิให้ตัดแปลงเนื้อหา และต้องอ้างอิงถึงเจ้าของเอกสารทุกครั้งที่มีการนำไปใช้

ตารางที่ ข.38 ผลของอัตราส่วน w/v เท่ากับ 7.6 กิโลกรัม/ลูกบาศก์เมตรที่มีต่อการดูดซับสารละลายสีย้อม Reactive Blue 5 ความเข้มข้น 800 กรัม/ลูกบาศก์เมตรด้วยดินเหนียวไฮโดรทัลไซท์สังเคราะห์ ความจุอนุหภูมิที่ 35 องศาเซลเซียส

t (min)	Concentration in solution (g/m <sup>3</sup> )			เฉลี่ย	q <sub>t</sub> (g/kg)	log (q <sub>∞</sub> -q <sub>t</sub> )	t/q	STD
	ครั้งที่1	ครั้งที่2	ครั้งที่3					
0	808.54	809.37	808.58	808.83	0.00	1.62	-	0.47
5	670.92	672.34	670.25	671.17	18.11	1.38	0.28	1.07
10	592.48	594.09	593.18	593.25	28.37	1.14	0.35	0.81
15	566.35	568.34	567.12	567.27	31.78	1.01	0.47	1.00
20	546.25	548.67	548.45	547.79	34.35	0.89	0.58	1.34
25	533.18	535.84	535.41	534.81	36.06	0.78	0.69	1.43
30	527.08	529.11	528.74	528.31	36.91	0.71	0.81	1.08
40	514.32	516.48	515.16	515.32	38.62	0.53	1.04	1.09
50	507.39	509.82	509.28	508.83	39.47	0.41	1.27	1.28
60	501.33	503.77	501.92	502.34	40.33	0.23	1.49	1.27
70	494.16	496.27	497.09	495.84	41.18	-0.07	1.70	1.51
80	492.27	494.83	492.65	493.25	41.52	-0.29	1.93	1.38
90	488.74	490.64	488.67	489.35	42.04	-	2.14	1.12
100	488.71	490.81	488.53	489.35	42.04	-	2.38	1.27

เอกสารนี้เป็นเอกสารที่สงวนไว้สำหรับการใช้งานเพื่อการศึกษาเท่านั้น ไม่อนุญาตให้นำไปใช้ประโยชน์ด้านการค้า  
ไม่ว่ากรณีใดๆทั้งสิ้น อีกทั้งห้ามมิให้คัดแปลงเนื้อหา และต้องอ้างอิงถึงเจ้าของเอกสารทุกครั้งที่มีการนำไปใช้

ตารางที่ ข.39 ผลของอัตราส่วน w/v เท่ากับ 8.4 กิโลกรัม/ลูกบาศก์เมตรที่มีต่อการดูดซับสารละลายสีย้อม Reactive Blue 5 ความเข้มข้น 800 กรัม/ลูกบาศก์เมตรด้วยดินเหนียวไฮโดรทัลไลท์สังเคราะห์ ความจุอนุภาคที่ 35 องศาเซลเซียส

t (min)	Concentration in solution (g/m <sup>3</sup> )			เฉลี่ย	q <sub>t</sub> (g/kg)	log (q <sub>c</sub> -q <sub>t</sub> )	t/q	STD
	ครั้งที่1	ครั้งที่2	ครั้งที่3					
0	799.31	798.47	797.54	798.44	0.00	1.58	-	0.89
5	648.82	650.30	648.15	649.09	17.78	1.31	0.28	1.10
10	605.48	607.19	606.02	606.23	22.88	1.19	0.44	0.87
15	579.47	581.37	579.94	580.26	25.97	1.09	0.58	0.99
20	553.28	555.78	553.81	554.29	29.07	0.97	0.69	1.32
25	540.36	542.06	541.48	541.30	30.61	0.89	0.82	0.86
30	520.58	522.37	522.51	521.82	32.93	0.73	0.91	1.08
40	505.27	507.77	505.65	506.23	34.79	0.55	1.15	1.35
50	494.84	496.63	496.05	495.84	36.02	0.37	1.39	0.91
60	488.43	490.95	488.67	489.35	36.80	0.19	1.63	1.39
70	481.54	483.50	483.54	482.86	37.57	-0.11	1.86	1.14
80	479.22	481.17	480.39	480.26	37.88	-0.33	2.11	0.98
90	475.64	477.73	475.71	476.36	38.34	-	2.35	1.19
100	476.38	478.30	478.30	477.66	38.19	-0.81	2.62	1.11

เอกสารนี้เป็นเอกสารที่สงวนไว้สำหรับการใช้งานเพื่อการศึกษาเท่านั้น ไม่อนุญาตให้นำไปใช้ประโยชน์ด้านการค้า  
ไม่ว่ากรณีใดๆทั้งสิ้น อีกทั้งห้ามมิให้ตัดแปลงเนื้อหา และต้องอ้างอิงถึงเจ้าของเอกสารทุกครั้งที่มีการนำไปใช้

ตารางที่ ข.40 ผลของอัตราส่วน w/v เท่ากับ 9.2 กิโลกรัม/ลูกบาศก์เมตรที่มีต่อการดูดซับสารละลายสีย้อม Reactive Blue 5 ความเข้มข้น 800 กรัม/ลูกบาศก์เมตรด้วยดินเหนียวไฮโดรทัลไลท์สังเคราะห์ ความจุอนุภาคที่ 35 องศาเซลเซียส

t (min)	Concentration in solution (g/m <sup>3</sup> )			เฉลี่ย	q <sub>t</sub> (g/kg)	log (q <sub>e</sub> -q <sub>t</sub> )	t/q	STD
	ครั้งที่1	ครั้งที่2	ครั้งที่3					
0	799.42	800.12	800.07	799.87	0.00	1.56	-	0.39
5	657.68	658.32	658.93	658.31	15.39	1.31	0.32	0.63
10	611.88	613.39	613.31	612.86	20.33	1.20	0.49	0.85
15	579.67	581.75	579.75	580.39	23.86	1.08	0.63	1.18
20	553.36	555.72	554.18	554.42	26.68	0.97	0.75	1.20
25	533.58	535.40	535.84	534.94	28.80	0.86	0.87	1.20
30	511.60	513.94	513.04	512.86	31.20	0.68	0.96	1.18
40	493.74	495.27	495.03	494.68	33.17	0.45	1.21	0.82
50	481.57	483.38	484.02	482.99	34.44	0.19	1.45	1.27
60	469.85	471.10	469.05	470.00	35.86	-0.85	1.67	1.03
70	467.08	469.33	469.69	468.70	36.00	-	1.94	1.41
80	469.20	471.27	469.53	470.00	35.86	-0.85	2.23	1.11
90	471.38	473.56	472.86	472.60	35.57	-0.37	2.53	1.11
100	470.84	471.25	467.91	470.00	35.86	-0.85	2.79	1.82

เอกสารนี้เป็นเอกสารที่สงวนไว้สำหรับการใช้งานเพื่อการศึกษาเท่านั้น ไม่อนุญาตให้นำไปใช้ประโยชน์ด้านการค้า  
ไม่ว่ากรณีใดๆทั้งสิ้น อีกทั้งห้ามมิให้ตัดแปลงเนื้อหา และต้องอ้างอิงถึงเจ้าของเอกสารทุกครั้งที่มีการนำไปใช้

ตารางที่ ข.41 ผลของอัตราส่วน w/v เท่ากับ 6.8 กิโลกรัม/ลูกบาศก์เมตรที่มีต่อการดูดซับสารละลายสีข้อม Reactive Blue 5 ความเข้มข้น 900 กรัม/ลูกบาศก์เมตรด้วยดินเหนียวไฮโดรทัลไลท์สังเคราะห์ ควบคุมอุณหภูมิที่ 35 องศาเซลเซียส

t (min)	Concentration in solution (g/m <sup>3</sup> )			เฉลี่ย	q <sub>t</sub> (g/kg)	log (q <sub>e</sub> -q <sub>t</sub> )	t/q	STD
	ครั้งที่1	ครั้งที่2	ครั้งที่3					
0	896.48	895.62	895.03	895.71	0.00	1.62	-	0.73
5	767.06	769.37	768.89	768.44	18.72	1.35	0.27	1.22
10	715.56	717.73	716.18	716.49	26.36	1.17	0.38	1.12
15	689.58	691.82	690.16	690.52	30.18	1.04	0.50	1.16
20	670.27	672.83	670.02	671.04	33.04	0.91	0.61	1.56
25	657.18	659.50	657.47	658.05	34.95	0.80	0.72	1.26
30	650.49	652.72	651.47	651.56	35.91	0.73	0.84	1.12
40	642.75	644.38	644.18	643.77	37.05	0.62	1.08	0.89
50	637.57	639.22	638.92	638.57	37.82	0.54	1.32	0.88
60	631.17	633.49	631.58	632.08	38.77	0.39	1.55	1.24
70	624.55	626.44	625.75	625.58	39.72	0.18	1.76	0.96
80	618.37	620.82	618.08	619.09	40.68	-0.24	1.97	1.51
90	614.47	616.85	614.25	615.19	41.25	-	2.18	1.44
100	614.36	616.70	614.51	615.19	41.25	-	2.42	1.31

เอกสารนี้เป็นเอกสารที่สงวนไว้สำหรับการใช้งานเพื่อการศึกษาเท่านั้น ไม่อนุญาตให้นำไปใช้ประโยชน์ด้านการค้า  
ไม่ว่ากรณีใดๆทั้งสิ้น อีกทั้งห้ามมิให้ตัดแปลงเนื้อหา และต้องอ้างอิงถึงเจ้าของเอกสารทุกครั้งที่มีการนำไปใช้

ตารางที่ ข.42 ผลของอัตราส่วน w/v เท่ากับ 7.6 กิโลกรัม/ลูกบาศก์เมตรที่มีต่อการดูดซับสารละลายสีย้อม Reactive Blue 5 ความเข้มข้น 900 กรัม/ลูกบาศก์เมตรด้วยดินเหนียวไฮโดรทัลไซท์สังเคราะห์ ความจุอนุภาคที่ 35 องศาเซลเซียส

t (min)	Concentration in solution (g/m <sup>3</sup> )			เฉลี่ย	q <sub>t</sub> (g/kg)	log (q <sub>∞</sub> -q <sub>t</sub> )	t/q	STD
	ครั้งที่1	ครั้งที่2	ครั้งที่3					
0	909.72	910.38	913.80	911.30	0.00	1.59	-	2.19
5	786.24	788.35	789.17	787.92	16.23	1.36	0.31	1.51
10	725.57	727.03	728.04	726.88	24.27	1.18	0.41	1.24
15	689.52	691.66	690.38	690.52	29.05	1.01	0.52	1.08
20	670.88	672.25	669.99	671.04	31.61	0.89	0.63	1.14
25	658.38	660.14	659.53	659.35	33.15	0.79	0.75	0.89
30	650.45	652.30	651.93	651.56	34.18	0.71	0.88	0.98
40	644.87	646.48	643.83	645.06	35.03	0.63	1.14	1.34
50	637.11	639.65	638.95	638.57	35.89	0.53	1.39	1.31
60	627.42	629.07	628.05	628.18	37.25	0.31	1.61	0.83
70	624.28	626.57	625.89	625.58	37.59	0.23	1.86	1.18
80	627.34	629.63	627.57	628.18	37.25	0.31	2.15	1.26
90	618.38	620.72	618.17	619.09	38.45	-0.07	2.34	1.42
100	611.65	613.54	612.61	612.60	39.30	-	2.54	0.95

เอกสารนี้เป็นเอกสารที่สงวนไว้สำหรับการใช้งานเพื่อการศึกษาเท่านั้น ไม่อนุญาตให้นำไปใช้ประโยชน์ด้านการค้า  
ไม่ว่ากรณีใดๆทั้งสิ้น อีกทั้งห้ามมิให้ตัดแปลงเนื้อหา และต้องอ้างอิงถึงเจ้าของเอกสารทุกครั้งที่มีการนำไปใช้

ตารางที่ ข.43 ผลของอัตราส่วน w/v เท่ากับ 8.4 กิโลกรัม/ลูกบาศก์เมตรที่มีต่อการดูดซับสารละลายสีข้อม Reactive Blue 5 ความเข้มข้น 900 กรัม/ลูกบาศก์เมตรด้วยดินเหนียวไฮโดรทัลไซท์สังเคราะห์ ความจุอนุภาคที่ 35 องศาเซลเซียส

t (min)	Concentration in solution (g/m <sup>3</sup> )			เฉลี่ย	q <sub>t</sub> (g/kg)	log (q <sub>∞</sub> -q <sub>t</sub> )	t/q	STD
	ครั้งที่1	ครั้งที่2	ครั้งที่3					
0	903.62	905.33	905.48	904.81	0.00	1.56	-	1.03
5	779.09	781.54	779.76	780.13	14.84	1.34	0.34	1.27
10	709.67	711.57	708.76	710.00	23.19	1.13	0.43	1.43
15	673.48	675.50	675.84	674.94	27.37	0.97	0.55	1.28
20	655.14	656.83	658.28	656.75	29.53	0.85	0.68	1.57
25	646.56	648.95	647.47	647.66	30.61	0.78	0.82	1.21
30	637.30	639.62	638.79	638.57	31.69	0.69	0.95	1.18
40	631.33	633.48	631.43	632.08	32.47	0.62	1.23	1.21
50	618.00	619.87	619.40	619.09	34.01	0.42	1.47	0.97
60	611.26	613.45	613.09	612.60	34.79	0.27	1.72	1.17
70	602.64	604.39	603.50	603.51	35.87	-0.11	1.95	0.88
80	605.75	607.38	605.17	606.10	35.56	0.03	2.25	1.15
90	598.48	600.54	599.81	599.61	36.33	-0.51	2.48	1.04
100	596.20	598.64	596.19	597.01	36.64	-	2.73	1.41

เอกสารนี้เป็นเอกสารที่สงวนไว้สำหรับการใช้งานเพื่อการศึกษาเท่านั้น ไม่อนุญาตให้นำไปใช้ประโยชน์ด้านการค้า  
ไม่ว่ากรณีใดๆทั้งสิ้น อีกทั้งห้ามมิให้ตัดแปลงเนื้อหา และต้องอ้างอิงถึงเจ้าของเอกสารทุกครั้งที่มีการนำไปใช้

ตารางที่ ข.44 ผลของอัตราส่วน w/v เท่ากับ 9.2 กิโลกรัม/ลูกบาศก์เมตรที่มีต่อการดูดซับสารละลายสีย้อม Reactive Blue 5 ความเข้มข้น 900 กรัม/ลูกบาศก์เมตรด้วยดินเหนียวไฮโดรทัลไซท์สังเคราะห์ ควบคุมอุณหภูมิที่ 35 องศาเซลเซียส

t (min)	Concentration in solution (g/m <sup>3</sup> )			เฉลี่ย	q <sub>t</sub> (g/kg)	log (q <sub>c</sub> -q <sub>t</sub> )	t/q	STD
	ครั้งที่1	ครั้งที่2	ครั้งที่3					
0	896.37	893.54	894.70	894.87	0.00	1.53	-	1.42
5	770.54	772.64	772.19	771.79	13.38	1.31	0.37	1.11
10	695.48	697.30	695.67	696.15	21.60	1.08	0.46	1.00
15	663.84	665.58	662.88	664.10	25.08	0.94	0.60	1.37
20	643.25	645.75	645.61	644.87	27.17	0.82	0.74	1.40
25	631.24	633.17	631.74	632.05	28.57	0.71	0.88	1.00
30	624.30	626.48	626.14	625.64	29.26	0.65	1.03	1.17
40	611.58	613.36	613.52	612.82	30.66	0.49	1.30	1.08
50	599.45	601.64	598.91	600.00	32.05	0.22	1.56	1.45
60	592.71	594.05	594.01	593.59	32.75	-0.01	1.83	0.76
70	592.58	594.45	593.74	593.59	32.75	-0.01	2.14	0.94
80	586.65	588.19	586.70	587.18	33.44	-0.55	2.39	0.88
90	584.34	586.57	586.79	585.90	33.58	-0.86	2.68	1.36
100	583.47	585.68	584.71	584.62	33.72	-	2.97	1.11

เอกสารนี้เป็นเอกสารที่สงวนไว้สำหรับการใช้งานเพื่อการศึกษาเท่านั้น ไม่อนุญาตให้นำไปใช้ประโยชน์ด้านการค้า  
ไม่ว่ากรณีใดๆทั้งสิ้น อีกทั้งห้ามมิให้ตัดแปลงเนื้อหา และต้องอ้างอิงถึงเจ้าของเอกสารทุกครั้งที่มีการนำไปใช้

ตารางที่ ข.45 ผลของอัตราส่วน w/v เท่ากับ 10.0 กิโลกรัม/ลูกบาศก์เมตรที่มีต่อการดูดซับสารละลายสีย้อม Reactive Blue 5 ความเข้มข้น 900 กรัม/ลูกบาศก์เมตรด้วยดินเหนียวไฮโดรทัลไลท์สังเคราะห์ ความจุอนุภาคที่ 35 องศาเซลเซียส

t (min)	Concentration in solution (g/m <sup>3</sup> )			เฉลี่ย	q <sub>t</sub> (g/kg)	log (q <sub>e</sub> -q <sub>t</sub> )	t/q	STD
	ครั้งที่1	ครั้งที่2	ครั้งที่3					
0	899.15	898.64	896.36	898.05	0.00	1.50	-	1.49
5	793.35	795.70	793.43	794.16	10.39	1.32	0.48	1.33
10	710.18	712.50	710.44	711.04	18.70	1.10	0.53	1.27
15	669.35	671.84	671.15	670.78	22.73	0.94	0.66	1.29
20	643.28	645.57	645.58	644.81	25.32	0.79	0.79	1.33
25	632.84	634.75	631.77	633.12	26.49	0.69	0.94	1.51
30	624.36	626.18	625.42	625.32	27.27	0.62	1.10	0.91
40	611.54	613.48	612.00	612.34	28.57	0.46	1.40	1.01
50	604.77	606.67	606.08	605.84	29.22	0.34	1.71	0.97
60	591.30	593.80	593.48	592.86	30.52	-0.04	1.97	1.36
70	591.15	593.00	594.43	592.86	30.52	-0.04	2.29	1.64
80	585.52	587.96	585.60	586.36	31.17	-0.59	2.57	1.39
90	584.72	586.22	584.24	585.06	31.30	-0.89	2.88	1.03
100	582.42	584.65	584.24	583.77	31.43	-	3.18	1.19

เอกสารนี้เป็นเอกสารที่สงวนไว้สำหรับการใช้งานเพื่อการศึกษาเท่านั้น ไม่อนุญาตให้นำไปใช้ประโยชน์ด้านการค้า  
ไม่ว่ากรณีใดๆทั้งสิ้น อีกทั้งห้ามมิให้ตัดแปลงเนื้อหา และต้องอ้างอิงถึงเจ้าของเอกสารทุกครั้งที่มีการนำไปใช้

## ภาคผนวก ค

## ค่าพารามิเตอร์ต่างๆที่ใช้ในการศึกษาไอโซเทอมของการดูดซับ

ตารางที่ ค.1 ค่าความเข้มข้นเริ่มต้นของสีย้อมและความเข้มข้นของสีย้อมที่เหลือในสารละลายที่ใช้ในการหาไอโซเทอมของการดูดซับในการดูดซับสารละลายสีย้อม Reactive Blue 5 ด้วยดินเหนียวไฮโดรทัลไซท์สังเคราะห์ที่อัตราส่วน w/v เท่ากับ 2.0 กิโลกรัม/ลูกบาศก์เมตร ควบคุมอุณหภูมิที่ 35 องศาเซลเซียส

ความเข้มข้นเริ่มต้นของสีย้อม ( $C_0$ ) ( $\text{g/m}^3$ )			เฉลี่ย	ความเข้มข้นสีย้อมที่เหลือในสารละลาย (C) ( $\text{g/m}^3$ )			เฉลี่ย	$q_e$ ( $\text{g/kg}$ )
ครั้งที่1	ครั้งที่2	ครั้งที่3		ครั้งที่1	ครั้งที่2	ครั้งที่3		
99.25	101.60	99.78	100.21	34.28	34.47	30.82	33.19	33.51
201.64	199.34	198.63	199.87	132.67	135.08	135.24	134.33	32.77
314.75	318.26	312.77	315.26	241.47	244.78	244.91	243.72	35.77
401.38	399.48	396.80	399.22	323.68	326.28	325.28	325.08	37.07
518.68	518.96	524.70	520.78	447.30	450.59	450.55	449.48	35.65
610.85	612.46	612.93	612.08	536.07	539.48	540.55	538.70	36.69
704.54	702.25	708.03	704.94	633.72	636.66	635.40	635.26	34.84
802.37	802.15	807.18	803.90	731.24	734.10	734.41	733.25	35.32
902.68	903.37	904.09	903.38	828.82	831.65	831.12	830.53	36.42

เอกสารนี้เป็นเอกสารที่สงวนไว้สำหรับการใช้งานเพื่อการศึกษาเท่านั้น ไม่อนุญาตให้นำไปใช้ประโยชน์ด้านการค้า ไม่ว่าจะกรณีใดๆทั้งสิ้น อีกทั้งห้ามมิให้ตัดแปลงเนื้อหา และต้องอ้างอิงถึงเจ้าของเอกสารทุกครั้งที่มีการนำไปใช้

ตารางที่ ค.2 ค่าพารามิเตอร์ต่างๆ ที่ใช้ในการหาไอโซเทอมของการดูดซับในการดูดซับสารละลายสีข้อม Reactive Blue 5 ด้วยดินเหนียวไฮโดรทัลไซต์สังเคราะห์ที่อัตราส่วน w/v เท่ากับ 2.0 กิโลกรัม/ลูกบาศก์เมตร ความคุมอุณหภูมิที่ 35 องศาเซลเซียส

C/q (kg/m <sup>3</sup> )	ln q	ln C	STD
0.99	1.53	1.52	1.64
4.10	1.52	2.13	1.51
6.81	1.55	2.39	2.36
8.77	1.57	2.51	1.81
12.61	1.55	2.65	2.64
14.68	1.56	2.73	1.72
18.23	1.54	2.80	2.19
20.76	1.55	2.87	2.30
22.80	1.56	2.92	1.10

เอกสารนี้เป็นเอกสารที่สงวนไว้สำหรับการใช้งานเพื่อการศึกษาเท่านั้น ไม่อนุญาตให้นำไปใช้ประโยชน์ด้านการค้า  
ไม่ว่ากรณีใดๆทั้งสิ้น อีกทั้งห้ามมิให้ตัดแปลงเนื้อหา และต้องอ้างอิงถึงเจ้าของเอกสารทุกครั้งที่มีการนำไปใช้

## ภาคผนวก ง

ค่าพารามิเตอร์ต่างๆที่ใช้ในการหาค่าพลังงานกระตุ้น ( $E_a$ )

ตารางที่ ง.1 ค่าพารามิเตอร์ต่างๆ ที่ใช้ในการหาค่าพลังงานกระตุ้นของการดูดซับในการดูดซับ สารละลายสีย้อม Reactive Blue 5 ความเข้มข้น 100 กรัม/ลูกบาศก์เมตร ด้วย ดินเหนียวไฮโดรทัลไซท์สังเคราะห์ที่อัตราส่วน w/v เท่ากับ 2.0 กิโลกรัม/ ลูกบาศก์เมตร ควบคุมอุณหภูมิ ที่ 25 องศาเซลเซียส

t (min)	Concentration in solution (g/m <sup>3</sup> )			เฉลี่ย	q <sub>t</sub> (g/kg)	t/q	STD
	ครั้งที่1	ครั้งที่2	ครั้งที่3				
0	99.35	100.78	100.50	100.21	0.00	-	0.76
5	93.48	96.16	95.60	95.08	2.57	1.95	1.41
10	83.47	86.73	86.21	85.47	7.37	1.36	1.75
15	77.74	80.68	81.04	79.82	10.20	1.47	1.81
20	75.56	78.29	78.50	77.45	11.38	1.76	1.64
25	75.40	78.69	80.63	78.24	10.99	2.28	2.64
30	75.38	78.75	79.39	77.84	11.18	2.68	2.15
40	75.04	78.60	78.32	77.32	11.45	3.49	1.98
50	72.54	74.18	74.17	73.63	13.29	3.76	0.94
60	72.55	75.53	73.59	73.89	13.16	4.56	1.51
70	69.08	71.98	71.16	70.74	14.74	4.75	1.49
80	69.25	71.53	71.44	70.74	14.74	5.43	1.29
90	68.48	70.35	68.65	69.16	15.53	5.80	1.03
100	66.89	68.74	66.72	67.45	16.38	6.10	1.12

ตารางที่ ง.2 ค่าพารามิเตอร์ต่างๆ ที่ใช้ในการหาค่าพลังงานกระตุ้นของการดูดซับในการดูดซับสารละลายสีข้อม Reactive Blue 5 ความเข้มข้น 100 กรัม/ลูกบาศก์เมตร ด้วยดินเหนียวไฮโดรทัลไซท์สังเคราะห์ที่อัตราส่วน w/v เท่ากับ 2.0 กิโลกรัม/ลูกบาศก์เมตร ควบคุมอุณหภูมิที่ 35 องศาเซลเซียส

t (min)	Concentration in solution (g/m <sup>3</sup> )			เฉลี่ย	q <sub>t</sub> (g/kg)	t/q	STD
	ครั้งที่1	ครั้งที่2	ครั้งที่3				
0	101.96	103.28	103.76	103.00	0.00	-	0.93
5	72.15	75.71	74.29	74.05	14.47	0.35	1.79
10	56.58	59.62	58.58	58.26	22.37	0.45	1.55
15	45.82	48.36	49.04	47.74	27.63	0.54	1.70
20	36.14	39.54	39.91	38.53	32.24	0.62	2.08
25	30.08	33.58	34.56	32.74	35.13	0.71	2.36
30	27.26	30.74	31.13	29.71	36.64	0.82	2.13
40	21.26	24.78	25.33	23.79	39.61	1.01	2.21
50	17.38	20.87	21.27	19.84	41.58	1.20	2.14
60	14.62	17.47	16.00	16.03	43.49	1.38	1.43
70	12.89	15.38	15.47	14.58	44.21	1.58	1.46
80	11.77	14.30	13.71	13.26	44.87	1.78	1.32
90	10.49	13.81	14.31	12.87	45.07	2.00	2.08
100	10.08	13.50	13.83	12.47	45.26	2.21	2.08

เอกสารนี้เป็นเอกสารที่สงวนไว้สำหรับการใช้งานเพื่อการศึกษาเท่านั้น ไม่อนุญาตให้นำไปใช้ประโยชน์ด้านการค้า  
ไม่ว่ากรณีใดๆทั้งสิ้น อีกทั้งห้ามมิให้ตัดแปลงเนื้อหา และต้องอ้างอิงถึงเจ้าของเอกสารทุกครั้งที่มีการนำไปใช้

ตารางที่ ๓.3 ค่าพารามิเตอร์ต่างๆ ที่ใช้ในการหาค่าพลังงานกระตุ้นของการดูดซับในการดูดซับสารละลายสีข้อม Reactive Blue 5 ความเข้มข้น 100 กรัม/ลูกบาศก์เมตร ด้วยดินเหนียวไฮโดรทัลไซท์สังเคราะห์ที่อัตราส่วน w/v เท่ากับ 2.0 กิโลกรัม/ลูกบาศก์เมตร ความจุอุณหภูมิที่ 45 องศาเซลเซียส

t (min)	Concentration in solution (g/m <sup>3</sup> )			เฉลี่ย	q <sub>t</sub> (g/kg)	t/q	STD
	ครั้งที่1	ครั้งที่2	ครั้งที่3				
0	99.87	98.57	101.38	99.94	0.00	-	1.41
5	85.30	88.09	88.63	87.34	6.30	0.79	1.79
10	72.96	75.19	76.46	74.87	12.53	0.80	1.77
15	65.53	68.86	68.41	67.60	16.17	0.93	1.81
20	59.80	62.36	63.09	61.75	19.09	1.05	1.73
25	55.77	58.56	59.25	57.86	21.04	1.19	1.84
30	52.47	54.23	55.18	53.96	22.99	1.31	1.38
40	49.47	52.67	51.94	51.36	24.29	1.65	1.68
50	48.70	51.57	49.91	50.06	24.94	2.01	1.44
60	47.91	49.10	49.30	48.77	25.58	2.35	0.75
70	45.31	48.33	48.77	47.47	26.23	2.67	1.88
80	45.93	47.38	47.15	46.82	26.56	3.01	0.78
90	44.80	46.35	46.58	45.91	27.01	3.33	0.97
100	44.47	46.58	46.68	45.91	27.01	3.70	1.25

เอกสารนี้เป็นเอกสารที่สงวนไว้สำหรับการใช้งานเพื่อการศึกษาเท่านั้น ไม่อนุญาตให้นำไปใช้ประโยชน์ด้านการค้า  
ไม่ว่ากรณีใดๆทั้งสิ้น อีกทั้งห้ามมิให้ตัดแปลงเนื้อหา และต้องอ้างอิงถึงเจ้าของเอกสารทุกครั้งที่มีการนำไปใช้

ตารางที่ ๓.4 ค่าพารามิเตอร์ต่างๆ ที่ใช้ในการหาค่าพลังงานกระตุ้นของการดูดซับในการดูดซับสารละลายสีข้อม Reactive Blue 5 ความเข้มข้น 100 กรัม/ลูกบาศก์เมตร ด้วยดินเหนียวไฮโดรทัลไซท์สังเคราะห์ที่อัตราส่วน w/v เท่ากับ 2.0 กิโลกรัม/ลูกบาศก์เมตร ควบคุมอุณหภูมิที่ 55 องศาเซลเซียส

t (min)	Concentration in solution (g/m <sup>3</sup> )			เฉลี่ย	q <sub>t</sub> (g/kg)	t/q	STD
	ครั้งที่1	ครั้งที่2	ครั้งที่3				
0	100.32	99.87	102.06	100.75	0.00	-	1.16
5	85.52	88.66	87.96	87.38	6.69	0.75	1.65
10	80.88	83.97	81.69	82.18	9.29	1.08	1.60
15	77.38	77.74	75.85	76.99	11.88	1.26	1.00
20	68.12	71.31	72.04	70.49	15.13	1.32	2.08
25	63.62	66.27	66.01	65.30	17.73	1.41	1.46
30	62.51	65.69	65.36	64.52	18.12	1.66	1.75
40	58.31	61.99	60.00	60.10	20.32	1.97	1.84
50	55.69	58.43	58.41	57.51	21.62	2.31	1.58
60	54.67	57.52	56.44	56.21	22.27	2.69	1.44
70	55.15	57.69	57.35	56.73	22.01	3.18	1.38
80	52.20	55.73	54.46	54.13	23.31	3.43	1.79
90	54.48	56.30	56.29	55.69	22.53	3.99	1.05
100	55.30	57.87	57.80	56.99	21.88	4.57	1.46

## ภาคผนวก จ

ค่าพารามิเตอร์ต่างๆ ที่ใช้ในการหาค่าเอนทัลปีมาตรฐาน ( $\Delta H^\circ$ )

ตารางที่ จ.1 ค่าพารามิเตอร์ต่างๆ ที่ใช้ในการหาค่าเอนทัลปีมาตรฐานของการดูดซับในการดูดซับสารละลายสีย้อม Reactive Blue 5 ความเข้มข้น 100 กรัม/ลูกบาศก์เมตร ด้วยดินเหนียวไฮโดรทอลไซท์สังเคราะห์ที่อัตราส่วน w/v เท่ากับ 2.0 กิโลกรัม/ลูกบาศก์เมตร ควบคุมอุณหภูมิที่ 25, 35, 45 และ 55 องศาเซลเซียส

อุณหภูมิ (เคลวิน)	ความเข้มข้นสีย้อมเริ่มต้น (กรัม/ลูกบาศก์เมตร) (C <sub>0</sub> )				ความเข้มข้นสีย้อมที่เหลือ (กรัม/ลูกบาศก์เมตร) (C)				q <sub>e</sub> (g/kg)	STD
	ครั้งที่			เฉลี่ย	ครั้งที่			เฉลี่ย		
	1	2	3		1	2	3			
298.15	99.60	98.89	98.81	99.10	25.34	26.54	27.32	26.40	36.35	0.72
308.15	100.30	99.63	100.70	100.21	33.00	34.10	32.47	33.19	33.51	0.69
318.15	100.63	100.87	101.74	101.08	36.85	37.57	37.60	37.34	31.87	0.50
328.15	99.98	100.32	101.95	100.75	40.38	41.40	39.33	40.37	30.19	1.04

## ภาคผนวก ฉ

## การหาความสามารถในการแลกเปลี่ยนประจุลบ (Anion Exchange Capacity)

### ฉ.1 วิธีการหาความสามารถในการแลกเปลี่ยนประจุลบ (Anion Exchange Capacity) [41]

#### A. การแลกเปลี่ยนไอออน

1. บันทึกร้าน้ำหนักของหลอด centrifuge ขนาด 50 มิลลิลิตร
2. ชั่งน้ำหนักของตัวอย่างดิน 5.00 กรัม+หลอด centrifuge 50 มิลลิลิตร
3. เติมสารละลาย  $\text{NH}_4\text{Cl}$  เข้มข้น 0.2 โมลาร์ จำนวน 30 มิลลิลิตร
4. ปิดฝาและผสมกันเป็นเวลา 5 นาที
5. นำไปหมุนเหวี่ยงเป็นเวลา 15 นาที นำสารละลายที่ได้ไปใส่ขวดวัดปริมาตรขนาด 250 มิลลิลิตร
6. เติมสารละลาย  $\text{NH}_4\text{Cl}$  เข้มข้น 0.2 โมลาร์ จำนวน 30 มิลลิลิตร
7. ทำให้ดินเกิดการแขวนลอยโดยใช้เครื่อง Vertex Stirrer
8. ทำซ้ำข้อ 4-6 อีก 2 ครั้ง
9. นำปริมาตรสารละลายที่อยู่ในขวดวัดปริมาตร ไปวิเคราะห์หาค่าการแลกเปลี่ยน Na, K, Ca และ Mg

#### B. การล้าง $\text{NH}_4^+$ และ $\text{Cl}^-$ ที่ไม่ได้จับกับตัวอย่างดิน

1. เติมน้ำปราศจากไอออน จำนวน 30 มิลลิลิตรลงในหลอดที่มีตัวอย่างดินอยู่
2. ทำให้ดินเกิดการแขวนลอยโดยใช้เครื่อง Vertex Stirrer
3. ปิดฝาและผสมกันเป็นเวลา 5 นาที
4. นำไปหมุนเหวี่ยงเป็นเวลา 15 นาที เทสารละลายทิ้ง

#### C. การแทนที่ $\text{NH}_4^+$ และ $\text{Cl}^-$

1. เติมสารละลาย  $\text{KNO}_3$  เข้มข้น 0.2 โมลาร์ จำนวน 30 มิลลิลิตรลงในหลอด centrifuge
2. ปิดฝาผสมกันเป็นเวลา 5 นาที
3. นำไปหมุนเหวี่ยงเป็นเวลา 15 นาที นำสารละลายที่ได้ไปใส่ขวดวัดปริมาตรขนาด 100 มิลลิลิตร
4. นำปริมาตรสารละลายที่อยู่ในขวดวัดปริมาตรไปวิเคราะห์หาค่า  $\text{NH}_4^+$  และ  $\text{Cl}^-$

เอกสารนี้เป็นเอกสารที่สงวนไว้สำหรับการใช้งานเพื่อการศึกษาเท่านั้น ไม่อนุญาตให้นำไปใช้ประโยชน์ด้านการค้า  
ไม่ว่ากรณีใดๆทั้งสิ้น อีกทั้งห้ามมิให้ตัดแปลงเนื้อหา และต้องอ้างอิงถึงเจ้าของเอกสารทุกครั้งที่มีการนำไปใช้

## D. การคำนวณ

$$\text{CEC (cmol}_{(+)} \text{ kg}^{-1}) = (\text{mg NH}_4^+ \text{ L}^{-1} \times 1\text{L } 10^{-3} \text{ mL} \times 1 \text{ meq } 18.04 \text{ mg}^{-1} \times 100 \text{ mL}) \times (1/\text{sample, g}) \times 100 \text{ g}$$

$$\text{If 5.000 g of sample is used, CEC (cmol}_{(+)} \text{ kg}^{-1}) = 0.1108 \times (\text{mg NH}_4^+ \text{ L}^{-1})$$

$$\text{AEC (cmol}_{(-)} \text{ kg}^{-1}) = (\text{mg Cl}^- \text{ L}^{-1} \times 1\text{L } 10^{-3} \text{ mL} \times 1 \text{ meq } 35.45 \text{ mg}^{-1} \times 100 \text{ mL}) \times (1/\text{sample, g}) \times 100 \text{ g}$$

$$\text{If 5.000 g of sample is used, AEC (cmol}_{(-)} \text{ kg}^{-1}) = 0.0564 \times (\text{mg Cl}^- \text{ L}^{-1})$$

ตารางที่ ฅ.1 ปริมาตรของสารละลาย  $\text{AgNO}_3$  ที่ใช้ในการหาค่าความเข้มข้นที่แน่นอนกับสารละลาย  $\text{NaCl}$  เข้มข้น 0.01 โมลาร์ จำนวน 10 มิลลิลิตร

ครั้งที่	ปริมาตรเริ่มต้น	ปริมาตรสุดท้าย	ปริมาตรสุทธิ
1	0.00	12.50	12.70
2	12.50	25.30	12.80
3	25.30	38.05	12.75
เฉลี่ย			12.75

\* หมายเหตุ ความเข้มข้นที่แน่นอนของ  $\text{AgNO}_3$  คือ 0.0078 โมลาร์

ตารางที่ ฅ.2 ปริมาตรของสารละลาย  $\text{AgNO}_3$  ที่ใช้ในการหาค่าความเข้มข้นของ  $\text{Cl}^-$  ที่ 5 มิลลิลิตร

ครั้งที่	ปริมาตรเริ่มต้น	ปริมาตรสุดท้าย	ปริมาตรสุทธิ
1	0.00	8.40	8.40
2	8.60	17.20	8.60
3	17.20	25.70	8.50
เฉลี่ย			8.50

\* หมายเหตุ ความเข้มข้นของ  $\text{Cl}^-$  คือ 0.0138 โมลาร์

## ภาคผนวก ข

## ข้อมูลและสภาวะในการหาค่าประกอบทางเคมีโดยใช้ เครื่องเอ็กซ์เรย์ ฟลูออเรสเซนซ์

Printed by Eval on 04-Jun-2003 04:18:32  
 Sample :460603\_001 hydrotalcite  
 Sample measured on 04-Jun-2003 02:56:24  
 Operator: user  
 Measuring Program: st-less-HS-Vac

Na <sub>2</sub> O	MgO	Al <sub>2</sub> O <sub>3</sub>	Cl	Compton	Rayleigh	Sum
1.9 KCps	28.4 KCps	7.0 KCps	5.8 KCps			
11.1 %	51.2 %	33.3 %	4.73 %	0.86	0.97	100.00 %

เอกสารนี้เป็นเอกสารที่สงวนไว้สำหรับการใช้งานเพื่อการศึกษาเท่านั้น ไม่อนุญาตให้นำไปใช้ประโยชน์ด้านการค้า  
 ไม่ว่ากรณีใดๆทั้งสิ้น อีกทั้งห้ามมิให้ดัดแปลงเนื้อหา และต้องอ้างอิงถึงเจ้าของเอกสารทุกครั้งที่มีการนำไปใช้

## ภาคผนวก ข

## ข้อมูลและสภาวะในการหาพื้นที่ผิวโดยใช้เครื่องออโตซอร์บ

Quantachrome Corporation

Quantachrome Autosorb Automated Gas Sorption System Report

Autosorb for Windows Version 1.19

Sample ID hydrotalcite  
 Description adsorption 10, desorption 10  
 Comments  
 Sample Weight 0.0344 g  
 Adsorbate NITROGEN Outgas Temp 350.0 °C Operator 0+  
 Cross-Sec Area 16.2 Å<sup>2</sup>/molecule Outgas Time 22.5 hrs Analysis Time 606.4 min  
 NonIdeality 6.580E-05 P/Po Toler 0 End of Run 07/31/2003  
 Molecular Wt 28.0134 g/mol Equil Time 3 File Name 460730\_2.RA  
 Station # 1 Batch Temp 77.40

MULTIPOINT BET

P/Po	Volume [cc/g] STP	1/(W ((Po/P)-1))
10092e-01	54.6773	1.643E+00
2.0119e-01	65.5892	3.072E+00
3.0179e-01	74.3526	4.651E+00
4.0088e-01	83.3796	6.421E+00

Area = 2.196E+02 m<sup>2</sup>/g

Slope = 1.590E+01

Y-Intercept = -4.815E-02

Correlation Coefficient = 0.998724

C = -3.293E+02

เอกสารนี้เป็นเอกสารที่สงวนไว้สำหรับการใช้งานเพื่อการศึกษาเท่านั้น ไม่อนุญาตให้นำไปใช้ประโยชน์ด้านการค้า  
 ไม่ว่ากรณีใดๆทั้งสิ้น อีกทั้งห้ามมิให้ตัดแปลงเนื้อหา และต้องอ้างอิงถึงเจ้าของเอกสารทุกครั้งที่มีการนำไปใช้

## ภาคผนวก ฅ

## ข้อมูลและสภาวะในการหาขนาดของรูพรุนโดยใช้เครื่องออโตซอร์บ

Quantachrome Corporation

Quantachrome Autosorb Automated Gas Sorption System Report

Autosorb for Windows Version 1.19

Sample ID hydrotalcite  
 Description adsorption 10, desorption 10  
 Comments  
 Sample Weight 0.0344 g  
 Adsorbate NITROGEN Outgas Temp 350.0 °C Operator 0+  
 Cross-Sec Area 16.2 A<sup>0</sup>/molecule Outgas Time 22.5 hrs Analysis Time 606.4 min  
 NonIdeality 6.580E-05 P/Po Toler 0 End of Run 07/31/2003  
 Molecular Wt 28.0134 g/mol Equil Time 3 File Name 460730\_2.RA  
 Station # 1 Batch Temp 77.40

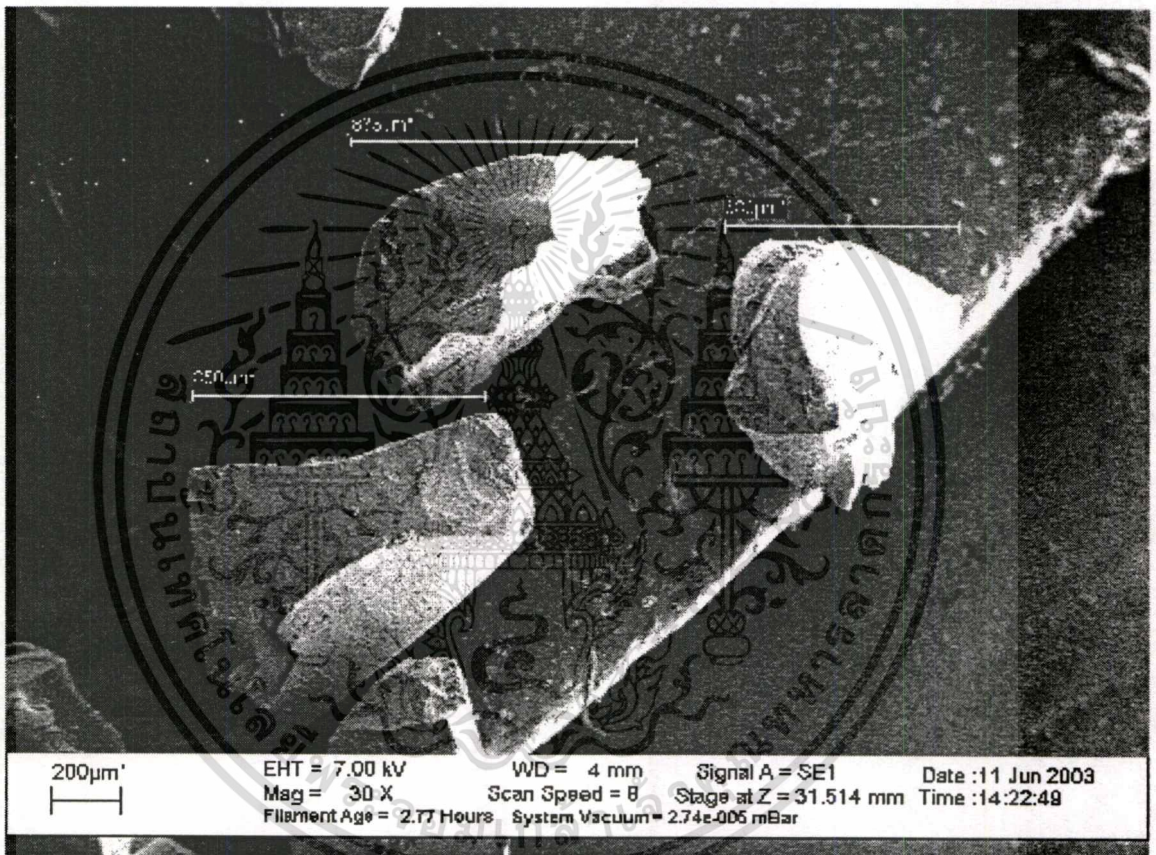
## BJH DESORPTION PORE SIZE DISTRIBUTION

Diameter	Pore Vol	Pore Surf	Dv (d)	Ds (d)	Dv (log d)	Ds (log d)
A <sup>0</sup>	[cc/g]	Area [m <sup>2</sup> /g]	[cc/A <sup>0</sup> /g]	[m <sup>2</sup> /A <sup>0</sup> /g]	[cc/g]	[m <sup>2</sup> /g]
18.02	2.913E-02	6.468E+01	5.878E-03	1.305E+01	2.423E-01	5.380E+02
23.13	5.337E-02	1.066E+02	4.603E-03	7.962E+00	2.441E-01	4.221E+02
28.93	8.127E-02	1.452E+02	4.401E-03	6.085E+00	2.919E-01	4.037E+02
36.21	1.111E-01	1.781E+02	3.627E-03	4.006E+00	3.011E-01	3.326E+02
46.24	1.511E-01	2.127E+02	3.381E-03	2.925E+00	3.580E-01	3.097E+02
61.29	1.843E-01	2.344E+02	1.818E-03	1.186E+00	2.546E-01	1.662E+02
88.33	2.221E-01	2.515E+02	1.053E-03	4.770E-01	2.113E-01	9.568E+01
156.40	3.044E-01	2.726E+02	8.212E-03	2.100E-01	2.853E-01	7.297E+01
1772.58	3.737E-01	2.741E+02	2.213E-03	4.994E-04	5.736E-02	1.294E+00

เอกสารนี้เป็นเอกสารที่สงวนไว้สำหรับการใช้งานเพื่อการศึกษาเท่านั้น ไม่อนุญาตให้นำไปใช้ประโยชน์ด้านการค้า  
 ไม่ว่าจะกรณีใดๆทั้งสิ้น อีกทั้งห้ามมิให้ตัดแปลงเนื้อหา และต้องอ้างอิงถึงเจ้าของเอกสารทุกครั้งที่มีการนำไปใช้

## ภาคผนวก ญ

## รูปและสภาวะในการหาขนาดอนุภาคโดยใช้เครื่อง สแกนิงอิเล็กตรอนไมโครสโคป



เอกสารนี้เป็นเอกสารที่สงวนไว้สำหรับการใช้งานเพื่อการศึกษาเท่านั้น ไม่อนุญาตให้นำไปใช้ประโยชน์ด้านการค้า  
ไม่ว่ากรณีใดๆทั้งสิ้น อีกทั้งห้ามมิให้ตัดแปลงเนื้อหา และต้องอ้างอิงถึงเจ้าของเอกสารทุกครั้งที่มีการนำไปใช้

## ประวัติผู้เขียน

นายสานิต ไชยยะ เกิดวันที่ 14 มิถุนายน พ.ศ. 2520 ที่จังหวัดจันทบุรี สำเร็จการศึกษาระดับปริญญาตรีวิทยาศาสตร์บัณฑิต (เคมี) จากมหาวิทยาลัยบูรพา ปีการศึกษา 2542 และเข้าศึกษาต่อในหลักสูตรปริญญาวิทยาศาสตรมหาบัณฑิต สาขาเคมีประยุกต์ คณะวิทยาศาสตร์ สถาบันเทคโนโลยีพระจอมเกล้าเจ้าคุณทหารลาดกระบังในปีการศึกษา 2543



เอกสารนี้เป็นเอกสารที่สงวนไว้สำหรับการใช้งานเพื่อการศึกษาเท่านั้น ไม่อนุญาตให้นำไปใช้ประโยชน์ด้านการค้า  
ไม่ว่ากรณีใดๆทั้งสิ้น อีกทั้งห้ามมิให้ตัดแปลงเนื้อหา และต้องอ้างอิงถึงเจ้าของเอกสารทุกครั้งที่มีการนำไปใช้